

COMMITTENTE :



RETE FERROVIARIA ITALIANA - S.p.A.

DIREZIONE TERRITORIALE PRODUZIONE DI ANCONA

PROGETTAZIONE:

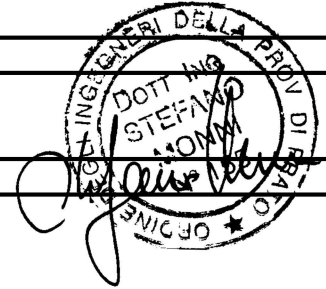


SWS engineering SPA
Via della Stazione, 27 Fraz. Mattarello
38123 Trento (TN) Italia
P.iva C.F. 00580910222



SOGGETTO TECNICO : RFI SpA - DIREZIONE TERRITORIALE PRODUZIONE DI ANCONA
S. O. INGEGNERIA

PROGETTO DEFINITIVO



LINEA: BOLOGNA-LECCE
COMUNE DI ANCONA

PROGETTO: Comune di Ancona - Lungomare Nord

Progettazione definitiva ed esecutiva di mitigazione acustica e dimensionamento strutturale di barriere antirumore trasparenti dal km 199+983 al km 203+569 della linea Bologna-Lecce

RELAZIONE ACUSTICA (ANTE E POST MITIGAZIONE)

SCALA

ALLEGATI MAPPATURE ACUSTICHE

Foglio

di

PROGETTO/ANNO

SOTTOPR.

LIVELLO

NOME DOC.

PROGR.OP.

FASE FUNZ.

NUMERAZ.

1 8 2 6 1 8

0 0 2

P D

T G - -

0 0

0 0

E 9 4 0

| Revis. | Descrizione | Redatto | Data | Verificato | Data | Approvato | Data | Autorizzato | Data |
|--------|--|----------|---------------|-----------------------------|-------------|-----------------------------|-------------|-----------------|-------------|
| A | 1^ EMISSIONE | S. Monni | Dicembre 2018 | V. Gangai | | P. Ludovico | | G. del Vasto | |
| B | 2^ EMISSIONE | S. Monni | Giugno 2019 | V. Gangai | | P. Ludovico | | N. D'Alessandro | |
| C | 3^ EMISSIONE a seguito istruttoria Direzione Tecnica RFI | S. Monni | Maggio 2020 | M. Esposito <i>fg wh</i> | Giugno 2020 | M. Esposito <i>fg wh</i> | Giugno 2020 | N. D'Alessandro | Giugno 2020 |

POSIZIONE ARCHIVIO

LINEA

SEDE TECN.

NOME DOC.

NUMERAZ

□ □ □ □

□ □ □ □ □ □

- - - -

.

| Verificato e trasmesso | Data | Convalidato | Data | Archiviato | Data |
|------------------------|------|-------------|------|------------|------|
| | | | | | |

File:

Sommario

| | | |
|----------|---|----------|
| 1 | Premessa..... | 2 |
| 2 | Riferimenti normativi (rumore ferroviario) | 4 |
| 2.1 | Valori limite assoluti d'immissione | 4 |
| 2.2 | Valori limite differenziali d'immissione..... | 4 |
| 2.3 | Valori limite di emissione | 5 |
| 3 | Stato attuale..... | 10 |
| 3.1 | Indagine fonometrica | 10 |
| 3.2 | Strumentazione utilizzata..... | 12 |
| 3.3 | Traffico ferroviario e campionamento treni stato attuale..... | 14 |
| 3.4 | Calibrazione del modello SRM II con il software Predictor | 31 |
| 3.4.1 | Modello di emissione | 32 |
| 3.4.2 | Modello di propagazione | 35 |
| 3.4.3 | Calibrazione del modello SRM II | 39 |
| 4 | Valutazione stato attuale | 43 |
| 5 | Stato di Progetto | 48 |
| 5.1 | Stato ante mitigazione | 51 |
| 5.2 | Stato post mitigazione..... | 55 |
| 6 | Interventi diretti sui Ricettori | 60 |
| 6.1 | Tipologie di interventi diretti | 60 |
| 6.2 | Gli interventi diretti previsti | 61 |
| 6.2.1 | Calcolo del potere fonoisolante infissi con nuovi vetri..... | 75 |
| 7 | Conclusioni..... | 77 |

1 Premessa

La presente relazione tecnica illustra lo studio di impatto acustico (stato attuale e di progetto) per la realizzazione di barriere antirumore lungo la linea ferroviaria Bologna-Lecce nel Comune di Ancona dalla progressiva km 199+983 alla progressiva km 201+099 per una lunghezza totale di circa 1065 m, L'intervento di cui trattasi rientra nel più generale progetto di velocizzazione del tratto interessato fino a 200 km/h, comprendente anche la realizzazione della nuova fermata di Ancona Torrette al Km 200+560.

Lo studio è stato condotto mediante una campagna di misurazioni fonometriche in continuo per 24 ore lungo la tratta in esame posizionando la strumentazione sul lato mare presso il ristorante "La Vecchia Pesca".



Figura 1 - Localizzazione area di intervento

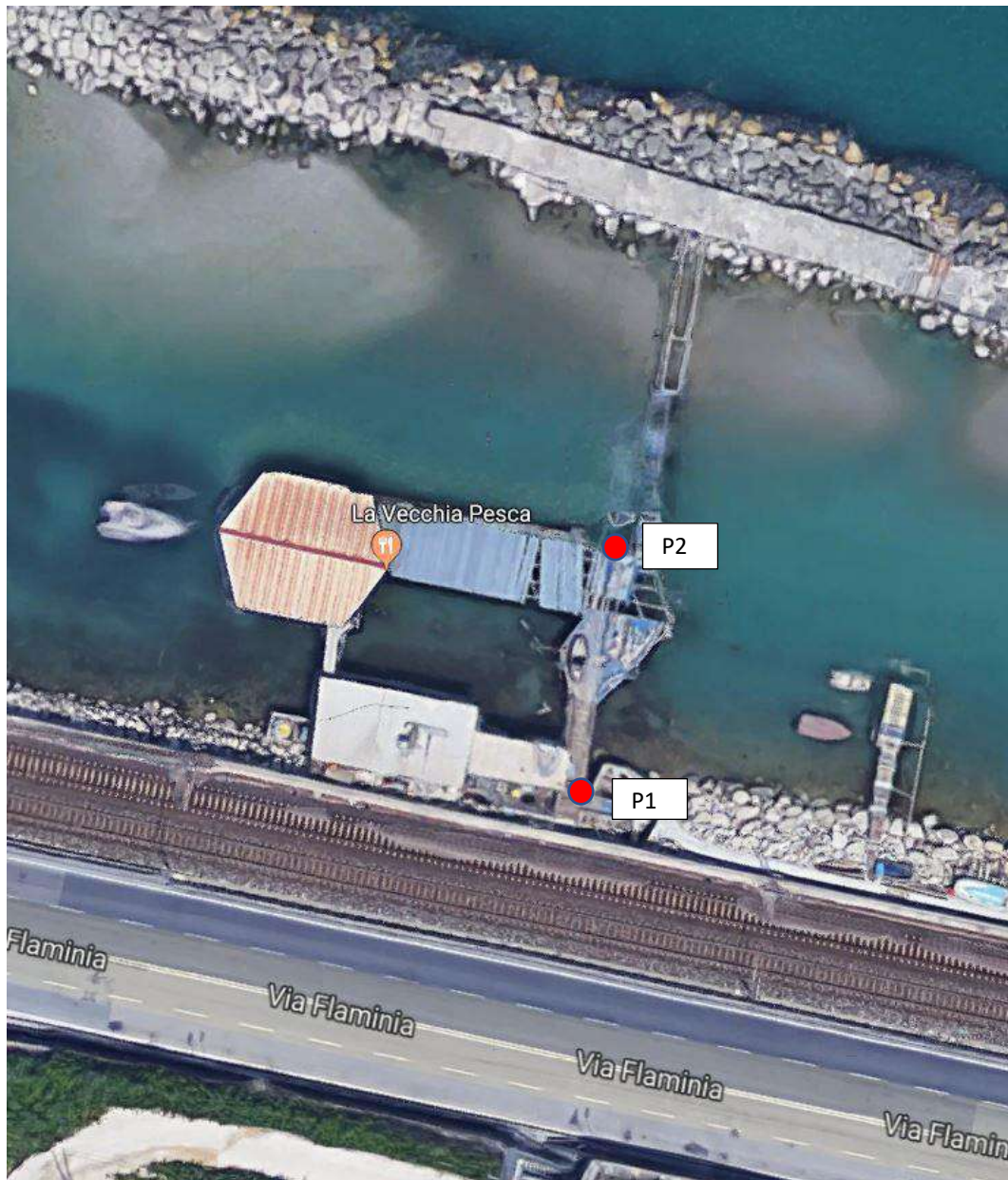


Figura 2 - Localizzazione area ristorante la vecchia pesca lato mare presso binario Sud. Postazioni di misura P1 e P2

La scelta di tale area per eseguire le misurazioni è dovuta al fatto che a fianco della linea ferroviaria si trova la SS16 via Flaminia strada molto trafficata sia di giorno che di notte soprattutto da mezzi pesanti che avrebbero reso più difficoltoso individuare ed estrapolare dalle misure, i singoli transiti ferroviari se i microfoni fossero stati posizionati sul lato esposto alla strada.

2 Riferimenti normativi (rumore ferroviario)

La materia è attualmente regolata dalla legge n. 447 del 1995 (Legge Quadro sull’Inquinamento Acustico) e dai relativi decreti attuativi, che così definisce le grandezze in gioco per la valutazione dei livelli di immissione:

I valori limite di immissione sono distinti in:

- a) valori limite assoluti, determinati con riferimento al livello equivalente di rumore ambientale;
- b) valori limite differenziali, determinati con riferimento alla differenza tra il livello equivalente di rumore ambientale ed il rumore residuo.

2.1 Valori limite assoluti d’immissione

Essi rappresentano il valore massimo di rumore, espresso in termini di livello continuo equivalente di pressione sonora ponderata “A”, che può essere immesso da una o più sorgenti sonore nell’ambiente esterno, misurato in prossimità dei ricettori più esposti.

I valori limite assoluti d’immissione sono quelli indicati nella Tabella I sottostante:

Tabella 1 Valori limite assoluti d’immissione – Leq in dB(A)

| CLASSI DI DESTINAZIONE D’USO DEL TERRITORIO | Tempi di riferimento | |
|---|----------------------|------------------------|
| | Diurno (06.00-22.00) | Notturmo (22.00-06.00) |
| I aree particolarmente protette | 50 | 40 |
| II aree prevalentemente residenziali | 55 | 45 |
| III aree di tipo misto | 60 | 50 |
| IV aree d’intensa attività umana | 65 | 55 |
| V aree prevalentemente industriali | 70 | 60 |
| VI aree esclusivamente industriali | 70 | 70 |

2.2 Valori limite differenziali d’immissione

I valori limite differenziali d’immissione sono 5 dB per il periodo diurno e 3 dB per il periodo notturno, all’interno degli ambienti abitativi. Tali valori non si applicano nelle aree classificate nella classe VI. Le disposizioni di cui sopra non si applicano nei seguenti casi, in quanto ogni effetto del rumore è da ritenersi trascurabile:

- se il livello di rumore ambientale misurato a finestre aperte sia inferiore a 50 dB(A) durante il periodo diurno e 40 dB(A) durante il periodo notturno;
- se il livello di rumore ambientale misurato a finestre chiuse sia inferiore a 35 dB(A) durante il periodo diurno e 25 dB(A) durante il periodo notturno;

I limiti differenziali non si applicano alla rumorosità prodotta dalle infrastrutture stradali, ferroviarie, aeroportuali e marittime; da attività e comportamenti non connessi con esigenze produttive,

commerciali e professionali; da servizi e impianti fissi dell'edificio adibiti a uso comune, limitatamente al disturbo provocato all'interno dello stesso.

2.3 Valori limite di emissione

Essi rappresentano il valore massimo di rumore, espresso in termini di livello continuo equivalente di pressione sonora ponderata "A", che può essere emesso da una sorgente sonora, misurato in prossimità della sorgente stessa; tali limiti si applicano a tutte le aree circostanti la sorgente secondo la rispettiva classificazione in zone. Sono escluse le aree di pertinenza delle infrastrutture di trasporto per le quali i limiti di emissione e immissione sono stabiliti da appositi decreti attuativi.

I rilevamenti e le verifiche sono eseguiti in corrispondenza degli spazi utilizzati da persone e comunità.

I valori limite di emissione delle singole sorgenti sonore fisse sono quelli indicati nella Tabella II sottostante:

Tabella 2 Valori limite di emissione – L_{eq} in dB(A)

| CLASSI DI DESTINAZIONE D'USO DEL TERRITORIO | Tempi di riferimento | |
|---|----------------------|------------------------|
| | Diurno (06.00-22.00) | Notturno (22.00-06.00) |
| I aree particolarmente protette | 45 | 35 |
| II aree prevalentemente residenziali | 50 | 40 |
| III aree di tipo misto | 55 | 45 |
| IV aree d'intensa attività umana | 60 | 50 |
| V aree prevalentemente industriali | 65 | 55 |
| VI aree esclusivamente industriali | 65 | 65 |

Una dettagliata specifica dei tempi e luoghi di misurazione si trova infine nel D.M. Amb. 16/3/1998 "Tecniche di rilevamento e di misurazione dell'inquinamento acustico". In esso si stabilisce quanto segue:

Allegato A

"Definizioni"

- Sorgente specifica:** sorgente sonora selettivamente identificabile che costituisce la causa del potenziale inquinamento acustico
- Tempo di riferimento (T_R):** rappresenta il periodo della giornata all'interno del quale si eseguono le misure. La durata della giornata è articolata in due tempi di riferimento: quello diurno compreso tra le 6,00 e le 22,00 e quello notturno compreso tra le 22,00 e le 6,00.
- Livello di rumore ambientale (L_A):** è il livello continuo equivalente di pressione sonora ponderato "A", prodotto da tutte le sorgenti di rumore esistenti in un dato luogo e durante un

determinato tempo. Il rumore ambientale è costituito dall'insieme del rumore residuo e da quello prodotto dalle specifiche sorgenti disturbanti, con l'esclusione degli eventi sonori singolarmente identificabili di natura eccezionale rispetto al valore ambientale della zona. È il livello che si confronta con i limiti massimi di esposizione:

1) nel caso dei limiti differenziali, è riferito a T_M

2) nel caso di limiti assoluti è riferito a T_R

12. Livello di rumore residuo (L_R): è il livello continuo equivalente di pressione sonora ponderato "A", che si rileva quando si esclude la specifica sorgente disturbante. Deve essere misurato con le identiche modalità impiegate per la misura del rumore ambientale e non deve contenere eventi sonori atipici.

13. Livello differenziale di rumore (L_D): differenza tra livello di rumore ambientale (L_A) e quello di rumore residuo (L_R).

Allegato B

"Norme tecniche per l'esecuzione delle misure"

5. Misure all'interno di ambienti abitativi:

Il microfono della catena fonometrica deve essere posizionato a 1,5 m dal pavimento e ad almeno 1 m da superfici riflettenti. Il rilevamento in ambiente abitativo deve essere eseguito sia a finestre aperte che chiuse, al fine di individuare la situazione più gravosa. Nella misura a finestre aperte il microfono deve essere posizionato a 1 m dalla finestra; in presenza di onde stazionarie il microfono deve essere posto in corrispondenza del massimo di pressione sonora.

Allegato C

1. Metodologia di misura del rumore ferroviario

<... omissis ...>

La determinazione dei valori $L_{Aeq,TR}$ deve essere effettuata in base alla relazione seguente

$$L_{Aeq,TR} = 10 \cdot \lg \left[\sum_{i=1}^n 10^{0,1 \cdot SEL_i} \right] - k$$

dove:

T_R è il periodo di riferimento diurno o notturno;

n è il numero di transiti avvenuti nel periodo T_R ;

$k = 47,6$ dB(A) nel periodo diurno (06:22) e $k = 44,6$ dB(A) nel periodo notturno (22-06).

È quindi metrologicamente corretto valutare il rumore prodotto dalla specifica sorgente disturbante di tipo ferroviario come livello equivalente riferito all'intero periodo diurno o notturno, ottenuto dalla "diluizione" rispettivamente su 16h o su 8h dell'energia sonora complessiva di tutti i transiti ferroviari relativi al corrispondente periodo, come stabilito dal D.M. 16/3/1998.

Il D.P.C.M. 18 novembre 1998 n. 459 si propone come regolamento ad hoc per l'ambito ferroviario, si articola in due parti, offrendo limiti e trattamenti differenti fra infrastrutture esistenti e di nuova realizzazione, oltre che fra infrastrutture la cui velocità di progetto è inferiore a 200km/h e infrastrutture in cui la velocità di progetto supera tale valore.

Definendo con "infrastruttura" l'insieme di materiale rotabile, binari, stazioni, scali, parchi, piazzali e sottostazioni elettriche (art.1), si definisce "esistente" ogni infrastruttura già in esercizio all'entrata in vigore della presente legge; mentre è di "nuova realizzazione" ogni linea non ancora in esercizio alla data di cui sopra. Ovviamente ad infrastrutture già esistenti possono affiancarsi elementi di nuova realizzazione originando così (nel caso non esistano aree intercluse non di pertinenza) un "affiancamento di infrastrutture di nuova realizzazione a infrastrutture esistenti", oppure una "variante" se si tratta di un nuovo tratto in sostituzione di uno già esistente per una lunghezza inferiore a 5 km (dopo i quali si parla, evidentemente, di tratto di nuova realizzazione).

La norma prende in esame tutti questi casi, raggruppando fra di loro le infrastrutture esistenti, le varianti e le infrastrutture di nuova realizzazione che si affiancano a quelle già esistenti (chiameremo d'ora in poi queste infrastrutture come "infrastrutture di tipologia A"); e trattando a parte le infrastrutture di nuova realizzazione (che chiameremo d'ora in poi come "infrastrutture di tipologia B").

Vengono successivamente definite le "fasce di pertinenza" dell'infrastruttura:

- a) Per le infrastrutture di tipologia A e per quelle di tipologia B con velocità di progetto fino a 200 km/h, la fascia è larga 250 m a partire dalla mezzeria del binario più esterno ed estesa da entrambe le parti dello stesso. In questi 250m si individuano 2 sottofasce denominate rispettivamente "fascia A" (estesa per i 100 m più vicini alla mezzeria del binario più esterno) e "fascia B" (comprendente la rimanente parte 150 m)
- b) Per le infrastrutture di tipologia B con velocità di progetto superiore a 200 km/h la "fascia di pertinenza" si estende ai lati del binario per 250 m a partire dalla mezzeria dello stesso, senza suddivisioni ulteriori in sottofasce.

L'inquinamento acustico provocato dal trasporto ferroviario va quindi analizzato secondo due aspetti: il primo limitatamente alla "fascia di pertinenza", entro la quale la ferrovia rappresenta la sorgente inquinante preponderante, e il secondo al di fuori delle fasce, dove il rumore ferroviario viene aggiunto agli altri già presenti nell'ambiente.

Se nel primo caso è ovvio come debba essere il gestore del servizio ad occuparsi del rispetto dei limiti imposti dalla normativa; nel secondo caso è sempre il gestore a doversi occupare dell'eventuale risanamento solo per la parte che gli compete (ecco quindi spiegata l'analisi del DPCM 16 Novembre 1997 che abbiamo visto in precedenza). L'unico caso in cui sia il titolare della concessione edilizia (e non il gestore del servizio) a doversi occupare degli interventi di contenimento, è quello in cui si parli di aree non ancora edificate poste nei pressi di infrastrutture esistenti.

Lo scenario rappresentato nel nostro caso prevede una velocità massima dei convogli ferroviari fino a 200 km/h, inoltre l'intervento può essere definito come variante di una infrastruttura esistente di lunghezza inferiore a 5 km. Per queste ragioni si configura una infrastruttura di tipologia A i cui limiti validi entro le fasce di pertinenza sono di seguito riportati.

Tabella 3: Infrastruttura ferroviaria di tipologia A con velocità di progetto fino a 200 km/h

| | Fascia A 100 metri | | Fascia B 150 metri | |
|-------------------------|---------------------|-----------------------|---------------------|-----------------------|
| | Limite diurno dB(A) | Limite notturno dB(A) | Limite diurno dB(A) | Limite notturno dB(A) |
| Ospedali / Case di cura | 50 | 40 | 50 | 40 |
| Scuole | 50 | -- | 50 | -- |
| Altri recettori | 70 | 60 | 65 | 55 |

I Ricettori si trovano altresì all'interno delle Fasce di pertinenza A e B della via Flaminia per esse valgono i seguenti limiti.

Tabella 4: Infrastruttura stradale esistente di tipologia B

| | Fascia A 100 metri | | Fascia B 150 metri | |
|-------------------------|---------------------|-----------------------|---------------------|-----------------------|
| | Limite diurno dB(A) | Limite notturno dB(A) | Limite diurno dB(A) | Limite notturno dB(A) |
| Ospedali / Case di cura | 50 | 40 | 50 | 40 |
| Scuole | 50 | -- | 50 | -- |
| Altri recettori | 70 | 60 | 65 | 55 |

Nel paragrafo dedicato allo stato di progetto verrà affrontato anche l'effetto della concorsualità che le due infrastrutture esercitano verso la quasi totalità dei Ricettori esposti, tale principio è definito nel DM 29/11/2000.

Al di fuori delle fasce di pertinenza, i limiti sono imposti dalla classificazione acustica del territorio del Comune di Ancona, con riferimento ai valori indicati dalla tabella C del D.P.C.M. 14 novembre 1997. La classificazione acustica del territorio partendo dal lungomare verso l'entro terra prevede la classe IV, III e II. L'area dell'ospedale invece è inserita in Classe I, come riportato nell'immagine seguente.

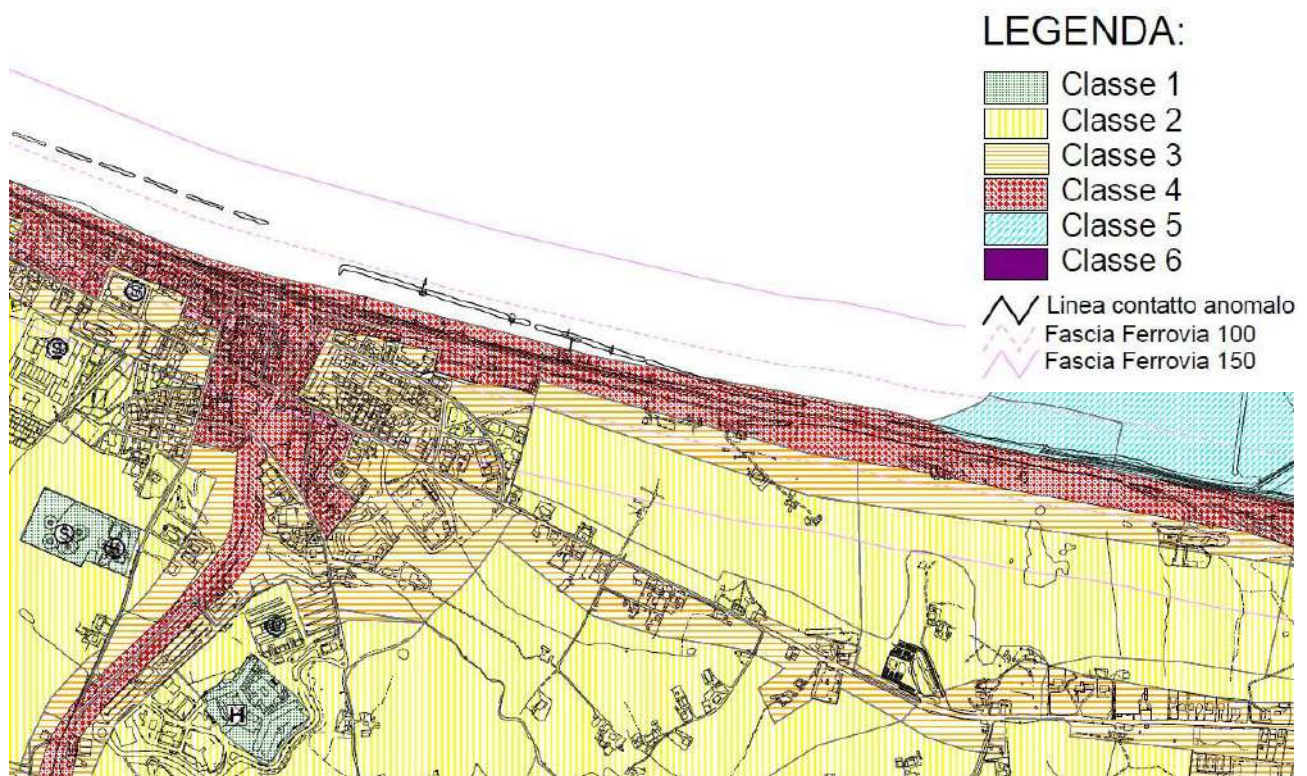


Figura 3 – Zonizzazione acustica Comune di Ancona: A cavallo tra le fasce A e B si trova una scuola, mentre una seconda si trova ai margini della fascia B.

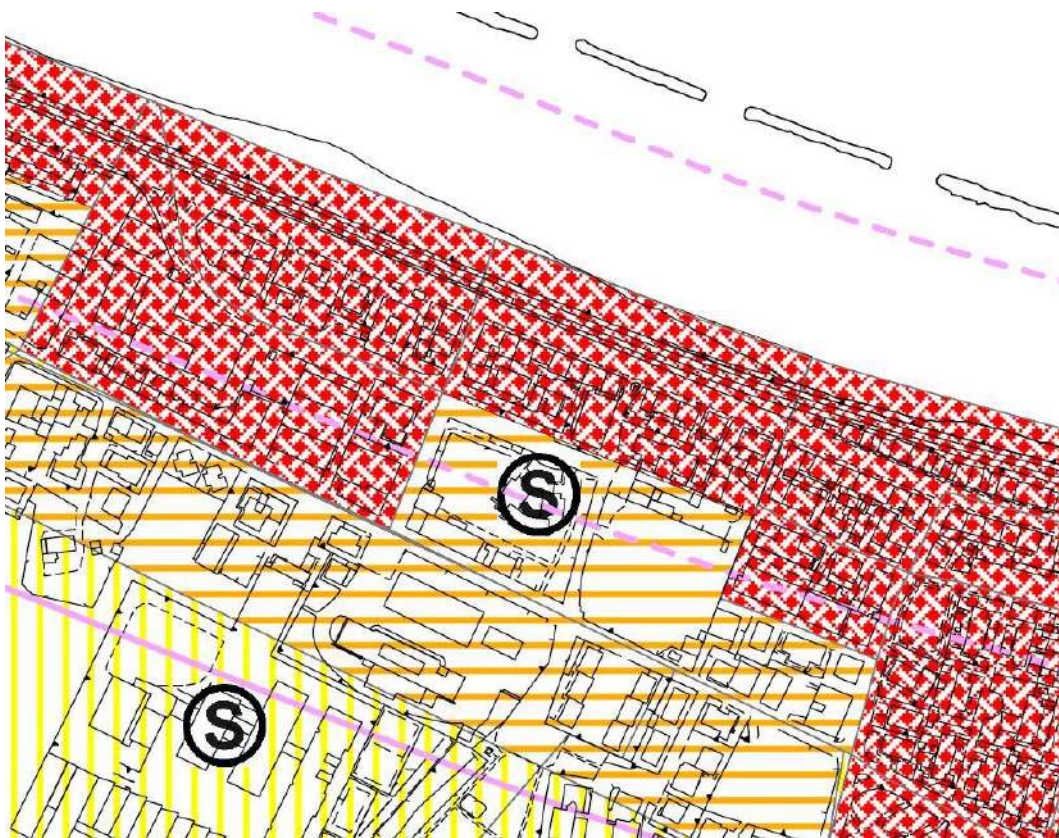


Figura 4 – Indicazione con S di due scuole”

3 Stato attuale

3.1 Indagine fonometrica

L'indagine di 24 ore è stata eseguita presso la banchina esterna del ristorante La vecchia pesca, posizionando due microfoni il primo a 7,5 metri dall'asse del binario più vicino in direzione Sud, ad altezza dal piano del ferro pari a 1,2 metri. Il secondo microfono è stato posizionato a 27,5 metri dall'asse del binario sud, ad altezza dal piano del ferro pari a 3,5 metri.

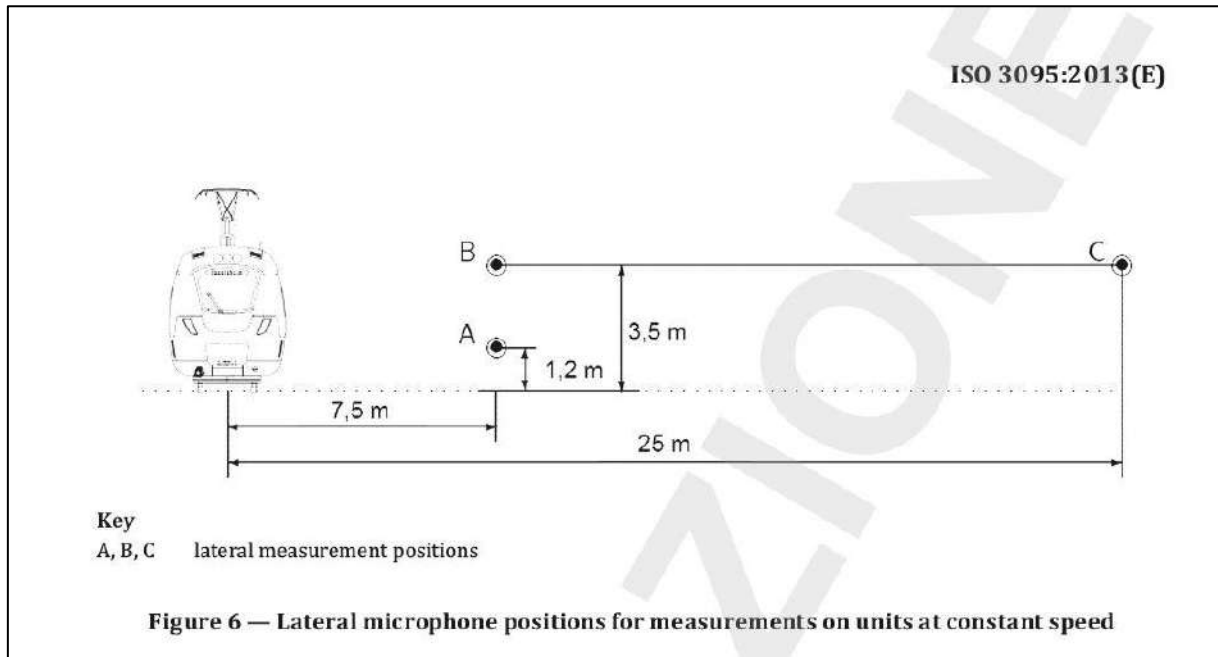


Figure 5 - 6 - Postazione di misura P1 e P2

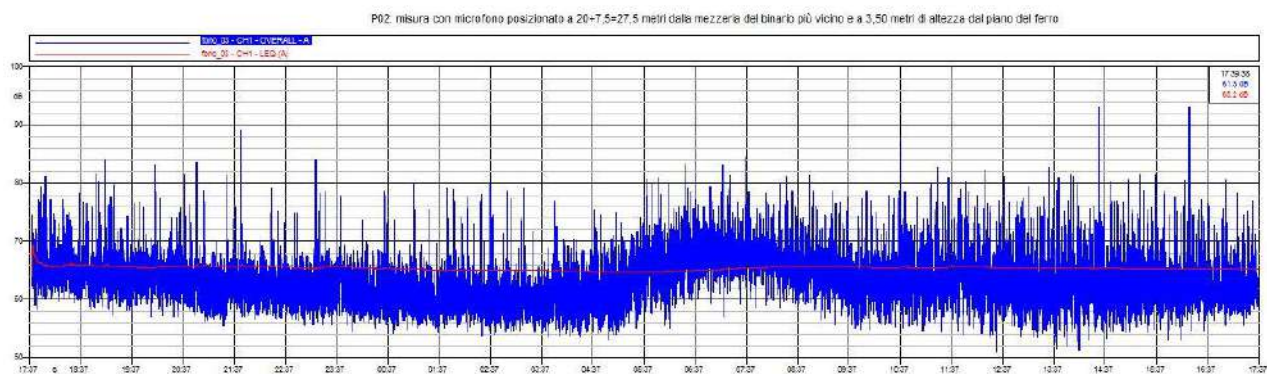
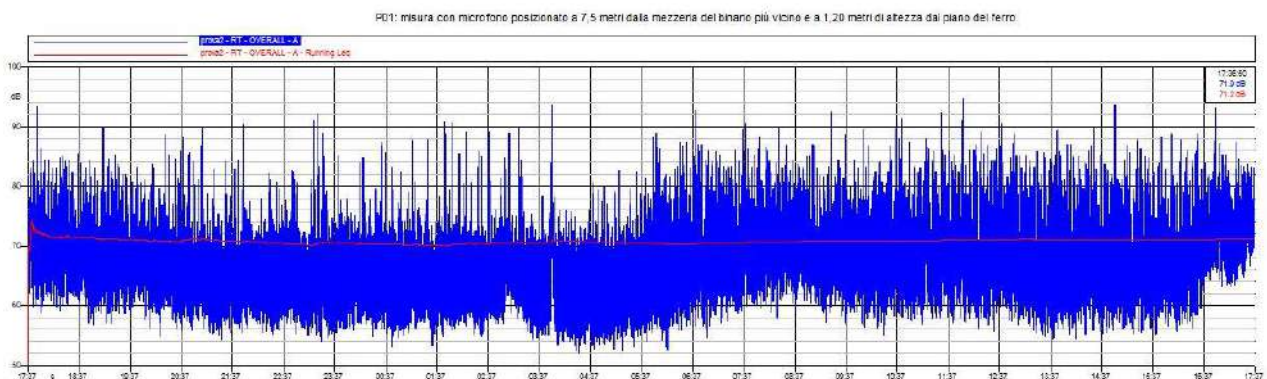
3.2 Strumentazione utilizzata

L'indagine fonometrica è stata eseguita con la seguente strumentazione in classe I dotata di certificato di taratura in corso di validità.

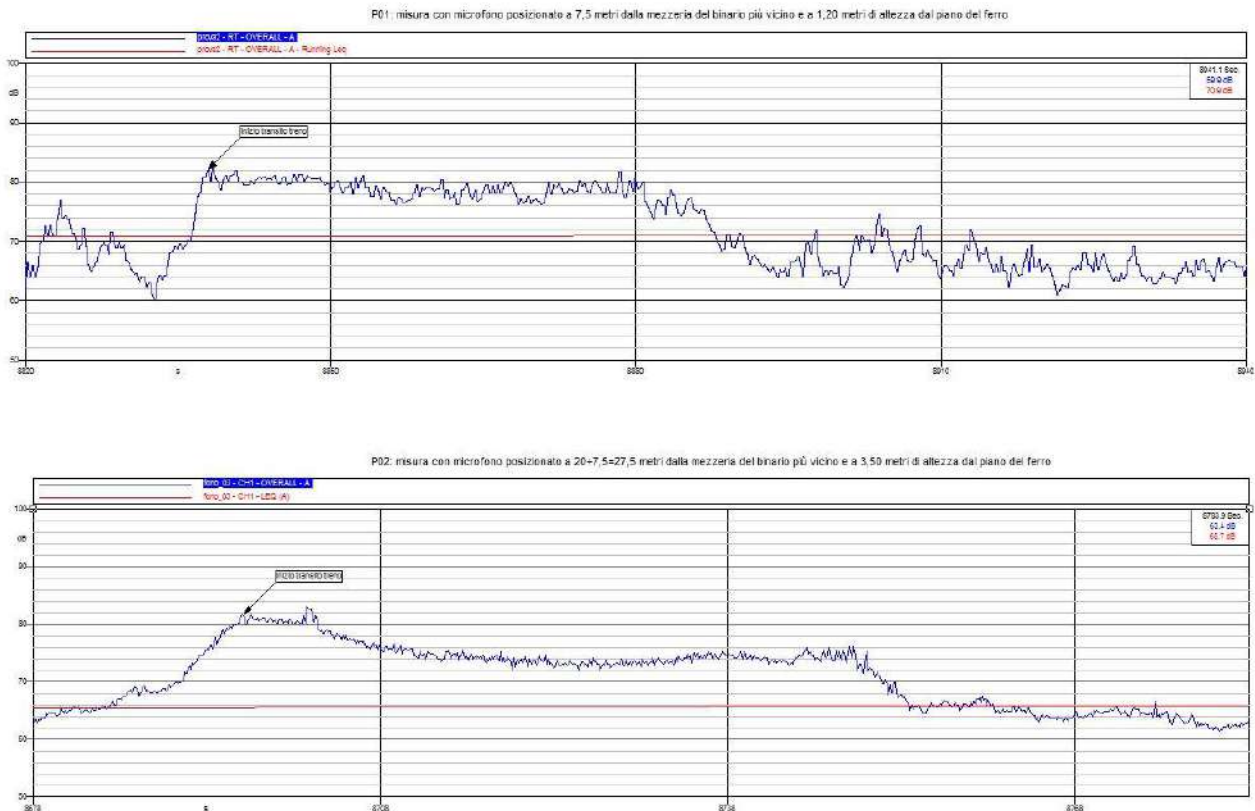
- N.2 fonometri Larson&Davis modello 824
- N.2 Microfoni Larson&Davis prepolarizzati in campo libero modello 2541
- Calibratore Larson&Davis modello CAL 200
- Cavi di prolunga da 10 metri per microfoni in classe 1 Larson&Davis
- Software di acquisizione per strumentazione Larson&Davis, Noise Vibration Works prodotto da Spectra Srl versione 2.9.3

I dati acustici (time history e spettro in 1/8 di ottava) sono stati acquisiti alla velocità di campionamento di 125 mms.

Le misure sono state eseguite nei giorni 26 e 27 marzo 2019, con inizio e termine alle ore 17:37, di seguito si riportano la time history ed il Leq su 24 ore.



Si riportano i diagrammi rilevati in P01 e P02, del passaggio di un treno sul binario Sud della ferrovia.



In P02 si nota come il livello di rumore misurato dopo il passaggio del treno decresca molto lentamente rispetto alla postazione P02. Questo è dovuto al fatto che in P02, il rumore prodotto dalla via Flaminia influenza molto di più la misura di quanto rilevato in P01 che si trova vicino alla sorgente sonora misurata.

Per questo motivo prenderemo come campioni i passaggi rilevati in P01 sul binario più vicino in direzione Sud.

3.3 Traffico ferroviario e campionamento treni stato attuale

Il traffico ferroviario rilevato comprende i giorni 26 e 27 marzo 2019, di seguito si riportano i dati dei passaggi rilevati.

I dati dei treni circolanti nelle date del sopralluogo ci sono stati inviati dalla Direzione Circolazione Area Bari-Ancona, Unità Circolazione Ancona

| Treno | categoria | ora transito | direzione | lunghezza m | Velocità km/h |
|-------|-----------|--------------|-----------|-------------|---------------|
| 56354 | MRS | 0:01 | NORD | 550 | 60 |
| 65031 | TCS | 0:08 | SUD | 550 | 60 |
| 55027 | TCS | 0:21 | SUD | 550 | 60 |
| 55101 | TC | 0:34 | SUD | 550 | 60 |
| 765 | IC | 0:42 | SUD | 220 | 75 |
| 2330 | REG | 0:48 | SUD | 240 | 70 |
| 68004 | TCS | 0:51 | NORD | 550 | 60 |
| 50627 | MRV | 1:06 | SUD | 550 | 60 |
| 755 | IC | 1:26 | SUD | 220 | 75 |
| 52211 | TC | 1:33 | SUD | 550 | 60 |
| 55381 | MRS | 1:44 | SUD | 550 | 60 |
| 757 | IC | 1:58 | SUD | 220 | 75 |
| 52619 | MRV | 2:05 | SUD | 550 | 60 |
| 752 | IC | 2:18 | NORD | 220 | 75 |
| 51005 | TCS | 2:27 | SUD | 550 | 60 |
| 758 | IC | 2:40 | NORD | 220 | 75 |
| 754 | IC | 2:49 | NORD | 220 | 75 |
| 53029 | TCS | 3:05 | SUD | 550 | 60 |
| 68016 | TCS | 3:10 | NORD | 550 | 60 |
| 68504 | TEC | 3:15 | NORD | 550 | 60 |
| 58022 | TCS | 3:27 | NORD | 550 | 60 |
| 68002 | TCS | 3:30 | NORD | 550 | 60 |
| 68018 | TCS | 3:40 | NORD | 550 | 60 |
| 51655 | MRV | 3:49 | SUD | 550 | 60 |
| 2321 | REG | 3:54 | NORD | 240 | 70 |
| 56466 | MRS | 4:29 | NORD | 550 | 60 |
| 68044 | TCS | 4:34 | NORD | 550 | 60 |
| 2124 | REG | 4:39 | NORD | 150 | 70 |
| 8802 | ES | 5:03 | NORD | 280 | 75 |
| 21663 | REG | 5:09 | NORD | 150 | 70 |
| 11526 | REG | 5:40 | NORD | 150 | 70 |
| 12003 | REG | 5:44 | SUD | 55 | 60 |
| 12002 | REG | 5:48 | NORD | 150 | 70 |

| | | | | | |
|-------|-----|-------|------|-----|----|
| 533 | IC | 5:54 | NORD | 220 | 75 |
| 21666 | REG | 5:58 | SUD | 55 | 60 |
| 21665 | REG | 6:03 | NORD | 85 | 70 |
| 9802 | ES | 6:13 | NORD | 280 | 75 |
| 21661 | REG | 6:18 | NORD | 55 | 60 |
| 8804 | ES | 6:24 | NORD | 280 | 75 |
| 56372 | MRS | 6:34 | NORD | 550 | 60 |
| 2126 | REG | 6:40 | NORD | 150 | 70 |
| 21669 | REG | 6:55 | NORD | 55 | 60 |
| 12005 | REG | 6:57 | SUD | 240 | 70 |
| 21668 | REG | 7:04 | SUD | 85 | 70 |
| 12028 | REG | 7:14 | NORD | 85 | 70 |
| 8806 | ES | 7:20 | NORD | 280 | 75 |
| 12007 | REG | 7:23 | SUD | 150 | 70 |
| 21670 | REG | 7:29 | NORD | 85 | 70 |
| 21671 | REG | 7:35 | NORD | 85 | 70 |
| 60353 | MRI | 7:37 | SUD | 550 | 60 |
| 12011 | REG | 7:47 | NORD | 150 | 70 |
| 11528 | REG | 7:48 | NORD | 150 | 70 |
| 21672 | REG | 7:56 | SUD | 150 | 70 |
| 12009 | REG | 8:14 | SUD | 85 | 70 |
| 21676 | REG | 8:29 | SUD | 85 | 70 |
| 12015 | REG | 8:36 | SUD | 240 | 70 |
| 63207 | MRI | 8:41 | SUD | 550 | 60 |
| 604 | IC | 8:42 | NORD | 220 | 75 |
| 2128 | REG | 8:47 | NORD | 150 | 70 |
| 21678 | REG | 8:47 | SUD | 150 | 70 |
| 2323 | REG | 8:52 | NORD | 240 | 70 |
| 2121 | REG | 9:14 | SUD | 150 | 70 |
| 21662 | REG | 9:23 | SUD | 55 | 60 |
| 12017 | REG | 9:28 | SUD | 85 | 70 |
| 8810 | ES | 9:32 | NORD | 280 | 75 |
| 2320 | REG | 9:48 | SUD | 150 | 70 |
| 603 | IC | 10:16 | SUD | 220 | 75 |
| 8801 | ES | 10:27 | SUD | 280 | 75 |
| 9806 | ES | 10:32 | NORD | 280 | 75 |
| 606 | IC | 10:42 | NORD | 220 | 75 |
| 41205 | TEC | 10:44 | NORD | 550 | 60 |
| 2130 | REG | 10:47 | NORD | 150 | 70 |
| 50313 | MRS | 10:52 | SUD | 550 | 60 |
| 2123 | REG | 11:14 | SUD | 150 | 70 |
| 21673 | REG | 11:15 | NORD | 85 | 70 |
| 534 | IC | 11:19 | SUD | 220 | 75 |
| 8803 | ES | 11:26 | SUD | 280 | 75 |

| | | | | | |
|-------|-----|-------|------|-----|----|
| 8814 | ES | 11:32 | NORD | 280 | 75 |
| 11536 | REG | 11:46 | NORD | 150 | 70 |
| 58328 | MRS | 11:53 | NORD | 550 | 60 |
| 21675 | REG | 12:07 | NORD | 55 | 60 |
| 605 | IC | 12:20 | SUD | 220 | 75 |
| 8816 | ES | 12:29 | NORD | 280 | 75 |
| 608 | IC | 12:42 | NORD | 220 | 75 |
| 2132 | REG | 12:47 | NORD | 150 | 70 |
| 21677 | REG | 12:55 | NORD | 85 | 70 |
| 47360 | MRI | 13:03 | NORD | 550 | 60 |
| 21679 | REG | 13:15 | NORD | 85 | 70 |
| 12010 | REG | 13:20 | NORD | 150 | 70 |
| 9805 | ES | 13:26 | SUD | 280 | 75 |
| 8818 | ES | 13:29 | NORD | 280 | 75 |
| 2322 | REG | 13:38 | SUD | 150 | 70 |
| 2325 | REG | 13:45 | NORD | 240 | 70 |
| 12012 | REG | 13:50 | NORD | 240 | 70 |
| 2125 | REG | 13:51 | SUD | 150 | 70 |
| 21684 | REG | 14:04 | SUD | 85 | 70 |
| 21686 | REG | 14:15 | SUD | 85 | 70 |
| 607 | IC | 14:18 | SUD | 220 | 75 |
| 12014 | REG | 14:21 | NORD | 150 | 70 |
| 8809 | ES | 14:26 | SUD | 280 | 75 |
| 21681 | REG | 14:35 | NORD | 55 | 60 |
| 610 | IC | 14:42 | NORD | 220 | 75 |
| 11535 | REG | 14:42 | SUD | 150 | 70 |
| 2134 | REG | 14:47 | NORD | 150 | 70 |
| 21688 | REG | 14:48 | SUD | 55 | 60 |
| 2127 | REG | 15:14 | SUD | 150 | 70 |
| 12016 | REG | 15:20 | NORD | 55 | 60 |
| 8811 | ES | 15:25 | SUD | 280 | 75 |
| 8820 | ES | 15:29 | NORD | 280 | 75 |
| 541 | IC | 15:35 | NORD | 220 | 75 |
| 21682 | REG | 15:41 | SUD | 55 | 60 |
| 21685 | REG | 15:44 | NORD | 150 | 70 |
| 12021 | REG | 15:50 | SUD | 150 | 70 |
| 49334 | MRI | 15:58 | NORD | 550 | 60 |
| 55655 | MRV | 16:02 | SUD | 550 | 60 |
| 11539 | REG | 16:09 | SUD | 150 | 70 |
| 609 | IC | 16:18 | SUD | 220 | 75 |
| 11602 | REG | 16:19 | NORD | 85 | 70 |
| 8891 | ES | 16:24 | SUD | 280 | 75 |
| 21687 | REG | 16:24 | NORD | 55 | 60 |
| 21692 | REG | 16:31 | SUD | 85 | 70 |

| | | | | | |
|-------|-----|-------|------|-----|----|
| 8824 | ES | 16:32 | NORD | 280 | 75 |
| 612 | IC | 16:42 | NORD | 220 | 75 |
| 2136 | REG | 16:47 | NORD | 150 | 70 |
| 12001 | REG | 16:54 | SUD | 240 | 70 |
| 48034 | MRI | 16:56 | NORD | 550 | 60 |
| 2129 | REG | 17:14 | SUD | 150 | 70 |
| 12018 | REG | 17:20 | NORD | 85 | 70 |
| 8813 | ES | 17:25 | SUD | 280 | 75 |
| 9808 | ES | 17:29 | NORD | 280 | 75 |
| 2324 | REG | 17:31 | SUD | 240 | 70 |
| 61731 | MRI | 17:38 | SUD | 550 | 60 |
| 21691 | REG | 17:40 | NORD | 85 | 70 |
| 12020 | REG | 17:48 | NORD | 85 | 70 |
| 66254 | MRI | 17:57 | NORD | 550 | 60 |
| 12023 | REG | 18:03 | SUD | 150 | 70 |
| 52611 | MRV | 18:09 | SUD | 550 | 60 |
| 611 | IC | 18:19 | SUD | 220 | 75 |
| 11606 | REG | 18:21 | NORD | 240 | 75 |
| 8815 | ES | 18:25 | SUD | 280 | 75 |
| 8828 | ES | 18:29 | NORD | 280 | 75 |
| 21694 | REG | 18:31 | SUD | 55 | 60 |
| 2327 | REG | 18:34 | NORD | 240 | 75 |
| 614 | IC | 18:42 | NORD | 220 | 75 |
| 9809 | ES | 18:43 | SUD | 280 | 75 |
| 12025 | REG | 18:45 | SUD | 55 | 60 |
| 2138 | REG | 18:47 | NORD | 150 | 70 |
| 67018 | MRI | 18:55 | NORD | 550 | 60 |
| 47067 | MRI | 18:55 | SUD | 550 | 60 |
| 540 | IC | 19:01 | SUD | 220 | 75 |
| 21695 | REG | 19:09 | NORD | 55 | 60 |
| 2131 | REG | 19:16 | SUD | 150 | 70 |
| 12022 | REG | 19:20 | NORD | 55 | 60 |
| 21698 | REG | 19:21 | SUD | 55 | 60 |
| 12027 | REG | 19:27 | SUD | 85 | 70 |
| 61393 | MRS | 19:32 | SUD | 550 | 60 |
| 8819 | ES | 19:39 | SUD | 280 | 75 |
| 61382 | MRS | 19:42 | NORD | 550 | 60 |
| 2326 | REG | 19:48 | SUD | 240 | 75 |
| 12024 | REG | 19:48 | NORD | 240 | 70 |
| 12029 | REG | 19:54 | SUD | 85 | 60 |
| 2329 | REG | 19:55 | NORD | 150 | 70 |
| 613 | IC | 20:21 | SUD | 220 | 75 |
| 11545 | REG | 20:28 | SUD | 150 | 70 |
| 8830 | ES | 20:29 | NORD | 280 | 75 |

| | | | | | |
|-------|-----|-------|------|-----|----|
| 21696 | REG | 20:34 | SUD | 55 | 60 |
| 21697 | REG | 20:34 | NORD | 55 | 60 |
| 9811 | ES | 20:42 | SUD | 280 | 75 |
| 2140 | REG | 20:47 | NORD | 150 | 70 |
| 21700 | REG | 20:51 | SUD | 85 | 70 |
| 58610 | MRV | 21:09 | NORD | 550 | 60 |
| 2133 | REG | 21:14 | SUD | 150 | 70 |
| 21699 | REG | 21:34 | NORD | 85 | 70 |
| 8823 | ES | 21:37 | SUD | 280 | 75 |
| 66064 | TCS | 22:09 | NORD | 550 | 60 |
| 2328 | REG | 22:18 | SUD | 240 | 70 |
| 8825 | ES | 22:37 | SUD | 280 | 75 |
| 12026 | REG | 22:46 | NORD | 150 | 70 |
| 68326 | MRS | 22:55 | NORD | 550 | 60 |
| 68402 | MRS | 23:01 | NORD | 550 | 60 |
| 58342 | MRS | 23:15 | NORD | 550 | 60 |
| 2137 | REG | 23:16 | SUD | 150 | 70 |
| 8829 | ES | 23:25 | SUD | 280 | 75 |
| 58112 | TC | 23:29 | NORD | 550 | 60 |
| 51065 | TCS | 23:52 | SUD | 550 | 60 |

NOTA: le velocità dei transiti sono state ricavate dai dati riportati nel fascicolo di linea (Ancona Torrette) Appendice 32 pagine 103 e 123 (vedi allegato) e sono state confermate con misure empiriche durante il sopralluogo del marzo 2019.

Per semplificare i calcoli abbiamo raggruppato i treni in sei categorie

1. REG lunghezza media 55 metri;
2. REG lunghezza media 85 metri;
3. REG lunghezza media 150 e 240 metri;
4. IC lunghezza media 220 metri;
5. ES lunghezza media 280 metri;
6. MERCI lunghezza media 550 metri

Suddividendo il traffico ferroviario tra periodo diurno e notturno in base alle categorie evidenziate si ricavano i seguenti volumi di transiti verso nord e verso sud.

PERIODO DIURNO 06-22

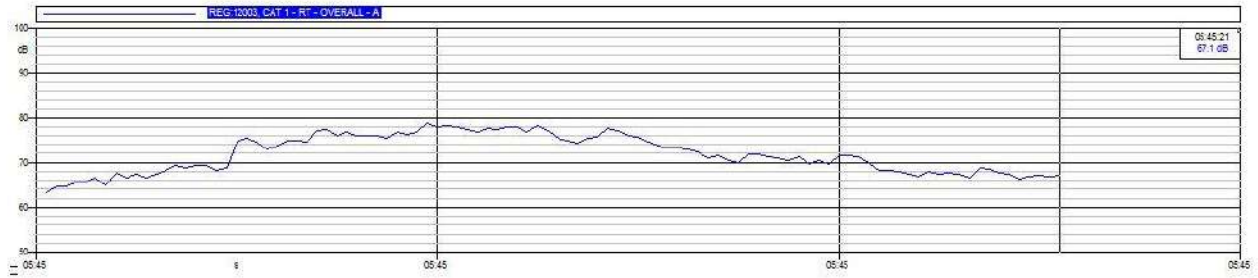
| | CAT 1 | CAT 2 | CAT 3 | CAT 4 | CAT 5 | CAT 6 |
|------------------|-------|-------|-------|-------|-------|-------|
| N. transiti Sud | 7 | 9 | 22 | 8 | 12 | 8 |
| N. transiti Nord | 8 | 12 | 21 | 7 | 13 | 10 |

PERIODO NOTTURNO 22-06

| | CAT 1 | CAT 2 | CAT 3 | CAT 4 | CAT 5 | CAT 6 |
|------------------|-------|-------|-------|-------|-------|-------|
| N. transiti Sud | 2 | 0 | 3 | 3 | 2 | 11 |
| N. transiti Nord | 0 | 0 | 6 | 4 | 1 | 14 |

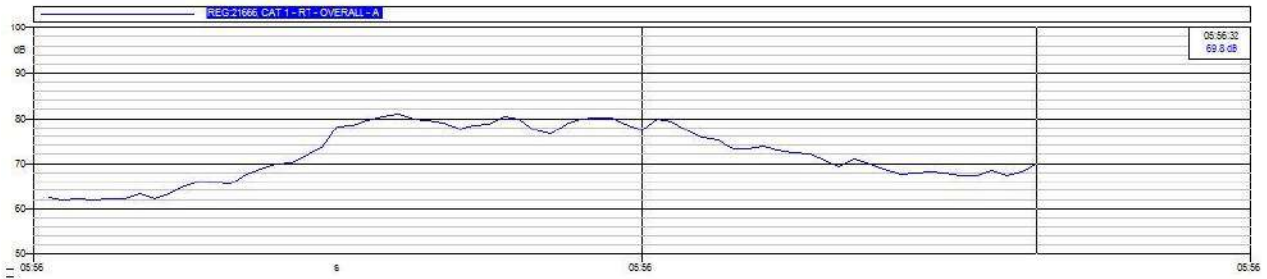
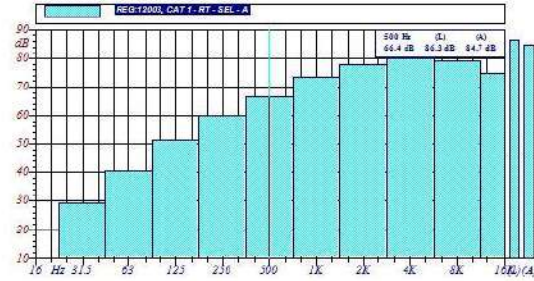
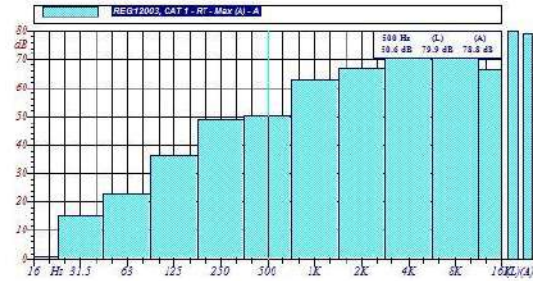
Come si può notare dalle due tabelle, il traffico notturno è caratterizzato dallo aumento del numero di transiti dei treni merci, più rumorosi di quelli per passeggeri.

Di ogni categoria abbiamo poi estrapolato dalla misura globale il livello di pressione sonora di ogni singolo transito, riportando in grafico la time history dell'evento e gli spettri in 1/8 di Lmax e del SEL in dB(A).



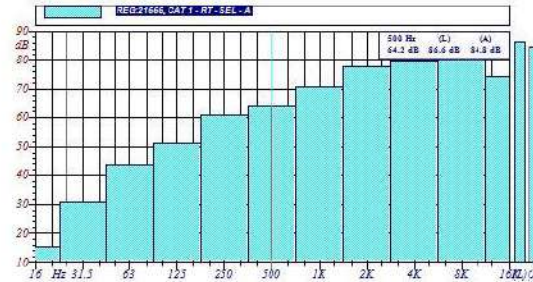
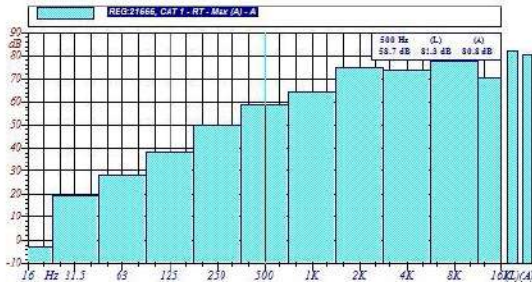
| REG 12003, CAT 1 RT - Max(A) A | | | | | |
|--------------------------------------|------------|----------|------------|---------|------------|
| Hz | dB | Hz | dB | Hz | dB |
| 16 Hz | 0.9 dB(A) | 31.5 Hz | 15.2 dB(A) | 63 Hz | 33.0 dB(A) |
| 125 Hz | 36.4 dB(A) | 250 Hz | 49.2 dB(A) | 500 Hz | 59.8 dB(A) |
| 1000 Hz | 63.1 dB(A) | 2000 Hz | 66.8 dB(A) | 4000 Hz | 74.1 dB(A) |
| 8000 Hz | 75.8 dB(A) | 16000 Hz | 66.8 dB(A) | | |

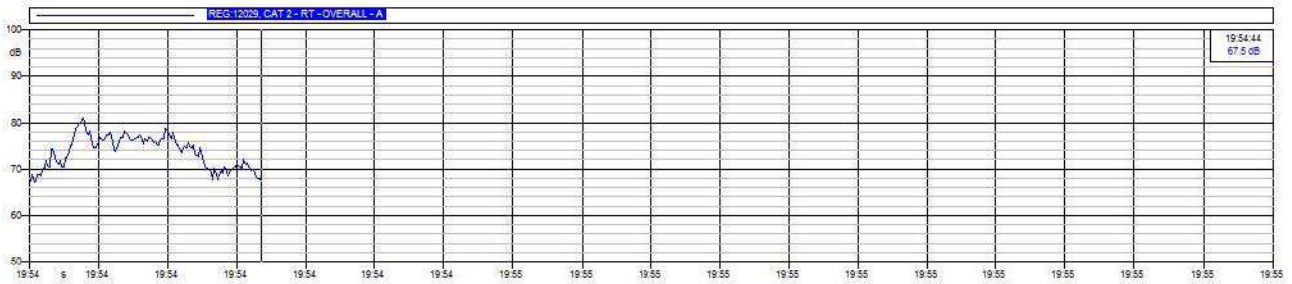
| REG 12003, CAT 1 RT - SEL A | | | | | |
|-----------------------------------|------------|----------|------------|---------|------------|
| Hz | dB | Hz | dB | Hz | dB |
| 16 Hz | 10.3 dB(A) | 31.5 Hz | 29.1 dB(A) | 63 Hz | 40.3 dB(A) |
| 125 Hz | 51.3 dB(A) | 250 Hz | 60.1 dB(A) | 500 Hz | 66.4 dB(A) |
| 1000 Hz | 73.5 dB(A) | 2000 Hz | 77.8 dB(A) | 4000 Hz | 80.0 dB(A) |
| 8000 Hz | 79.0 dB(A) | 16000 Hz | 74.7 dB(A) | | |



| REG 21666, CAT 1 RT - Max(A) A | | | | | |
|--------------------------------------|------------|----------|------------|---------|------------|
| Hz | dB | Hz | dB | Hz | dB |
| 16 Hz | -2.8 dB(A) | 31.5 Hz | 19.6 dB(A) | 63 Hz | 38.3 dB(A) |
| 125 Hz | 38.1 dB(A) | 250 Hz | 50.0 dB(A) | 500 Hz | 58.7 dB(A) |
| 1000 Hz | 64.2 dB(A) | 2000 Hz | 74.4 dB(A) | 4000 Hz | 73.5 dB(A) |
| 8000 Hz | 77.5 dB(A) | 16000 Hz | 70.3 dB(A) | | |

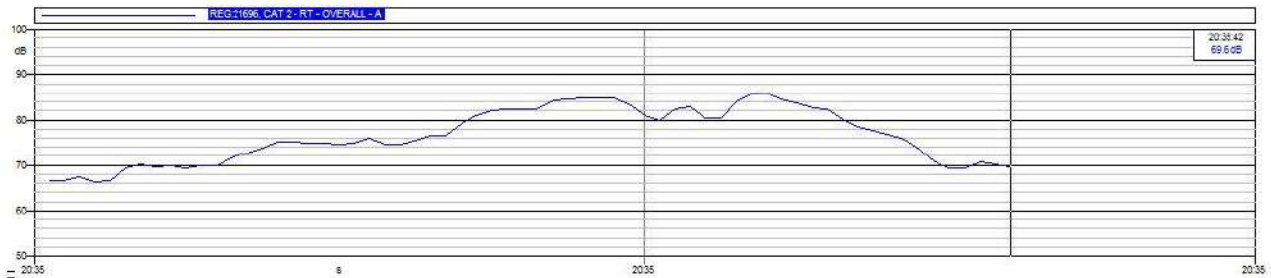
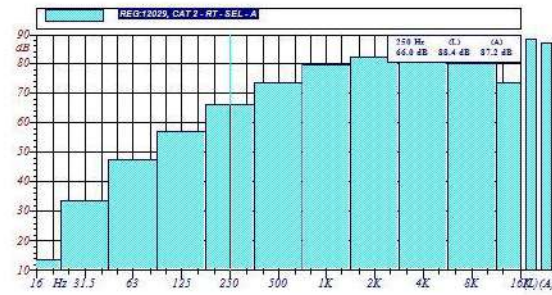
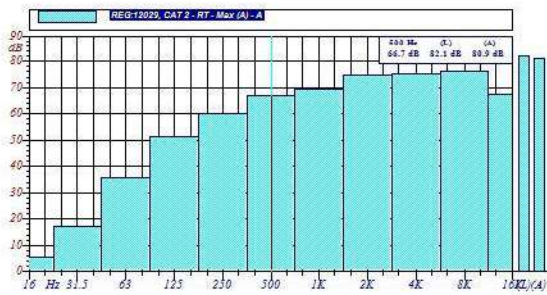
| REG 21666, CAT 1 RT - SEL A | | | | | |
|-----------------------------------|------------|----------|------------|---------|------------|
| Hz | dB | Hz | dB | Hz | dB |
| 16 Hz | 15.5 dB(A) | 31.5 Hz | 31.2 dB(A) | 63 Hz | 43.4 dB(A) |
| 125 Hz | 51.3 dB(A) | 250 Hz | 61.0 dB(A) | 500 Hz | 64.2 dB(A) |
| 1000 Hz | 73.8 dB(A) | 2000 Hz | 77.9 dB(A) | 4000 Hz | 79.6 dB(A) |
| 8000 Hz | 80.1 dB(A) | 16000 Hz | 74.5 dB(A) | | |





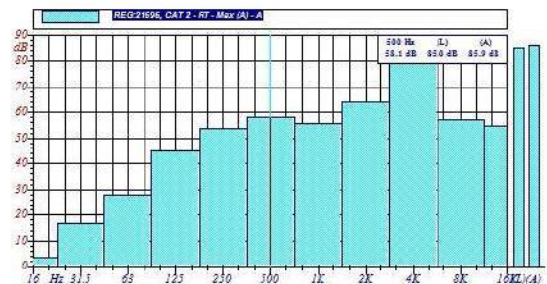
| REG-12029, CAT 2 RT - Max (A) | | | | | |
|----------------------------------|------------|----------|------------|---------|------------|
| Hz | dB | Hz | dB | Hz | dB |
| 16 Hz | 5.8 dB(A) | 31.5 Hz | 17.1 dB(A) | 63 Hz | 35.7 dB(A) |
| 125 Hz | 51.2 dB(A) | 250 Hz | 60.2 dB(A) | 500 Hz | 66.7 dB(A) |
| 1000 Hz | 68.8 dB(A) | 2000 Hz | 71.6 dB(A) | 4000 Hz | 78.1 dB(A) |
| 8000 Hz | 76.1 dB(A) | 16000 Hz | 67.4 dB(A) | | |

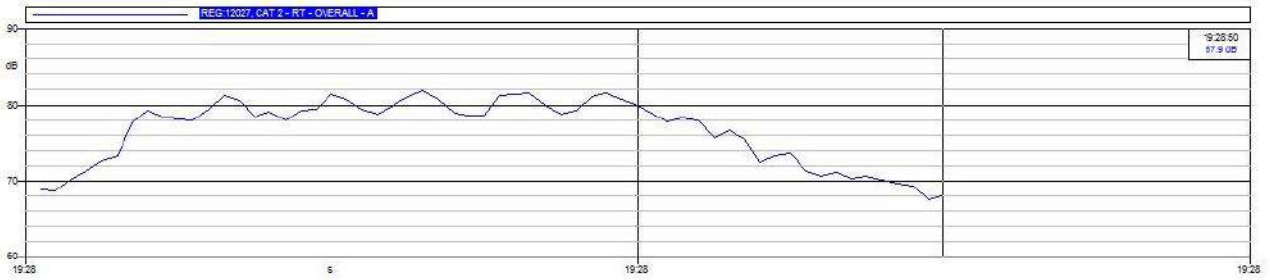
| REG-12029, CAT 2 RT - SEL | | | | | |
|------------------------------|------------|----------|------------|---------|------------|
| Hz | dB | Hz | dB | Hz | dB |
| 16 Hz | 13.9 dB(A) | 31.5 Hz | 33.7 dB(A) | 63 Hz | 47.5 dB(A) |
| 125 Hz | 57.2 dB(A) | 250 Hz | 66.0 dB(A) | 500 Hz | 73.5 dB(A) |
| 1000 Hz | 79.4 dB(A) | 2000 Hz | 83.0 dB(A) | 4000 Hz | 81.0 dB(A) |
| 8000 Hz | 80.0 dB(A) | 16000 Hz | 73.5 dB(A) | | |



| REG-21696, CAT 2 RT - Max (A) | | | | | |
|----------------------------------|------------|----------|------------|---------|------------|
| Hz | dB | Hz | dB | Hz | dB |
| 16 Hz | 3.5 dB(A) | 31.5 Hz | 16.8 dB(A) | 63 Hz | 28.1 dB(A) |
| 125 Hz | 46.1 dB(A) | 250 Hz | 53.7 dB(A) | 500 Hz | 58.1 dB(A) |
| 1000 Hz | 55.8 dB(A) | 2000 Hz | 63.9 dB(A) | 4000 Hz | 65.8 dB(A) |
| 8000 Hz | 57.0 dB(A) | 16000 Hz | 54.6 dB(A) | | |

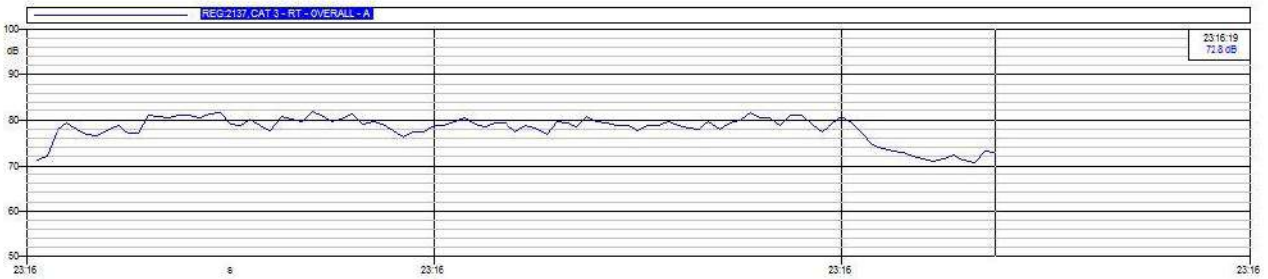
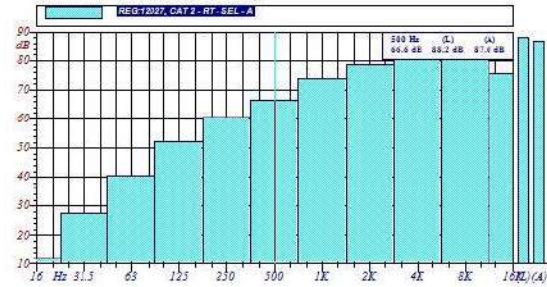
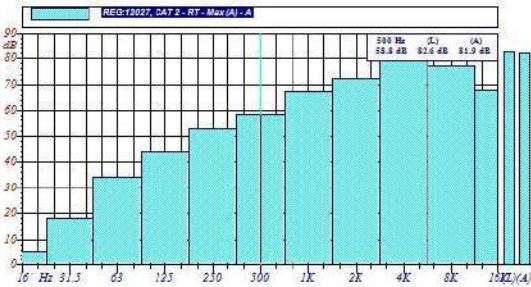
| REG-21696, CAT 2 RT - SEL | | | | | |
|------------------------------|------------|----------|------------|---------|------------|
| Hz | dB | Hz | dB | Hz | dB |
| 16 Hz | 12.7 dB(A) | 31.5 Hz | 28.5 dB(A) | 63 Hz | 40.7 dB(A) |
| 125 Hz | 51.8 dB(A) | 250 Hz | 59.6 dB(A) | 500 Hz | 66.8 dB(A) |
| 1000 Hz | 70.9 dB(A) | 2000 Hz | 80.1 dB(A) | 4000 Hz | 88.0 dB(A) |
| 8000 Hz | 72.2 dB(A) | 16000 Hz | 66.9 dB(A) | | |





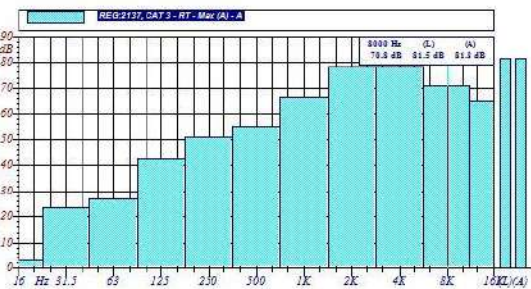
| REG-12027, CAT 2 RT - Max (A) | | | | | |
|----------------------------------|------------|----------|------------|---------|------------|
| Hz | dB | Hz | dB | Hz | dB |
| 16 Hz | 5.6 dB(A) | 31.5 Hz | 18.1 dB(A) | 63 Hz | 34.2 dB(A) |
| 125 Hz | 44.0 dB(A) | 250 Hz | 52.5 dB(A) | 500 Hz | 59.8 dB(A) |
| 1000 Hz | 67.5 dB(A) | 2000 Hz | 72.2 dB(A) | 4000 Hz | 78.9 dB(A) |
| 8000 Hz | 77.9 dB(A) | 16000 Hz | 67.9 dB(A) | | |

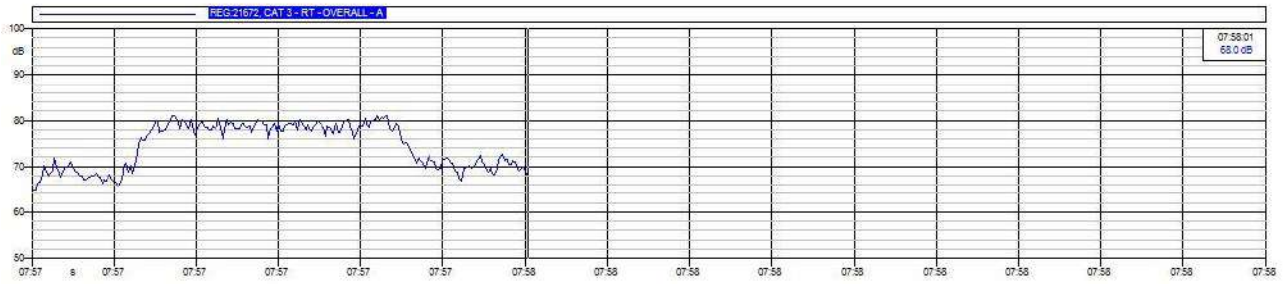
| REG-12027, CAT 2 RT - SEL (A) | | | | | |
|----------------------------------|------------|----------|------------|---------|------------|
| Hz | dB | Hz | dB | Hz | dB |
| 16 Hz | 11.8 dB(A) | 31.5 Hz | 27.7 dB(A) | 63 Hz | 40.5 dB(A) |
| 125 Hz | 52.3 dB(A) | 250 Hz | 60.5 dB(A) | 500 Hz | 68.0 dB(A) |
| 1000 Hz | 73.8 dB(A) | 2000 Hz | 78.9 dB(A) | 4000 Hz | 82.7 dB(A) |
| 8000 Hz | 82.3 dB(A) | 16000 Hz | 75.6 dB(A) | | |



| REG-2137, CAT 3 RT - Max (A) | | | | | |
|---------------------------------|------------|----------|------------|---------|------------|
| Hz | dB | Hz | dB | Hz | dB |
| 16 Hz | 3.0 dB(A) | 31.5 Hz | 23.5 dB(A) | 63 Hz | 26.9 dB(A) |
| 125 Hz | 42.3 dB(A) | 250 Hz | 51.0 dB(A) | 500 Hz | 58.4 dB(A) |
| 1000 Hz | 66.5 dB(A) | 2000 Hz | 73.2 dB(A) | 4000 Hz | 78.0 dB(A) |
| 8000 Hz | 70.8 dB(A) | 16000 Hz | 66.2 dB(A) | | |

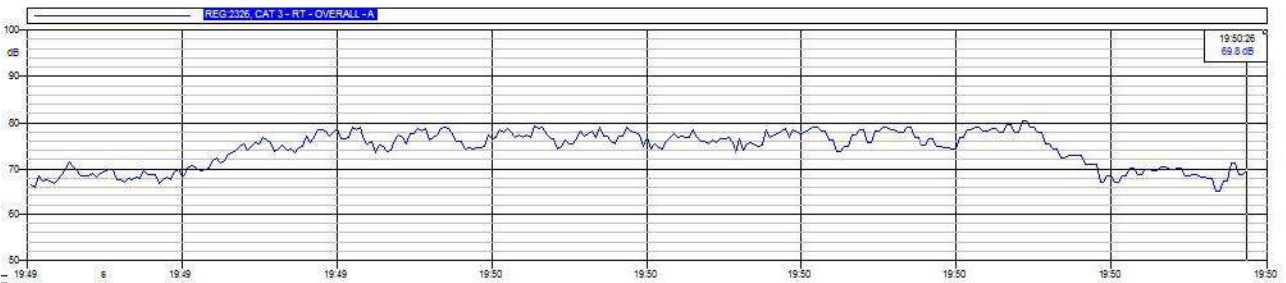
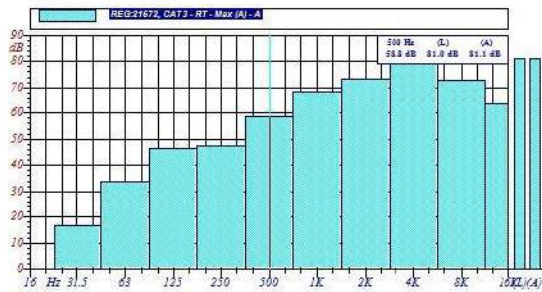
| REG-2137, CAT 3 RT - SEL (A) | | | | | |
|---------------------------------|------------|----------|------------|---------|------------|
| Hz | dB | Hz | dB | Hz | dB |
| 16 Hz | 14.1 dB(A) | 31.5 Hz | 31.4 dB(A) | 63 Hz | 44.3 dB(A) |
| 125 Hz | 56.1 dB(A) | 250 Hz | 61.0 dB(A) | 500 Hz | 68.1 dB(A) |
| 1000 Hz | 77.1 dB(A) | 2000 Hz | 84.4 dB(A) | 4000 Hz | 88.2 dB(A) |
| 8000 Hz | 81.3 dB(A) | 16000 Hz | 75.9 dB(A) | | |





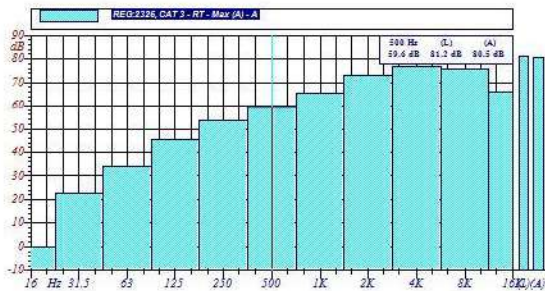
| REG-21672, CAT 3 RT - Max (A) | | | | | |
|----------------------------------|------------|----------|------------|---------|------------|
| Hz | dB | Hz | dB | Hz | dB |
| 16 Hz | 0.0 dB(A) | 31.5 Hz | 15.8 dB(A) | 63 Hz | 33.8 dB(A) |
| 125 Hz | 46.7 dB(A) | 250 Hz | 47.4 dB(A) | 500 Hz | 53.8 dB(A) |
| 1000 Hz | 63.2 dB(A) | 2000 Hz | 73.2 dB(A) | 4000 Hz | 78.9 dB(A) |
| 8000 Hz | 73.0 dB(A) | 16000 Hz | 63.5 dB(A) | | |

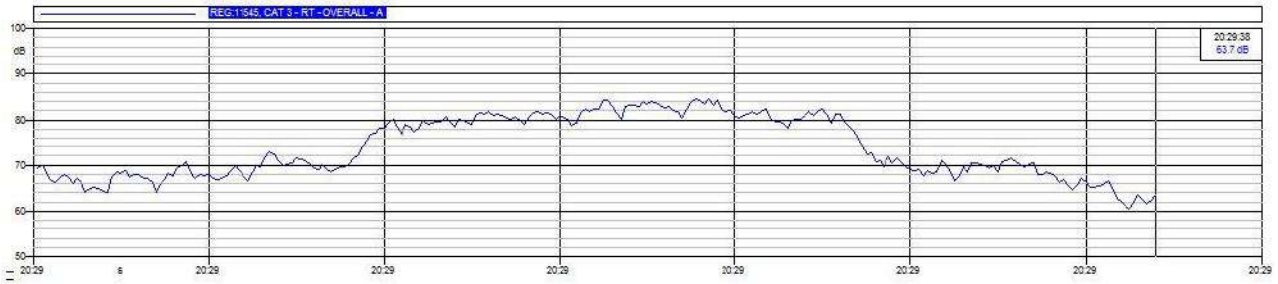
| REG-21672, CAT 3 RT - SEL | | | | | |
|------------------------------|------------|----------|------------|---------|------------|
| Hz | dB | Hz | dB | Hz | dB |
| 16 Hz | 16.4 dB(A) | 31.5 Hz | 34.4 dB(A) | 63 Hz | 48.0 dB(A) |
| 125 Hz | 52.0 dB(A) | 250 Hz | 57.1 dB(A) | 500 Hz | 71.8 dB(A) |
| 1000 Hz | 80.9 dB(A) | 2000 Hz | 85.6 dB(A) | 4000 Hz | 86.9 dB(A) |
| 8000 Hz | 85.1 dB(A) | 16000 Hz | 75.1 dB(A) | | |



| REG-2326, CAT 3 RT - Max (A) | | | | | |
|---------------------------------|------------|----------|------------|---------|------------|
| Hz | dB | Hz | dB | Hz | dB |
| 16 Hz | -0.3 dB(A) | 31.5 Hz | 22.5 dB(A) | 63 Hz | 33.8 dB(A) |
| 125 Hz | 42.4 dB(A) | 250 Hz | 53.4 dB(A) | 500 Hz | 59.6 dB(A) |
| 1000 Hz | 65.3 dB(A) | 2000 Hz | 73.0 dB(A) | 4000 Hz | 76.6 dB(A) |
| 8000 Hz | 75.8 dB(A) | 16000 Hz | 66.0 dB(A) | | |

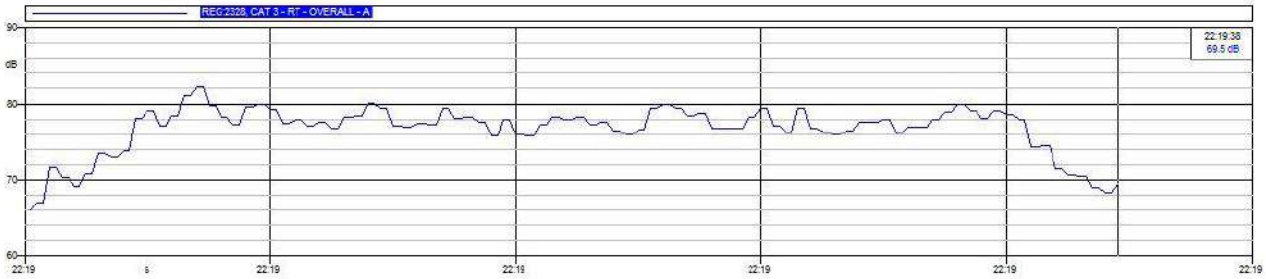
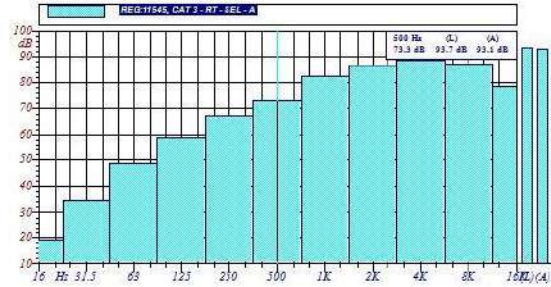
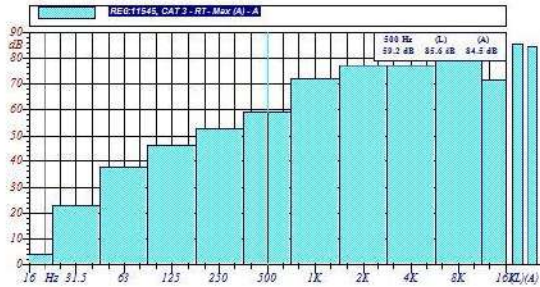
| REG-2326, CAT 3 RT - SEL | | | | | |
|-----------------------------|------------|----------|------------|---------|------------|
| Hz | dB | Hz | dB | Hz | dB |
| 16 Hz | 16.3 dB(A) | 31.5 Hz | 34.9 dB(A) | 63 Hz | 48.0 dB(A) |
| 125 Hz | 52.2 dB(A) | 250 Hz | 57.8 dB(A) | 500 Hz | 75.0 dB(A) |
| 1000 Hz | 82.2 dB(A) | 2000 Hz | 84.4 dB(A) | 4000 Hz | 85.5 dB(A) |
| 8000 Hz | 87.5 dB(A) | 16000 Hz | 79.9 dB(A) | | |





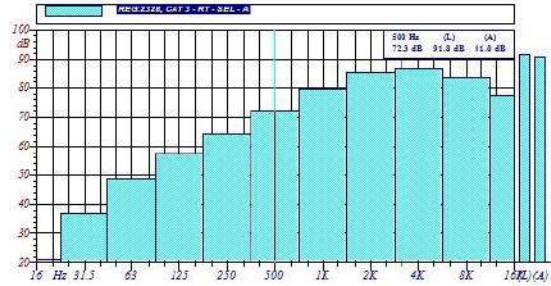
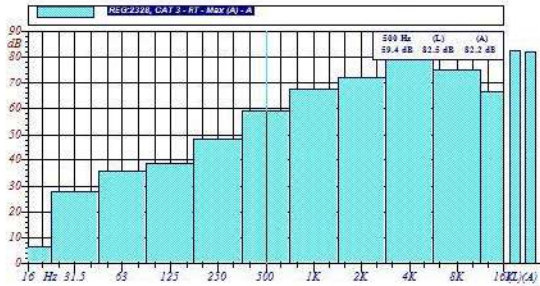
| REG-11545, CAT 3 RT - Max (A) | | | | | |
|----------------------------------|------------|----------|------------|---------|------------|
| Hz | dB | Hz | dB | Hz | dB |
| 16 Hz | 47.0 dB(A) | 31.5 Hz | 53.2 dB(A) | 63 Hz | 57.8 dB(A) |
| 125 Hz | 46.4 dB(A) | 250 Hz | 59.9 dB(A) | 500 Hz | 59.2 dB(A) |
| 1000 Hz | 72.0 dB(A) | 2000 Hz | 77.4 dB(A) | 4000 Hz | 77.2 dB(A) |
| 8000 Hz | 81.6 dB(A) | 16000 Hz | 71.3 dB(A) | | |

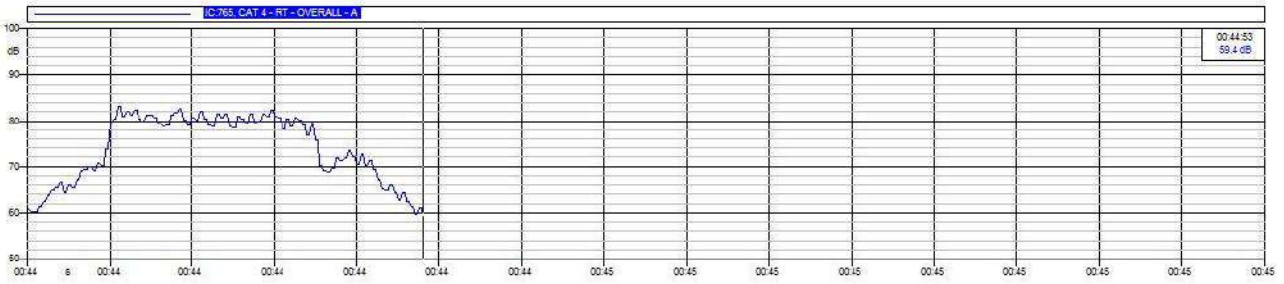
| REG-11545, CAT 3 RT - SEL | | | | | |
|------------------------------|------------|----------|------------|---------|------------|
| Hz | dB | Hz | dB | Hz | dB |
| 16 Hz | 19.1 dB(A) | 31.5 Hz | 34.4 dB(A) | 63 Hz | 43.5 dB(A) |
| 125 Hz | 59.0 dB(A) | 250 Hz | 67.0 dB(A) | 500 Hz | 73.3 dB(A) |
| 1000 Hz | 82.3 dB(A) | 2000 Hz | 86.8 dB(A) | 4000 Hz | 88.9 dB(A) |
| 8000 Hz | 87.1 dB(A) | 16000 Hz | 78.3 dB(A) | | |



| REG-2328, CAT 3 RT - Max (A) | | | | | |
|---------------------------------|------------|----------|------------|---------|------------|
| Hz | dB | Hz | dB | Hz | dB |
| 16 Hz | 6.3 dB(A) | 31.5 Hz | 28.0 dB(A) | 63 Hz | 35.6 dB(A) |
| 125 Hz | 38.8 dB(A) | 250 Hz | 48.6 dB(A) | 500 Hz | 59.4 dB(A) |
| 1000 Hz | 67.2 dB(A) | 2000 Hz | 72.4 dB(A) | 4000 Hz | 80.2 dB(A) |
| 8000 Hz | 78.1 dB(A) | 16000 Hz | 66.2 dB(A) | | |

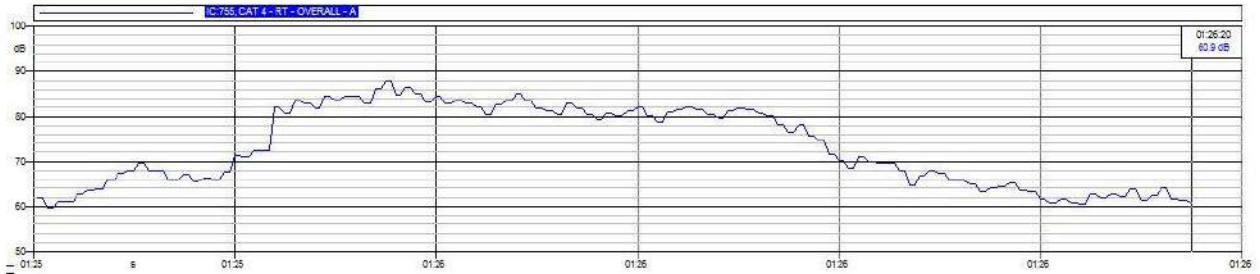
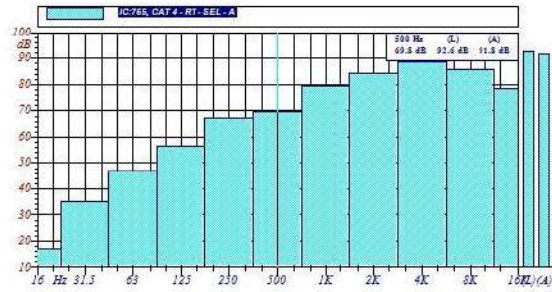
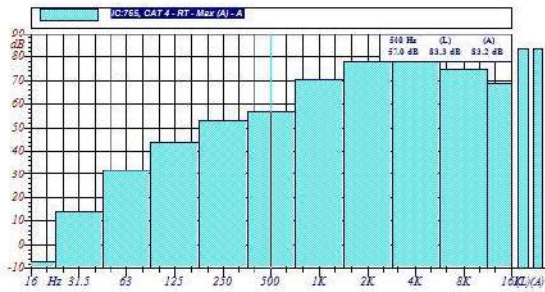
| REG-2328, CAT 3 RT - SEL | | | | | |
|-----------------------------|------------|----------|------------|---------|------------|
| Hz | dB | Hz | dB | Hz | dB |
| 16 Hz | 20.9 dB(A) | 31.5 Hz | 37.0 dB(A) | 63 Hz | 43.8 dB(A) |
| 125 Hz | 57.3 dB(A) | 250 Hz | 64.5 dB(A) | 500 Hz | 72.3 dB(A) |
| 1000 Hz | 75.6 dB(A) | 2000 Hz | 85.5 dB(A) | 4000 Hz | 86.8 dB(A) |
| 8000 Hz | 81.8 dB(A) | 16000 Hz | 77.4 dB(A) | | |





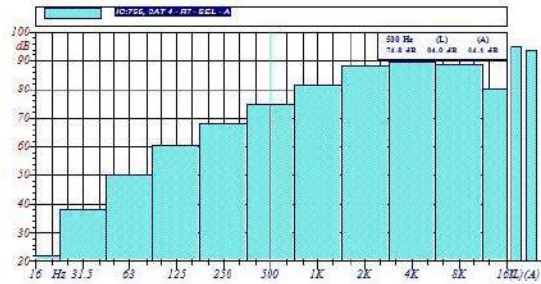
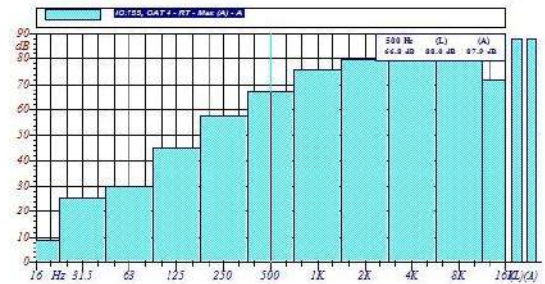
| IC-765, CAT 4 RT - Max (A) | | | | | |
|-------------------------------|------------|----------|------------|---------|------------|
| Hz | dB | Hz | dB | Hz | dB |
| 16 Hz | 27.3 dB(A) | 31.5 Hz | 31.8 dB(A) | 63 Hz | 31.7 dB(A) |
| 125 Hz | 43.7 dB(A) | 250 Hz | 52.8 dB(A) | 500 Hz | 57.0 dB(A) |
| 1000 Hz | 70.1 dB(A) | 2000 Hz | 75.1 dB(A) | 4000 Hz | 79.8 dB(A) |
| 8000 Hz | 74.5 dB(A) | 16000 Hz | 68.9 dB(A) | | |

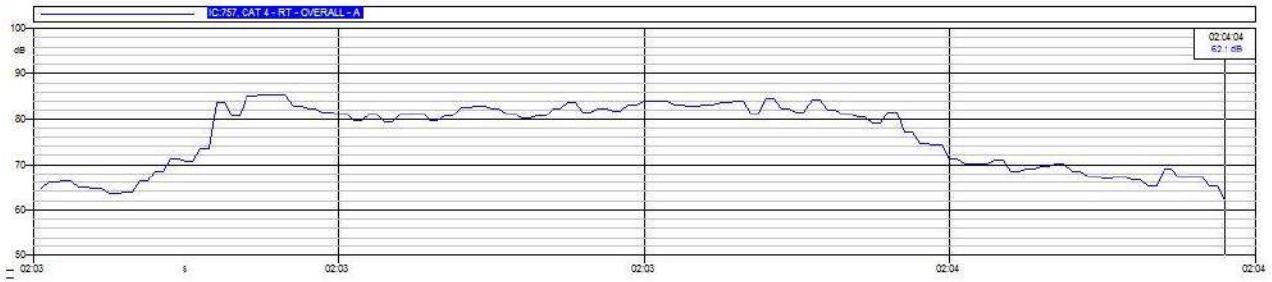
| IC-765, CAT 4 RT - SEL - A | | | | | |
|-------------------------------|------------|----------|------------|---------|------------|
| Hz | dB | Hz | dB | Hz | dB |
| 16 Hz | 17.2 dB(A) | 31.5 Hz | 35.2 dB(A) | 63 Hz | 36.7 dB(A) |
| 125 Hz | 56.8 dB(A) | 250 Hz | 67.5 dB(A) | 500 Hz | 69.8 dB(A) |
| 1000 Hz | 79.4 dB(A) | 2000 Hz | 84.2 dB(A) | 4000 Hz | 88.6 dB(A) |
| 8000 Hz | 85.6 dB(A) | 16000 Hz | 78.3 dB(A) | | |



| IC-765, CAT 4 RT - Max (A) | | | | | |
|-------------------------------|------------|----------|------------|---------|------------|
| Hz | dB | Hz | dB | Hz | dB |
| 16 Hz | 8.9 dB(A) | 31.5 Hz | 25.6 dB(A) | 63 Hz | 30.1 dB(A) |
| 125 Hz | 45.2 dB(A) | 250 Hz | 57.6 dB(A) | 500 Hz | 66.8 dB(A) |
| 1000 Hz | 75.7 dB(A) | 2000 Hz | 79.4 dB(A) | 4000 Hz | 85.5 dB(A) |
| 8000 Hz | 80.7 dB(A) | 16000 Hz | 71.8 dB(A) | | |

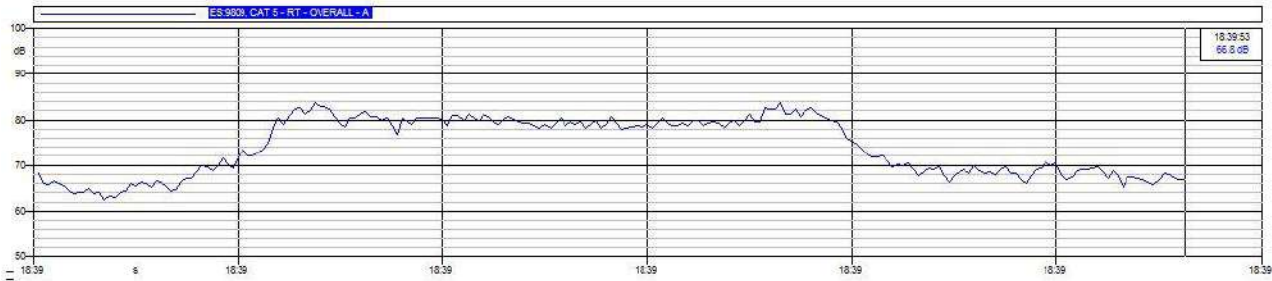
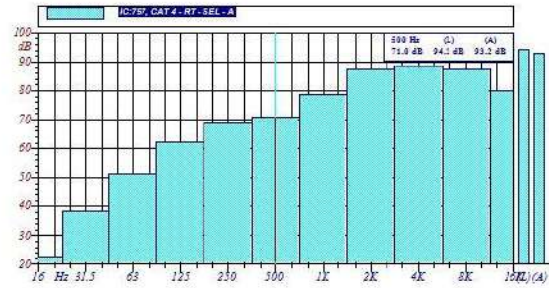
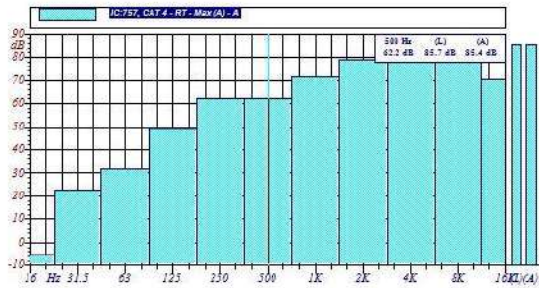
| IC-765, CAT 4 RT - SEL - A | | | | | |
|-------------------------------|------------|----------|------------|---------|------------|
| Hz | dB | Hz | dB | Hz | dB |
| 16 Hz | 21.9 dB(A) | 31.5 Hz | 37.9 dB(A) | 63 Hz | 50.0 dB(A) |
| 125 Hz | 60.4 dB(A) | 250 Hz | 68.4 dB(A) | 500 Hz | 74.8 dB(A) |
| 1000 Hz | 81.7 dB(A) | 2000 Hz | 88.1 dB(A) | 4000 Hz | 89.5 dB(A) |
| 8000 Hz | 89.0 dB(A) | 16000 Hz | 80.3 dB(A) | | |





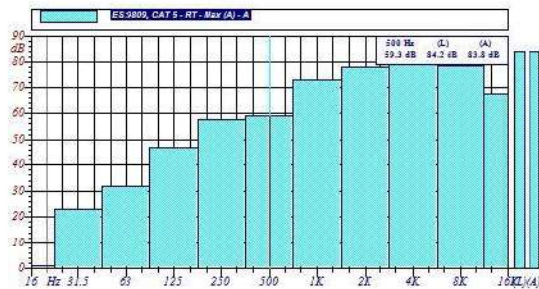
| IC757, CAT 4 RT - Max (A) | | | | | |
|------------------------------|------------|----------|------------|---------|------------|
| Hz | dB | Hz | dB | Hz | dB |
| 16 Hz | -3.5 dB(A) | 31.5 Hz | 22.5 dB(A) | 63 Hz | 31.6 dB(A) |
| 125 Hz | 49.4 dB(A) | 250 Hz | 62.0 dB(A) | 500 Hz | 62.2 dB(A) |
| 1000 Hz | 71.5 dB(A) | 2000 Hz | 75.9 dB(A) | 4000 Hz | 82.5 dB(A) |
| 8000 Hz | 77.9 dB(A) | 16000 Hz | 70.9 dB(A) | | |

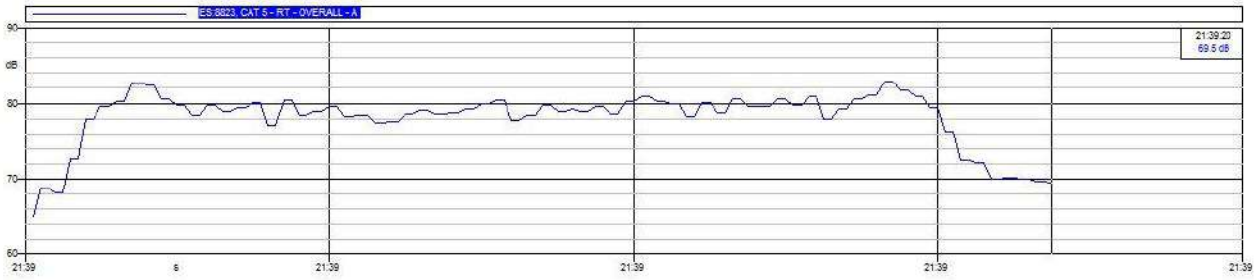
| IC757, CAT 4 RT - SEL | | | | | |
|--------------------------|------------|----------|------------|---------|------------|
| Hz | dB | Hz | dB | Hz | dB |
| 16 Hz | 22.3 dB(A) | 31.5 Hz | 38.2 dB(A) | 63 Hz | 51.5 dB(A) |
| 125 Hz | 67.2 dB(A) | 250 Hz | 69.3 dB(A) | 500 Hz | 71.0 dB(A) |
| 1000 Hz | 78.7 dB(A) | 2000 Hz | 87.5 dB(A) | 4000 Hz | 86.8 dB(A) |
| 8000 Hz | 87.5 dB(A) | 16000 Hz | 79.8 dB(A) | | |



| ES3809, CAT 5 RT - Max (A) | | | | | |
|-------------------------------|------------|----------|------------|---------|------------|
| Hz | dB | Hz | dB | Hz | dB |
| 16 Hz | 1.1 dB(A) | 31.5 Hz | 23.1 dB(A) | 63 Hz | 31.5 dB(A) |
| 125 Hz | 46.5 dB(A) | 250 Hz | 57.6 dB(A) | 500 Hz | 59.3 dB(A) |
| 1000 Hz | 72.9 dB(A) | 2000 Hz | 77.9 dB(A) | 4000 Hz | 79.2 dB(A) |
| 8000 Hz | 78.4 dB(A) | 16000 Hz | 57.6 dB(A) | | |

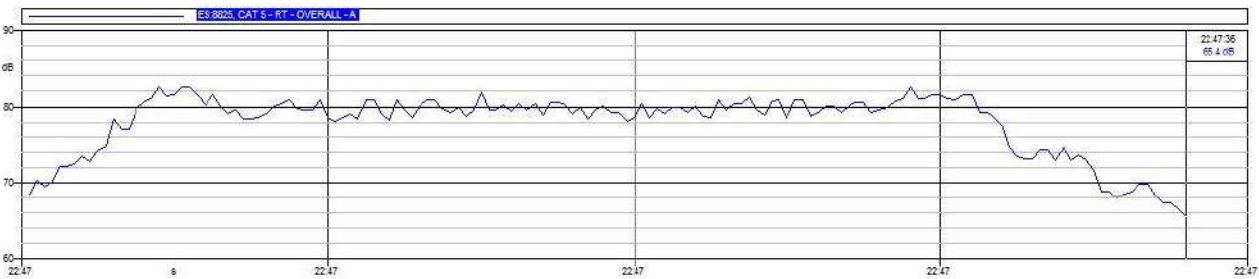
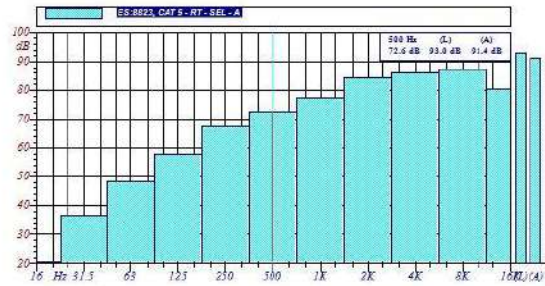
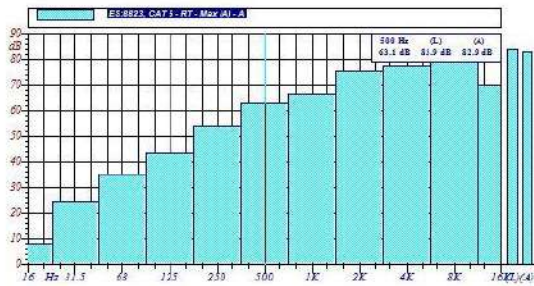
| ES3809, CAT 5 RT - SEL | | | | | |
|---------------------------|------------|----------|------------|---------|------------|
| Hz | dB | Hz | dB | Hz | dB |
| 16 Hz | 21.9 dB(A) | 31.5 Hz | 37.3 dB(A) | 63 Hz | 50.4 dB(A) |
| 125 Hz | 62.3 dB(A) | 250 Hz | 66.2 dB(A) | 500 Hz | 74.1 dB(A) |
| 1000 Hz | 79.2 dB(A) | 2000 Hz | 86.1 dB(A) | 4000 Hz | 86.8 dB(A) |
| 8000 Hz | 87.5 dB(A) | 16000 Hz | 79.1 dB(A) | | |





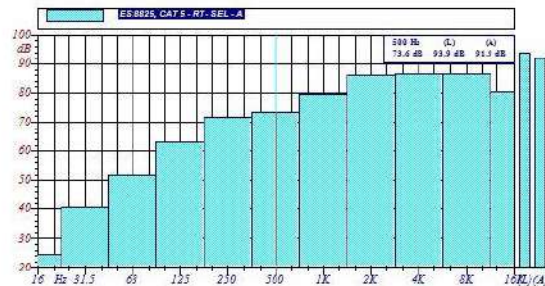
| ES-8823, CAT 5 RT - Max (A) | | | | | |
|--------------------------------|------------|----------|------------|---------|------------|
| Hz | dB | Hz | dB | Hz | dB |
| 16 Hz | 7.9 dB(A) | 31.5 Hz | 24.6 dB(A) | 63 Hz | 35.2 dB(A) |
| 126 Hz | 43.6 dB(A) | 250 Hz | 53.7 dB(A) | 500 Hz | 63.1 dB(A) |
| 1000 Hz | 66.6 dB(A) | 2000 Hz | 75.0 dB(A) | 4000 Hz | 77.7 dB(A) |
| 8000 Hz | 79.4 dB(A) | 16000 Hz | 69.7 dB(A) | | |

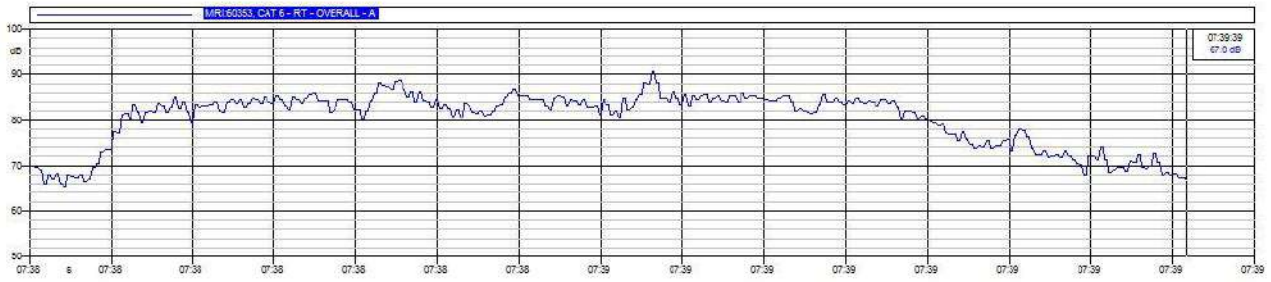
| ES-8823, CAT 5 RT - SEL | | | | | |
|----------------------------|------------|----------|------------|---------|------------|
| Hz | dB | Hz | dB | Hz | dB |
| 16 Hz | 20.6 dB(A) | 31.5 Hz | 36.6 dB(A) | 63 Hz | 46.5 dB(A) |
| 126 Hz | 58.1 dB(A) | 250 Hz | 67.4 dB(A) | 500 Hz | 72.6 dB(A) |
| 1000 Hz | 77.5 dB(A) | 2000 Hz | 84.3 dB(A) | 4000 Hz | 86.9 dB(A) |
| 8000 Hz | 87.2 dB(A) | 16000 Hz | 80.3 dB(A) | | |



| ES-8825, CAT 5 RT - Max (A) | | | | | |
|--------------------------------|------------|----------|------------|---------|------------|
| Hz | dB | Hz | dB | Hz | dB |
| 16 Hz | 8.8 dB(A) | 31.5 Hz | 30.2 dB(A) | 63 Hz | 31.3 dB(A) |
| 126 Hz | 53.2 dB(A) | 250 Hz | 59.6 dB(A) | 500 Hz | 62.1 dB(A) |
| 1000 Hz | 69.8 dB(A) | 2000 Hz | 72.0 dB(A) | 4000 Hz | 77.9 dB(A) |
| 8000 Hz | 79.2 dB(A) | 16000 Hz | 70.5 dB(A) | | |

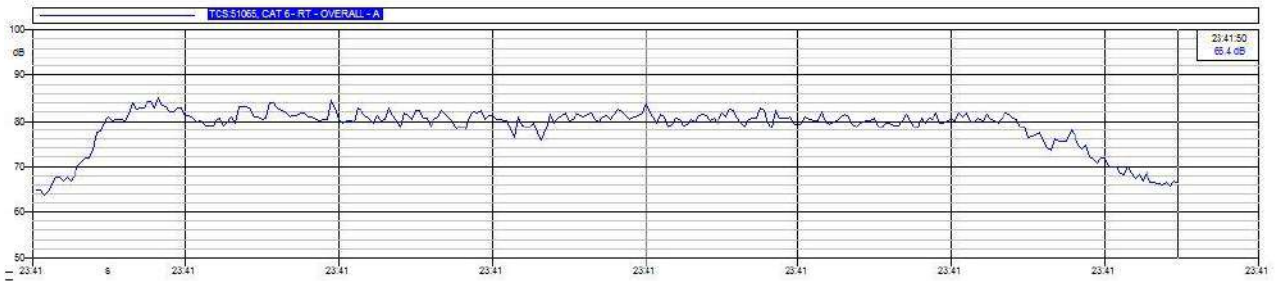
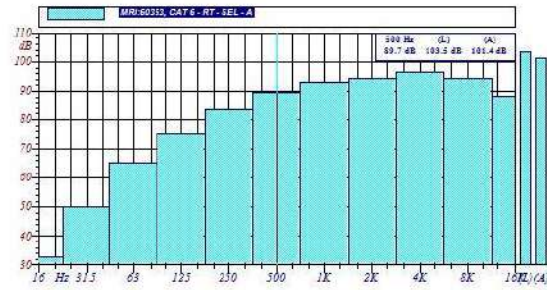
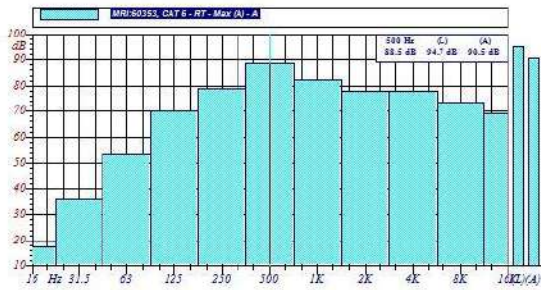
| ES-8825, CAT 5 RT - SEL | | | | | |
|----------------------------|------------|----------|------------|---------|------------|
| Hz | dB | Hz | dB | Hz | dB |
| 16 Hz | 24.4 dB(A) | 31.5 Hz | 40.6 dB(A) | 63 Hz | 52.0 dB(A) |
| 126 Hz | 63.2 dB(A) | 250 Hz | 71.9 dB(A) | 500 Hz | 73.6 dB(A) |
| 1000 Hz | 79.6 dB(A) | 2000 Hz | 85.9 dB(A) | 4000 Hz | 86.6 dB(A) |
| 8000 Hz | 86.6 dB(A) | 16000 Hz | 80.6 dB(A) | | |





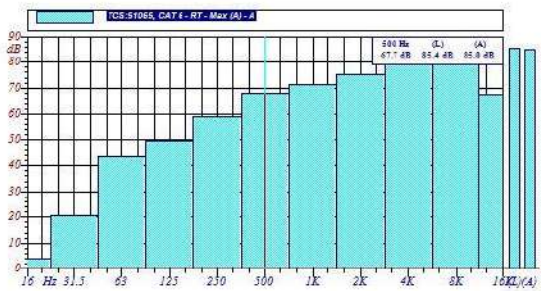
| MRI60353, CAT 6 RT - Max (A) | | | | | |
|---------------------------------|------------|----------|------------|---------|------------|
| Hz | dB | Hz | dB | Hz | dB |
| 16 Hz | 17.2 dB(A) | 31.5 Hz | 36.1 dB(A) | 63 Hz | 53.3 dB(A) |
| 125 Hz | 70.3 dB(A) | 250 Hz | 78.8 dB(A) | 500 Hz | 88.4 dB(A) |
| 1000 Hz | 82.6 dB(A) | 2000 Hz | 79.0 dB(A) | 4000 Hz | 78.1 dB(A) |
| 8000 Hz | 73.7 dB(A) | 16000 Hz | 68.9 dB(A) | | |

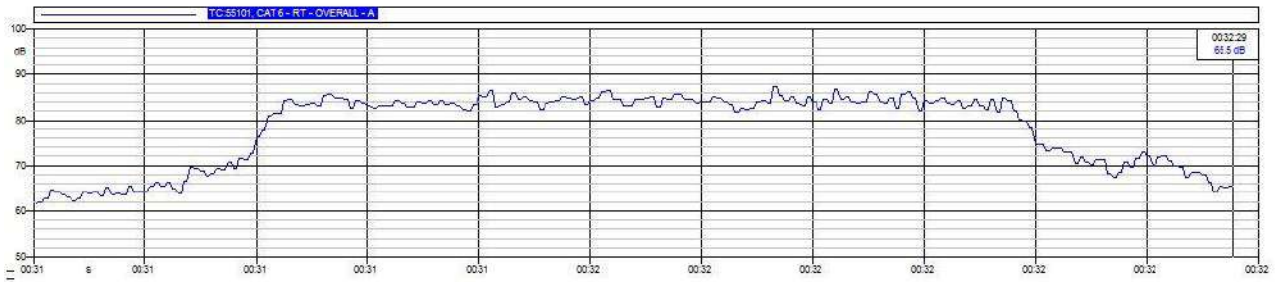
| MRI60353, CAT 6 RT - SEL (A) | | | | | |
|---------------------------------|------------|----------|------------|---------|------------|
| Hz | dB | Hz | dB | Hz | dB |
| 16 Hz | 32.8 dB(A) | 31.5 Hz | 60.1 dB(A) | 63 Hz | 66.2 dB(A) |
| 125 Hz | 78.4 dB(A) | 250 Hz | 83.4 dB(A) | 500 Hz | 88.7 dB(A) |
| 1000 Hz | 93.2 dB(A) | 2000 Hz | 94.5 dB(A) | 4000 Hz | 96.5 dB(A) |
| 8000 Hz | 94.2 dB(A) | 16000 Hz | 88.4 dB(A) | | |



| TCS51065, CAT 6 RT - Max (A) | | | | | |
|---------------------------------|------------|----------|------------|---------|------------|
| Hz | dB | Hz | dB | Hz | dB |
| 16 Hz | 4.0 dB(A) | 31.5 Hz | 20.8 dB(A) | 63 Hz | 43.6 dB(A) |
| 125 Hz | 49.2 dB(A) | 250 Hz | 59.9 dB(A) | 500 Hz | 67.7 dB(A) |
| 1000 Hz | 71.3 dB(A) | 2000 Hz | 76.3 dB(A) | 4000 Hz | 82.6 dB(A) |
| 8000 Hz | 78.9 dB(A) | 16000 Hz | 67.3 dB(A) | | |

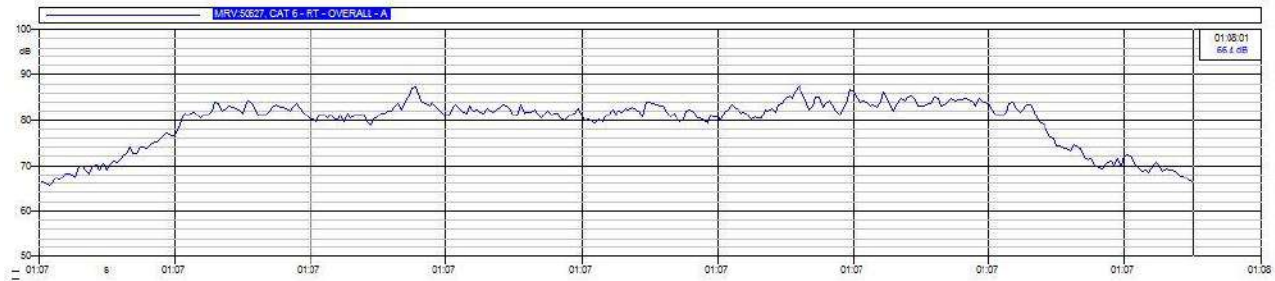
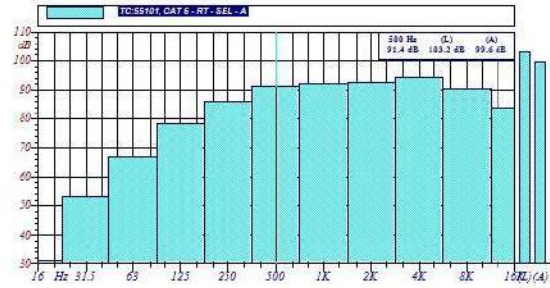
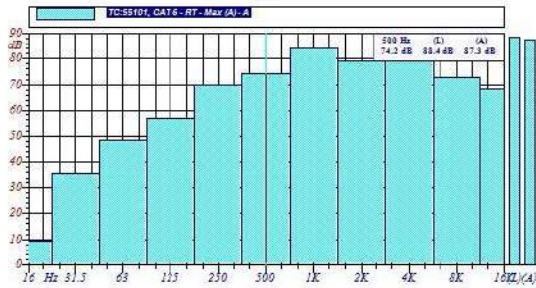
| TCS51065, CAT 6 RT - SEL (A) | | | | | |
|---------------------------------|------------|----------|------------|---------|------------|
| Hz | dB | Hz | dB | Hz | dB |
| 16 Hz | 27.5 dB(A) | 31.5 Hz | 40.2 dB(A) | 63 Hz | 50.1 dB(A) |
| 125 Hz | 67.7 dB(A) | 250 Hz | 70.4 dB(A) | 500 Hz | 78.3 dB(A) |
| 1000 Hz | 84.2 dB(A) | 2000 Hz | 87.0 dB(A) | 4000 Hz | 92.0 dB(A) |
| 8000 Hz | 91.0 dB(A) | 16000 Hz | 83.9 dB(A) | | |





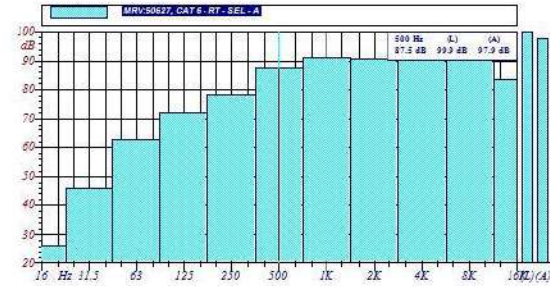
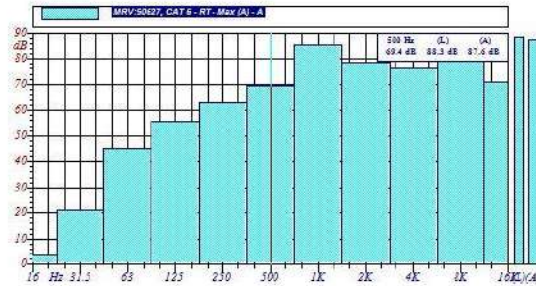
| TC55101, CAT 6 RT - Max (A) | | | | | |
|--------------------------------|------------|----------|------------|---------|------------|
| Hz | dB | Hz | dB | Hz | dB |
| 16 Hz | 56.6 dB(A) | 31.5 Hz | 55.7 dB(A) | 63 Hz | 48.4 dB(A) |
| 125 Hz | 56.9 dB(A) | 250 Hz | 59.7 dB(A) | 500 Hz | 74.2 dB(A) |
| 1000 Hz | 63.9 dB(A) | 2000 Hz | 79.1 dB(A) | 4000 Hz | 81.9 dB(A) |
| 8000 Hz | 72.6 dB(A) | 16000 Hz | 66.3 dB(A) | | |

| TC55101, CAT 6 RT - SEL | | | | | |
|----------------------------|------------|----------|------------|---------|------------|
| Hz | dB | Hz | dB | Hz | dB |
| 16 Hz | 31.0 dB(A) | 31.5 Hz | 53.2 dB(A) | 63 Hz | 67.0 dB(A) |
| 125 Hz | 78.5 dB(A) | 250 Hz | 86.1 dB(A) | 500 Hz | 91.4 dB(A) |
| 1000 Hz | 92.0 dB(A) | 2000 Hz | 92.5 dB(A) | 4000 Hz | 94.1 dB(A) |
| 8000 Hz | 90.4 dB(A) | 16000 Hz | 83.8 dB(A) | | |



| MRV50627, CAT 6 RT - Max (A) | | | | | |
|---------------------------------|------------|----------|------------|---------|------------|
| Hz | dB | Hz | dB | Hz | dB |
| 16 Hz | 3.5 dB(A) | 31.5 Hz | 21.1 dB(A) | 63 Hz | 44.9 dB(A) |
| 125 Hz | 55.7 dB(A) | 250 Hz | 63.0 dB(A) | 500 Hz | 69.4 dB(A) |
| 1000 Hz | 65.5 dB(A) | 2000 Hz | 78.6 dB(A) | 4000 Hz | 76.2 dB(A) |
| 8000 Hz | 79.2 dB(A) | 16000 Hz | 71.0 dB(A) | | |

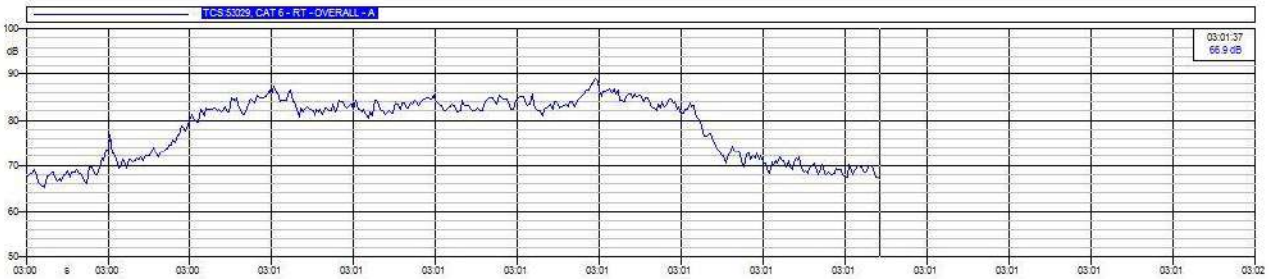
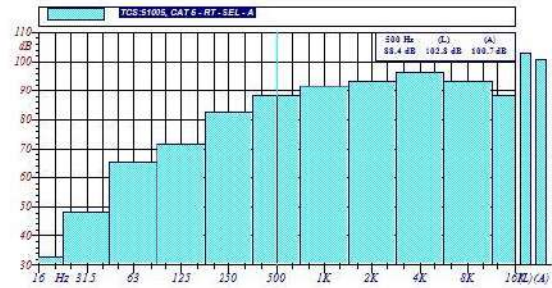
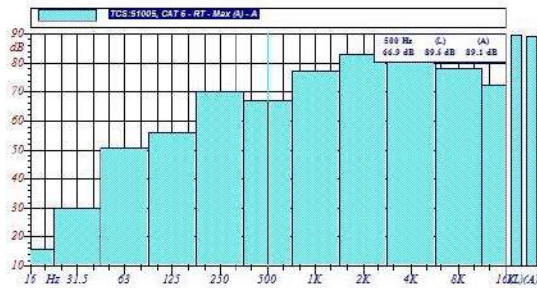
| MRV50627, CAT 6 RT - SEL | | | | | |
|-----------------------------|------------|----------|------------|---------|------------|
| Hz | dB | Hz | dB | Hz | dB |
| 16 Hz | 26.5 dB(A) | 31.5 Hz | 46.3 dB(A) | 63 Hz | 60.6 dB(A) |
| 125 Hz | 72.0 dB(A) | 250 Hz | 78.4 dB(A) | 500 Hz | 87.5 dB(A) |
| 1000 Hz | 91.3 dB(A) | 2000 Hz | 90.7 dB(A) | 4000 Hz | 92.2 dB(A) |
| 8000 Hz | 90.7 dB(A) | 16000 Hz | 83.3 dB(A) | | |





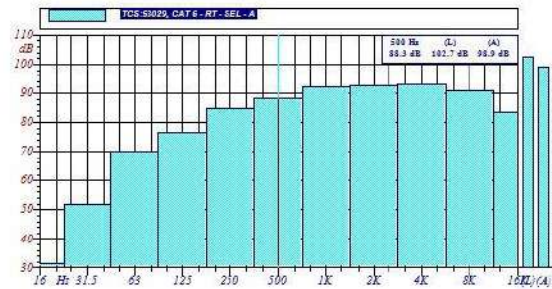
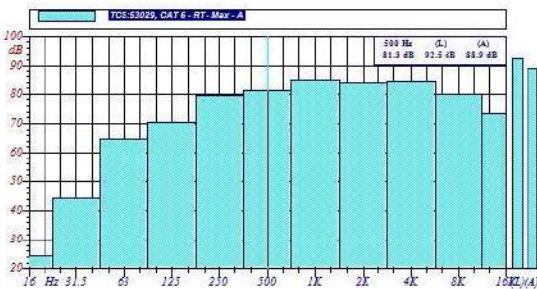
| TCS S1005, CAT 6 RT - Max (A) | | | | | |
|----------------------------------|------------|----------|------------|---------|------------|
| Hz | dB | Hz | dB | Hz | dB |
| 16 Hz | 15.6 dB(A) | 31.5 Hz | 29.9 dB(A) | 63 Hz | 50.7 dB(A) |
| 125 Hz | 56.1 dB(A) | 250 Hz | 70.0 dB(A) | 500 Hz | 66.3 dB(A) |
| 1000 Hz | 77.3 dB(A) | 2000 Hz | 82.9 dB(A) | 4000 Hz | 86.7 dB(A) |
| 8000 Hz | 78.2 dB(A) | 16000 Hz | 72.4 dB(A) | | |

| TCS S1005, CAT 6 RT - SEL (A) | | | | | |
|----------------------------------|------------|----------|------------|---------|------------|
| Hz | dB | Hz | dB | Hz | dB |
| 16 Hz | 32.7 dB(A) | 31.5 Hz | 46.5 dB(A) | 63 Hz | 65.4 dB(A) |
| 125 Hz | 71.8 dB(A) | 250 Hz | 87.4 dB(A) | 500 Hz | 88.4 dB(A) |
| 1000 Hz | 91.8 dB(A) | 2000 Hz | 93.3 dB(A) | 4000 Hz | 96.4 dB(A) |
| 8000 Hz | 93.5 dB(A) | 16000 Hz | 88.4 dB(A) | | |



| TCS S3029, CAT 6 RT - Max (A) | | | | | |
|----------------------------------|------------|----------|------------|---------|------------|
| Hz | dB | Hz | dB | Hz | dB |
| 16 Hz | 24.4 dB(A) | 31.5 Hz | 44.3 dB(A) | 63 Hz | 64.7 dB(A) |
| 125 Hz | 70.2 dB(A) | 250 Hz | 79.2 dB(A) | 500 Hz | 81.2 dB(A) |
| 1000 Hz | 84.8 dB(A) | 2000 Hz | 84.0 dB(A) | 4000 Hz | 84.2 dB(A) |
| 8000 Hz | 80.1 dB(A) | 16000 Hz | 73.4 dB(A) | | |

| TCS S3029, CAT 6 RT - SEL (A) | | | | | |
|----------------------------------|------------|----------|------------|---------|------------|
| Hz | dB | Hz | dB | Hz | dB |
| 16 Hz | 31.3 dB(A) | 31.5 Hz | 51.8 dB(A) | 63 Hz | 70.0 dB(A) |
| 125 Hz | 76.6 dB(A) | 250 Hz | 84.7 dB(A) | 500 Hz | 86.3 dB(A) |
| 1000 Hz | 92.0 dB(A) | 2000 Hz | 92.5 dB(A) | 4000 Hz | 93.0 dB(A) |
| 8000 Hz | 91.0 dB(A) | 16000 Hz | 83.3 dB(A) | | |



Per i motivi ricordati prima, i grafici soprariportati si riferiscono ai singoli transiti dei convogli ferroviaria sul binario Sud.

Per ogni categoria di treni calcoliamo il SEL a 7,5 metri dal binario sud come evento medio in dB(A). La scelta di utilizzare i livelli SEL dovuti ai transiti dei treni sul binario sud dipende dalla distanza tra l'asse del binario ed il microfono di misura che si trovano a 7,5 metri.

| | | | | | | |
|-----------------------------------|-------|-------|-------|-------|-------|-------|
| SEL _{medio,7,5} dB(A) | CAT 1 | CAT 2 | CAT 3 | CAT 4 | CAT 5 | CAT 6 |
| | 85 | 88 | 91 | 93 | 92 | 99 |

Volendo utilizzare i risultati dell'indagine per la calibratura del modello di simulazione "SRM II" ai dati di rumorosità dei treni passanti sulla linea in esame, per ogni categoria di treni ci calcoliamo il Leq orario, valutato a 7,5 metri dal binario Sud ad altezza 1,2 metri dal piano del ferro.

L'equazione è la seguente:

$$Leq_{h,7,5} = SEL_{medio,7,5} - 10 \times \log(3600) = SEL - 35,5 \text{ dB(A)}$$

Il Leq orario rappresenta il livello di pressione sonora relativo ad un singolo transito spalmato su 60 minuti.

L'uso del Leq orario ci agevola il confronto tra dato reale e dato ottenuto dal modello di calcolo SRM II implementato nel Software impiegato.

| | | | | | | |
|----------------------------|-------|-------|-------|-------|-------|-------|
| Leq _{h,7,5} dB(A) | CAT 1 | CAT 2 | CAT 3 | CAT 4 | CAT 5 | CAT 6 |
| | 49,5 | 52,5 | 55,5 | 57,5 | 56,5 | 63,5 |

3.4 Calibrazione del modello SRM II con il software Predictor

Il software di modellizzazione acustica Predictor implementa un modulo dedicato alla mappatura delle infrastrutture ferroviarie, secondo lo standard di calcolo SRM II, così come richiesto dal D.Lgs 194/05.

Il modello "SRM II" è un modello di calcolo del livello continuo equivalente di pressione sonora relativamente al rumore causato dal traffico ferroviario. È un modello in banda di ottava in cui il fenomeno dell'emissione è trattato separatamente da quello della propagazione.

Le caratteristiche principali del modello sono:

- l'emissione è attribuita a due sorgenti lineari (a 0 e 0.5 metri di altezza sul piano del ferro) per treni non ad alta velocità e su quattro sorgenti lineari (a 0.5, 2, 4 e 5 metri di altezza sul piano del ferro) per treni ad alta velocità.

- L'emissione sonora delle due linee nord-sud è calcolata sulla base di una banca dati ricavata da misure sperimentali (eseguite sulla rete ferroviaria olandese) e risulta funzione:
 - ✓ della categoria del treno,
 - ✓ della velocità media per categoria,
 - ✓ del numero di treni,
 - ✓ della condizione di transito (in frenatura o in marcia normale),
 - ✓ della categoria costruttiva del binario e del numero di giunzioni di rotaia.
 - ✓ Le sorgenti lineari sono suddivise in segmenti (trattate come sorgenti puntiformi) che sottendono un angolo di non più di 5 gradi al ricettore.
 - ✓ La propagazione dalla sorgente al ricettore tiene conto (analogamente al modello ISO9613) di:
 - ✓ attenuazione per divergenza geometrica;
 - ✓ assorbimento atmosferico;
 - ✓ effetto del terreno (ground);
 - ✓ effetto della presenza di mascheramenti (diffrazione);
 - ✓ effetto di riflessioni multiple.

3.4.1 Modello di emissione

Per determinare l'emissione i treni sono stati raggruppati in categorie principalmente in funzione del sistema di propulsione e del sistema di frenatura.

Tabella 5: Categorie dei treni

- Categoria 1 – Treni passeggeri con freni a ceppi
- Categoria 2 – Treni passeggeri con treni a disco e a ceppi
- Categoria 3 – Treni passeggeri con freni a disco
- Categoria 4 – Treni merci con freni a ceppi
- Categoria 5 – Treni diesel con freni a ceppi
- Categoria 6 – Treni diesel con freni a disco
- Categoria 7 - Treni comprensoriali e tranvie rapide con freni a disco
- Categoria 8 - Treni interurbani e treni lenti con freni a disco
- Categoria 9 - Treni ad alta velocità con freni a disco e a ceppi

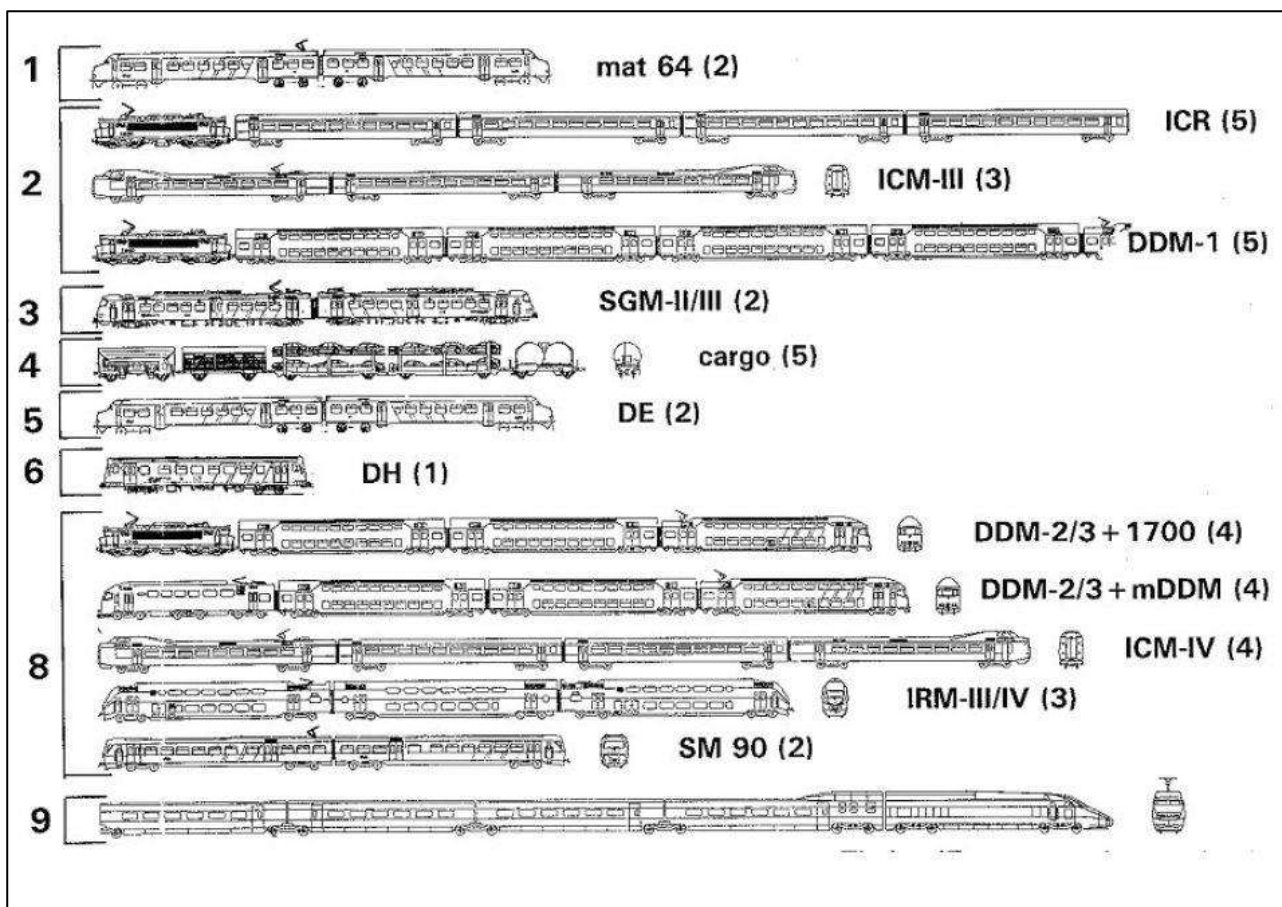


Tabella 6: Categorie costruttive di binario

| | |
|--------|---|
| bb = 1 | Railway tracks with single block or double block (concrete) sleepers, in ballast bed. [Binari ferroviari con traverse di cemento monoblocco o biblocco in letto di pietrisco] |
| bb = 2 | Railway tracks with wooden or zigzag concrete sleepers, in ballast bed. [Binari ferroviari con traverse di legno o di cemento a zigzag, in letto di pietrisco] |
| bb = 3 | Railway tracks in ballast bed with non-welded tracks, tracks with joints or switches. [Binari ferroviari non in lunga rotaia saldata, in letto di pietrisco, binari con giunzioni o scambi] |
| bb = 4 | Railway tracks with blocks. [Binari ferroviari con blocchi] |
| bb = 5 | Railway tracks with blocks and ballast bed. [Binari ferroviari con blocchi e in letto di pietrisco] |
| bb = 6 | Railway tracks with adjustable rail fixation. [Binari ferroviari con fissaggio di rotaia regolabile] |
| bb = 7 | Railway tracks with adjustable rail fixation and ballast bed. [Binari ferroviari con fissaggio di rotaia regolabile in letto di pietrisco] |
| bb = 8 | Railway tracks with poured in railway lines. [Binari ferroviari inglobati] |
| bb = 9 | Railway tracks with level crossing. [Binari ferroviari con passaggi a livello] |

Oltre alle categorie sopra riportate l'emissione risulta funzione anche della tipologia e della frequenza delle giunzioni (n. di giunzione nell'unità di lunghezza) di rotaia e dei deviatori.

Tabella 7: *Categorie costruttive di binario in base alla presenza di giunti e deviatori*

| | |
|-------|--|
| m = 1 | Jointless rails (fully welded tracks) with or without jointless switches or crossings [Binario in lunga rotaia saldata con o senza scambi e altri apparecchi del binario inseriti in lunga rotaia saldata] |
| m = 2 | Rails with joints (= tracks with joints) or an isolated switch [Binario a giunzione o uno scambio isolato] |
| m = 3 | Switches and crossings with joints, 2 per 100 meters [Scambi e altri apparecchi del binario con giunzioni (2 ogni 100 metri)] |
| m = 4 | More than 2 switches per 100 meters [Più di due scambi ogni 100 metri] |

Il modello tiene conto della condizione di transito dei treni. In particolare, si considerano separatamente ai fini del calcolo dell'emissione i treni che passano in frenatura e quelli che passano in marcia normale.

Per il calcolo dell'emissione sono richiesti i seguenti dati di input:

Q_c numero di treni che transitano in condizioni di marcia normale (non in frenatura) per ogni categoria (Tabella 4), n/h

$Q_{r,c}$ numero di treni che transitano in frenatura per ogni categoria, n/h

v_c velocità media per categoria dei treni che transitano in condizioni di non frenatura, km/h

$v_{r,c}$ velocità media per categoria dei treni che passano in condizione di frenatura, km/h

bb categoria costruttiva di binario (Tabella 5),

m categoria costruttive di binario in base alla presenza di giunti e deviatori (Tabella 6).

La legge di calcolo dell'emissione per ogni linea di sorgente e per ogni banda di ottava si riconduce indicativamente ad una somma energetica (somma logaritmica) del seguente tipo.

$$E_{i,c} = E_{r,i,c} \oplus E_{nr,i,c} \oplus E_{diesel,i,c} \oplus E_{motor,i,c}$$

dove i termini rappresentano nell'ordine:

- il contributo dei treni con transito in condizioni normali,
- il contributo dei treni con transito in frenatura,
- contributo aggiuntivo per motrici diesel,
- contributo del motore.

Ciascun termine della somma è rappresentato da espressioni del tipo seguente:

$$E_{i,c} = a_{i,c} + b_{i,c} + \text{Log}(v_c) + 10\text{Log}(Q_c) + C_{bb,i,m}$$

dove:

- $a_{i,c}$, $b_{i,c}$ sono termini che dipendono dalla categoria di treni e dalla banda di ottava,
- v_c è la velocità media per categoria,
- Q_c è il numero di transiti per ogni categoria,

- $C_{bb,i,m}$ è un termine dipendente dalla tipologia di binario e dalla tipologia di giunzioni (per ogni banda di ottava).

Nel metodo "SRM II" il calcolo è effettuato tenendo conto di un valore medio della roughness, a cui è riferita la banca dati di emissione. La correzione dell'emissione viene associata (in termini di incremento additivo) al termine $C_{bb,i,m}$ di cui sopra ed è funzione sia della roughness della rotaia che della roughness della ruota.

La sorgente di rumore è caratterizzata da un certo numero di sorgenti lineari poste a diverse altezze dal piano del ferro.

Per treni appartenenti alle categorie 1, 2, 3, 4, 5, 6, 7 ed 8 (treni non ad alta velocità) la sorgente è caratterizzata da due sorgenti lineari poste rispettivamente sul piano del ferro e ad un'altezza di 0.50 metri dal piano del ferro.

Per treni ad alta velocità appartenenti alla categoria 9 l'emissione è distribuita su quattro sorgenti lineari poste rispettivamente ad altezze: 0.50, 2.0, 4.0 e 5.0 metri sul piano del ferro.

Ai fini del calcolo di propagazione le sorgenti lineari sono suddivise in segmenti. Ciascun segmento è trattato come una sorgente puntiforme su cui è concentrata l'emissione dell'intero segmento.

3.4.2 Modello di propagazione

Il livello sonoro equivalente è calcolato secondo la seguente espressione:

$$L_{Aeq} = 10 \lg \sum_{i=1}^8 \sum_{j=1}^J \sum_{n=1}^N 10^{\Delta L_{eq,i,j,n}/10}$$

dove $\Delta L_{eq,i,j,n}$ specifica il contributo in banda di ottava (indice i) di un settore (indice j) e di un punto sorgente (indice n).

Il termine $\Delta L_{eq,i,j,n}$ è calcolato come segue:

$$\Delta L_{eq,i,j,n} = L_E + \Delta L_{GU} - \Delta L_{OD} - \Delta L_{SW} - \Delta L_R - 58,6$$

dove i termini della somma hanno il seguente significato:

- L_E valore di emissione in banda di ottava,
- ΔL_{GU} attenuazione per divergenza geometrica,
- ΔL_{OD} attenuazione per effetti di propagazione,
- ΔL_{SW} attenuazione per effetti di diffrazione,
- ΔL_R effetto delle riflessioni.

L'attenuazione per divergenza geometrica è calcolata come segue:

$$\Delta L_{GU} = 10 \lg(\phi \sin \nu / r)$$

dove:

- ϕ è l'angolo di vista in gradi,
- ν è l'angolo in gradi formato dalla linea ricettore-sorgente e la sorgente lineare,
- r è la distanza tra ricettore e sorgente in metri.

La direttività della sorgente lineare sul piano orizzontale è inserita nel termine ΔL_{GU} . La dipendenza dall'angolo di vista è implicita nel termine $\sin \nu$. La sorgente è considerata come un dipolo acustico. La direttività sul piano verticale non viene considerata.

L'attenuazione per effetti di propagazione è composta dalla somma dei seguenti termini:

$$\Delta L_{OD} = D_L + D_B + C_M$$

dove:

- D_L attenuazione atmosferica,
- D_B attenuazione per effetto ground,
- C_M fattore di correzione meteorologico.

Il termine di attenuazione atmosferica è calcolato nel modo seguente:

$$D_L = \bar{\delta}_{air}$$

dove:

- r è la distanza sorgente ricettore (m),
- $\bar{\delta}_{air}$ è il coefficiente di assorbimento atmosferico funzione della frequenza.

Il termine $\bar{\delta}_{air}$ è calcolato secondo la seguente tabella 4:

Tabella 8: Coefficiente di assorbimento atmosferico

| Frequenza | 63 Hz | 125 Hz | 250 Hz | 500 Hz | 1000 Hz | 2000 Hz | 4000 Hz | 8000 Hz |
|----------------------|-------|--------|--------|--------|---------|---------|---------|---------|
| $\bar{\delta}_{air}$ | 0 | 0 | 0,001 | 0,002 | 0,004 | 0,010 | 0,023 | 0,058 |

Il calcolo dell'attenuazione per effetto ground si basa sulla suddivisione del propagation path (percorso di propagazione) in tre zone:

- una zona vicino alla sorgente di lunghezza 15 m,
- una zona vicino al ricettore di lunghezza 70 m,
- una zona intermedia che sussiste qualora la distanza tra sorgente e ricettore sia maggiore di 85 m.

Ciascuna delle tre zone è caratterizzata da un fattore di assorbimento di ground funzione della differente composizione del terreno.

Il terreno è suddiviso in due tipologie:

- acusticamente hard (terreno pavimentato, asfalto, terreno compatto, etc.),
- acusticamente non hard (prato, terreno agricolo, terreno con vegetazione, etc).

Per le tre zone il fattore di assorbimento è pari al rapporto tra la lunghezza della sezione di zona con terreno acusticamente non hard e la lunghezza totale della zona.

Il calcolo della propagazione è effettuato in condizioni di vento a favore (downwind propagation).

Per il calcolo in situazioni medie di lungo termine si introduce il fattore di correzione meteorologico (sempre positivo) calcolato come segue:

$$C_M = 3,5 - 3,5 \frac{h_b + h_w}{r_o}$$

Qualora nel propagation path si incontri un ostacolo, nel calcolo del livello di intensità acustica sul ricettore si introduce il fattore di attenuazione per mascheramento ΔL_{SW} .

Il calcolo dell'attenuazione viene effettuato considerando un ostacolo ideale equivalente (barriera sottile) della stessa altezza dell'oggetto mascherante. Qualora più oggetti mascheranti si interpongano sul *propagation path* tra sorgente e ricettore si considera solo l'ostacolo più critico.

Qualora il profilo dell'oggetto schermante devii da quello schematizzato idealmente con la barriera sottile, si introduce il fattore di correzione riportato in Tabella 5.

La formula per il calcolo dell'attenuazione dovuta al mascheramento è calcolata come segue:

$$\Delta L_{SW} = H \cdot F(N_f) - C_p$$

dove:

H è il fattore di *screening performance*,

$F(N_f)$ è una funzione del numero di Fresnel N_f ,

C_p è un fattore di correzione funzione del tipo di profilo dello schermo calcolato secondo quanto riportato in Tabella 8.

| C_p | Object (T = top angle in degrees) |
|-------|---|
| 0 dB | <ul style="list-style-type: none"> ▪ thin wall with a vertical angle $\leq 20^\circ$ ▪ Ground elevations where $0^\circ \leq T \leq 70^\circ$ ▪ all ground elevations with thin walls, if the total height is less than twice the wall height ▪ all buildings |
| 2 dB | <ul style="list-style-type: none"> ▪ edge of a filled land site ▪ ground elevation where $70^\circ \leq T \leq 165^\circ$ ▪ all ground elevations with thin walls, if the total height is more than twice the wall height ▪ noise absorbing edge of the railway side of a platform ▪ edge of the platform not facing the railway track ▪ edge of a railway line situated on a viaduct or bridge, except U-type bridge or M-track ▪ noise absorbing edge of a U-type bridge facing the railway line ▪ edge of a U-type bridge not facing the railway line ▪ absorbing edge of a M-track facing the railway line ▪ edge of a M-track not facing the railway line |
| 5 dB | <ul style="list-style-type: none"> ▪ edge (non-absorbing⁴) of the side of a platform facing the railway line ▪ edge (non-absorbing¹) of the side of a platform facing the railway line ▪ U-type bridge ▪ edge (non-absorbing¹) of the side of the M-track facing the railway line |

Tabella 9 Fattore di correzione funzione del profilo dello schermo

Il contributo delle riflessioni viene calcolato utilizzando la tecnica della sorgente immagine.

Per gli edifici è assunto un coefficiente di riflessione pari a 0.8. Sono considerate riflessioni multiple su un propagation path fino ad un massimo di 3.

Per il calcolo del livello di rumore su un edificio ricettore non si considerano le riflessioni che si hanno sulla facciata dell'edificio stesso.

3.4.3 Calibrazione del modello SRM II

Le sei categorie di treni transitanti lungo la linea ferroviaria in esame di cui sopra, sono state associate alle nove categorie contenute nel database di emissione del modello stesso.

| | | | | | | |
|-----------------------|--------|--------|--------|--------|--------|--------|
| Treni ancona torrette | CAT 1 | CAT 2 | CAT 3 | CAT 4 | CAT 5 | CAT 6 |
| Cat SRM II | Cat. 8 | Cat. 8 | Cat. 2 | Cat. 2 | Cat. 8 | Cat. 4 |

I dati in ingresso per il calcolo in P1 del Leq orario rappresentativo del singolo transito sul binario Sud di ogni categoria di treni sono i seguenti.

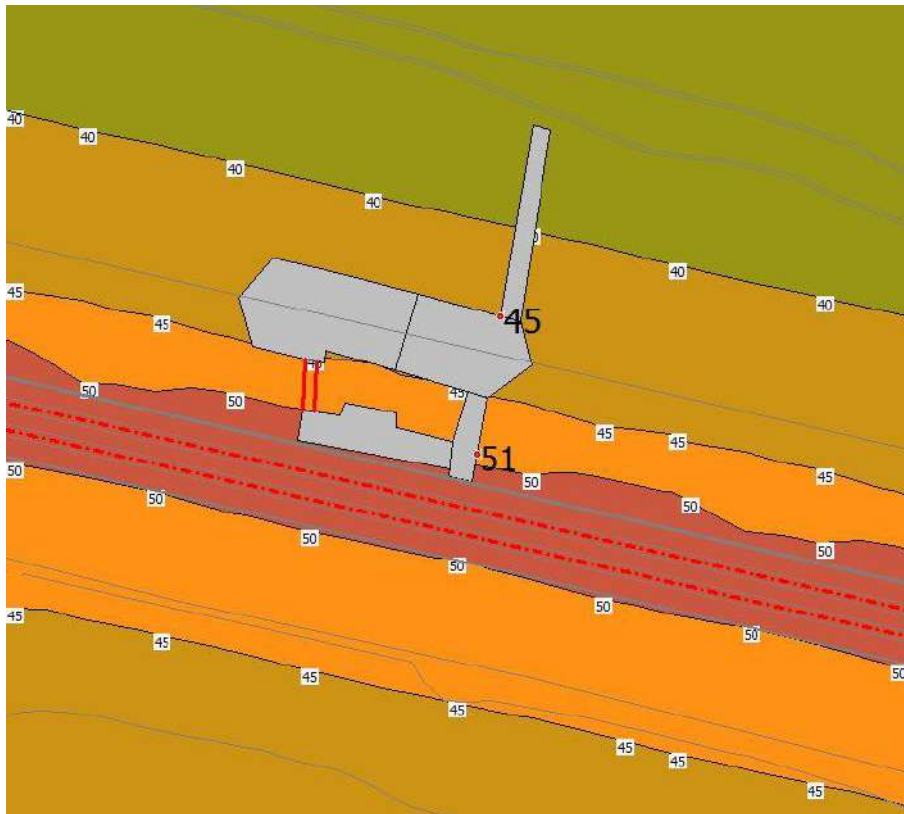
| Cat rfi | Cat. SRM II | direzione | flusso/h | velocità media km/h |
|---------|-------------|-----------|----------|---------------------|
| Cat 1 | Cat 8 | sud | 1 | 60 |
| Cat 2 | Cat. 8 | sud | 1 | 70 |
| Cat 3 | Cat 2 | sud | 1 | 70 |
| Cat 4 | Cat 2 | sud | 1,5 | 75 |
| Cat 5 | Cat 8 | sud | 3 | 75 |
| Cat 6 | Cat 4 | sud | 8 | 60 |

Lo studio acustico eseguito con il software Predictor esamina un ambito spaziale esteso ai due punti di misura P1 e P2. Il modello geometrico tridimensionale utilizzato è stato costruito partendo dalla cartografia disponibile le curve di livello della CTR e dagli elaborati di progetto dell'infrastruttura ferroviaria. Gli edifici sono stati disegnati partendo dalle polilinee del loro contorno geometrico in pianta ed appoggiati alla ricostruzione della geometria del terreno ad una quota pari a quella del terreno in quel punto. L'altezza degli edifici è stata inserita considerando l'altezza fornita dalla cartografia disponibile (CTR 3D).

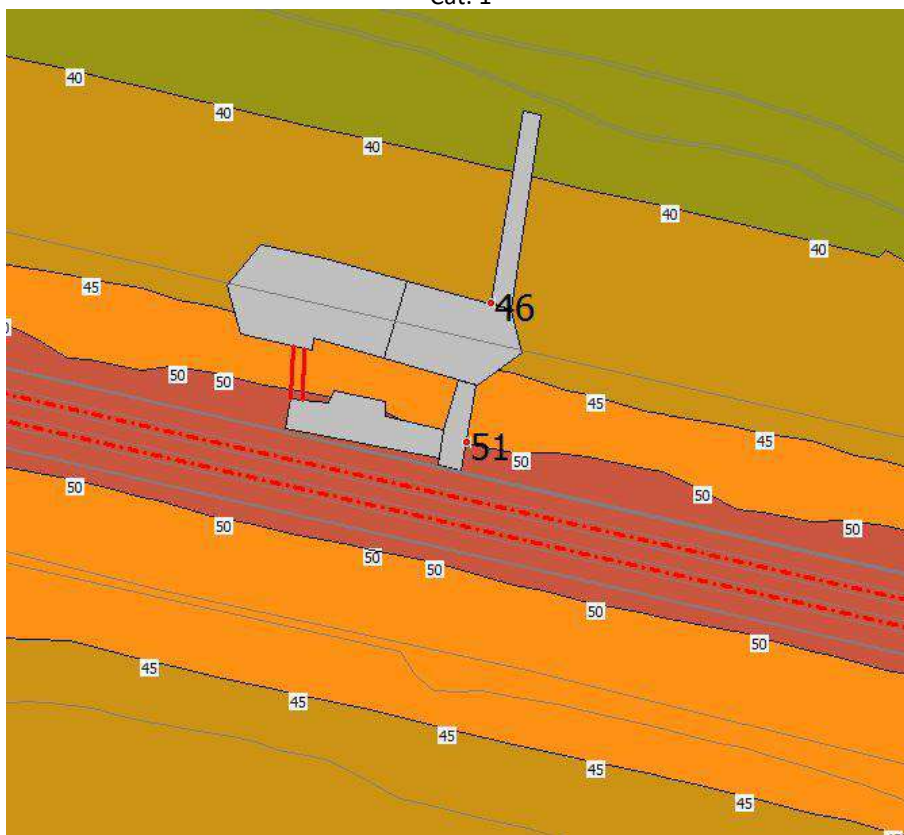


Figura 7: Modello 3D con indicazione dello stato attuale della linea ferroviaria presso Ancona Torrette

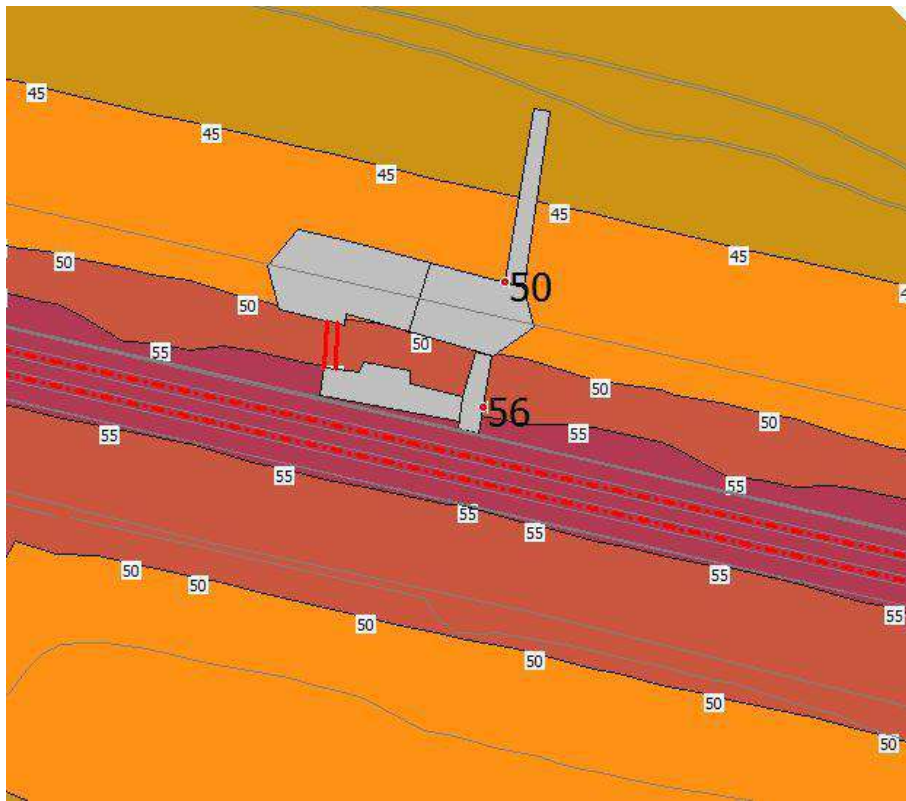
La simulazione per ogni categoria di treno è riportata nelle immagini seguenti.



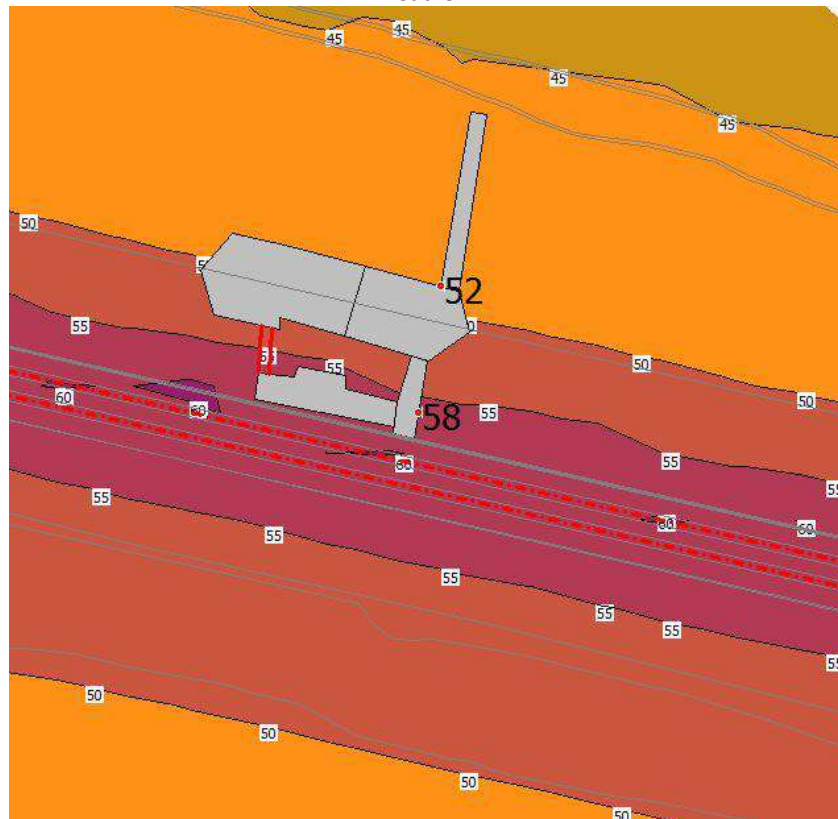
Cat. 1



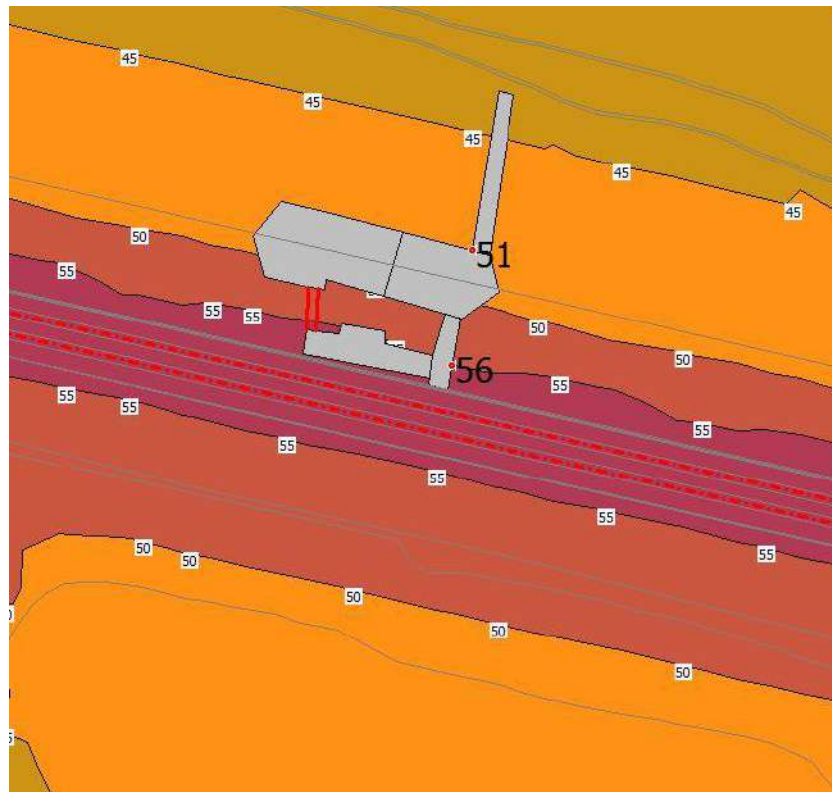
Cat. 2



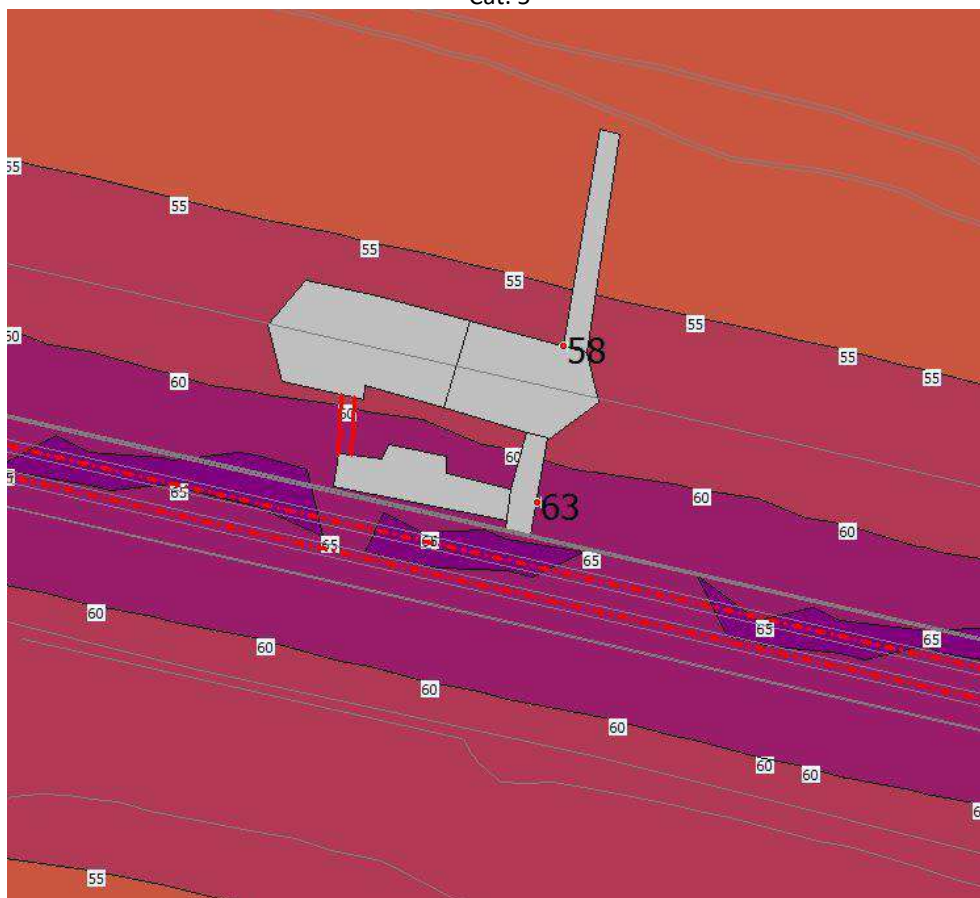
Cat. 3



Cat. 4



Cat. 5



Cat. 6

A questo punto, per ogni categoria di treno, abbiamo riordinato in tabella i livelli di rumore rilevati in P1 dall'indagine fonometrica e quelli risultanti dalle simulazioni eseguite con il modello SRMII dopo calibrazione.

I livelli di rumore rilevati in P2 dall'indagine fonometrica risentono molto del traffico sulla SS16 via Flaminia e per questo motivo non sono stati presi in considerazione.

| Treni Ancona Torrette | CAT 1 | CAT 2 | CAT 3 | CAT 4 | CAT 5 | CAT 6 |
|---|-------|-------|-------|-------|-------|-------|
| Leq _{h,7,5} dB(A) in P1 da rilievo | 49,5 | 52,5 | 55,5 | 57,5 | 56,5 | 63,5 |
| Leq _{h,7,5} dB(A) in P1 da modello SRMII | 50,5 | 51,3 | 55,7 | 57,9 | 56,4 | 63,4 |

Il modello è adesso calibrato sulla tipologia dei treni passanti lungo la ferrovia presso la stazione Ancona Torrette.

4 Valutazione stato attuale

Con il modello calibrato è possibile valutare in P1 e P2 l'impatto acustico complessivo dello stato attuale della ferrovia lungo il tratto oggetto dello studio.

La concorsualità tra la ferrovia e la via Flaminia porta alla sovrapposizione delle due Fasce A e come previsto dal DM 29/11/2000 all'interno dell'area di sovrapposizione valgono limiti di riferimento minori, in particolare:

periodo diurno 67 dB(A)

periodo notturno 57 dB(A)

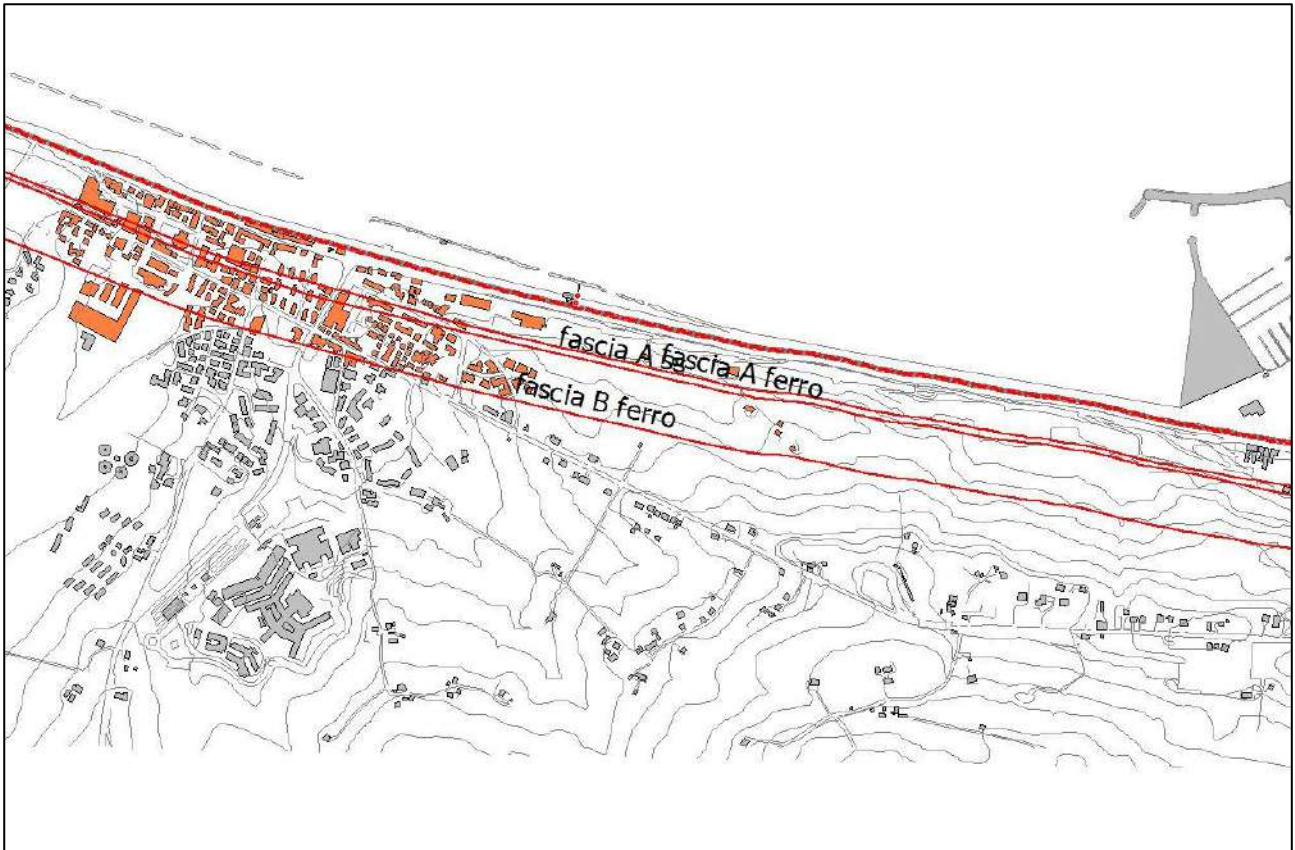
I flussi orari di ogni categoria di treno del modello SRMII sono riportati nelle due tabelle seguenti

PERIODO DIURNO 06-22

| Treni SRMII | CAT 8 | CAT 8 | CAT 2 | CAT 2 | CAT 8 | CAT 4 |
|---------------------------|-------|-------|-------|-------|-------|-------|
| Flussi orari binario Sud | 0.44 | 0.56 | 1.37 | 0.75 | 2.25 | 4 |
| Flussi orari binario Nord | 0.5 | 0.75 | 1.31 | 0.66 | 2.44 | 5 |
| Velocità media km/h | 60 | 70 | 70 | 75 | 75 | 60 |

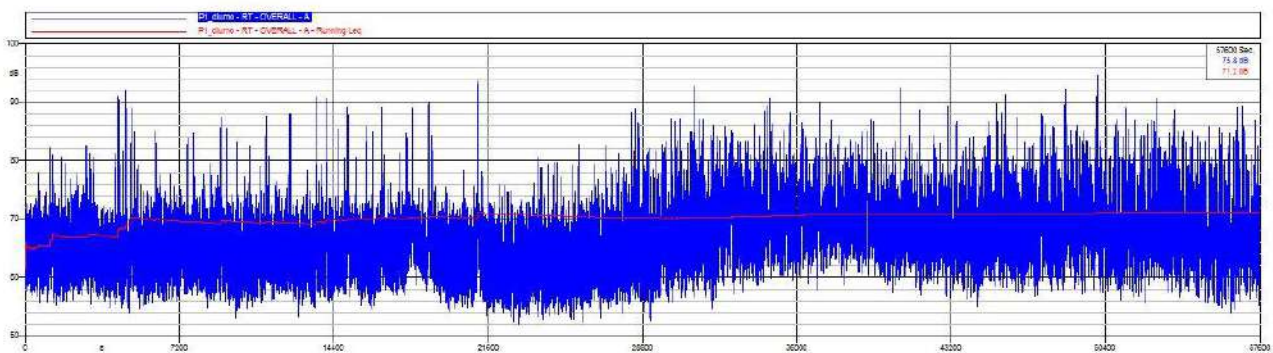
PERIODO NOTTURNO 22-06

| Treni SRMII | CAT 8 | CAT 8 | CAT 2 | CAT 2 | CAT 8 | CAT 4 |
|---------------------------|-------|-------|-------|-------|-------|-------|
| Flussi orari binario Sud | 0.25 | 0 | 0.37 | 0.56 | 0.75 | 11 |
| Flussi orari binario Nord | 0 | 0 | 0.75 | 0.75 | 0.37 | 14 |
| Velocità media km/h | 60 | 70 | 70 | 75 | 75 | 60 |

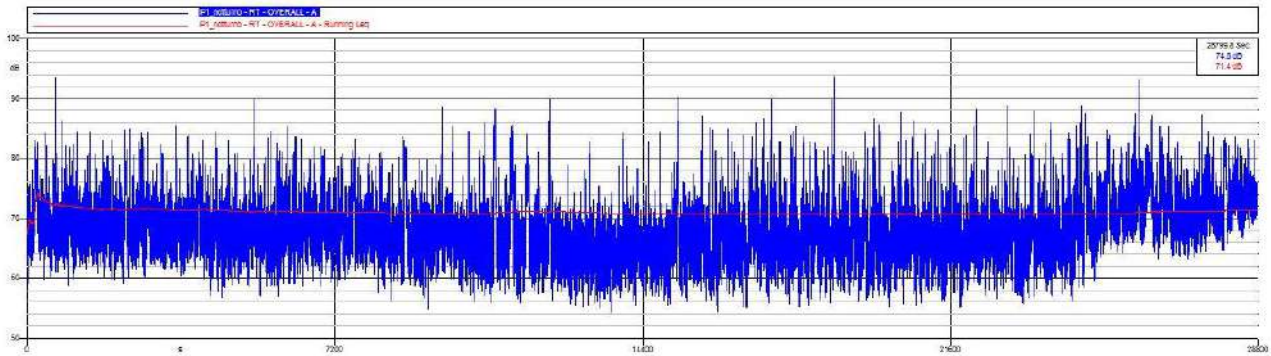


Concorsualità ferrovia e via flaminia

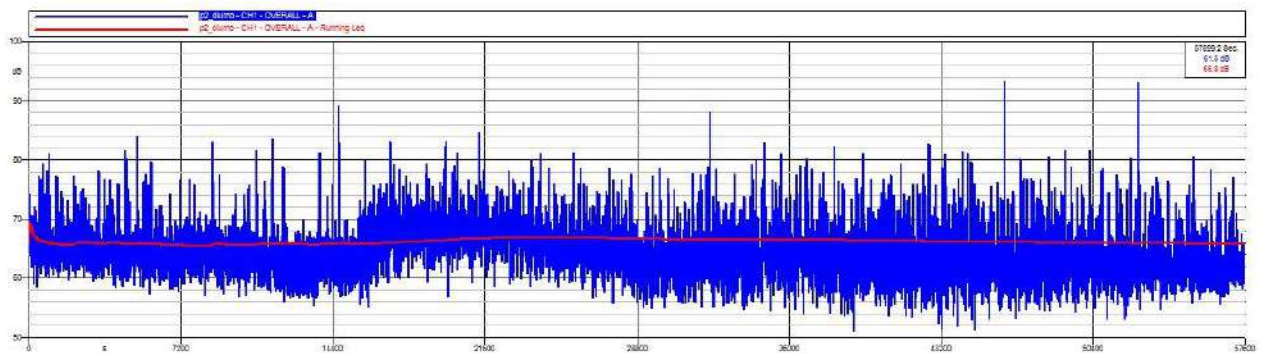
I diagrammi che seguono rappresentano lo stato attuale in P1 e P2 scaturiti dall'indagine fonometrica eseguita nel periodo diurno e notturno nei giorni di 26 e 27 marzo 2019.



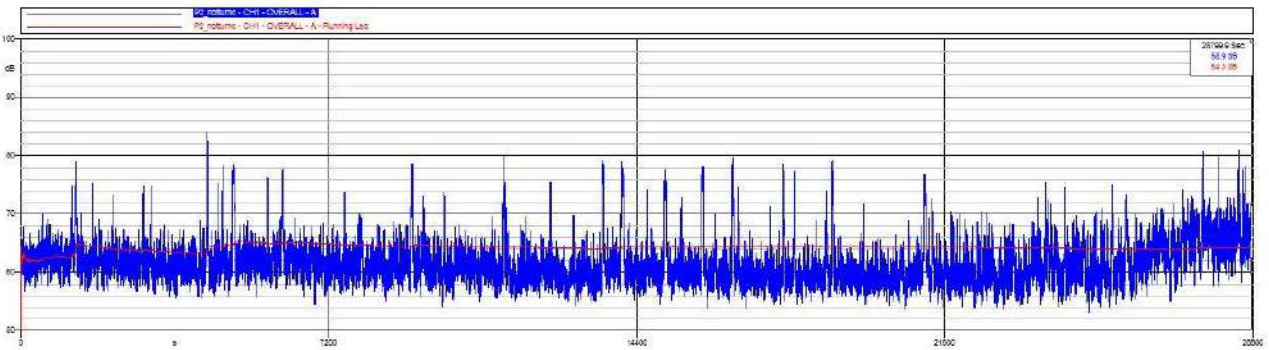
P1 Time history periodo diurno



P1 Time history periodo notturno



P2 Time history periodo diurno



P2 Time history periodo notturno

Le misure in campo hanno dato i seguenti risultati globali

P1

Periodo diurno $Leq_{16h} = 71,2 > 67 \text{ dB(A)}$

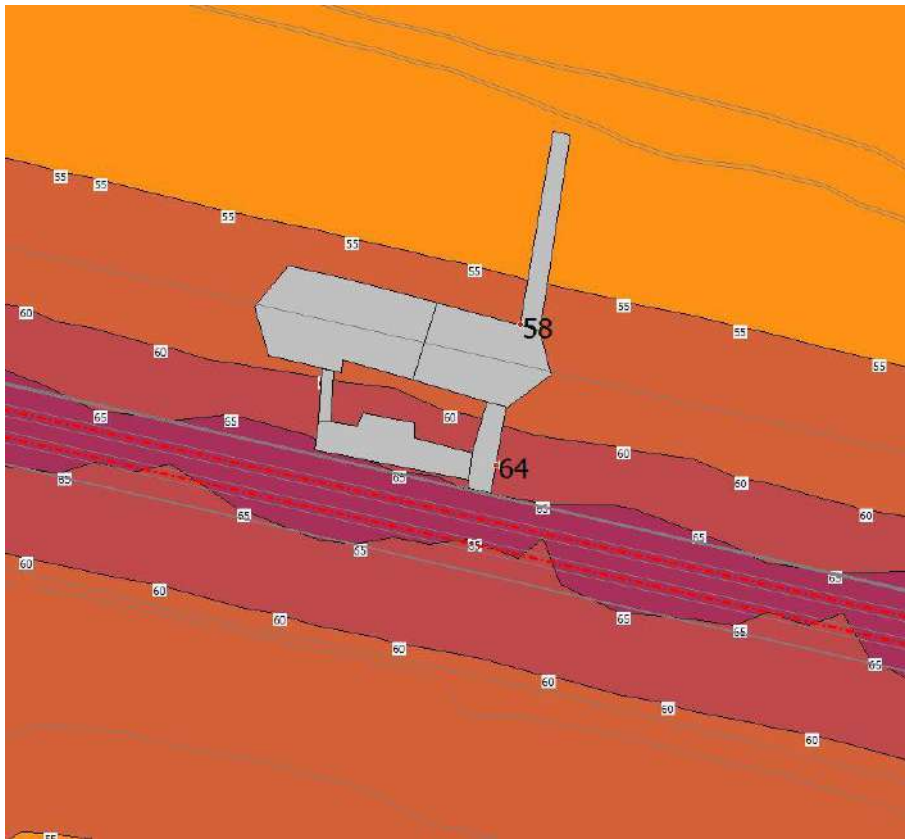
Periodo notturno $Leq_{8h} = 71,4 > 57 \text{ dB(A)}$

P2

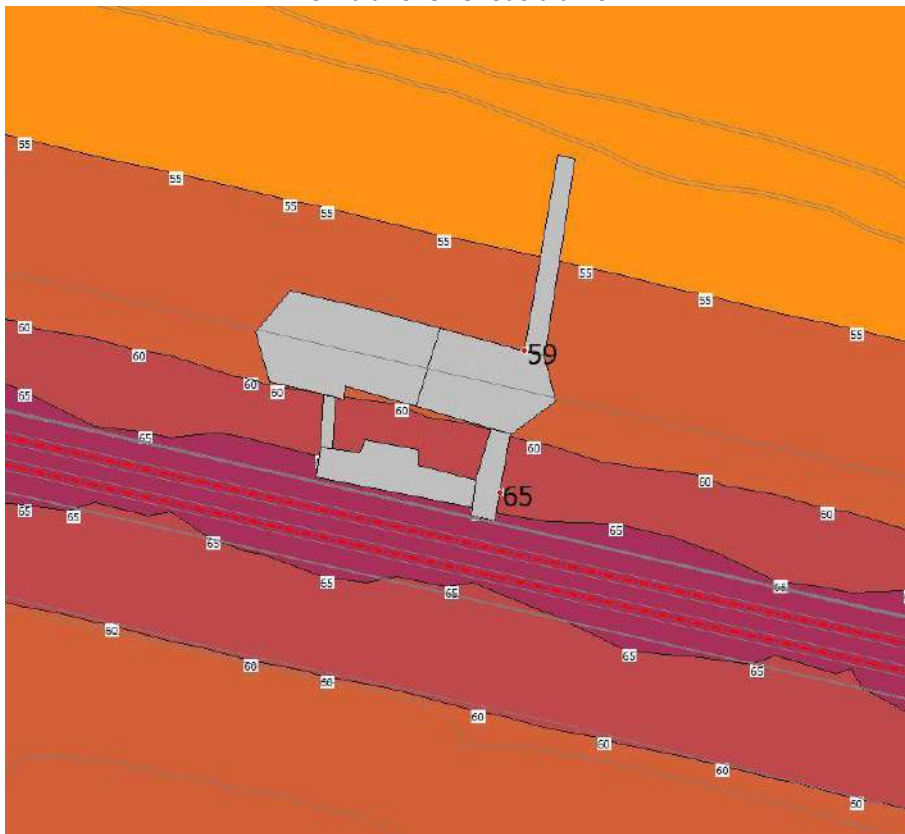
Periodo diurno $Leq_{16h} = 65,8 < 67 \text{ dB(A)}$

Periodo notturno $Leq_{8h} = 64,3 > 57 \text{ dB(A)}$

Le simulazioni con il modello SRMII danno invece i seguenti risultati:



Simulazione Periodo diurno



Simulazione Periodo Notturno

P1

Periodo diurno $Leq_{16h} = 63,9 < 67 \text{ dB(A)}$

Periodo notturno $Leq_{8h} = 65,6 > 57 \text{ dB(A)}$

P2

Periodo diurno $Leq_{16h} = 58,3 < 67 \text{ dB(A)}$

Periodo notturno $Leq_{8h} = 60,0 > 57 \text{ dB(A)}$

La differenza dei livelli sonori tra situazione reale e simulata è dovuta al contributo della strada via Flaminia che incide sensibilmente soprattutto per il passaggio continuo dei mezzi pesanti.

Il modello SRMII è pertanto calibrato e può essere utilizzato con sufficiente precisione per valutare lo stato di progetto ante e post mitigazione.

5 Stato di Progetto

Lo studio acustico eseguito con il software Predictor esamina un ambito spaziale esteso alle due fasce di rispetto della nuova linea ferroviaria in progetto per almeno 250 m.

Il modello geometrico tridimensionale utilizzato è stato costruito partendo dalla cartografia disponibile le curve di livello della CTR e dagli elaborati di progetto dell'infrastruttura ferroviaria.

Gli edifici sono stati disegnati partendo dalle polilinee del loro contorno geometrico in pianta ed appoggiati alla ricostruzione della geometria del terreno ad una quota pari a quella del terreno in quel punto. L'altezza degli edifici è stata inserita considerando l'altezza fornita dalla cartografia disponibile (CTR 3D).

Sono stati analizzati i seguenti scenari di simulazione:

- Scenario di impatto di progetto senza le opere di mitigazione acustica;
- Scenario di impatto di progetto post opera con mitigazioni.

Le opere di mitigazione consistono nell'inserimento a fianco del binario Nord, di barriere acustiche costruite in accordo con il manuale di progettazione RFI. La simulazione dovrà valutarne la lunghezza e l'altezza dal piano del ferro.

Il modello 3D ante mitigazione inserito nel programma è di seguito riportato.

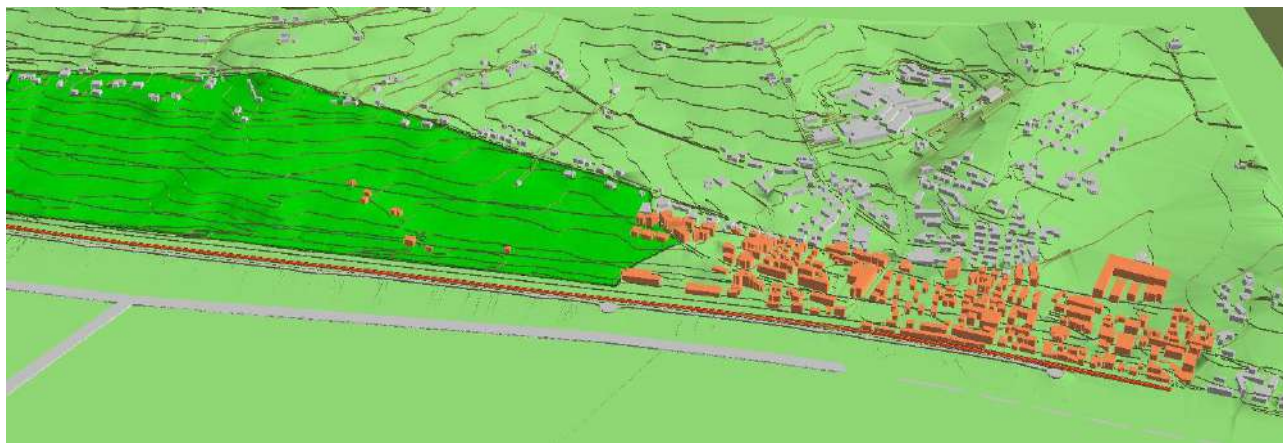


Figura 8: Modello 3D stato di progetto ante mitigazione

La presenza della via Flaminia adiacente alla ferrovia, comporta come detto nel capitolo dedicato allo stato attuale, che alcuni Ricettori risultano esposti direttamente all'influenza sia della strada che della ferrovia.

In questi casi il DM 29/11/2000 introduce il principio di concorsualità delle sorgenti sonore che prevede la riduzione dei limiti previsti per ciascuna fascia.

Nel nostro caso abbiamo le seguenti sovrapposizioni:

1. Fascia A ferrovia + Fascia A strada di ampiezza 100 metri;
2. Fascia B ferrovia + Fascia A strada di ampiezza circa 29 metri;
3. Fascia B ferrovia + Fascia B strada di ampiezza circa 121 metri.

I nuovi valori limite di riferimento sono i seguenti:

| Fasce di pertinenza | | | Valori dei limiti di riferimento | |
|---------------------|--------|--------------------------------|----------------------------------|----------------|
| Ferrovia | Strada | Ampiezza sovrapposizione metri | Diurno dB(A) | Notturmo dB(A) |
| A | A | 100 | 67 | 57 |
| B | A | 29 | 63.8 | 53.8 |
| B | B | 121 | 62 | 52 |

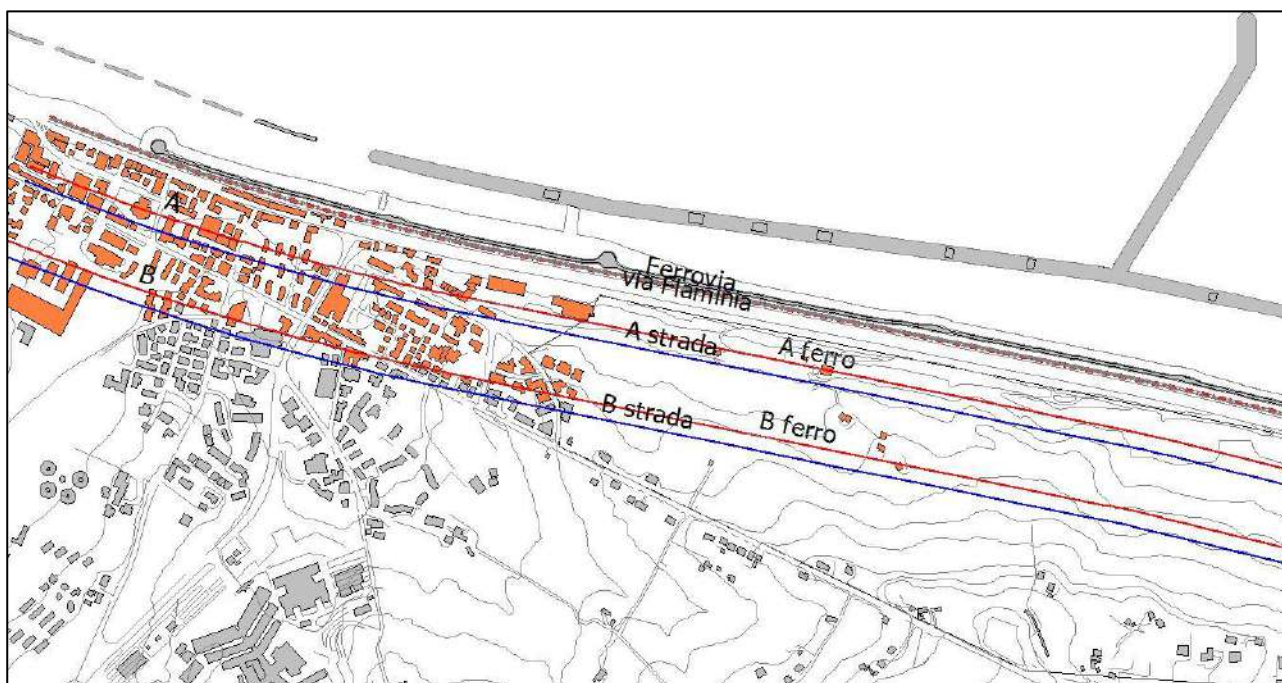


Figura 9: Fasce di pertinenza ferrovia e via Flaminia

Fanno eccezione i Ricettori A_01, A_02, A_03, A_04 che si trovano all'interno della fascia di pertinenza ferroviaria A i cui limiti sono quelli del DPR n.459 del 18/11/1998.

| | Fascia A 100 metri | |
|-----------------|---------------------|-----------------------|
| | Limite diurno dB(A) | Limite notturno dB(A) |
| Altri recettori | 70 | 60 |

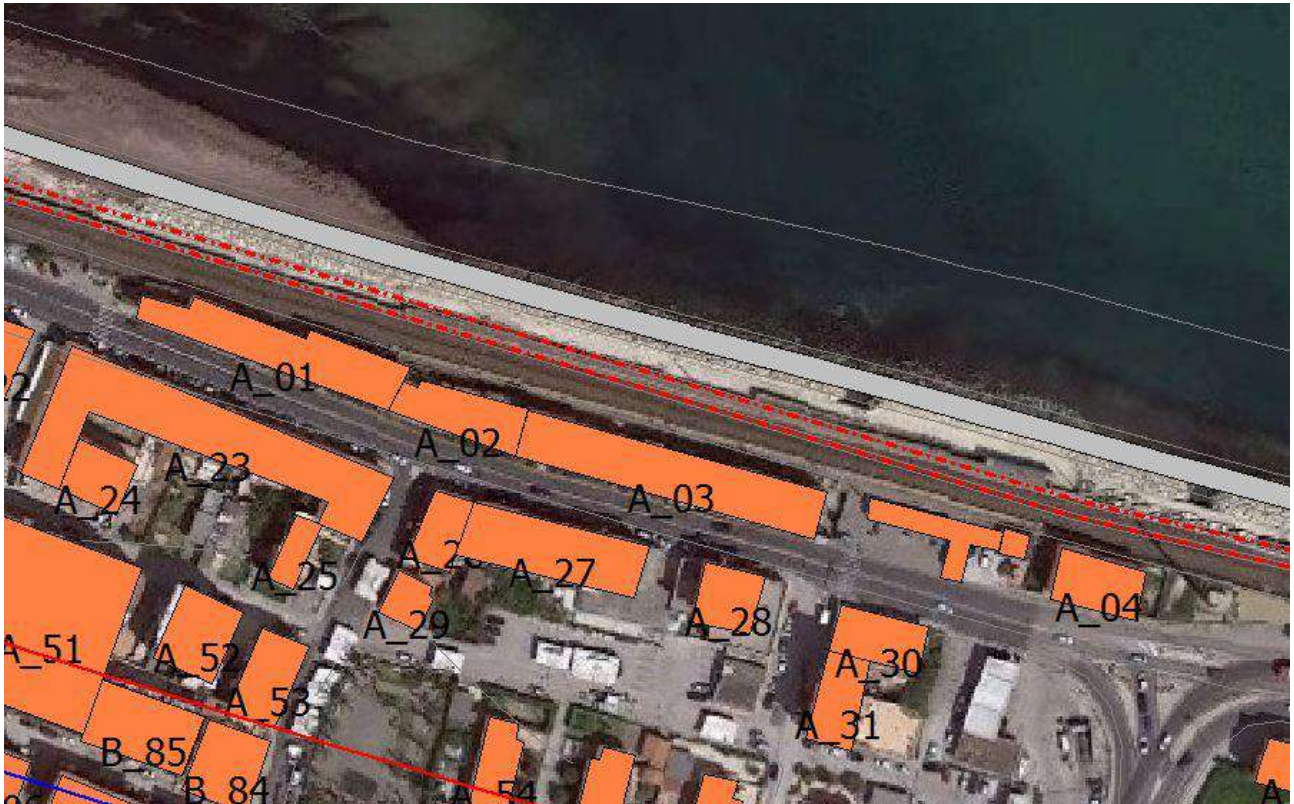


Figura 10: Ricettori A01, A02, A03 e A04 in fascia di rispetto A della ferrovia

5.1 Stato ante mitigazione

Nello stato ante mitigazione si valuterà l'impatto acustico del nuovo tratto ferroviario verso i Ricettori limitrofi.

I flussi orari, in mancanza di dati da RFI, saranno gli stessi utilizzati per la calibrazione del modello nello stato attuale, le velocità medie dei convogli saranno aumentate in funzione della velocizzazione della linea fino a 200 km/h.

PERIODO DIURNO 06-22

| Treni SRMII | CAT 8 (REG. 55 m) | CAT 8 (REG. 85 m) | CAT 2 (REG. 150/240 m) | CAT 2 (IC) | CAT 8 (ES) | CAT 4 (MERC) |
|---------------------------|-------------------|-------------------|------------------------|------------|------------|--------------|
| Flussi orari binario Sud | 0.44 | 0.56 | 1.37 | 0.75 | 2.25 | 4 |
| Flussi orari binario Nord | 0.5 | 0.75 | 1.31 | 0.66 | 2.44 | 5 |
| Velocità media km/h | 120 | 120 | 130 | 135 | 200 | 120 |

PERIODO NOTTURNO 22-06

| Treni SRMII | CAT 8 (REG. 55 m) | CAT 8 (REG. 85 m) | CAT 2 (REG. 150/240 m) | CAT 2 (IC) | CAT 8 (ES) | CAT 4 (MERC) |
|---------------------------|-------------------|-------------------|------------------------|------------|------------|--------------|
| Flussi orari binario Sud | 0.25 | 0 | 0.37 | 0.56 | 0.75 | 11 |
| Flussi orari binario Nord | 0 | 0 | 0.75 | 0.75 | 0.37 | 14 |
| Velocità media km/h | 120 | 120 | 130 | 135 | 200 | 120 |

Lo scenario dei transiti lungo il tratto ferroviario di progetto, inserito nel software Predictor è di seguito riportato. I dati ci sono stati forniti direttamente da RFI.

La linea è del tipo elettrificata a due binari della linea Bologna Lecce in direzione Nord e Sud.

| | Train type | Profile | Q(D) | V(D) | Q(N) | V(N) |
|---|-------------|---------|-------|------|--------|------|
| 1 | Categorie 8 | Through | 0,438 | 120 | 0,250 | 120 |
| 2 | Categorie 8 | Through | 0,563 | 120 | -- | -- |
| 3 | Categorie 2 | Through | 1,375 | 130 | 0,375 | 130 |
| 4 | Categorie 2 | Through | 0,750 | 135 | 0,563 | 135 |
| 5 | Categorie 8 | Through | 2,250 | 200 | 0,750 | 200 |
| 6 | Categorie 4 | Through | 4,000 | 120 | 11,000 | 120 |

Tabella 10: Binario SUD transiti orari e velocità nel periodo diurno D e notturno N

| | Train type | Profile | Q(D) | V(D) | Q(N) | V(N) |
|---|-------------|---------|-------|------|--------|------|
| 1 | Categorie 8 | Through | 0,500 | 120 | -- | -- |
| 2 | Categorie 8 | Through | 0,750 | 130 | -- | -- |
| 3 | Categorie 2 | Through | 1,313 | 130 | 0,750 | 130 |
| 4 | Categorie 2 | Through | 0,653 | 135 | 0,750 | 135 |
| 5 | Categorie 8 | Through | 2,438 | 200 | 0,375 | 200 |
| 6 | Categorie 4 | Through | 5,000 | 120 | 14,000 | 120 |

Tabella 11: Binario NORD transiti orari e velocità nel periodo diurno D e notturno N

Emission in dB(A) per period, per source Day

| Source height | 63 | 125 | 250 | 500 | 1000 | 2000 | 4000 | 8000 | dB(A) |
|---------------|-------|-------|-------|--------|--------|--------|--------|-------|--------|
| 0.0 m | 71,63 | 83,73 | 99,24 | 105,88 | 108,38 | 108,40 | 101,24 | 86,97 | 112,99 |
| 0.5 m | 67,62 | 80,51 | 96,79 | 102,59 | 105,33 | 104,88 | 98,26 | 84,13 | 109,77 |
| 2.0 m | -- | -- | -- | -- | -- | -- | -- | -- | -- |
| 4.0 m | -- | -- | -- | -- | -- | -- | -- | -- | -- |
| 5.0 m | -- | -- | -- | -- | -- | -- | -- | -- | -- |
| Bridge | -- | -- | -- | -- | -- | -- | -- | -- | -- |

Tabella 12:SUD livelli di emissione diurno Day

Emission in dB(A) per period, per source Night

| Source height | 63 | 125 | 250 | 500 | 1000 | 2000 | 4000 | 8000 | dB(A) |
|---------------|-------|-------|--------|--------|--------|--------|--------|-------|--------|
| 0.0 m | 70,76 | 84,14 | 100,68 | 106,23 | 109,07 | 108,49 | 102,03 | 87,88 | 113,46 |
| 0.5 m | 69,46 | 83,26 | 100,12 | 105,28 | 108,23 | 107,37 | 101,22 | 87,18 | 112,53 |
| 2.0 m | -- | -- | -- | -- | -- | -- | -- | -- | -- |
| 4.0 m | -- | -- | -- | -- | -- | -- | -- | -- | -- |
| 5.0 m | -- | -- | -- | -- | -- | -- | -- | -- | -- |
| Bridge | -- | -- | -- | -- | -- | -- | -- | -- | -- |

Tabella 13:SUD livelli di emissione notturno Night

Emission in dB(A) per period, per source Day

| Source height | 63 | 125 | 250 | 500 | 1000 | 2000 | 4000 | 8000 | dB(A) |
|---------------|-------|-------|-------|--------|--------|--------|--------|-------|--------|
| 0.0 m | 72,09 | 84,09 | 99,69 | 106,17 | 108,71 | 108,62 | 101,58 | 87,42 | 113,28 |
| 0.5 m | 68,27 | 81,17 | 97,54 | 103,21 | 105,99 | 105,44 | 98,93 | 84,86 | 110,40 |
| 2.0 m | -- | -- | -- | -- | -- | -- | -- | -- | -- |
| 4.0 m | -- | -- | -- | -- | -- | -- | -- | -- | -- |
| 5.0 m | -- | -- | -- | -- | -- | -- | -- | -- | -- |
| Bridge | -- | -- | -- | -- | -- | -- | -- | -- | -- |

Tabella 14:NORD livelli di emissione diurno Day

Emission in dB(A) per period, per source Night ▾

| Source height | 63 | 125 | 250 | 500 | 1000 | 2000 | 4000 | 8000 | dB(A) |
|---------------|-------|-------|--------|--------|--------|--------|--------|-------|--------|
| 0.0 m | 71,28 | 85,11 | 101,70 | 107,28 | 110,12 | 109,61 | 103,09 | 88,83 | 114,53 |
| 0.5 m | 70,33 | 84,28 | 101,16 | 106,33 | 109,28 | 108,44 | 102,27 | 88,20 | 113,59 |
| 2.0 m | -- | -- | -- | -- | -- | -- | -- | -- | -- |
| 4.0 m | -- | -- | -- | -- | -- | -- | -- | -- | -- |
| 5.0 m | -- | -- | -- | -- | -- | -- | -- | -- | -- |
| Bridge | -- | -- | -- | -- | -- | -- | -- | -- | -- |

Tabella 15: NORD livelli di emissione notturno Night

I parametri di calcolo impostati all'interno del software Predictor sono di seguito riportati:

| Model property | |
|---------------------------------|---|
| Description | progetto |
| Responsible | a.delbono |
| Calculation method | #-1 Railway noise RMR-2012 |
| Created by | a.delbono on 25/09/2018 |
| Last accessed by | a.delbono on 10/04/2019 |
| Model created using | Predictor V12.01 |
| Day Period | 06:00 - 22:00 |
| Night Period | 22:00 - 06:00 |
| Compound period | Lden |
| Value | Avg(Day, Night) |
| Default terrain level | 0 |
| Contour calculation height | 4 |
| Detail level receiver results | Total results |
| Detail level grid results | Total results |
| Calculation optimization on | Yes |
| Fetching radius [m] | 250 |
| Ref. distance to source [m] | 500,00 |
| Ref. distance to receiver [m] | 500,00 |
| Default ground factor | 0,00 |
| Angle of sight [grd] | 2 |
| Maximum reflection depth | 2 |
| Reflections in housing barriers | Yes |
| Geometrical & spreading | According to standard |
| Air absorption | According to standard |
| Air absorption [dB/km] | 0,00; 0,00; 1,00; 2,00; 4,00; 10,00; 23,00; 58,00 |
| Meteorological correction | According to standard |
| Value for CO | 3,50 |

I calcoli della valutazione dello stato di progetto ante mitigazione sono stati eseguiti con riferimento al periodo diurno 16 ore e a quello notturno 8 ore, le isofoniche sono riportate nelle due immagini sottostanti.

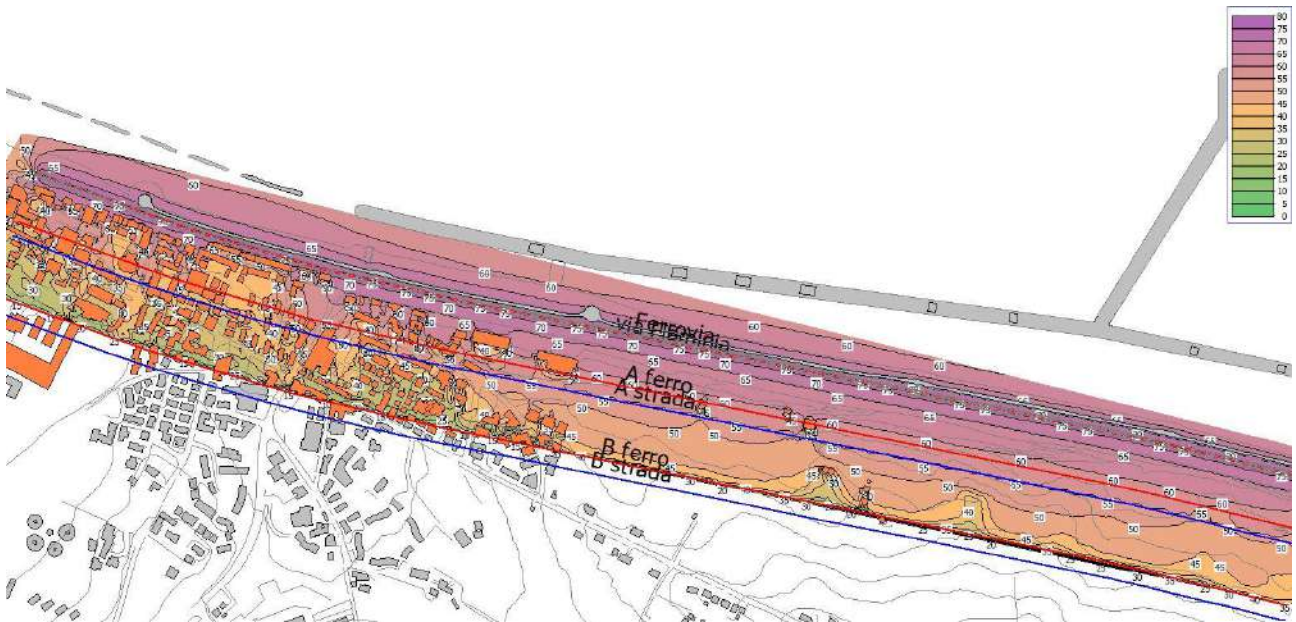


Figura 11 Isofoniche ante mitigazione periodo diurno

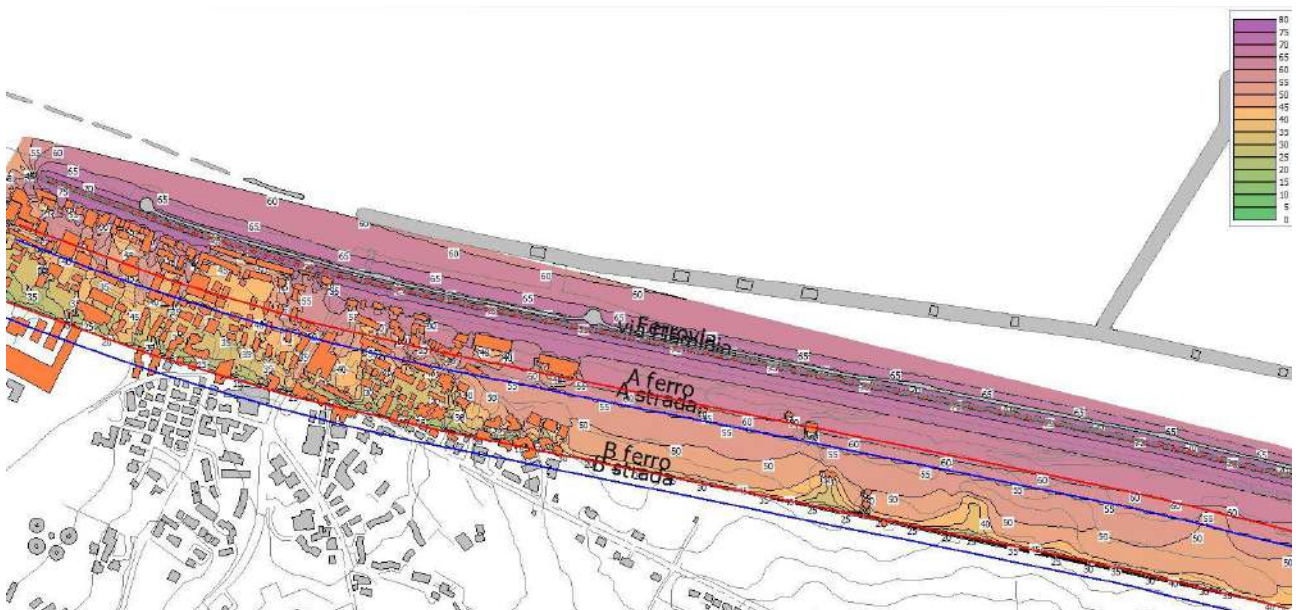


Figura 12 Isofoniche ante mitigazione periodo notturno

Come si vede le isofoniche che passano per i Ricettori posti all'interno della fascia sovrapposta AA e BA sono superiori ai limiti di legge.

Per riportare i livelli di rumore entro i limiti di legge sarà necessario progettare ed installare delle barriere acustiche sul lato esposto (binario Nord).

5.2 Stato post mitigazione

La presenza di barriere acustiche di elevate altezze posizionate lungo la linea ferroviaria che passa sul lungo mare di Ancona Torrette, rappresenta un impatto ambientale negativo nei confronti delle abitazioni ubicate nei pressi delle stesse. Soprattutto per la perdita di visibilità del lungo mare e perché le barriere interrompono l'influsso mitigante che il mare apporta sia in inverno che soprattutto in estate.

Per ovviare a questo stato di cose abbiamo optato per un intervento di mitigazione che fosse il meno impattante possibile.

Per questo motivo le barriere acustiche avranno un'altezza dal piano del ferro, non superiore a 4 metri, la base sarà costituita da un muro in cemento armato, al di sopra del quale verrà installata la barriera vera e propria costituita da montanti in acciaio e pannelli in vetro trasparente.

L'intervento sarà inoltre esteso esclusivamente al centro abitato posto a nord della stazione di Ancona Torrette e per un breve tratto a sud, mentre l'area oggetto dell'intervento di colmata sarà libera da ogni ostacolo verticale.

La barriera acustica avrà una lunghezza di circa 540 metri a nord della stazione, mentre a sud si prevede di installare circa 525 metri di barriera.

La barriera sarà in grado di schermare i piani bassi degli edifici posti a ridosso della linea, mentre i piani alti più esposti saranno oggetto di valutazione previsionale e se del caso per essi si prevederanno interventi diretti in grado di garantire all'interno degli ambienti abitativi un livello di rumore inferiore a 40 dB(A), rilevato a finestra chiusa durante il periodo notturno.

I dati in ingresso al software sono gli stessi utilizzati nella valutazione previsionale dello stato di progetto ante mitigazione, con in più l'inserimento della barriera acustica alta 4 metri dal piano del ferro.

Il modello 3D post mitigazione inserito nel programma è di seguito riportato.

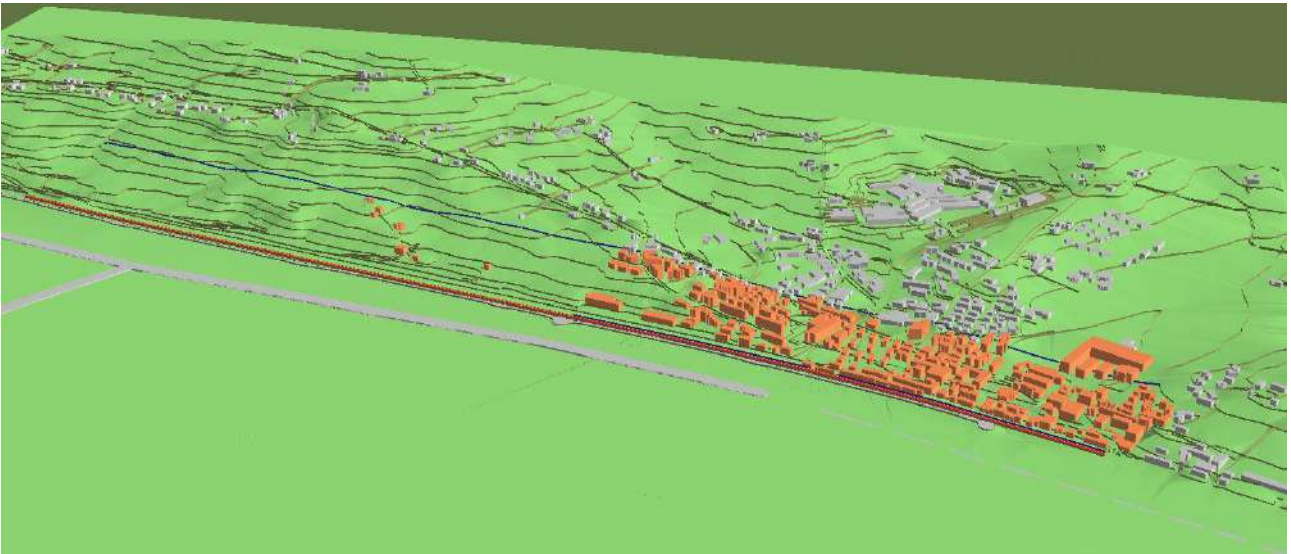


Figura 13: Modello 3D stato di progetto post mitigazione

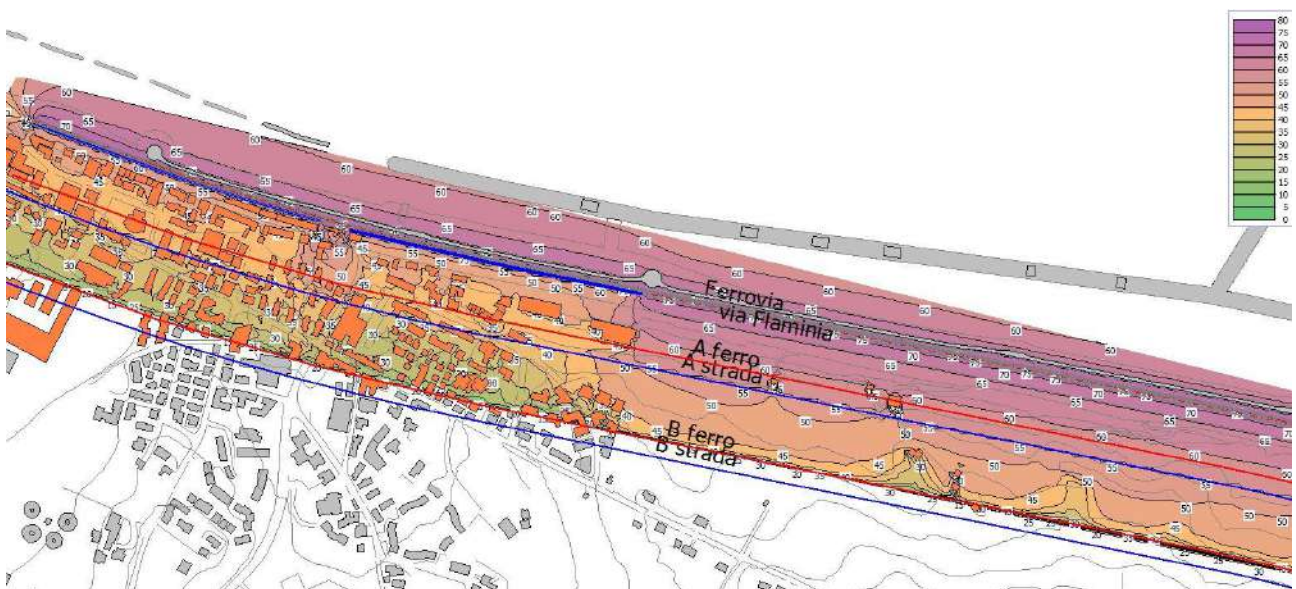


Figura 14 Isofoniche post mitigazione periodo diurno

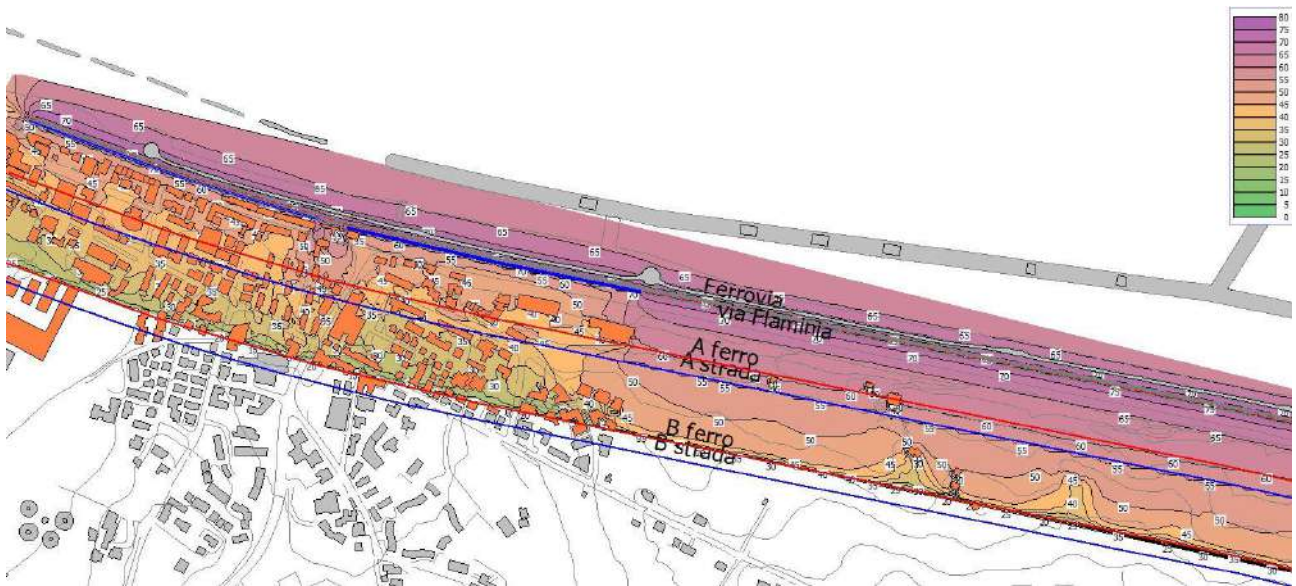


Figura 15 Isofoniche post mitigazione periodo notturno

Le due file di barriere acustiche, evidenziate in blu, forniscono riparo al centro abitato della località Torrette.

Nella tabella seguente vengono presentati i livelli sonori massimi calcolati in facciata ai Ricettori dello stato di progetto ante e post mitigazione sia per il periodo diurno che per quello notturno.

| Rif. Ricettore | altezza | destinazione uso | ANTE MITIGAZIONE | | | | | | POST MITIGAZIONE | | | |
|----------------|---------|--------------------------|------------------|----------|-------------------------|----------|-----------------------|----------|-------------------------|----------|-----------------------|----------|
| | | | Limiti di legge | | Livelli max in facciata | | prevaricamento limiti | | Livelli max in facciata | | prevaricamento limiti | |
| | | | diurno | notturno | diurno | notturno | diurno | notturno | diurno | notturno | diurno | notturno |
| A_01 | 7,5 | RESIDENZIALE | 70,0 | 60,0 | 72,7 | 74,5 | 2,7 | 14,5 | 64,1 | 65,8 | -- | 5,8 |
| A_02 | 7,5 | RESIDENZIALE | 70,0 | 60,0 | 71,6 | 73,4 | 1,6 | 13,4 | 60,8 | 62,5 | -- | 2,5 |
| A_03 | 7,5 | RESIDENZIALE | 70,0 | 60,0 | 72,0 | 73,8 | 2,0 | 13,8 | 67,7 | 69,5 | -- | 9,5 |
| A_04 | 7,5 | RESIDENZIALE | 70,0 | 60,0 | 73,4 | 75,2 | 3,4 | 15,2 | 69,4 | 71,0 | -- | 11,0 |
| A_05 | 7,5 | RESIDENZIALE/COMMERCIALE | 67,0 | 57,0 | 69,3 | 71,2 | 2,3 | 14,2 | 50,2 | 52,0 | -- | -- |
| A_06 | 4,5 | RESIDENZIALE | 67,0 | 57,0 | 69,0 | 70,8 | 2,0 | 13,8 | 50,7 | 52,6 | -- | -- |
| A_07 | 4,5 | RESIDENZIALE | 67,0 | 57,0 | 68,8 | 70,5 | 1,8 | 13,5 | 50,5 | 52,4 | -- | -- |
| A_08 | 10,5 | RESIDENZIALE/COMMERCIALE | 67,0 | 57,0 | 68,6 | 70,4 | 1,6 | 13,4 | 55,3 | 57,1 | -- | 0,1 |
| A_09 | 4,5 | RESIDENZIALE | 67,0 | 57,0 | 69,8 | 71,6 | 2,8 | 14,6 | 51,9 | 53,8 | -- | -- |
| A_10 | 7,5 | RESIDENZIALE/COMMERCIALE | 67,0 | 57,0 | 69,6 | 71,3 | 2,6 | 14,3 | 54,2 | 56,0 | -- | -- |
| A_11 | 1,5 | COMMERCIALE | 67,0 | 57,0 | 69,6 | 71,3 | 2,6 | 14,3 | 51,8 | | -- | -- |
| A_12 | 4,5 | RESIDENZIALE/COMMERCIALE | 67,0 | 57,0 | 69,5 | 71,2 | 2,5 | 14,2 | 51,6 | 53,5 | -- | -- |
| A_13 | 7,5 | RESIDENZIALE/COMMERCIALE | 67,0 | 57,0 | 69,4 | 71,2 | 2,4 | 14,2 | 53,8 | 55,7 | -- | -- |
| A_14 | 4,5 | RESIDENZIALE | 67,0 | 57,0 | 69,2 | 71,0 | 2,2 | 14,0 | 51,2 | 53,1 | -- | -- |
| A_15 | 4,5 | COMMERCIALE | 67,0 | 57,0 | 69,2 | 70,9 | 2,2 | 13,9 | 51,3 | | -- | -- |
| A_16 | 4,5 | COMMERCIALE | 67,0 | 57,0 | 69,1 | 70,9 | 2,1 | 13,9 | 51,2 | | -- | -- |
| A_17 | 10,5 | RESIDENZIALE | 67,0 | 57,0 | 63,6 | 65,3 | -- | 8,3 | 50,3 | 52,2 | -- | -- |
| A_18 | 10,5 | RESIDENZIALE | 67,0 | 57,0 | 62,0 | 63,7 | -- | 6,7 | 51,5 | 53,3 | -- | -- |
| A_19 | 10,5 | RESIDENZIALE | 67,0 | 57,0 | 60,0 | 61,7 | -- | 4,7 | 49,8 | 51,6 | -- | -- |
| A_20 | 4,5 | RESIDENZIALE | 67,0 | 57,0 | 68,8 | 70,6 | 1,8 | 13,6 | 50,7 | 52,6 | -- | -- |
| A_21 | 4,5 | RESIDENZIALE | 67,0 | 57,0 | 68,7 | 70,4 | 1,7 | 13,4 | 50,7 | 52,6 | -- | -- |
| A_22 | 4,5 | RESIDENZIALE/COMMERCIALE | 67,0 | 57,0 | 68,3 | 70,0 | 1,3 | 13,0 | 50,2 | 52,0 | -- | -- |
| A_23 | 7,5 | RESIDENZIALE/COMMERCIALE | 67,0 | 57,0 | 67,5 | 69,3 | 0,5 | 12,3 | 50,9 | 52,7 | -- | -- |
| A_24 | 10,5 | RESIDENZIALE | 67,0 | 57,0 | 49,6 | 51,4 | -- | -- | 48,6 | 50,4 | -- | -- |
| A_25 | 7,5 | RESIDENZIALE/COMMERCIALE | 67,0 | 57,0 | 46,3 | 48,1 | -- | -- | 47,0 | 48,9 | -- | -- |
| A_26 | 4,5 | RESIDENZIALE/COMMERCIALE | 67,0 | 57,0 | 47,5 | 49,3 | -- | -- | 47,4 | 49,3 | -- | -- |
| A_27 | 7,5 | RESIDENZIALE/COMMERCIALE | 67,0 | 57,0 | 48,3 | 50,1 | -- | -- | 48,6 | 50,1 | -- | -- |
| A_28 | 7,5 | RESIDENZIALE/COMMERCIALE | 67,0 | 57,0 | 56,5 | 58,2 | -- | 1,2 | 56,5 | 58,2 | -- | 1,2 |
| A_29 | 4,5 | RESIDENZIALE | 67,0 | 57,0 | 46,6 | 48,5 | -- | -- | 45,9 | 47,8 | -- | -- |
| A_30 | 4,5 | COMMERCIALE | 67,0 | 57,0 | 62,5 | 64,2 | -- | 7,2 | 61,7 | | -- | -- |
| A_31 | 10,5 | RESIDENZIALE | 67,0 | 57,0 | 58,7 | 60,4 | -- | 3,4 | 56,9 | 58,6 | -- | 1,6 |
| A_32 | 7,5 | RESIDENZIALE/COMMERCIALE | 67,0 | 57,0 | 66,6 | 68,3 | -- | 11,3 | 49,5 | 51,3 | -- | -- |
| A_33 | 7,5 | RESIDENZIALE/COMMERCIALE | 67,0 | 57,0 | 67,2 | 69,0 | 0,2 | 12,0 | 50,5 | 52,3 | -- | -- |
| A_34 | 7,5 | RESIDENZIALE/COMMERCIALE | 67,0 | 57,0 | 67,4 | 69,1 | 0,4 | 12,1 | 50,5 | 52,4 | -- | -- |
| A_35 | 10,5 | RESIDENZIALE/COMMERCIALE | 67,0 | 57,0 | 67,4 | 69,2 | 0,4 | 12,2 | 52,4 | 54,2 | -- | -- |
| A_36 | 7,5 | RESIDENZIALE/COMMERCIALE | 67,0 | 57,0 | 67,0 | 68,7 | -- | 11,7 | 50,0 | 51,8 | -- | -- |
| A_37a | 4,5 | ALBERGO/COMMERCIALE | 67,0 | 57,0 | 64,7 | 66,4 | -- | 9,4 | 46,6 | 48,5 | -- | -- |
| A_37b | 7,5 | ALBERGO | 67,0 | 57,0 | 62,9 | 64,7 | -- | 7,7 | 46,8 | 48,6 | -- | -- |
| A_37c | 10,5 | ALBERGO | 67,0 | 57,0 | 63,2 | 64,9 | -- | 7,9 | 47,2 | 49,0 | -- | -- |
| A_37d | 10,5 | ALBERGO | 67,0 | 57,0 | 63,4 | 65,1 | -- | 8,1 | 47,2 | 49,1 | -- | -- |
| A_37e | 10,5 | ALBERGO | 67,0 | 57,0 | 63,4 | 65,1 | -- | 8,1 | 47,2 | 49,1 | -- | -- |
| A_37f | 7,5 | ALBERGO | 67,0 | 57,0 | 63,1 | 64,0 | -- | 7,0 | 46,7 | 48,5 | -- | -- |
| A_37g | 4,5 | ALBERGO | 67,0 | 57,0 | 62,8 | 64,5 | -- | 7,5 | 43,5 | 47,4 | -- | -- |
| A_37h | 4,5 | ALBERGO | 67,0 | 57,0 | 62,8 | 64,6 | -- | 7,6 | 45,2 | 47,0 | -- | -- |
| A_38 | 7,5 | COMMERCIALE | 67,0 | 57,0 | 65,7 | 67,4 | -- | 10,4 | 48,6 | | -- | -- |
| A_39 | 10,5 | COMMERCIALE | 67,0 | 57,0 | 64,5 | 66,2 | -- | 9,2 | 61,4 | | -- | -- |
| A_40 | 7,5 | RESIDENZIALE/DISABITATA | 67,0 | 57,0 | 62,9 | 64,6 | -- | 7,6 | 62,9 | 64,6 | -- | 7,6 |
| A_41 | 10,5 | RESIDENZIALE | 67,0 | 57,0 | 62,1 | 63,9 | -- | 6,9 | 62,1 | 63,9 | -- | 6,9 |
| A_42 | 10,5 | RESIDENZIALE/COMMERCIALE | 67,0 | 57,0 | 59,5 | 61,3 | -- | 4,3 | 49,0 | 50,7 | -- | -- |
| A_43 | 10,5 | RESIDENZIALE/COMMERCIALE | 67,0 | 57,0 | 55,6 | 54,4 | -- | -- | 47,1 | 48,9 | -- | -- |
| A_44 | 7,5 | RESIDENZIALE/COMMERCIALE | 67,0 | 57,0 | 58,2 | 59,9 | -- | 2,9 | 45,4 | 47,2 | -- | -- |
| A_45 | 10,5 | RESIDENZIALE/COMMERCIALE | 67,0 | 57,0 | 60,2 | 62,0 | -- | 5,0 | 47,3 | 49,1 | -- | -- |
| A_46 | 7,5 | RESIDENZIALE | 67,0 | 57,0 | 57,6 | 59,4 | -- | 2,4 | 46,6 | 48,4 | -- | -- |
| A_47 | 4,5 | SCUOLA | 50,0 | | 52,3 | | 2,3 | -- | 44,7 | | -- | -- |
| A_48 | 10,5 | RESIDENZIALE | 67,0 | 57,0 | 62,1 | 63,9 | -- | 6,9 | 50,2 | 52,0 | -- | -- |
| A_49 | 7,5 | RESIDENZIALE | 67,0 | 57,0 | 63,9 | 65,6 | -- | 8,6 | 49,4 | 51,2 | -- | -- |
| A_50 | 10,5 | RESIDENZIALE | 67,0 | 57,0 | 58,5 | 60,3 | -- | 3,3 | 49,0 | 50,9 | -- | -- |
| A_51 | 10,5 | RESIDENZIALE | 67,0 | 57,0 | 57,2 | 59,0 | -- | 2,0 | 47,0 | 48,9 | -- | -- |
| A_52 | 10,5 | RESIDENZIALE | 67,0 | 57,0 | 46,1 | 48,0 | -- | -- | 46,5 | 48,3 | -- | -- |
| A_53 | 4,5 | RESIDENZIALE | 67,0 | 57,0 | 43,6 | 45,4 | -- | -- | 44,4 | 46,3 | -- | -- |
| A_54 | 7,5 | RESIDENZIALE | 67,0 | 57,0 | 44,7 | 46,6 | -- | -- | 44,7 | 46,6 | -- | -- |
| A_55 | 7,5 | RESIDENZIALE | 67,0 | 57,0 | 50,3 | 52,0 | -- | -- | 49,8 | 51,6 | -- | -- |
| A_56 | 7,5 | RESIDENZIALE | 67,0 | 57,0 | 55,0 | 56,7 | -- | -- | 53,9 | 55,7 | -- | -- |
| A_57 | 7,5 | RESIDENZIALE | 67,0 | 57,0 | 55,0 | 56,8 | -- | -- | 52,0 | 53,8 | -- | -- |
| A_58 | 10,5 | RESIDENZIALE | 67,0 | 57,0 | 62,6 | 64,3 | -- | 7,3 | 48,4 | 50,2 | -- | -- |
| A_59 | 10,5 | RESIDENZIALE | 67,0 | 57,0 | 62,3 | 64,0 | -- | 7,0 | 48,8 | 50,7 | -- | -- |
| A_60 | 7,5 | RESIDENZIALE | 67,0 | 57,0 | 61,3 | 63,0 | -- | 6,0 | 48,6 | 50,4 | -- | -- |
| A_61 | 7,5 | RESIDENZIALE | 67,0 | 57,0 | 58,6 | 60,4 | -- | 3,4 | 47,7 | 49,6 | -- | -- |
| A_62 | 10,5 | RESIDENZIALE | 67,0 | 57,0 | 53,2 | 55,0 | -- | -- | 47,0 | 48,8 | -- | -- |
| A_63 | 10,5 | RESIDENZIALE | 67,0 | 57,0 | 53,8 | 55,5 | -- | -- | 46,9 | 48,8 | -- | -- |

La tabella mostra uno scenario post mitigazione rispettoso dei limiti di legge per quanto riguarda il periodo diurno, mentre nel periodo notturno alcuni Ricettori più esposti registrano il prevaricamento dei limiti stessi.

A_01, A_03, A_04 edifici posti a ridosso della ferrovia in prossimità della stazione di Ancona Torrette dove la barriera è interrotta

A_28, A_31 edifici posti di fronte alla stazione di Ancona Torrette dove la barriera è interrotta

A_40 edificio attualmente disabitato e in cattive condizioni

A_41 edificio isolato in collina

Per essi, si prevede di intervenire direttamente mediante l'installazione di una doppia vetrata avente potere fonoisolante da calcolare nel prossimo paragrafo.

Per quanto riguarda la Fascia B, l'unico Ricettore che risulta fuori dai limiti è il B_17 una villetta isolata in collina rientrante nella fascia sovrapposta B ferrovia e A strada Flaminia, in tabella si riportano i livelli ante e post mitigazione.

| Rif. Ricettore | altezza | destinazione uso | ANTE MITIGAZIONE | | | | | | POST MITIGAZIONE | | | |
|----------------|---------|------------------|------------------|----------|-------------------------|----------|-----------------------|----------|-------------------------|----------|-----------------------|----------|
| | | | Limiti di legge | | Livelli max in facciata | | prevaricamento limiti | | Livelli max in facciata | | prevaricamento limiti | |
| | | | diurno | notturno | diurno | notturno | diurno | notturno | diurno | notturno | diurno | notturno |
| B_17 | 4,5 | RESIDENZIALE | 63,8 | 53,8 | 61,0 | 62,8 | - | 9,0 | 61,0 | 62,8 | - | 9,0 |

Come si potrà notare dai dati riportati nelle due tabelle il periodo notturno è quello più critico per i Ricettori in esame, questo è dovuto al transito dei treni merci più frequenti nelle ore notturne.

6 Interventi diretti sui Ricettori

La progettazione acustica di cui ai paragrafi precedenti è stata redatta con l'obiettivo primario di ottenere valori di rumore al di sotto dei limiti normativi in ambiente esterno per la quasi totalità degli edifici presenti nell'intorno dell'infrastruttura di progetto.

Per quei pochi edifici che non soddisfano questa condizione, l'art. 5, comma 3 del DPR n. 459 del 18/11/1998 prevede che:

“qualora in base a valutazioni tecniche, economiche o di carattere ambientale si evidenzii l'opportunità di procedere ad interventi diretti sui ricettori”

Deve essere assicurato il rispetto dei seguenti limiti:

- a) 35 dB(A) Leq notturno per ospedali, case di cura e case di riposo;
- b) 40 dB(A) Leq notturno per tutti gli altri ricettori;
- c) 45 dB(A) Leq diurno per le scuole.

I valori di cui sopra sono misurati al centro della stanza, a finestre chiuse, con il microfono posto all'altezza di 1,5 m dal pavimento.

6.1 Tipologie di interventi diretti

Nel caso di interventi sull'edificio per garantire migliori livelli di comfort acustico, si prospettano quindi le soluzioni di seguito elencate in ordine crescente di efficacia:

a) Sostituzione dei vetri con mantenimento degli infissi esistenti

Questa soluzione potrà essere utilizzata nel caso in cui si volesse ottenere un isolamento interno ad un ambiente abitativo maggiore di 30 dB rispetto al rumore in facciata. Gli infissi esistenti dovranno però garantire una buona tenuta all'aria ed essere in buono stato.

b) Sostituzione delle finestre

Questa soluzione potrà essere adottata quando si desidera avere un isolamento acustico maggiore di 30 dB. In base alle prestazioni richieste è possibile:

- 1) Installare la nuova finestra con conservazione del vecchio telaio, interponendo idonee guarnizioni, quando si vuole ottenere un isolamento fino ad un massimo di 35 dB;
- 2) Installare una nuova finestra di elevate prestazioni acustiche con sostituzione del vecchio telaio, quando si vuole ottenere un isolamento fino ad un massimo di 39 dB.

Per ottenere isolamenti superiori a 37 dB è necessario prendere particolari precauzioni riguardo ai giunti di facciata, alle prese d'aria (aspiratori, ecc.), ai cassonetti per gli avvolgibili, ecc.

c) Realizzazione di doppie finestre

Questa soluzione è impiegata nei casi in cui è necessario ottenere un isolamento di facciata maggiore di 30 dB. Generalmente l'intervento viene attuato non modificando le finestre esistenti, ed aggiungendo sul lato esterno infissi antirumore scorrevoli (in alluminio e PVC).

6.2 Gli interventi diretti previsti

Per la verifica del rispetto dei limiti normativi in ambito interno, anche con il solo contributo degli infissi esistenti, si è adottato un valore di abbattimento acustico tra livello in facciata e livello all'interno pari a 20 dB, derivante da numerose indagini svolte in passato, nelle quali tale valore è risultato il minimo misurato. La stima degli interventi diretti necessari è quindi da considerarsi cautelativa. Nella tabella seguente si riporta l'elenco dei ricettori con impatto residuo in facciata superiore ai limiti previsti con la verifica del rispetto dei limiti normativi in ambiente abitativo, si prende in considerazione il periodo notturno come da normativa.

| Rif. Ricettore | Altezza di rif. [m] | destinazione uso | Leq max interno ricettore [dB(A)] | Livello in facciata POST MITIGAZIONE | | Livello interno con infisso esistente Rw = 20 dB | Impatto residuo interno ricettore | Fonoisolamento richiesto Rw dB |
|----------------|---------------------|--------------------------|-----------------------------------|--------------------------------------|--------------------|--|-----------------------------------|--------------------------------|
| | | | | Diurno Leq dB(A) | Notturmo Leq dB(A) | | | |
| A_01 | 7,5 | RESIDENZIALE | 40,0 | 64,1 | 65,8 | 45,8 | 5,8 | 25,8 |
| A_02 | 7,5 | RESIDENZIALE | 40,0 | 60,8 | 62,5 | 42,5 | 2,5 | 22,5 |
| A_03 | 7,5 | RESIDENZIALE | 40,0 | 67,7 | 69,5 | 49,5 | 9,5 | 29,5 |
| A_04 | 7,5 | RESIDENZIALE | 40,0 | 69,4 | 71,0 | 51,0 | 11,0 | 31,0 |
| A_08 | 10,5 | RESIDENZIALE/COMMERCIALE | 40,0 | 55,3 | 57,1 | 37,1 | - | - |
| A_28 | 7,5 | RESIDENZIALE/COMMERCIALE | 40,0 | 56,5 | 58,2 | 38,2 | - | - |
| A_31 | 10,5 | RESIDENZIALE | 40,0 | 56,9 | 58,6 | 38,6 | - | - |
| A_40 | 7,5 | DISABITATA | 40,0 | 62,9 | 64,6 | 44,6 | 4,6 | 24,6 |
| A_41 | 10,5 | RESIDENZIALE | 40,0 | 62,1 | 63,9 | 43,9 | 3,9 | 23,9 |
| B_17 | 4,5 | RESIDENZIALE | 40,0 | 61,0 | 62,8 | 42,8 | 2,8 | 22,8 |

Si riportano di seguito i Ricettori oggetto di intervento di mitigazione acustica diretto, il Ricettore A_40 non verrà preso in considerazione in quanto si trova in uno stato di abbandono e risulta disabitato.

A_01-A_02-A_03-A_04-A_41-B_17



Ricettori A_01_01



Ricettori A_01_02



Ricettori A_02_01



Ricettori A_02_02



Ricettori A_02_03



Ricettori A_02_04



Ricettori A_02_05



Ricettori A_03_01



Ricettori A_03_02



Ricettori A_03_03



Ricettore A_04



Ricettore A_41



Ricettore B_17

Per i Ricettori con impatto acustico residuo rilevato a finestra chiusa all'interno degli ambienti abitativi è richiesto la semplice sostituzione dei vetri mantenendo l'infisso attuale.

Nel computo metrico estimativo sono riportati i costi e le entità di tali interventi diretti.

Si opta per una doppia vetrata del tipo 4-12-44.1 esterno interno con vetro di sicurezza stratificato.

6.2.1 Calcolo del potere fonoisolante infissi con nuovi vetri

Vediamo nel dettaglio come procedere al calcolo del potere fono isolante di un infisso sapendo il R_w del vetro fonoisolante.

L'indice con cui si esprime la capacità di isolamento acustico di un serramento è costituito dal valore R_w , potere fonoisolante aereo. Si tratta dell'indice di valutazione del potere fonoisolante (espresso in decibel dB). Esprime la quantità di energia sonora che viene trasmessa da una "partizione" (ad esempio, un serramento o una parete) a un ambiente ricevente.

Quest'indice viene seguito da parametri di adattamento dello spettro (C, Ctr) per adeguare il valore dell'indice di valutazione a una situazione pratica, come il rumore di traffico urbano ponderato (R_w+Ctr).

Si può determinare il valore di R_w del serramento con metodo tabellare, noti i valori di R_w (C, Ctr) dell'IGU (IGU = Insulating Glass Unit, vetri isolanti).

Fissato un vetro con R_w (C, Ctr) = 32 (-1,-4) dB, corrispondente ad una doppia vetrata isolante 4-12-44.1 (esterno verso interno ambiente),

- 1) Sulla base del R_w della vetrata 32 dB, si determina il valore R_w del serramento dalla tabella B1 ripresa dalla norma UNI EN 14351-1 pari a 34 dB (si approssima per difetto);
- 2) si assegna $C=1$ per tutti i serramenti;
- 3) si calcola il valore R_w+Ctr del vetro pari a $32+(-4) = 28$ con il quale determiniamo, da tabella B2 ripresa dalla norma UNI EN 14351-1, il valore di R_w+Ctr del serramento pari a 30 dB (sempre approssimando per difetto);
- 4) noti i due valori $R_w=34$ dB e $R_w+Ctr = 30$ dB del serramento, calcoliamone il $Ctr = (R_w+Ctr) - R_w = 30-34=-4$;
- 5) infine estendiamo il risultato: se la superficie del serramento risulta inferiore a $2,7 \text{ m}^2$, il valore R_w del serramento sarà pari a $R_w(C, Ctr) = 34 (1,-4)$ dB.

Tabella B1

Table B.1 — R_w for window based on R_w for IGU

| IGU R_w^b [dB] | Single windows ^b | | Single, sliding windows ^c | |
|---------------------|-----------------------------|---|--------------------------------------|---|
| | Window R_w [dB] | Number of seals re- quired ^d | Window R_w [dB] | Number of seals required ^d |
| 27 | 30 | 1 | 25 | 1 |
| 28 | 31 | 1 | 26 | 1 |
| 29 | 32 | 1 | 27 | 1 |
| 30 | 33 | 1 | 28 | 1 |
| 32 | 34 | 1 | 29 | 1 |
| 34 | 35 | 1 | 29 | 1 |
| 36 | 36 | 2 | 30 | 1 |
| 38 | 37 | 2 | N/A | N/A |
| 40 | 38 | 2 | N/A | N/A |

^a Test according to EN ISO 140-3 (reference method) or generic data according to EN 12758 or EN 12354-3.
^b Fixed and openable (top/side/bottom-hung or pivoted) single windows fulfilling air permeability Class 3, see 4.14.
^c Single, sliding windows fulfilling air permeability Class 2, see 4.14.
^d Openable windows only.

Tabella B2

| TABELLA 2 IGU $R_w + C_{tr}$ [dB] | Finestre singole | | Finestre scorrevoli | |
|--------------------------------------|------------------|-----------------------|---------------------|-----------------------|
| | R_w finestra | Guarnizioni richieste | R_w finestra | Guarnizioni richieste |
| 24 | 26 | 1 | 24 | 1 |
| 25 | 27 | 1 | 25 | 1 |
| 26 | 28 | 1 | 26 | 1 |
| 27 | 29 | 1 | 26 | 1 |
| 28 | 30 | 1 | 27 | 1 |
| 30 | 31 | 1 | 27 | 1 |
| 32 | 32 | 2 | 28 | 1 |
| 34 | 33 | 2 | n/a | n/a |
| 36 | 34 | 2 | n/a | n/a |

7 Conclusioni

Lo studio di impatto acustico della nuova infrastruttura ferroviaria concepita come variante alla linea attuale è stato approcciato per fasi, facendo uso di un modello di simulazione acustica denominato "SRMII", contenuto nel software Predictor:

1. Nella prima fase abbiamo eseguito un'indagine fonometrica a bordo ferrovia in posizione libera da ostacoli sul lato mare per 24 ore in continuo per valutare lo stato attuale riferito ai singoli transiti dei treni distinguendoli in base alla tipologia e velocità media di transito.
2. Nella seconda fase il modello è stato calibrato sullo stato attuale associando ciascuna categoria di treni in transito alla relativa categoria di treni contenute nel database del modello selezionato. Le condizioni al contorno (flusso orario e velocità medie) sono state variate in modo tale da ottenere nel punto di controllo reale P1 concordanza dei risultati tra simulazione e indagine fonometrica. Ogni categoria è stata valutata sul Leq di 3600 secondi corrispondente ad un'ora.
3. Dopo la calibrazione del modello, la terza fase ha riguardato la vera e propria simulazione mediante:
 - modellazione 3D del territorio e degli edifici ricadenti nelle due Fasce di rispetto A e B della nuova linea ferroviaria
 - suddivisione del traffico ferroviario su entrambi i binari Sud e Nord e per ogni periodo di riferimento (diurno, notturno), sulla base dei dati forniti direttamente da RFI
 - calcolo dei livelli di immissione sonora rilevati in facciata ai Ricettori ante mitigazione.
 - Inserimento nel modello dei due tratti di barriera acustica e valutazione dei livelli di immissione sonora in facciata ai Ricettori
 - Stesura di una tabella riepilogativa dei risultati ottenuti e identificazione dei Ricettori bisognosi di ulteriori interventi di mitigazione acustica diretta.

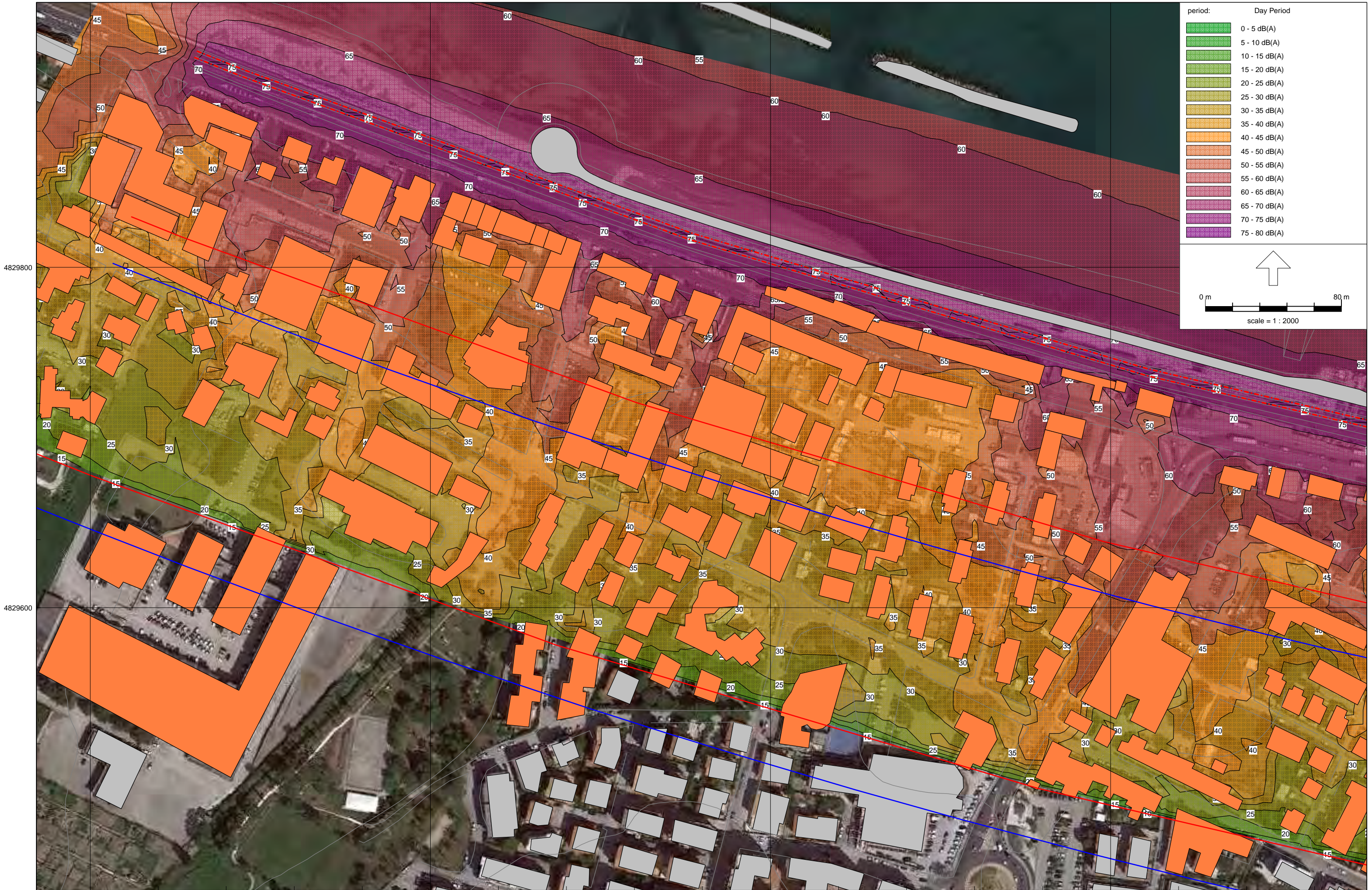
Allegati:

- Mappatura Ricettori: foglio 01-02-03
- Mappatura acustica (senza barriere) Leq diurno: fogli 01-02-03;
- Mappatura acustica (senza barriere) Leq notturno fogli 01-02-03;
- Mappatura acustica (con barriere) Leq diurno: fogli 01-02-03;
- Mappatura acustica (con barriere) Leq notturno fogli 01-02-03;
- Livelli di pressione sonora diurni/notturni in facciata ai Ricettori in Fascia A e B stato ante e post mitigazione acustica



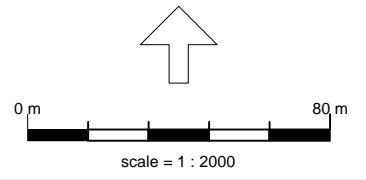


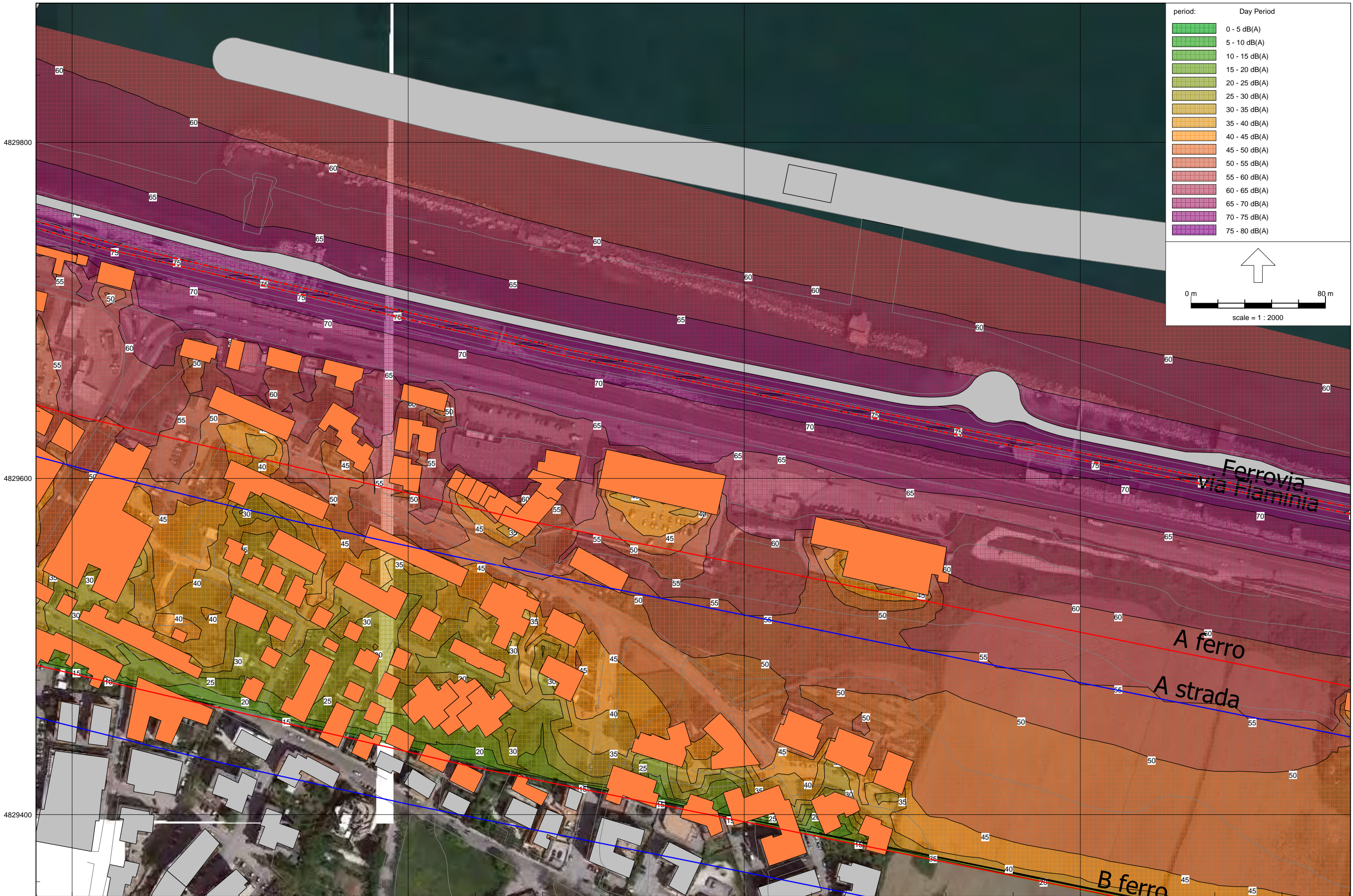


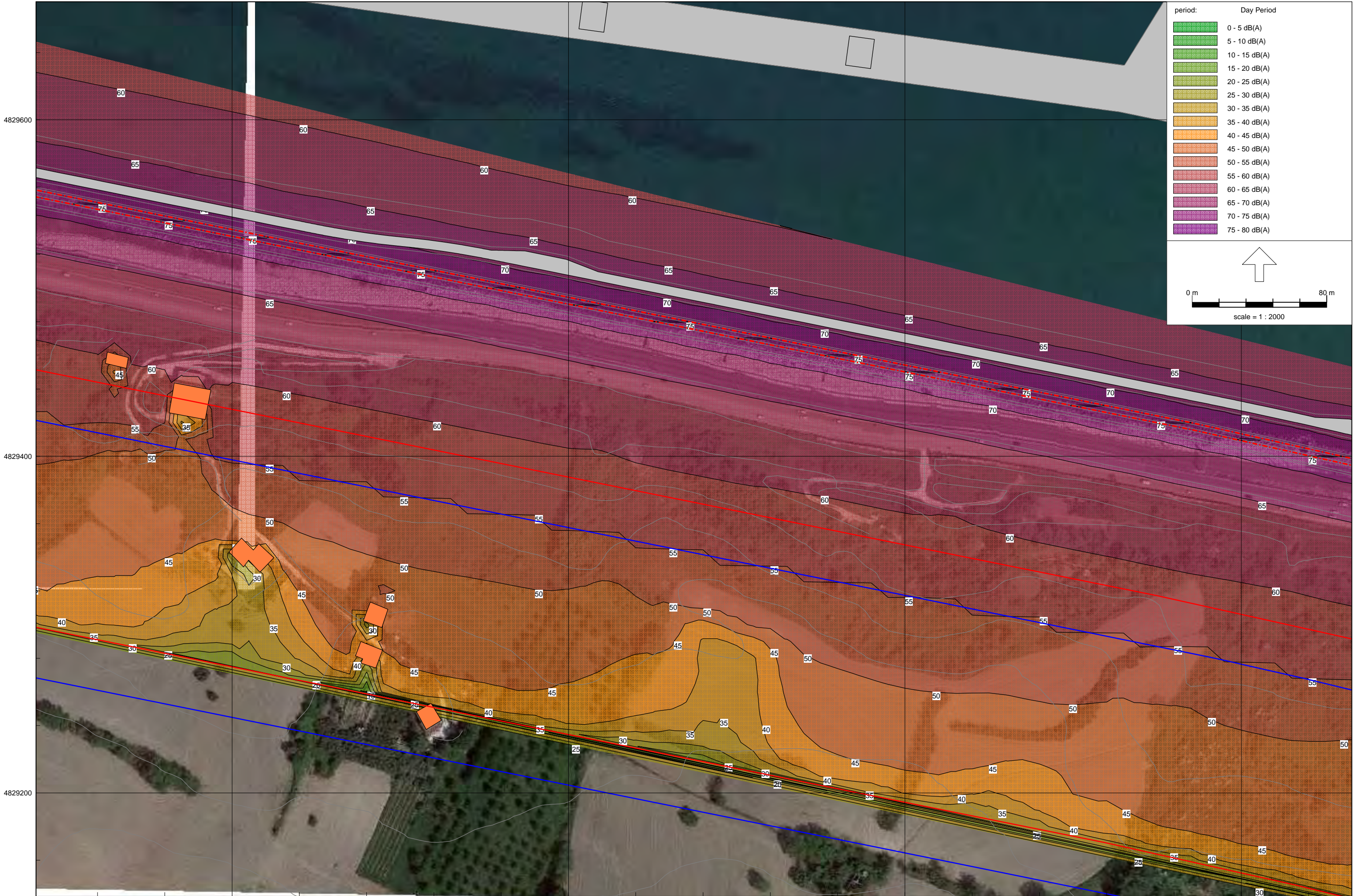


period: Day Period

| |
|---------------|
| 0 - 5 dB(A) |
| 5 - 10 dB(A) |
| 10 - 15 dB(A) |
| 15 - 20 dB(A) |
| 20 - 25 dB(A) |
| 25 - 30 dB(A) |
| 30 - 35 dB(A) |
| 35 - 40 dB(A) |
| 40 - 45 dB(A) |
| 45 - 50 dB(A) |
| 50 - 55 dB(A) |
| 55 - 60 dB(A) |
| 60 - 65 dB(A) |
| 65 - 70 dB(A) |
| 70 - 75 dB(A) |
| 75 - 80 dB(A) |



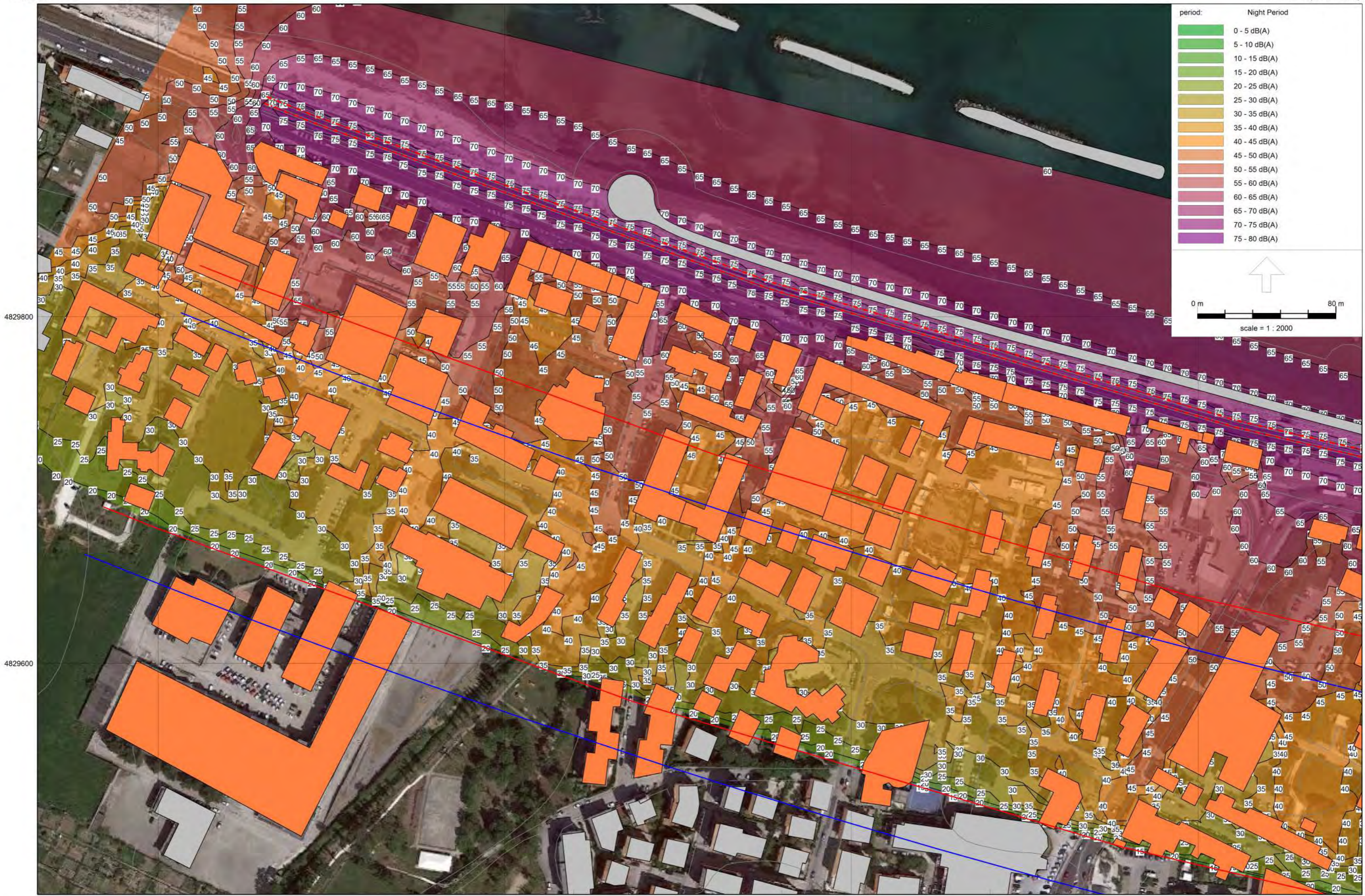




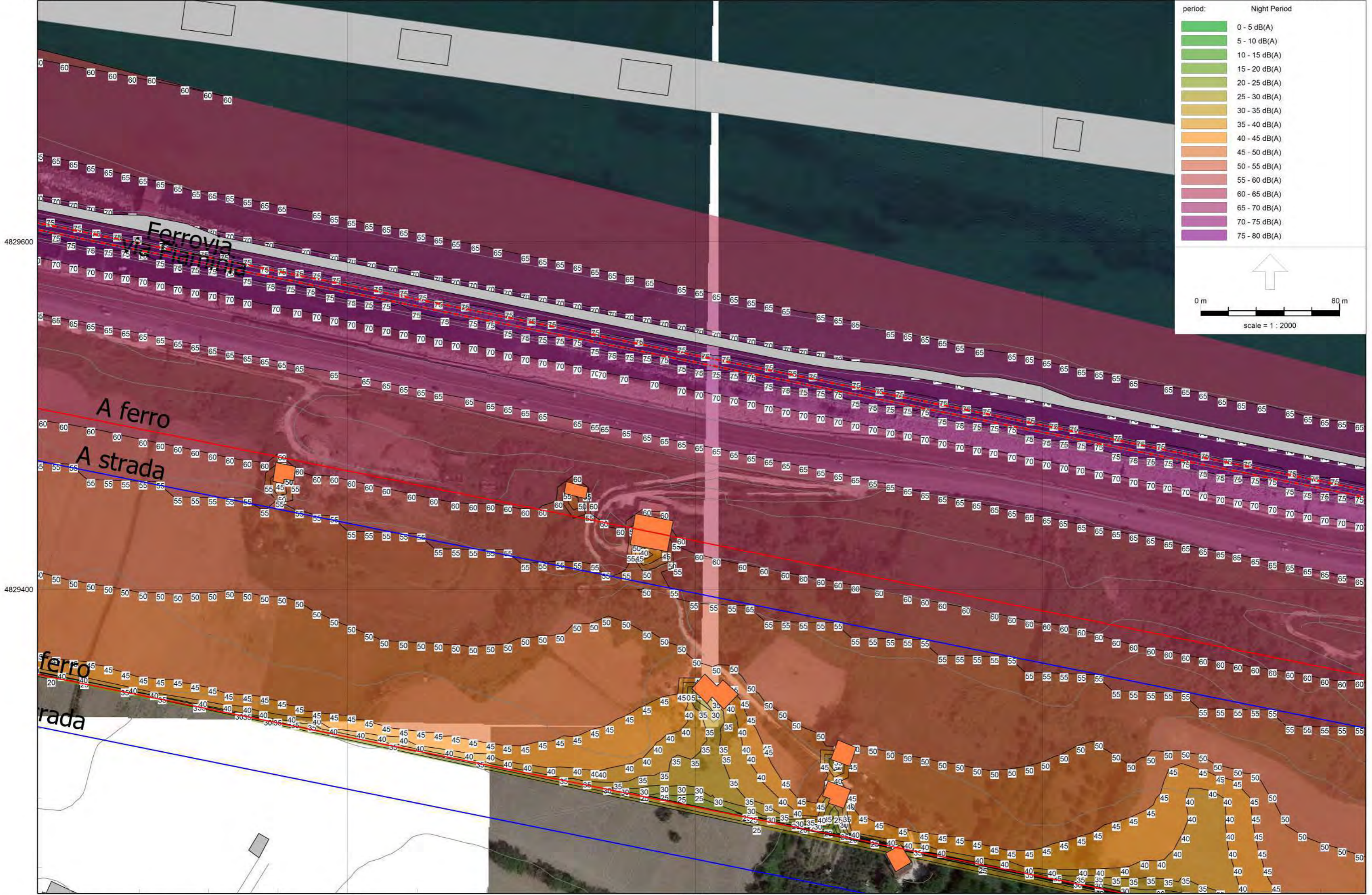
period: Day Period

| |
|---------------|
| 0 - 5 dB(A) |
| 5 - 10 dB(A) |
| 10 - 15 dB(A) |
| 15 - 20 dB(A) |
| 20 - 25 dB(A) |
| 25 - 30 dB(A) |
| 30 - 35 dB(A) |
| 35 - 40 dB(A) |
| 40 - 45 dB(A) |
| 45 - 50 dB(A) |
| 50 - 55 dB(A) |
| 55 - 60 dB(A) |
| 60 - 65 dB(A) |
| 65 - 70 dB(A) |
| 70 - 75 dB(A) |
| 75 - 80 dB(A) |

0 m 80 m
scale = 1 : 2000







period: Night Period

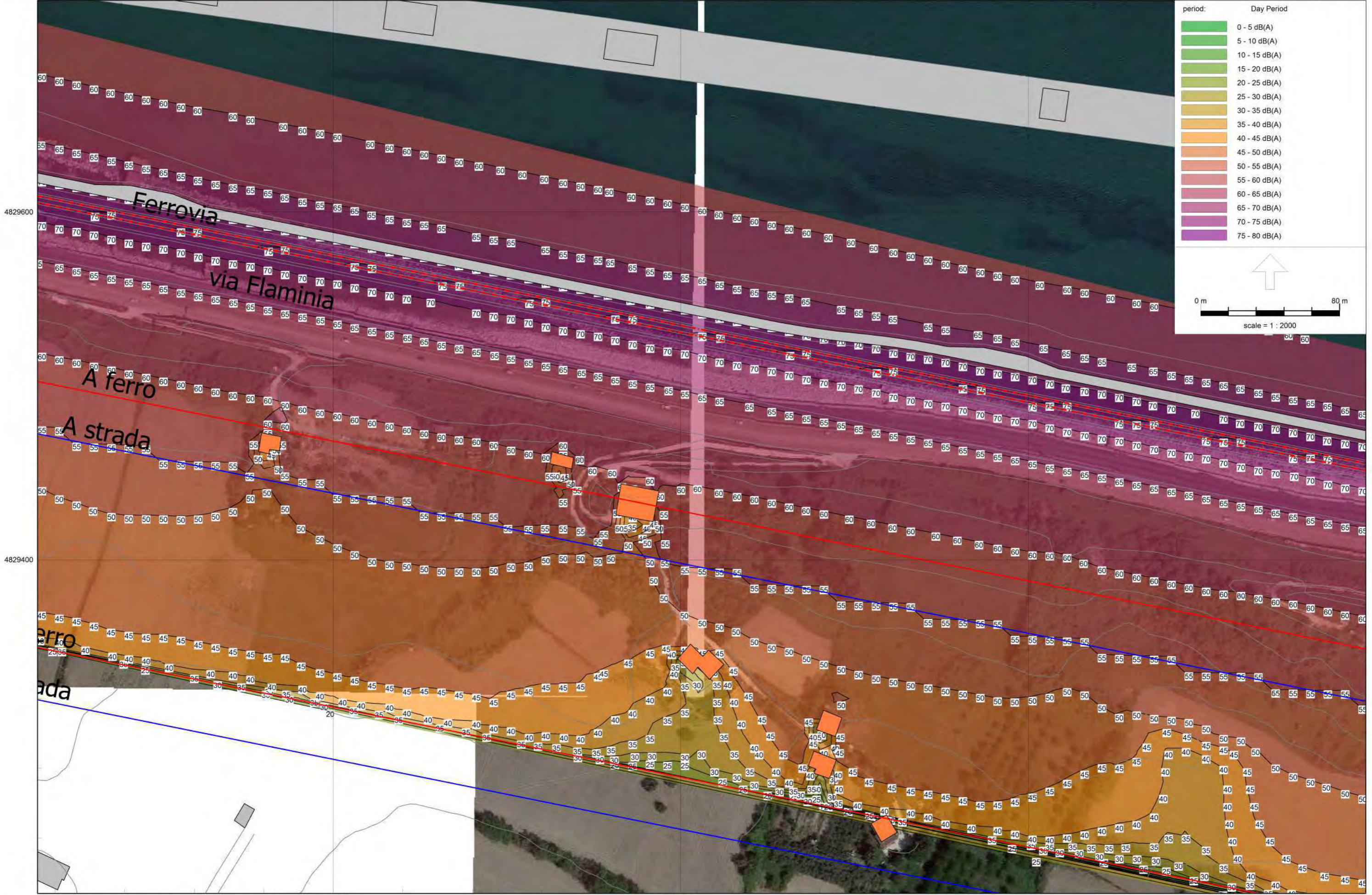
| |
|---------------|
| 0 - 5 dB(A) |
| 5 - 10 dB(A) |
| 10 - 15 dB(A) |
| 15 - 20 dB(A) |
| 20 - 25 dB(A) |
| 25 - 30 dB(A) |
| 30 - 35 dB(A) |
| 35 - 40 dB(A) |
| 40 - 45 dB(A) |
| 45 - 50 dB(A) |
| 50 - 55 dB(A) |
| 55 - 60 dB(A) |
| 60 - 65 dB(A) |
| 65 - 70 dB(A) |
| 70 - 75 dB(A) |
| 75 - 80 dB(A) |

0 m 80 m

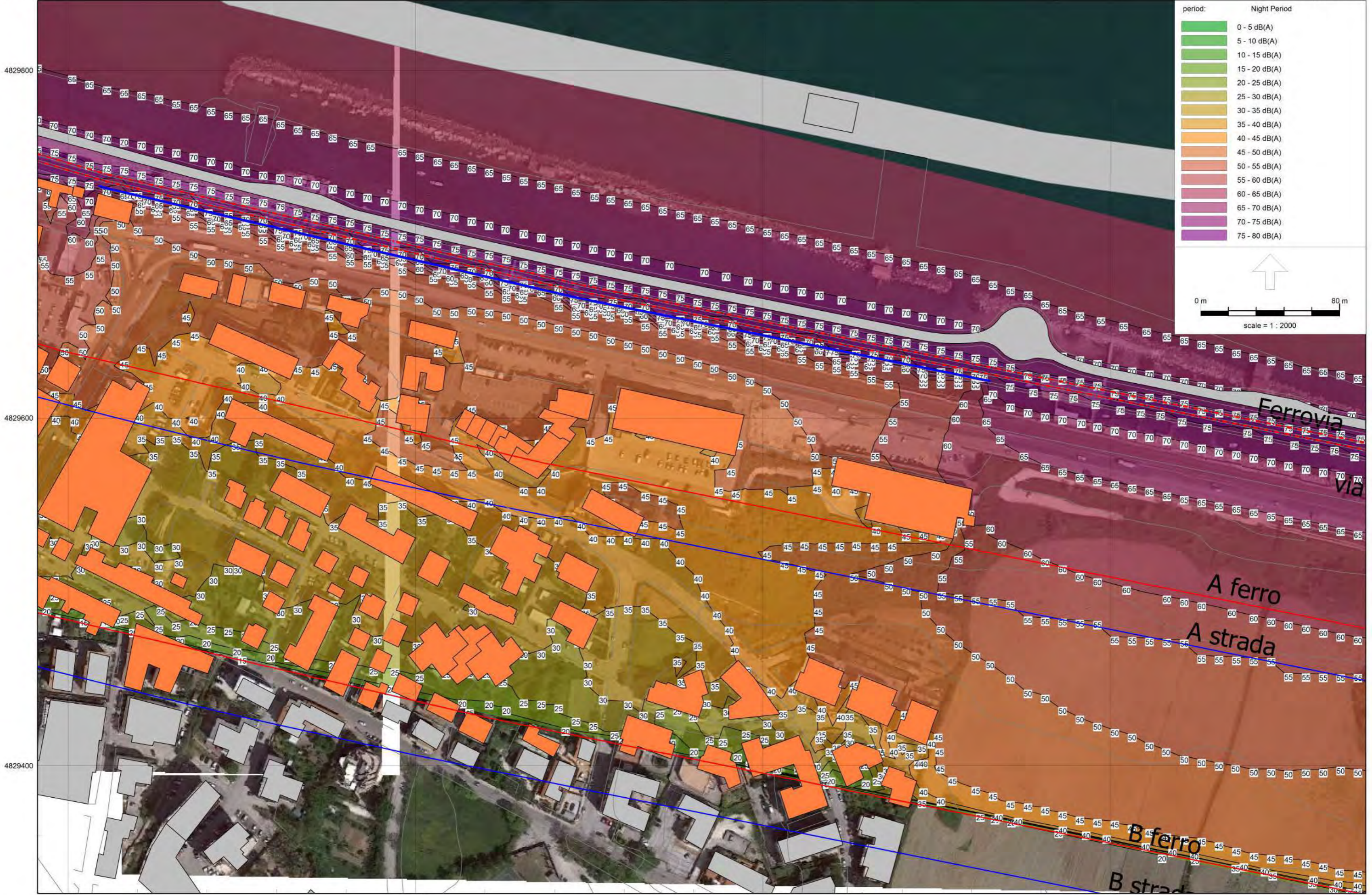
scale = 1 : 2000









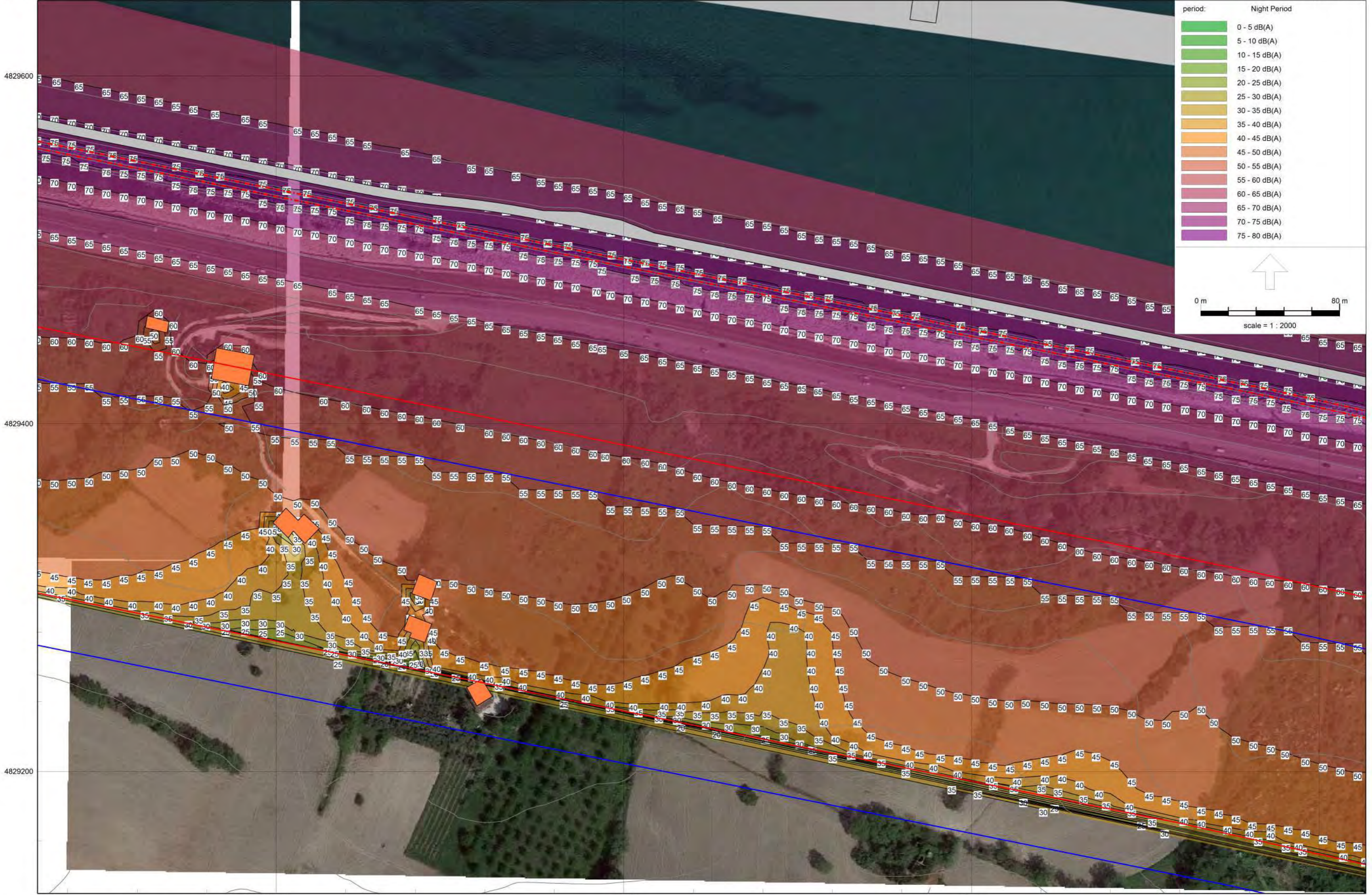


period: Night Period

| |
|---------------|
| 0 - 5 dB(A) |
| 5 - 10 dB(A) |
| 10 - 15 dB(A) |
| 15 - 20 dB(A) |
| 20 - 25 dB(A) |
| 25 - 30 dB(A) |
| 30 - 35 dB(A) |
| 35 - 40 dB(A) |
| 40 - 45 dB(A) |
| 45 - 50 dB(A) |
| 50 - 55 dB(A) |
| 55 - 60 dB(A) |
| 60 - 65 dB(A) |
| 65 - 70 dB(A) |
| 70 - 75 dB(A) |
| 75 - 80 dB(A) |

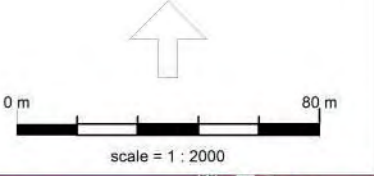
0 m 80 m

scale = 1 : 2000



period: Night Period

| |
|---------------|
| 0 - 5 dB(A) |
| 5 - 10 dB(A) |
| 10 - 15 dB(A) |
| 15 - 20 dB(A) |
| 20 - 25 dB(A) |
| 25 - 30 dB(A) |
| 30 - 35 dB(A) |
| 35 - 40 dB(A) |
| 40 - 45 dB(A) |
| 45 - 50 dB(A) |
| 50 - 55 dB(A) |
| 55 - 60 dB(A) |
| 60 - 65 dB(A) |
| 65 - 70 dB(A) |
| 70 - 75 dB(A) |
| 75 - 80 dB(A) |



Report: Table of Results
 Model: progetto ante A
 LAeq: total results for receivers
 Group: (main group)
 Group Reduction: No

| Name Receiver | Description | Height | Day | Night |
|---------------|-------------|--------|------|-------|
| A_01_A | A[1/32] | 1,50 | 71,4 | 73,2 |
| A_01_A | A[10/32] | 1,50 | 72,0 | 73,8 |
| A_01_A | A[11/32] | 1,50 | 72,7 | 74,5 |
| A_01_A | A[12/32] | 1,50 | 72,5 | 74,3 |
| A_01_A | A[13/32] | 1,50 | 72,4 | 74,2 |
| A_01_A | A[14/32] | 1,50 | 72,3 | 74,1 |
| A_01_A | A[15/32] | 1,50 | 72,2 | 74,0 |
| A_01_A | A[16/32] | 1,50 | 72,1 | 73,9 |
| A_01_A | A[2/32] | 1,50 | 71,5 | 73,3 |
| A_01_A | A[3/32] | 1,50 | 71,7 | 73,5 |
| A_01_A | A[31/32] | 1,50 | 67,4 | 69,2 |
| A_01_A | A[32/32] | 1,50 | 68,5 | 70,3 |
| A_01_A | A[4/32] | 1,50 | 71,4 | 73,2 |
| A_01_A | A[5/32] | 1,50 | 72,5 | 74,3 |
| A_01_A | A[6/32] | 1,50 | 72,4 | 74,2 |
| A_01_A | A[7/32] | 1,50 | 72,3 | 74,1 |
| A_01_A | A[8/32] | 1,50 | 72,2 | 74,0 |
| A_01_A | A[9/32] | 1,50 | 72,0 | 73,8 |
| A_01_B | A[1/32] | 4,50 | 71,6 | 73,4 |
| A_01_B | A[10/32] | 4,50 | 72,1 | 73,9 |
| A_01_B | A[11/32] | 4,50 | 72,7 | 74,4 |
| A_01_B | A[12/32] | 4,50 | 72,6 | 74,3 |
| A_01_B | A[13/32] | 4,50 | 72,5 | 74,2 |
| A_01_B | A[14/32] | 4,50 | 72,4 | 74,1 |
| A_01_B | A[15/32] | 4,50 | 72,3 | 74,0 |
| A_01_B | A[16/32] | 4,50 | 72,2 | 74,0 |
| A_01_B | A[2/32] | 4,50 | 71,8 | 73,5 |
| A_01_B | A[3/32] | 4,50 | 71,9 | 73,7 |
| A_01_B | A[31/32] | 4,50 | 68,1 | 69,9 |
| A_01_B | A[32/32] | 4,50 | 69,0 | 70,8 |
| A_01_B | A[4/32] | 4,50 | 71,6 | 73,3 |
| A_01_B | A[5/32] | 4,50 | 72,6 | 74,3 |
| A_01_B | A[6/32] | 4,50 | 72,5 | 74,2 |

All shown dB values are A-weighted

Predictor V2019.02

16/04/2019 12:50:40

Report: Table of Results
 Model: progetto ante A
 LAeq: total results for receivers
 Group: (main group)
 Group Reduction: No

| Name Receiver | Description | Height | Day | Night |
|---------------|-------------|--------|------|-------|
| A_01_B | A[7/32] | 4,50 | 72,4 | 74,1 |
| A_01_B | A[8/32] | 4,50 | 72,3 | 74,0 |
| A_01_B | A[9/32] | 4,50 | 72,2 | 73,9 |
| A_01_C | A[1/32] | 7,50 | 71,4 | 73,2 |
| A_01_C | A[10/32] | 7,50 | 71,9 | 73,6 |
| A_01_C | A[11/32] | 7,50 | 72,3 | 74,1 |
| A_01_C | A[12/32] | 7,50 | 72,2 | 74,0 |
| A_01_C | A[13/32] | 7,50 | 72,1 | 73,9 |
| A_01_C | A[14/32] | 7,50 | 72,0 | 73,8 |
| A_01_C | A[15/32] | 7,50 | 72,0 | 73,7 |
| A_01_C | A[16/32] | 7,50 | 71,9 | 73,7 |
| A_01_C | A[2/32] | 7,50 | 71,5 | 73,3 |
| A_01_C | A[3/32] | 7,50 | 71,7 | 73,4 |
| A_01_C | A[31/32] | 7,50 | 68,1 | 69,8 |
| A_01_C | A[32/32] | 7,50 | 68,9 | 70,6 |
| A_01_C | A[4/32] | 7,50 | 71,3 | 73,1 |
| A_01_C | A[5/32] | 7,50 | 72,2 | 74,0 |
| A_01_C | A[6/32] | 7,50 | 72,1 | 73,9 |
| A_01_C | A[7/32] | 7,50 | 72,0 | 73,8 |
| A_01_C | A[8/32] | 7,50 | 72,0 | 73,7 |
| A_01_C | A[9/32] | 7,50 | 71,9 | 73,6 |
| A_02_A | A[2/14] | 1,50 | 71,1 | 73,0 |
| A_02_A | A[3/14] | 1,50 | 71,2 | 73,0 |
| A_02_A | A[4/14] | 1,50 | 71,2 | 73,1 |
| A_02_A | A[5/14] | 1,50 | 71,3 | 73,1 |
| A_02_A | A[6/14] | 1,50 | 71,3 | 73,2 |
| A_02_A | A[7/14] | 1,50 | 71,4 | 73,2 |
| A_02_B | A[2/14] | 4,50 | 71,5 | 73,2 |
| A_02_B | A[3/14] | 4,50 | 71,5 | 73,2 |
| A_02_B | A[4/14] | 4,50 | 71,5 | 73,3 |
| A_02_B | A[5/14] | 4,50 | 71,6 | 73,3 |
| A_02_B | A[6/14] | 4,50 | 71,6 | 73,4 |
| A_02_B | A[7/14] | 4,50 | 71,6 | 73,4 |

All shown dB values are A-weighted

Predictor V2019.02

16/04/2019 12:50:40

Report: Table of Results
 Model: progetto ante A
 LAeq: total results for receivers
 Group: (main group)
 Group Reduction: No

| Name Receiver | Description | Height | Day | Night |
|---------------|-------------|--------|------|-------|
| A_02_C | A[2/14] | 7,50 | 71,2 | 73,0 |
| A_02_C | A[3/14] | 7,50 | 71,3 | 73,0 |
| A_02_C | A[4/14] | 7,50 | 71,3 | 73,1 |
| A_02_C | A[5/14] | 7,50 | 71,3 | 73,1 |
| A_02_C | A[6/14] | 7,50 | 71,4 | 73,1 |
| A_02_C | A[7/14] | 7,50 | 71,4 | 73,2 |
| A_03_A | A[1/33] | 1,50 | 71,3 | 73,1 |
| A_03_A | A[10/33] | 1,50 | 71,7 | 73,5 |
| A_03_A | A[11/33] | 1,50 | 71,7 | 73,5 |
| A_03_A | A[12/33] | 1,50 | 71,8 | 73,6 |
| A_03_A | A[13/33] | 1,50 | 71,8 | 73,6 |
| A_03_A | A[14/33] | 1,50 | 71,9 | 73,7 |
| A_03_A | A[15/33] | 1,50 | 71,9 | 73,7 |
| A_03_A | A[16/33] | 1,50 | 68,4 | 70,2 |
| A_03_A | A[17/33] | 1,50 | 66,7 | 68,5 |
| A_03_A | A[18/33] | 1,50 | 65,1 | 66,9 |
| A_03_A | A[2/33] | 1,50 | 71,4 | 73,2 |
| A_03_A | A[3/33] | 1,50 | 71,4 | 73,2 |
| A_03_A | A[4/33] | 1,50 | 71,5 | 73,3 |
| A_03_A | A[5/33] | 1,50 | 71,5 | 73,3 |
| A_03_A | A[6/33] | 1,50 | 71,5 | 73,3 |
| A_03_A | A[7/33] | 1,50 | 71,6 | 73,4 |
| A_03_A | A[8/33] | 1,50 | 71,6 | 73,4 |
| A_03_A | A[9/33] | 1,50 | 71,7 | 73,5 |
| A_03_B | A[1/33] | 4,50 | 71,6 | 73,4 |
| A_03_B | A[10/33] | 4,50 | 71,9 | 73,6 |
| A_03_B | A[11/33] | 4,50 | 71,9 | 73,7 |
| A_03_B | A[12/33] | 4,50 | 72,0 | 73,7 |
| A_03_B | A[13/33] | 4,50 | 72,0 | 73,8 |
| A_03_B | A[14/33] | 4,50 | 72,0 | 73,8 |
| A_03_B | A[15/33] | 4,50 | 72,0 | 73,8 |
| A_03_B | A[16/33] | 4,50 | 68,7 | 70,4 |
| A_03_B | A[17/33] | 4,50 | 67,2 | 69,0 |

All shown dB values are A-weighted

Predictor V2019.02

16/04/2019 12:50:40

Report: Table of Results
 Model: progetto ante A
 LAeq: total results for receivers
 Group: (main group)
 Group Reduction: No

| Name Receiver | Description | Height | Day | Night |
|---------------|-------------|--------|------|-------|
| A_03_B | A[18/33] | 4,50 | 66,0 | 67,7 |
| A_03_B | A[2/33] | 4,50 | 71,6 | 73,4 |
| A_03_B | A[3/33] | 4,50 | 71,7 | 73,4 |
| A_03_B | A[4/33] | 4,50 | 71,7 | 73,5 |
| A_03_B | A[5/33] | 4,50 | 71,7 | 73,5 |
| A_03_B | A[6/33] | 4,50 | 71,8 | 73,5 |
| A_03_B | A[7/33] | 4,50 | 71,8 | 73,6 |
| A_03_B | A[8/33] | 4,50 | 71,8 | 73,6 |
| A_03_B | A[9/33] | 4,50 | 71,9 | 73,6 |
| A_03_C | A[1/33] | 7,50 | 71,4 | 73,1 |
| A_03_C | A[10/33] | 7,50 | 71,6 | 73,4 |
| A_03_C | A[11/33] | 7,50 | 71,7 | 73,4 |
| A_03_C | A[12/33] | 7,50 | 71,7 | 73,4 |
| A_03_C | A[13/33] | 7,50 | 71,7 | 73,5 |
| A_03_C | A[14/33] | 7,50 | 71,7 | 73,5 |
| A_03_C | A[15/33] | 7,50 | 71,8 | 73,5 |
| A_03_C | A[16/33] | 7,50 | 68,5 | 70,2 |
| A_03_C | A[17/33] | 7,50 | 67,1 | 68,8 |
| A_03_C | A[18/33] | 7,50 | 65,9 | 67,6 |
| A_03_C | A[2/33] | 7,50 | 71,4 | 73,2 |
| A_03_C | A[3/33] | 7,50 | 71,4 | 73,2 |
| A_03_C | A[4/33] | 7,50 | 71,5 | 73,2 |
| A_03_C | A[5/33] | 7,50 | 71,5 | 73,2 |
| A_03_C | A[6/33] | 7,50 | 71,5 | 73,3 |
| A_03_C | A[7/33] | 7,50 | 71,5 | 73,3 |
| A_03_C | A[8/33] | 7,50 | 71,6 | 73,3 |
| A_03_C | A[9/33] | 7,50 | 71,6 | 73,4 |
| A_04_A | A[1/16] | 1,50 | 69,4 | 71,2 |
| A_04_A | A[10/16] | 1,50 | 67,4 | 69,2 |
| A_04_A | A[11/16] | 1,50 | 69,4 | 71,2 |
| A_04_A | A[12/16] | 1,50 | 69,4 | 71,2 |
| A_04_A | A[13/16] | 1,50 | 69,4 | 71,2 |
| A_04_A | A[14/16] | 1,50 | 69,4 | 71,2 |
| A_04_A | A[15/16] | 1,50 | 69,4 | 71,2 |
| A_04_A | A[16/16] | 1,50 | 69,4 | 71,2 |
| A_04_B | A[1/16] | 4,50 | 69,5 | 71,2 |
| A_04_B | A[10/16] | 4,50 | 67,7 | 69,5 |
| A_04_B | A[11/16] | 4,50 | 69,4 | 71,2 |
| A_04_B | A[12/16] | 4,50 | 69,4 | 71,2 |
| A_04_B | A[13/16] | 4,50 | 69,4 | 71,2 |
| A_04_B | A[14/16] | 4,50 | 69,4 | 71,2 |
| A_04_B | A[15/16] | 4,50 | 69,4 | 71,2 |
| A_04_B | A[16/16] | 4,50 | 69,4 | 71,2 |
| A_04_B | A[17/16] | 4,50 | 67,7 | 69,5 |
| A_04_B | A[18/16] | 4,50 | 67,2 | 68,9 |
| A_04_B | A[19/16] | 4,50 | 66,3 | 68,0 |
| A_04_C | A[1/16] | 7,50 | 69,2 | 71,0 |
| A_04_C | A[10/16] | 7,50 | 67,5 | 69,2 |
| A_04_C | A[11/16] | 7,50 | 69,1 | 70,9 |
| A_04_C | A[12/16] | 7,50 | 69,1 | 70,9 |
| A_04_C | A[13/16] | 7,50 | 69,1 | 70,9 |
| A_04_C | A[14/16] | 7,50 | 69,1 | 70,9 |
| A_04_C | A[15/16] | 7,50 | 69,1 | 70,9 |
| A_04_C | A[16/16] | 7,50 | 69,1 | 70,9 |
| A_04_C | A[17/16] | 7,50 | 69,1 | 70,9 |
| A_04_C | A[18/16] | 7,50 | 69,1 | 70,9 |
| A_04_C | A[19/16] | 7,50 | 69,1 | 70,9 |
| A_05a_A | A[10/30] | 1,50 | 65,1 | 66,9 |
| A_05a_A | A[11/30] | 1,50 | 65,6 | 67,4 |
| A_05a_A | A[12/30] | 1,50 | 65,9 | 67,7 |
| A_05a_A | A[13/30] | 1,50 | 66,2 | 68,0 |
| A_05a_A | A[14/30] | 1,50 | 66,5 | 68,3 |
| A_05a_A | A[15/30] | 1,50 | 66,8 | 68,6 |
| A_05a_A | A[16/30] | 1,50 | 67,1 | 68,9 |
| A_05a_A | A[17/30] | 1,50 | 67,4 | 69,2 |
| A_05a_A | A[18/30] | 1,50 | 67,7 | 69,5 |
| A_05a_A | A[19/30] | 1,50 | 68,0 | 69,8 |
| A_05a_B | A[10/30] | 4,50 | 68,0 | 69,8 |
| A_05a_B | A[11/30] | 4,50 | 68,5 | 70,3 |
| A_05a_B | A[12/30] | 4,50 | 68,8 | 70,6 |
| A_05a_B | A[13/30] | 4,50 | 69,0 | 70,8 |
| A_05a_B | A[14/30] | 4,50 | 69,1 | 70,9 |
| A_05a_B | A[15/30] | 4,50 | 69,2 | 70,9 |
| A_05a_B | A[16/30] | 4,50 | 69,2 | 71,0 |
| A_05a_B | A[17/30] | 4,50 | 69,3 | 71,0 |
| A_05a_B | A[18/30] | 4,50 | 69,2 | 71,0 |
| A_05a_B | A[19/30] | 4,50 | 66,1 | 67,8 |
| A_05a_B | A[2/30] | 4,50 | 45,0 | 46,8 |
| A_05a_B | A[20/30] | 4,50 | 65,6 | 67,4 |
| A_05a_B | A[21/30] | 4,50 | 65,3 | 67,0 |
| A_05a_B | A[3/30] | 4,50 | 52,7 | 54,3 |
| A_05a_B | A[4/30] | 4,50 | 54,4 | 56,2 |
| A_05a_B | A[5/30] | 4,50 | 55,4 | 57,1 |
| A_05a_B | A[6/30] | 4,50 | 55,7 | 57,5 |

All shown dB values are A-weighted

Predictor V2019.02

16/04/2019 12:50:40

Report: Table of Results
 Model: progetto ante A
 LAeq: total results for receivers
 Group: (main group)
 Group Reduction: No

| Name Receiver | Description | Height | Day | Night |
|---------------|-------------|--------|------|-------|
| A_04_A | A[15/16] | 1,50 | 73,2 | 75,0 |
| A_04_A | A[16/16] | 1,50 | 73,1 | 74,9 |
| A_04_A | A[2/16] | 1,50 | 67,8 | 69,6 |
| A_04_A | A[3/16] | 1,50 | 66,4 | 68,2 |
| A_04_A | A[9/16] | 1,50 | 65,7 | 67,5 |
| A_04_B | A[1/16] | 4,50 | 69,5 | 71,2 |
| A_04_B | A[10/16] | 4,50 | 67,7 | 69,5 |
| A_04_B | A[11/16] | 4,50 | 69,4 | 71,2 |
| A_04_B | A[12/16] | 4,50 | 69,4 | 71,2 |
| A_04_B | A[13/16] | 4,50 | 69,4 | 71,2 |
| A_04_B | A[14/16] | 4,50 | 69,4 | 71,2 |
| A_04_B | A[15/16] | 4,50 | 69,4 | 71,2 |
| A_04_B | A[16/16] | 4,50 | 69,4 | 71,2 |
| A_04_B | A[17/16] | 4,50 | 69,4 | 71,2 |
| A_04_B | A[18/16] | 4,50 | 69,4 | 71,2 |
| A_04_B | A[19/16] | 4,50 | 69,4 | 71,2 |
| A_04_B | A[2/16] | 4,50 | 67,7 | 69,5 |
| A_04_B | A[3/16] | 4,50 | 67,2 | 68,9 |
| A_04_B | A[4/16] | 4,50 | 67,2 | 68,9 |
| A_04_B | A[5/16] | 4,5 | | |

Report: Table of Results
 Model: progetto ante A
 LAeq: total results for receivers
 Group: (main group)
 Group Reduction: No

| Name | Receiver | Description | Height | Day | Night |
|---------|----------|-------------|--------|------|-------|
| A_05a_B | A[7/30] | | 4,50 | 59,0 | 60,7 |
| A_05a_B | A[8/30] | | 4,50 | 64,6 | 66,3 |
| A_05a_B | A[9/30] | | 4,50 | 65,1 | 66,8 |
| A_05b_A | A[10/20] | | 1,50 | 41,4 | 43,3 |
| A_05b_A | A[11/20] | | 1,50 | 40,0 | 41,8 |
| A_05b_A | A[12/20] | | 1,50 | 39,6 | 41,5 |
| A_05b_A | A[13/20] | | 1,50 | 39,4 | 41,3 |
| A_05b_A | A[14/20] | | 1,50 | 39,1 | 41,0 |
| A_05b_A | A[15/20] | | 1,50 | 38,9 | 40,7 |
| A_05b_A | A[16/20] | | 1,50 | 42,6 | 44,4 |
| A_05b_A | A[17/20] | | 1,50 | 61,1 | 62,8 |
| A_05b_A | A[18/20] | | 1,50 | 60,7 | 62,5 |
| A_05b_A | A[19/20] | | 1,50 | 61,9 | 63,7 |
| A_05b_A | A[20/20] | | 1,50 | 61,7 | 63,5 |
| A_05b_A | A[9/20] | | 1,50 | 41,2 | 43,1 |
| A_05b_B | A[10/20] | | 4,50 | 48,3 | 50,2 |
| A_05b_B | A[11/20] | | 4,50 | 50,3 | 52,1 |
| A_05b_B | A[12/20] | | 4,50 | 49,2 | 51,1 |
| A_05b_B | A[13/20] | | 4,50 | 48,3 | 50,1 |
| A_05b_B | A[14/20] | | 4,50 | 47,6 | 49,4 |
| A_05b_B | A[15/20] | | 4,50 | 48,4 | 50,3 |
| A_05b_B | A[16/20] | | 4,50 | 61,5 | 63,2 |
| A_05b_B | A[17/20] | | 4,50 | 64,2 | 65,9 |
| A_05b_B | A[18/20] | | 4,50 | 63,6 | 65,4 |
| A_05b_B | A[19/20] | | 4,50 | 63,0 | 64,8 |
| A_05b_B | A[20/20] | | 4,50 | 62,4 | 64,1 |
| A_05b_B | A[9/20] | | 4,50 | 47,2 | 49,0 |
| A_05b_C | A[10/20] | | 7,50 | 51,6 | 53,4 |
| A_05b_C | A[11/20] | | 7,50 | 57,7 | 59,5 |
| A_05b_C | A[12/20] | | 7,50 | 57,1 | 58,9 |
| A_05b_C | A[13/20] | | 7,50 | 56,7 | 58,5 |
| A_05b_C | A[14/20] | | 7,50 | 56,4 | 58,2 |
| A_05b_C | A[15/20] | | 7,50 | 56,8 | 58,6 |

All shown dB values are A-weighted

Predictor V2019.02 16/04/2019 12:50:40

Report: Table of Results
 Model: progetto ante A
 LAeq: total results for receivers
 Group: (main group)
 Group Reduction: No

| Name | Receiver | Description | Height | Day | Night |
|---------|----------|-------------|--------|------|-------|
| A_05b_C | A[16/20] | | 7,50 | 62,6 | 64,3 |
| A_05b_C | A[17/20] | | 7,50 | 64,2 | 65,9 |
| A_05b_C | A[18/20] | | 7,50 | 63,7 | 65,4 |
| A_05b_C | A[19/20] | | 7,50 | 63,0 | 64,7 |
| A_05b_C | A[20/20] | | 7,50 | 62,3 | 64,1 |
| A_05b_C | A[9/20] | | 7,50 | 49,6 | 51,5 |
| A_06_A | A[1/14] | | 1,50 | 67,9 | 69,7 |
| A_06_A | A[12/14] | | 1,50 | 62,3 | 64,7 |
| A_06_A | A[13/14] | | 1,50 | 63,5 | 65,3 |
| A_06_A | A[14/14] | | 1,50 | 64,6 | 66,4 |
| A_06_A | A[2/14] | | 1,50 | 67,9 | 69,7 |
| A_06_A | A[3/14] | | 1,50 | 67,8 | 69,6 |
| A_06_A | A[4/14] | | 1,50 | 67,8 | 69,6 |
| A_06_A | A[5/14] | | 1,50 | 64,7 | 66,5 |
| A_06_A | A[6/14] | | 1,50 | 63,8 | 65,6 |
| A_06_A | A[7/14] | | 1,50 | 63,1 | 64,9 |
| A_06_B | A[1/14] | | 4,50 | 69,0 | 70,8 |
| A_06_B | A[12/14] | | 4,50 | 65,4 | 67,1 |
| A_06_B | A[13/14] | | 4,50 | 65,9 | 67,6 |
| A_06_B | A[14/14] | | 4,50 | 66,5 | 68,2 |
| A_06_B | A[2/14] | | 4,50 | 69,0 | 70,8 |
| A_06_B | A[3/14] | | 4,50 | 69,0 | 70,7 |
| A_06_B | A[4/14] | | 4,50 | 69,0 | 70,7 |
| A_06_B | A[5/14] | | 4,50 | 66,1 | 67,9 |
| A_06_B | A[6/14] | | 4,50 | 65,4 | 67,1 |
| A_06_B | A[7/14] | | 4,50 | 64,8 | 66,5 |
| A_07_A | A[1/14] | | 1,50 | 66,8 | 68,6 |
| A_07_A | A[12/14] | | 1,50 | 62,3 | 64,1 |
| A_07_A | A[13/14] | | 1,50 | 62,9 | 64,7 |
| A_07_A | A[14/14] | | 1,50 | 63,8 | 65,6 |
| A_07_A | A[2/14] | | 1,50 | 66,9 | 68,7 |
| A_07_A | A[3/14] | | 1,50 | 66,9 | 68,7 |
| A_07_A | A[4/14] | | 1,50 | 67,4 | 69,3 |

All shown dB values are A-weighted

Predictor V2019.02 16/04/2019 12:50:40

Report: Table of Results
 Model: progetto ante A
 LAeq: total results for receivers
 Group: (main group)
 Group Reduction: No

| Name | Receiver | Description | Height | Day | Night |
|--------|----------|-------------|--------|------|-------|
| A_07_A | A[5/14] | | 1,50 | 64,3 | 66,1 |
| A_07_A | A[6/14] | | 1,50 | 63,3 | 65,1 |
| A_07_A | A[7/14] | | 1,50 | 62,6 | 64,4 |
| A_07_A | A[8/14] | | 1,50 | 62,1 | 63,9 |
| A_07_B | A[1/14] | | 4,50 | 68,3 | 70,0 |
| A_07_B | A[12/14] | | 4,50 | 63,9 | 65,6 |
| A_07_B | A[13/14] | | 4,50 | 64,6 | 66,3 |
| A_07_B | A[14/14] | | 4,50 | 65,4 | 67,1 |
| A_07_B | A[2/14] | | 4,50 | 68,4 | 70,2 |
| A_07_B | A[3/14] | | 4,50 | 68,4 | 70,1 |
| A_07_B | A[4/14] | | 4,50 | 68,8 | 70,5 |
| A_07_B | A[5/14] | | 4,50 | 65,8 | 67,5 |
| A_07_B | A[6/14] | | 4,50 | 65,0 | 66,7 |
| A_07_B | A[7/14] | | 4,50 | 64,3 | 66,1 |
| A_07_B | A[8/14] | | 4,50 | 63,7 | 65,4 |
| A_08_A | A[1/23] | | 1,50 | 67,3 | 69,1 |
| A_08_A | A[10/23] | | 1,50 | 56,1 | 57,9 |
| A_08_A | A[11/23] | | 1,50 | 55,5 | 57,2 |
| A_08_A | A[17/23] | | 1,50 | 59,4 | 61,1 |
| A_08_A | A[18/23] | | 1,50 | 60,4 | 62,1 |
| A_08_A | A[19/23] | | 1,50 | 61,1 | 62,9 |
| A_08_A | A[2/23] | | 1,50 | 67,3 | 69,1 |
| A_08_A | A[20/23] | | 1,50 | 61,8 | 63,6 |
| A_08_A | A[21/23] | | 1,50 | 62,4 | 64,2 |
| A_08_A | A[22/23] | | 1,50 | 63,1 | 64,9 |
| A_08_A | A[23/23] | | 1,50 | 64,2 | 66,0 |
| A_08_A | A[3/23] | | 1,50 | 67,2 | 69,0 |
| A_08_A | A[4/23] | | 1,50 | 67,2 | 69,0 |
| A_08_A | A[5/23] | | 1,50 | 67,1 | 68,9 |
| A_08_A | A[6/23] | | 1,50 | 63,5 | 65,3 |
| A_08_A | A[7/23] | | 1,50 | 60,9 | 62,7 |
| A_08_A | A[8/23] | | 1,50 | 58,9 | 60,7 |
| A_08_A | A[9/23] | | 1,50 | 57,2 | 59,0 |

All shown dB values are A-weighted

Predictor V2019.02 16/04/2019 12:50:40

Report: Table of Results
 Model: progetto ante A
 LAeq: total results for receivers
 Group: (main group)
 Group Reduction: No

| Name | Receiver | Description | Height | Day | Night |
|--------|----------|-------------|--------|------|-------|
| A_08_B | A[1/23] | | 4,50 | 68,7 | 70,4 |
| A_08_B | A[10/23] | | 4,50 | 57,9 | 59,6 |
| A_08_B | A[11/23] | | 4,50 | 57,1 | 58,9 |
| A_08_B | A[17/23] | | 4,50 | 60,9 | 62,6 |
| A_08_B | A[18/23] | | 4,50 | 61,8 | 63,6 |
| A_08_B | A[19/23] | | 4,50 | 62,6 | 64,3 |
| A_08_B | A[2/23] | | 4,50 | 68,6 | 70,4 |
| A_08_B | A[20/23] | | 4,50 | 63,4 | 65,1 |
| A_08_B | A[21/23] | | 4,50 | 64,1 | 65,8 |
| A_08_B | A[22/23] | | 4,50 | 64,9 | 66,6 |
| A_08_B | A[23/23] | | 4,50 | 65,7 | 67,5 |
| A_08_B | A[3/23] | | 4,50 | 68,6 | 70,3 |
| A_08_B | A[4/23] | | 4,50 | 68,6 | 70,3 |
| A_08_B | A[5/23] | | 4,50 | 68,5 | 70,3 |
| A_08_B | A[6/23] | | 4,50 | 65,1 | 66,9 |
| A_08_B | A[7/23] | | 4,50 | 62,7 | 64,4 |
| A_08_B | A[8/23] | | 4,50 | 60,9 | 62,6 |
| A_08_B | A[9/23] | | 4,50 | 59,3 | 61,1 |
| A_08_C | A[1/23] | | 7,50 | 68,6 | 70,4 |
| A_08_C | A[10/23] | | 7,50 | 58,5 | 60,3 |
| A_08_C | A[11/23] | | 7,50 | 57,9 | 59,6 |
| A_08_C | A[17/23] | | 7,50 | 61,1 | 62,8 |
| A_08_C | A[18/23] | | 7,50 | 61,8 | 63,5 |
| A_08_C | A[19/23] | | 7,50 | 62,4 | 64,2 |
| A_08_C | A[2/23] | | 7,50 | 68,6 | 70,4 |
| A_08_C | A[20/23] | | 7,50 | 63,2 | 65,0 |
| A_08_C | A[21/23] | | 7,50 | 64,0 | 65,7 |
| A_08_C | A[22/23] | | 7,50 | 64,8 | 66,5 |
| A_08_C | A[23/23] | | 7,50 | 65,7 | 67,5 |
| A_08_C | A[3/23] | | 7,50 | 68,6 | 70,3 |
| A_08_C | A[4/23] | | 7,50 | 68,6 | 70,3 |
| A_08_C | A[5/23] | | 7,50 | 68,6 | 70,3 |
| A_08_C | A[6/23] | | 7,50 | 65,2 | 67,0 |

All shown dB values are A-weighted

Predictor V2019.02 16/04/2019 12:50:40

Report: Table of Results
 Model: progetto ante A
 LAeq: total results for receivers
 Group: (main group)
 Group Reduction: No

| Name | Receiver | Description | Height | Day | Night |
|--------|----------|-------------|--------|------|-------|
| A_08_C | A[7/23] | | 7,50 | 62,9 | 64,7 |
| A_08_C | A[8/23] | | 7,50 | 61,3 | 63,0 |
| A_08_C | A[9/23] | | 7,50 | 59,8 | 61,5 |
| A_08_D | A[1/23] | | 10,50 | 68,5 | 70,3 |
| A_08_D | A[10/23] | | 10,50 | 59,9 | 61,6 |
| A_08_D | A[11/23] | | 10,50 | 58,7 | 60,4 |
| A_08_D | A[17/23] | | 10,50 | 61,9 | 63,6 |
| A_08_D | A[18/23] | | 10,50 | 62,8 | 64,5 |
| A_08_D | A[19/23] | | 10,50 | 63,3 | 65,0 |
| A_08_D | A[2/23] | | 10,50 | 68,5 | 70,3 |
| A_08_D | A[20/23] | | 10,50 | 63,9 | 65,6 |
| A_08_D | A[21/23] | | 10,50 | 64,4 | 66,1 |
| A_08_D | A[22/23] | | 10,50 | 64,9 | 66,7 |
| A_08_D | A[23/23] | | 10,50 | 65,7 | 67,4 |
| A_08_D | A[3/23] | | 10,50 | 68,5 | 70,2 |
| A_08_D | A[4/23] | | 10,50 | 68,4 | 70,2 |
| A_08_D | A[5/23] | | 10,50 | 68,4 | 70,1 |
| A_08_D | A[6/23] | | 10,50 | 64,9 | 66,6 |
| A_08_D | A[7/23] | | 10,50 | 63,8 | 65,6 |
| A_08_D | A[8/23] | | 10,50 | 62,7 | 64,4 |
| A_08_D | A[9/23] | | 10,50 | 61,2 | 62,9 |
| A_09_A | A[1/25] | | 1,50 | 69,0 | 70,8 |
| A_09_A | A[16/25] | | 1,50 | 55,6 | 57,5 |
| A_09_A | A[17/25] | | 1,50 | 55,8 | 57,6 |
| A_09_A | A[18/25] | | 1,50 | 55,6 | 57,4 |
| A_09_A | A[19/25] | | 1,50 | 52,2 | 54,0 |
| A_09_A | A[2/25] | | 1,50 | 68,9 | 70,7 |
| A_09_A | A[20/25] | | 1,50 | 61,1 | 62,9 |
| A_09_A | A[21/25] | | 1,50 | 62,8 | 64,6 |
| A_09_A | A[22/25] | | 1,50 | 66,6 | 68,4 |
| A_09_A | A[23/25] | | 1,50 | 66,6 | 68,4 |
| A_09_A | A[24/25] | | 1,50 | 66,4 | 68,2 |
| A_09_A | A[25/25] | | 1,50 | 67,0 | 68,8 |

All shown dB values are A-weighted

Predictor V2019.02 16/04/2019 12:50:40

Report: Table of Results
 Model: progetto ante A
 LAeq: total results for receivers
 Group: (main group)
 Group Reduction: No

| Name | Receiver | Description | Height | Day | Night |
|--------|----------|-------------|--------|------|-------|
| A_09_A | A[3/25] | | 1,50 | 68,8 | 70,6 |
| A_09_A | A[4/25] | | 1,50 | 65,0 | 66,9 |
| A_09_A | A[5/25] | | 1,50 | 63,6 | 65,4 |
| A_09_A | A[6/25] | | 1,50 | 62,5 | 64,3 |
| A_09_A | A[7/25] | | 1,50 | 61,3 | 63,1 |
| A_09_A | A[8/25] | | 1,50 | 60,1 | 61,9 |
| A_09_B | A[1/25] | | 4,50 | 69,8 | 71,6 |
| A_09_B | A[16/25] | | 4,50 | 57,8 | 59,6 |
| A_09_B | A[17/25] | | 4,50 | 58,1 | 59,9 |
| A_09_B | A[18/25] | | 4,50 | 57,9 | 59,7 |
| A_09_B | A[19/25] | | 4,50 | 54,8 | 56,6 |
| A_09_B | A[2/25] | | 4,50 | 69,8 | 71,5 |
| A_09_B | A[20/25] | | 4,50 | 62,9 | 64,7 |
| A_09_B | A[21/25] | | 4,50 | 64,5 | 66,2 |
| A_09_B | A[22/25] | | 4,50 | 68,2 | 69,9 |
| A_09_B | A[23/25] | | 4,50 | 68,1 | 69,8 |
| A_09_B | A[24/25] | | 4,50 | 67,9 | 69,6 |
| A_09_B | A[25/25] | | 4,50 | 68,2 | 70,0 |
| A_09_B | A[3/25] | | 4,50 | 69,7 | 71,4 |
| A_09_B | A[4/25] | | 4,50 | 66,2 | 67,9 |
| A_09_B | A[5/25] | | 4,50 | 65,2 | 66,9 |
| A_09_B | A[6/25] | | 4,50 | | |

Report: Table of Results
Model: progetto ante_A
LAeq: total results for receivers
Group: (main group)
Group Reduction: No

Table with columns: Name, Receiver, Description, Height, Day, Night. Rows include A_10_B, A_10_C, A_11_A, A_11_B, A_12_A, A_12_B, A_13_A, A_13_B, A_13_C, A_14_A, A_14_B, A_14_C.

All shown dB values are A-weighted

Predictor V2019.02

16/04/2019 12:50:40

Report: Table of Results
Model: progetto ante_A
LAeq: total results for receivers
Group: (main group)
Group Reduction: No

Table with columns: Name, Receiver, Description, Height, Day, Night. Rows include A_13_A, A_13_B, A_13_C, A_14_A, A_14_B, A_14_C.

All shown dB values are A-weighted

Predictor V2019.02

16/04/2019 12:50:40

Report: Table of Results
Model: progetto ante_A
LAeq: total results for receivers
Group: (main group)
Group Reduction: No

Table with columns: Name, Receiver, Description, Height, Day, Night. Rows include A_15_A, A_15_B, A_16_A, A_16_B.

All shown dB values are A-weighted

Predictor V2019.02

16/04/2019 12:50:40

Report: Table of Results
Model: progetto ante_A
LAeq: total results for receivers
Group: (main group)
Group Reduction: No

Table with columns: Name, Receiver, Description, Height, Day, Night. Rows include A_16_B, A_16_C, A_17_A, A_17_B, A_17_C, A_17_D, A_18_A, A_18_B, A_18_C, A_18_D, A_19_A, A_19_B.

All shown dB values are A-weighted

Predictor V2019.02

16/04/2019 12:50:40

Report: Table of Results
Model: progetto ante_A
LAeq: total results for receivers
Group: (main group)
Group Reduction: No

Table with columns: Name, Receiver, Description, Height, Day, Night. Rows include A_17_C, A_17_D, A_18_A, A_18_B, A_18_C, A_18_D, A_19_A, A_19_B.

All shown dB values are A-weighted

Predictor V2019.02

16/04/2019 12:50:40

Report: Table of Results
Model: progetto ante_A
LAeq: total results for receivers
Group: (main group)
Group Reduction: No

Table with columns: Name, Receiver, Description, Height, Day, Night. Rows include A_18_B, A_18_C, A_18_D, A_19_A, A_19_B.

All shown dB values are A-weighted

Predictor V2019.02

16/04/2019 12:50:40

Report: Table of Results
Model: progetto ante A
L'Aeq: total results for receivers
Group: (main group)
Group Reduction: No

Table with columns: Name, Receiver, Description, Height, Day, Night. Contains multiple rows of receiver data for various heights and orientations.

All shown dB values are A-weighted

Report: Table of Results
Model: progetto ante A
L'Aeq: total results for receivers
Group: (main group)
Group Reduction: No

Table with columns: Name, Receiver, Description, Height, Day, Night. Contains multiple rows of receiver data for various heights and orientations.

All shown dB values are A-weighted

Report: Table of Results
Model: progetto ante A
L'Aeq: total results for receivers
Group: (main group)
Group Reduction: No

Table with columns: Name, Receiver, Description, Height, Day, Night. Contains multiple rows of receiver data for various heights and orientations.

All shown dB values are A-weighted

Report: Table of Results
Model: progetto ante A
L'Aeq: total results for receivers
Group: (main group)
Group Reduction: No

Table with columns: Name, Receiver, Description, Height, Day, Night. Contains multiple rows of receiver data for various heights and orientations.

All shown dB values are A-weighted

Report: Table of Results
Model: progetto ante A
L'Aeq: total results for receivers
Group: (main group)
Group Reduction: No

Table with columns: Name, Receiver, Description, Height, Day, Night. Contains multiple rows of receiver data for various heights and orientations.

All shown dB values are A-weighted

Report: Table of Results
Model: progetto ante A
L'Aeq: total results for receivers
Group: (main group)
Group Reduction: No

Table with columns: Name, Receiver, Description, Height, Day, Night. Contains multiple rows of receiver data for various heights and orientations.

All shown dB values are A-weighted

Report: Table of Results
Model: progetto ante A
L'Aes: total results for receivers
Group: (main group)
Group Reduction: No

Table with columns: Name, Receiver, Description, Height, Day, Night. Lists various receiver points (A_41_D, A_42a_A, etc.) and their corresponding noise level data.

All shown dB values are A-weighted

Predictor V2019.02 16/04/2019 12:50:40

Report: Table of Results
Model: progetto ante A
L'Aes: total results for receivers
Group: (main group)
Group Reduction: No

Table with columns: Name, Receiver, Description, Height, Day, Night. Lists various receiver points (A_42a_A, A_42b_A, etc.) and their corresponding noise level data.

All shown dB values are A-weighted

Predictor V2019.02 16/04/2019 12:50:40

Report: Table of Results
Model: progetto ante A
L'Aes: total results for receivers
Group: (main group)
Group Reduction: No

Table with columns: Name, Receiver, Description, Height, Day, Night. Lists various receiver points (A_42b_B, A_42b_C, etc.) and their corresponding noise level data.

All shown dB values are A-weighted

Predictor V2019.02 16/04/2019 12:50:40

Report: Table of Results
Model: progetto ante A
L'Aes: total results for receivers
Group: (main group)
Group Reduction: No

Table with columns: Name, Receiver, Description, Height, Day, Night. Lists various receiver points (A_42b_C, A_42b_D, etc.) and their corresponding noise level data.

All shown dB values are A-weighted

Predictor V2019.02 16/04/2019 12:50:40

Report: Table of Results
Model: progetto ante A
L'Aes: total results for receivers
Group: (main group)
Group Reduction: No

Table with columns: Name, Receiver, Description, Height, Day, Night. Lists various receiver points (A_43_A, A_43_B, etc.) and their corresponding noise level data.

All shown dB values are A-weighted

Predictor V2019.02 16/04/2019 12:50:40

Report: Table of Results
Model: progetto ante A
L'Aes: total results for receivers
Group: (main group)
Group Reduction: No

Table with columns: Name, Receiver, Description, Height, Day, Night. Lists various receiver points (A_43_C, A_43_D, etc.) and their corresponding noise level data.

All shown dB values are A-weighted

Predictor V2019.02 16/04/2019 12:50:40

Report: Table of Results
Model: progetto ante A
LAeq: total results for receivers
Group: (main group)
Group Reduction: No

Table with columns: Name, Receiver, Description, Height, Day, Night. Lists noise receptor data for various locations (A.62.A, A.62.B, A.62.C, A.62.D) and times.

All shown dB values are A-weighted

Predictor V2019.02

16/04/2019 12:50:40

Report: Table of Results
Model: progetto ante A
LAeq: total results for receivers
Group: (main group)
Group Reduction: No

Table with columns: Name, Receiver, Description, Height, Day, Night. Lists noise receptor data for various locations (A.62.A, A.62.B, A.62.C, A.62.D) and times.

All shown dB values are A-weighted

Predictor V2019.02

16/04/2019 12:50:40

Report: Table of Results
Model: progetto ante A
LAeq: total results for receivers
Group: (main group)
Group Reduction: No

Table with columns: Name, Receiver, Description, Height, Day, Night. Lists noise receptor data for various locations (A.62.C, A.62.D, A.63.A, A.63.B, A.63.C, A.63.D) and times.

All shown dB values are A-weighted

Predictor V2019.02

16/04/2019 12:50:40

Report: Table of Results
Model: progetto ante A
LAeq: total results for receivers
Group: (main group)
Group Reduction: No

Table with columns: Name, Receiver, Description, Height, Day, Night. Lists noise receptor data for various locations (A.63.A, A.63.B, A.63.C, A.63.D) and times.

All shown dB values are A-weighted

Predictor V2019.02

16/04/2019 12:50:40

Report: Table of Results
Model: progetto ante A
LAeq: total results for receivers
Group: (main group)
Group Reduction: No

Table with columns: Name, Receiver, Description, Height, Day, Night. Lists noise receptor data for various locations (A.63.B, A.63.C, A.63.D) and times.

All shown dB values are A-weighted

Predictor V2019.02

16/04/2019 12:50:40

Report: Table of Results
Model: progetto ante A
LAeq: total results for receivers
Group: (main group)
Group Reduction: No

Table with columns: Name, Receiver, Description, Height, Day, Night. Lists noise receptor data for various locations (A.63.C, A.63.D, A.63.E) and times.

All shown dB values are A-weighted

Predictor V2019.02

16/04/2019 12:50:40

Progetto: leq in facciata ai recettori HYDEA S.p.A. Report: Table of Results Model: progetto_ante_B LAeq: total results for receivers Group: (main group) Group Reduction: No. Table with columns: Name, Receiver, Description, Height, Day, Night. Rows include receivers B_124_A through B_124_C and B_124_D.

Progetto: leq in facciata ai recettori HYDEA S.p.A. Report: Table of Results Model: progetto_ante_B LAeq: total results for receivers Group: (main group) Group Reduction: No. Table with columns: Name, Receiver, Description, Height, Day, Night. Rows include receivers B_124_D through B_125_C.

Progetto: leq in facciata ai recettori HYDEA S.p.A. Report: Table of Results Model: progetto_ante_B LAeq: total results for receivers Group: (main group) Group Reduction: No. Table with columns: Name, Receiver, Description, Height, Day, Night. Rows include receivers B_125_C through B_13_A and B_13_B.

Progetto: leq in facciata ai recettori HYDEA S.p.A. Report: Table of Results Model: progetto_ante_B LAeq: total results for receivers Group: (main group) Group Reduction: No. Table with columns: Name, Receiver, Description, Height, Day, Night. Rows include receivers B_13_A through B_13_C and B_13_D.

Progetto: leq in facciata ai recettori HYDEA S.p.A. Report: Table of Results Model: progetto_ante_B LAeq: total results for receivers Group: (main group) Group Reduction: No. Table with columns: Name, Receiver, Description, Height, Day, Night. Rows include receivers B_13_C through B_13_D and B_14_A.

Progetto: leq in facciata ai recettori HYDEA S.p.A. Report: Table of Results Model: progetto_ante_B LAeq: total results for receivers Group: (main group) Group Reduction: No. Table with columns: Name, Receiver, Description, Height, Day, Night. Rows include receivers B_13_D through B_14_A and B_14_B.

Progetto: leq in facciata ai recettori HYDEA S.p.A. Report: Table of Results Model: progetto_ante_B LAeq: total results for receivers Group: (main group) Group Reduction: No. Table with columns: Name, Receiver, Description, Height, Day, Night. Rows include B_30_A, B_30_B, B_30_C, B_30_D, B_31_A, B_31_B, B_31_C, B_31_D, B_32_A, B_32_B, B_32_C, B_32_D, B_33_A, B_33_B, B_33_C, B_33_D, B_34_A, B_34_B, B_34_C, B_34_D.

Progetto: leq in facciata ai recettori HYDEA S.p.A. Report: Table of Results Model: progetto_ante_B LAeq: total results for receivers Group: (main group) Group Reduction: No. Table with columns: Name, Receiver, Description, Height, Day, Night. Rows include B_30_C, B_30_D, B_31_A, B_31_B, B_31_C, B_31_D, B_32_A, B_32_B, B_32_C, B_32_D, B_33_A, B_33_B, B_33_C, B_33_D, B_34_A, B_34_B, B_34_C, B_34_D.

Progetto: leq in facciata ai recettori HYDEA S.p.A. Report: Table of Results Model: progetto_ante_B LAeq: total results for receivers Group: (main group) Group Reduction: No. Table with columns: Name, Receiver, Description, Height, Day, Night. Rows include B_31_C, B_31_D, B_32_A, B_32_B, B_32_C, B_32_D, B_33_A, B_33_B, B_33_C, B_33_D, B_34_A, B_34_B, B_34_C, B_34_D.

Progetto: leq in facciata ai recettori HYDEA S.p.A. Report: Table of Results Model: progetto_ante_B LAeq: total results for receivers Group: (main group) Group Reduction: No. Table with columns: Name, Receiver, Description, Height, Day, Night. Rows include B_32_C, B_32_D, B_33_A, B_33_B, B_33_C, B_33_D, B_34_A, B_34_B, B_34_C, B_34_D.

Progetto: leq in facciata ai recettori HYDEA S.p.A. Report: Table of Results Model: progetto_ante_B LAeq: total results for receivers Group: (main group) Group Reduction: No. Table with columns: Name, Receiver, Description, Height, Day, Night. Rows include B_34_A, B_34_B, B_34_C, B_34_D, B_35_A, B_35_B, B_35_C, B_35_D.

Progetto: leq in facciata ai recettori HYDEA S.p.A. Report: Table of Results Model: progetto_ante_B LAeq: total results for receivers Group: (main group) Group Reduction: No. Table with columns: Name, Receiver, Description, Height, Day, Night. Rows include B_35_A, B_35_B, B_35_C, B_35_D, B_36_A, B_36_B, B_36_C, B_36_D.

Report: Table of Results
Model: progetto_ante_B
L'Aeq: total results for receivers
Group: (main group)
Group Reduction: No

Table with columns: Name, Receiver, Description, Height, Day, Night. Lists noise levels for various receiver locations (B.36, B.37, B.38, B.39, B.40, B.41, B.42) across multiple scenarios.

All shown dB values are A-weighted

Predictor V2019.02

16/04/2019 10:49:51

Report: Table of Results
Model: progetto_ante_B
L'Aeq: total results for receivers
Group: (main group)
Group Reduction: No

Table with columns: Name, Receiver, Description, Height, Day, Night. Lists noise levels for various receiver locations (B.38, B.39, B.39_A, B.39_B, B.39_C) across multiple scenarios.

All shown dB values are A-weighted

Predictor V2019.02

16/04/2019 10:49:51

Report: Table of Results
Model: progetto_ante_B
L'Aeq: total results for receivers
Group: (main group)
Group Reduction: No

Table with columns: Name, Receiver, Description, Height, Day, Night. Lists noise levels for various receiver locations (B.39, B.40, B.40_A, B.40_B, B.40_C, B.41, B.41_A, B.41_B, B.41_C, B.42, B.42_A, B.42_B, B.42_C) across multiple scenarios.

All shown dB values are A-weighted

Predictor V2019.02

16/04/2019 10:49:51

Report: Table of Results
Model: progetto_ante_B
L'Aeq: total results for receivers
Group: (main group)
Group Reduction: No

Table with columns: Name, Receiver, Description, Height, Day, Night. Lists noise levels for various receiver locations (B.41, B.41_A, B.41_B, B.41_C, B.42, B.42_A, B.42_B, B.42_C) across multiple scenarios.

All shown dB values are A-weighted

Predictor V2019.02

16/04/2019 10:49:51

Report: Table of Results
Model: progetto_ante_B
L'Aeq: total results for receivers
Group: (main group)
Group Reduction: No

Table with columns: Name, Receiver, Description, Height, Day, Night. Lists noise levels for various receiver locations (B.42, B.42_C, B.43, B.43_A, B.43_B, B.43_C, B.43_D, B.43_E, B.43_F, B.43_G, B.43_H, B.43_I, B.43_J, B.43_K, B.43_L, B.43_M, B.43_N, B.43_O, B.43_P, B.43_Q, B.43_R, B.43_S, B.43_T, B.43_U, B.43_V, B.43_W, B.43_X, B.43_Y, B.43_Z) across multiple scenarios.

All shown dB values are A-weighted

Predictor V2019.02

16/04/2019 10:49:51

Report: Table of Results
Model: progetto_ante_B
L'Aeq: total results for receivers
Group: (main group)
Group Reduction: No

Table with columns: Name, Receiver, Description, Height, Day, Night. Lists noise levels for various receiver locations (B.44, B.44_A, B.44_B, B.44_C, B.44_D, B.44_E, B.44_F, B.44_G, B.44_H, B.44_I, B.44_J, B.44_K, B.44_L, B.44_M, B.44_N, B.44_O, B.44_P, B.44_Q, B.44_R, B.44_S, B.44_T, B.44_U, B.44_V, B.44_W, B.44_X, B.44_Y, B.44_Z) across multiple scenarios.

All shown dB values are A-weighted

Predictor V2019.02

16/04/2019 10:49:51

| Progetto: leq in facciata ai recettori | | HYDEA S.p.A. | |
|--|-----------------------------|-----------------|------------------|
| Report: | Table of Results | | |
| Model: | progetto_ante_B | | |
| LAeq: | total results for receivers | | |
| Group: | (main group) | | |
| Group Reduction: | No | | |
| Name | Receiver | Description | Height Day Night |
| B_53_B | B[4/8] | 4,50 29,3 31,1 | |
| B_53_B | B[7/8] | 4,50 31,4 33,2 | |
| B_53_B | B[8/8] | 4,50 31,0 32,8 | |
| B_54_A | B[1/10] | 1,50 30,4 32,2 | |
| B_54_A | B[10/10] | 1,50 29,1 30,9 | |
| B_54_A | B[2/10] | 1,50 30,4 32,2 | |
| B_54_A | B[3/10] | 1,50 28,9 30,7 | |
| B_54_A | B[4/10] | 1,50 28,8 30,6 | |
| B_54_A | B[5/10] | 1,50 29,0 30,8 | |
| B_54_A | B[8/10] | 1,50 28,8 30,6 | |
| B_54_A | B[9/10] | 1,50 28,9 30,7 | |
| B_54_B | B[1/10] | 4,50 30,7 32,5 | |
| B_54_B | B[10/10] | 4,50 29,5 31,3 | |
| B_54_B | B[2/10] | 4,50 31,1 32,9 | |
| B_54_B | B[3/10] | 4,50 29,8 31,6 | |
| B_54_B | B[4/10] | 4,50 30,4 32,2 | |
| B_54_B | B[5/10] | 4,50 30,5 32,3 | |
| B_54_B | B[8/10] | 4,50 29,7 31,5 | |
| B_54_B | B[9/10] | 4,50 29,6 31,4 | |
| B_55_A | B[1/14] | 1,50 30,5 32,3 | |
| B_55_A | B[11/14] | 1,50 30,8 32,6 | |
| B_55_A | B[12/14] | 1,50 29,8 31,6 | |
| B_55_A | B[13/14] | 1,50 29,7 31,5 | |
| B_55_A | B[14/14] | 1,50 29,4 31,2 | |
| B_55_A | B[2/14] | 1,50 31,0 32,8 | |
| B_55_A | B[3/14] | 1,50 31,5 33,3 | |
| B_55_A | B[4/14] | 1,50 29,4 31,2 | |
| B_55_A | B[5/14] | 1,50 30,0 31,8 | |
| B_55_A | B[6/14] | 1,50 30,1 31,9 | |
| B_55_A | B[7/14] | 1,50 29,6 31,4 | |
| B_55_B | B[1/14] | 4,50 31,6 33,4 | |
| B_55_B | B[11/14] | 4,50 31,0 32,8 | |
| B_55_B | B[12/14] | 4,50 30,9 32,7 | |
| B_55_B | B[13/14] | 4,50 31,0 32,8 | |
| B_55_B | B[14/14] | 4,50 30,8 32,6 | |
| B_55_B | B[2/14] | 4,50 32,8 34,6 | |
| B_55_B | B[3/14] | 4,50 33,4 35,2 | |
| B_55_B | B[4/14] | 4,50 31,5 33,4 | |
| B_55_B | B[5/14] | 4,50 31,3 33,1 | |
| B_55_B | B[6/14] | 4,50 31,1 32,9 | |
| B_55_C | B[7/14] | 4,50 30,3 32,1 | |
| B_55_C | B[1/14] | 7,50 34,0 35,9 | |
| B_55_C | B[11/14] | 7,50 32,7 34,6 | |
| B_55_C | B[12/14] | 7,50 32,7 34,5 | |
| B_55_C | B[13/14] | 7,50 32,8 34,7 | |
| B_55_C | B[14/14] | 7,50 32,6 34,4 | |
| B_55_C | B[2/14] | 7,50 34,6 36,5 | |
| B_55_C | B[3/14] | 7,50 34,9 36,8 | |
| B_55_C | B[4/14] | 7,50 33,4 35,2 | |
| B_55_C | B[5/14] | 7,50 33,1 34,9 | |
| B_55_C | B[6/14] | 7,50 32,8 34,7 | |
| B_55_C | B[7/14] | 7,50 32,2 34,0 | |
| B_55_D | B[1/14] | 10,50 36,1 37,9 | |
| B_55_D | B[11/14] | 10,50 34,2 36,1 | |
| B_55_D | B[12/14] | 10,50 34,4 36,2 | |
| All shown dB values are A-weighted | | | |
| Predictor V2019.02 | 16/04/2019 10:49:51 | | |

| Progetto: leq in facciata ai recettori | | HYDEA S.p.A. | |
|--|-----------------------------|-----------------|------------------|
| Report: | Table of Results | | |
| Model: | progetto_ante_B | | |
| LAeq: | total results for receivers | | |
| Group: | (main group) | | |
| Group Reduction: | No | | |
| Name | Receiver | Description | Height Day Night |
| B_55_D | B[13/14] | 10,50 34,7 36,5 | |
| B_55_D | B[14/14] | 10,50 34,6 36,5 | |
| B_55_D | B[2/14] | 10,50 34,2 36,0 | |
| B_55_D | B[3/14] | 10,50 34,4 36,3 | |
| B_55_D | B[4/14] | 10,50 34,0 35,9 | |
| B_55_D | B[5/14] | 10,50 33,4 35,3 | |
| B_55_D | B[6/14] | 10,50 33,0 34,9 | |
| B_55_D | B[7/14] | 10,50 32,6 34,5 | |
| B_56_A | B[1/39] | 1,50 36,4 38,2 | |
| B_56_A | B[10/39] | 1,50 34,0 35,8 | |
| B_56_A | B[2/39] | 1,50 37,2 39,0 | |
| B_56_A | B[3/39] | 1,50 36,9 38,8 | |
| B_56_A | B[34/39] | 1,50 32,5 34,3 | |
| B_56_A | B[35/39] | 1,50 33,9 35,7 | |
| B_56_A | B[36/39] | 1,50 34,5 36,3 | |
| B_56_A | B[37/39] | 1,50 34,9 36,8 | |
| B_56_A | B[38/39] | 1,50 36,4 38,2 | |
| B_56_A | B[39/39] | 1,50 36,5 38,3 | |
| B_56_A | B[4/39] | 1,50 37,0 38,8 | |
| B_56_A | B[5/39] | 1,50 37,1 38,9 | |
| B_56_A | B[6/39] | 1,50 37,1 39,0 | |
| B_56_A | B[7/39] | 1,50 36,6 38,5 | |
| B_56_A | B[8/39] | 1,50 36,6 38,4 | |
| B_56_A | B[9/39] | 1,50 33,5 35,4 | |
| B_56_B | B[1/39] | 4,50 37,4 39,3 | |
| B_56_B | B[10/39] | 4,50 34,6 36,5 | |
| B_56_B | B[2/39] | 4,50 38,1 40,0 | |
| B_56_B | B[3/39] | 4,50 37,9 39,7 | |
| B_56_B | B[34/39] | 4,50 34,1 35,9 | |
| B_56_B | B[35/39] | 4,50 35,1 37,0 | |
| B_56_B | B[36/39] | 4,50 35,6 37,4 | |
| B_56_B | B[37/39] | 4,50 35,9 37,8 | |
| B_56_B | B[38/39] | 4,50 37,1 39,0 | |
| B_56_B | B[39/39] | 4,50 37,3 39,2 | |
| B_56_B | B[4/39] | 4,50 37,9 39,7 | |
| B_56_B | B[5/39] | 4,50 38,1 40,0 | |
| B_56_B | B[6/39] | 4,50 38,1 40,0 | |
| B_56_B | B[7/39] | 4,50 37,5 39,4 | |
| B_56_B | B[8/39] | 4,50 37,5 39,4 | |
| B_56_B | B[9/39] | 4,50 34,3 36,2 | |
| B_56_C | B[1/39] | 7,50 38,4 40,2 | |
| B_56_C | B[10/39] | 7,50 35,5 37,4 | |
| B_56_C | B[2/39] | 7,50 39,3 41,1 | |
| B_56_C | B[3/39] | 7,50 39,1 40,9 | |
| B_56_C | B[34/39] | 7,50 35,5 37,3 | |
| B_56_C | B[35/39] | 7,50 36,3 38,2 | |
| B_56_C | B[36/39] | 7,50 36,7 38,5 | |
| B_56_C | B[37/39] | 7,50 37,0 38,9 | |
| B_56_C | B[38/39] | 7,50 37,9 39,8 | |
| B_56_C | B[39/39] | 7,50 38,2 40,1 | |
| B_56_C | B[4/39] | 7,50 38,9 40,8 | |
| B_56_C | B[5/39] | 7,50 39,1 40,9 | |
| B_56_C | B[6/39] | 7,50 39,0 40,8 | |
| B_56_C | B[7/39] | 7,50 38,5 40,4 | |
| B_56_C | B[8/39] | 7,50 38,4 40,3 | |
| All shown dB values are A-weighted | | | |
| Predictor V2019.02 | 16/04/2019 10:49:51 | | |

| Progetto: leq in facciata ai recettori | | HYDEA S.p.A. | |
|--|-----------------------------|-----------------|------------------|
| Report: | Table of Results | | |
| Model: | progetto_ante_B | | |
| LAeq: | total results for receivers | | |
| Group: | (main group) | | |
| Group Reduction: | No | | |
| Name | Receiver | Description | Height Day Night |
| B_56_C | B[9/39] | 7,50 35,1 36,9 | |
| B_56_D | B[1/39] | 10,50 39,2 41,1 | |
| B_56_D | B[10/39] | 10,50 36,7 38,5 | |
| B_56_D | B[2/39] | 10,50 40,1 41,9 | |
| B_56_D | B[3/39] | 10,50 40,0 41,8 | |
| B_56_D | B[34/39] | 10,50 37,0 38,9 | |
| B_56_D | B[35/39] | 10,50 37,5 39,3 | |
| B_56_D | B[36/39] | 10,50 37,6 39,5 | |
| B_56_D | B[37/39] | 10,50 37,8 39,7 | |
| B_56_D | B[38/39] | 10,50 38,5 40,3 | |
| B_56_D | B[39/39] | 10,50 38,9 40,8 | |
| B_56_D | B[4/39] | 10,50 39,6 41,5 | |
| B_56_D | B[5/39] | 10,50 39,6 41,4 | |
| B_56_D | B[6/39] | 10,50 39,5 41,4 | |
| B_56_D | B[7/39] | 10,50 39,3 41,2 | |
| B_56_D | B[8/39] | 10,50 39,2 41,1 | |
| B_56_D | B[9/39] | 10,50 36,0 37,9 | |
| B_57_A | B[1/22] | 1,50 30,4 32,2 | |
| B_57_A | B[10/22] | 1,50 29,9 31,7 | |
| B_57_A | B[19/22] | 1,50 29,2 31,0 | |
| B_57_A | B[2/22] | 1,50 30,8 32,6 | |
| B_57_A | B[20/22] | 1,50 28,8 30,6 | |
| B_57_A | B[21/22] | 1,50 28,8 30,6 | |
| B_57_A | B[22/22] | 1,50 29,7 31,5 | |
| B_57_A | B[3/22] | 1,50 31,3 33,1 | |
| B_57_A | B[4/22] | 1,50 31,2 33,0 | |
| B_57_A | B[5/22] | 1,50 30,6 32,4 | |
| B_57_A | B[6/22] | 1,50 30,2 31,9 | |
| B_57_A | B[7/22] | 1,50 30,4 32,2 | |
| B_57_A | B[8/22] | 1,50 30,4 32,2 | |
| B_57_A | B[9/22] | 1,50 30,8 32,6 | |
| B_57_B | B[1/22] | 4,50 31,5 33,4 | |
| B_57_B | B[10/22] | 4,50 30,2 32,0 | |
| B_57_B | B[19/22] | 4,50 30,6 32,4 | |
| B_57_B | B[2/22] | 4,50 31,6 33,5 | |
| B_57_B | B[20/22] | 4,50 30,2 32,0 | |
| B_57_B | B[21/22] | 4,50 29,2 31,0 | |
| B_57_B | B[22/22] | 4,50 30,2 32,0 | |
| B_57_B | B[3/22] | 4,50 31,9 33,7 | |
| B_57_B | B[4/22] | 4,50 31,5 33,3 | |
| B_57_B | B[5/22] | 4,50 30,8 32,6 | |
| B_57_B | B[6/22] | 4,50 30,5 32,3 | |
| B_57_B | B[7/22] | 4,50 30,3 32,1 | |
| B_57_B | B[8/22] | 4,50 30,2 31,9 | |
| B_57_B | B[9/22] | 4,50 30,8 32,6 | |
| B_57_C | B[1/22] | 7,50 32,9 34,8 | |
| B_57_C | B[10/22] | 7,50 31,1 33,0 | |
| B_57_C | B[19/22] | 7,50 31,8 33,7 | |
| B_57_C | B[2/22] | 7,50 32,9 34,7 | |
| B_57_C | B[20/22] | 7,50 31,5 33,4 | |
| B_57_C | B[21/22] | 7,50 30,1 31,9 | |
| B_57_C | B[22/22] | 7,50 31,2 33,1 | |
| B_57_C | B[3/22] | 7,50 32,9 34,7 | |
| B_57_C | B[4/22] | 7,50 32,4 34,3 | |
| B_57_C | B[5/22] | 7,50 31,5 33,3 | |
| All shown dB values are A-weighted | | | |
| Predictor V2019.02 | 16/04/2019 10:49:51 | | |

| Progetto: leq in facciata ai recettori | | HYDEA S.p.A. | |
|--|-----------------------------|-----------------|------------------|
| Report: | Table of Results | | |
| Model: | progetto_ante_B | | |
| LAeq: | total results for receivers | | |
| Group: | (main group) | | |
| Group Reduction: | No | | |
| Name | Receiver | Description | Height Day Night |
| B_57_C | B[6/22] | 7,50 31,2 33,0 | |
| B_57_C | B[7/22] | 7,50 31,0 32,9 | |
| B_57_C | B[8/22] | 7,50 31,0 32,8 | |
| B_57_C | B[9/22] | 7,50 31,9 33,8 | |
| B_57_D | B[1/22] | 10,50 34,7 36,5 | |
| B_57_D | B[10/22] | 10,50 33,0 34,9 | |
| B_57_D | B[19/22] | 10,50 33,7 35,6 | |
| B_57_D | B[2/22] | 10,50 34,7 36,5 | |
| B_57_D | B[20/22] | 10,50 33,4 35,2 | |
| B_57_D | B[21/22] | 10,50 32,1 33,9 | |
| B_57_D | B[22/22] | 10,50 33,1 35,0 | |
| B_57_D | B[3/22] | 10,50 34,6 36,4 | |
| B_57_D | B[4/22] | 10,50 34,1 36,0 | |
| B_57_D | B[5/22] | 10,50 33,1 35,0 | |
| B_57_D | B[6/22] | 10,50 32,9 34,7 | |
| B_57_D | B[7/22] | 10,50 32,8 34,6 | |
| B_57_D | B[8/22] | 10,50 32,9 34,8 | |
| B_57_D | B[9/22] | 10,50 33,7 35,6 | |
| B_58_A | B[1/17] | 1,50 35,8 37,6 | |
| B_58_A | B[15/17] | 1,50 32,8 34,6 | |
| B_58_A | B[16/17] | 1,50 33,4 35,2 | |
| B_58_A | B[17/17] | 1,50 34,1 36,0 | |
| B_58_A | B[2/17] | 1,50 35,7 37,6 | |
| B_58_A | B[3/17] | 1,50 35,9 37,7 | |
| B_58_A | B[4/17] | 1,50 35,9 37,8 | |
| B_58_A | B[5/17] | 1,50 35,9 37,7 | |
| B_58_A | B[6/17] | 1,50 34,1 35,9 | |
| B_58_A | B[7/17] | 1,50 33,7 35,5 | |
| B_58_A | B[8/17] | 1,50 33,6 35,4 | |
| B_58_A | B[9/17] | 1,50 33,4 35,2 | |
| B_58_B | B[1/17] | 4,50 36,8 38,7 | |
| B_58_B | B[15/17] | 4,50 33,7 35,6 | |
| B_58_B | B[16/17] | 4,50 34,4 36,3 | |
| B_58_B | B[17/17] | 4,50 35,2 37,0 | |
| B_58_B | B[2/17] | 4,50 36,8 38,7 | |
| B_58_B | B[3/17] | 4,50 36,9 38,8 | |
| B_58_B | B[4/17] | 4,50 37,0 38,8 | |
| B_58_B | B[5/17] | 4,50 37,0 38,8 | |
| B_58_B | B[6/17] | 4,50 34,7 36,6 | |
| B_58_B | B[7/17] | 4,50 34,2 36,1 | |
| B_58_B | B[8/17] | 4,50 34,0 35,8 | |
| B_58_B | B[9/17] | 4,50 33,7 35,5 | |
| B_58_C | B[1/17] | 7,50 38,0 39,9 | |
| B_58_C | B[15/17] | 7,50 35,3 37,1 | |
| B_58_C | B[16/17] | 7,50 35,9 37,7 | |
| B_58_C | B[17/17] | 7,50 36,4 38,2 | |
| B_58_C | B[2/17] | 7,50 38,0 39,8 | |
| B_58_C | B[3/17] | 7,50 38,1 40,0 | |
| B_58_C | B[4/17] | 7,50 38,2 40,0 | |
| B_58_C | B[5/17] | 7,50 38,2 40,1 | |
| B_58_C | B[6/17] | 7,50 36,2 38,1 | |
| B_58_C | B[7/17] | 7,50 36,3 38,1 | |
| B_58_C | B[8/17] | 7,50 36,0 37,9 | |
| B_58_C | B[9/17] | 7,50 35,7 37,5 | |
| B_59_A | B[1/20] | 1,50 29,4 31,2 | |
| All shown dB values are A-weighted | | | |
| Predictor V2019.02 | 16/04/2019 10:49:51 | | |

| Progetto: leq in facciata ai recettori | | HYDEA S.p.A. | |
|--|-----------------------------|----------------|------------------|
| Report: | Table of Results | | |
| Model: | progetto_ante_B | | |
| LAeq: | total results for receivers | | |
| Group: | (main group) | | |
| Group Reduction: | No | | |
| Name | Receiver | Description | Height Day Night |
| B_59_A | B[18/20] | 1,50 29,4 31,2 | |
| B_59_A | B[19/20] | 1,50 29,3 31,1 | |
| B_59_A | B[2/20] | 1,50 31,1 32,9 | |
| B_59_A | B[20/20] | 1,50 28,6 30,4 | |
| B_59_A | B[3/20] | 1,50 32,6 34,5 | |
| B_59_A | B[4/20] | 1,50 34,0 35,8 | |
| B_59_A | B[5/20] | 1,50 34,2 36,1 | |

Progetto: leq in facciata ai recettori HYDEA S.p.A.

Report: Table of Results
Model: progetto_ante_B
LAeq: total results for receivers
Group: (main group)
Group Reduction: No

| Name | Receiver | Description | Height | Day | Night |
|--------|----------|-------------|--------|------|-------|
| B_60_D | B[26/26] | 10,50 | 37,1 | 38,5 | |
| B_60_D | B[3/26] | 10,50 | 34,3 | 36,1 | |
| B_60_D | B[4/26] | 10,50 | 26,1 | 27,9 | |
| B_60_D | B[5/26] | 10,50 | 27,3 | 29,2 | |
| B_60_D | B[6/26] | 10,50 | 27,9 | 29,8 | |
| B_61_A | B[1/26] | 1,50 | 37,3 | 39,2 | |
| B_61_A | B[2/26] | 1,50 | 37,6 | 39,4 | |
| B_61_A | B[21/26] | 1,50 | 27,6 | 29,4 | |
| B_61_A | B[22/26] | 1,50 | 26,9 | 28,7 | |
| B_61_A | B[23/26] | 1,50 | 26,8 | 28,6 | |
| B_61_A | B[24/26] | 1,50 | 34,0 | 35,9 | |
| B_61_A | B[25/26] | 1,50 | 34,6 | 36,5 | |
| B_61_A | B[26/26] | 1,50 | 35,2 | 37,1 | |
| B_61_A | B[3/26] | 1,50 | 38,2 | 40,1 | |
| B_61_A | B[4/26] | 1,50 | 38,3 | 40,1 | |
| B_61_A | B[5/26] | 1,50 | 36,4 | 38,3 | |
| B_61_A | B[6/26] | 1,50 | 35,3 | 37,2 | |
| B_61_A | B[7/26] | 1,50 | 34,3 | 36,8 | |
| B_61_A | B[8/26] | 1,50 | 33,7 | 35,5 | |
| B_61_A | B[9/26] | 1,50 | 32,3 | 34,1 | |
| B_61_B | B[1/26] | 4,50 | 40,4 | 42,2 | |
| B_61_B | B[2/26] | 4,50 | 40,3 | 42,0 | |
| B_61_B | B[21/26] | 4,50 | 28,1 | 29,9 | |
| B_61_B | B[22/26] | 4,50 | 27,9 | 29,7 | |
| B_61_B | B[23/26] | 4,50 | 28,1 | 29,9 | |
| B_61_B | B[24/26] | 4,50 | 36,0 | 37,8 | |
| B_61_B | B[25/26] | 4,50 | 37,2 | 39,0 | |
| B_61_B | B[26/26] | 4,50 | 37,8 | 39,6 | |
| B_61_B | B[3/26] | 4,50 | 40,8 | 42,5 | |
| B_61_B | B[4/26] | 4,50 | 40,6 | 42,4 | |
| B_61_B | B[5/26] | 4,50 | 40,4 | 42,2 | |
| B_61_B | B[6/26] | 4,50 | 40,6 | 42,4 | |
| B_61_B | B[7/26] | 4,50 | 40,1 | 41,9 | |
| B_61_B | B[8/26] | 4,50 | 37,3 | 39,1 | |
| B_61_B | B[9/26] | 4,50 | 33,3 | 35,1 | |
| B_61_C | B[1/26] | 7,50 | 41,3 | 43,1 | |
| B_61_C | B[2/26] | 7,50 | 41,2 | 42,9 | |
| B_61_C | B[21/26] | 7,50 | 28,7 | 30,5 | |
| B_61_C | B[22/26] | 7,50 | 28,5 | 30,4 | |
| B_61_C | B[23/26] | 7,50 | 28,6 | 30,4 | |
| B_61_C | B[24/26] | 7,50 | 37,5 | 39,3 | |
| B_61_C | B[25/26] | 7,50 | 38,4 | 40,2 | |
| B_61_C | B[26/26] | 7,50 | 38,8 | 40,6 | |
| B_61_C | B[3/26] | 7,50 | 41,6 | 43,4 | |
| B_61_C | B[4/26] | 7,50 | 41,4 | 43,2 | |
| B_61_C | B[5/26] | 7,50 | 41,2 | 43,0 | |
| B_61_C | B[6/26] | 7,50 | 41,4 | 43,2 | |
| B_61_C | B[7/26] | 7,50 | 40,9 | 42,7 | |
| B_61_C | B[8/26] | 7,50 | 38,3 | 40,1 | |
| B_61_C | B[9/26] | 7,50 | 34,6 | 36,4 | |
| B_61_D | B[1/26] | 10,50 | 42,1 | 43,8 | |
| B_61_D | B[2/26] | 10,50 | 41,9 | 43,7 | |
| B_61_D | B[21/26] | 10,50 | 29,5 | 31,3 | |
| B_61_D | B[22/26] | 10,50 | 29,2 | 31,1 | |
| B_61_D | B[23/26] | 10,50 | 29,4 | 31,2 | |

All shown dB values are A-weighted

Predictor V2019.02 16/04/2019 10:49:51

Progetto: leq in facciata ai recettori HYDEA S.p.A.

Report: Table of Results
Model: progetto_ante_B
LAeq: total results for receivers
Group: (main group)
Group Reduction: No

| Name | Receiver | Description | Height | Day | Night |
|--------|----------|-------------|--------|------|-------|
| B_61_D | B[24/26] | 10,50 | 38,2 | 40,0 | |
| B_61_D | B[25/26] | 10,50 | 39,1 | 40,9 | |
| B_61_D | B[26/26] | 10,50 | 39,6 | 41,3 | |
| B_61_D | B[3/26] | 10,50 | 42,4 | 44,1 | |
| B_61_D | B[4/26] | 10,50 | 42,2 | 43,9 | |
| B_61_D | B[5/26] | 10,50 | 41,9 | 43,7 | |
| B_61_D | B[6/26] | 10,50 | 42,2 | 43,9 | |
| B_61_D | B[7/26] | 10,50 | 41,6 | 43,3 | |
| B_61_D | B[8/26] | 10,50 | 39,3 | 41,1 | |
| B_61_D | B[9/26] | 10,50 | 36,6 | 38,5 | |
| B_62_A | B[1/22] | 1,50 | 44,2 | 46,0 | |
| B_62_A | B[10/22] | 1,50 | 42,6 | 44,4 | |
| B_62_A | B[18/22] | 1,50 | 35,3 | 37,2 | |
| B_62_A | B[19/22] | 1,50 | 34,8 | 36,6 | |
| B_62_A | B[2/22] | 1,50 | 44,5 | 46,3 | |
| B_62_A | B[20/22] | 1,50 | 36,2 | 38,0 | |
| B_62_A | B[21/22] | 1,50 | 35,4 | 37,3 | |
| B_62_A | B[22/22] | 1,50 | 38,8 | 40,6 | |
| B_62_A | B[3/22] | 1,50 | 44,6 | 46,3 | |
| B_62_A | B[4/22] | 1,50 | 44,7 | 46,5 | |
| B_62_A | B[5/22] | 1,50 | 45,0 | 46,7 | |
| B_62_A | B[6/22] | 1,50 | 44,4 | 46,2 | |
| B_62_A | B[7/22] | 1,50 | 45,7 | 47,4 | |
| B_62_A | B[8/22] | 1,50 | 43,1 | 44,9 | |
| B_62_A | B[9/22] | 1,50 | 42,9 | 44,7 | |
| B_62_B | B[1/22] | 4,50 | 45,0 | 46,8 | |
| B_62_B | B[10/22] | 4,50 | 43,7 | 45,4 | |
| B_62_B | B[18/22] | 4,50 | 37,8 | 39,7 | |
| B_62_B | B[19/22] | 4,50 | 36,6 | 38,5 | |
| B_62_B | B[2/22] | 4,50 | 45,3 | 47,1 | |
| B_62_B | B[20/22] | 4,50 | 37,4 | 39,2 | |
| B_62_B | B[21/22] | 4,50 | 36,7 | 38,5 | |
| B_62_B | B[22/22] | 4,50 | 39,9 | 41,7 | |
| B_62_B | B[3/22] | 4,50 | 45,5 | 47,2 | |
| B_62_B | B[4/22] | 4,50 | 45,6 | 47,3 | |
| B_62_B | B[5/22] | 4,50 | 45,9 | 47,7 | |
| B_62_B | B[6/22] | 4,50 | 45,4 | 47,1 | |
| B_62_B | B[7/22] | 4,50 | 46,7 | 48,4 | |
| B_62_B | B[8/22] | 4,50 | 43,9 | 45,6 | |
| B_62_B | B[9/22] | 4,50 | 43,8 | 45,5 | |
| B_62_C | B[1/22] | 7,50 | 45,9 | 47,6 | |
| B_62_C | B[10/22] | 7,50 | 42,6 | 44,4 | |
| B_62_C | B[18/22] | 7,50 | 39,4 | 41,2 | |
| B_62_C | B[19/22] | 7,50 | 38,5 | 40,3 | |
| B_62_C | B[2/22] | 7,50 | 46,1 | 47,9 | |
| B_62_C | B[20/22] | 7,50 | 39,0 | 40,8 | |
| B_62_C | B[21/22] | 7,50 | 37,5 | 39,3 | |
| B_62_C | B[22/22] | 7,50 | 41,3 | 43,1 | |
| B_62_C | B[3/22] | 7,50 | 46,2 | 48,0 | |
| B_62_C | B[4/22] | 7,50 | 46,3 | 48,1 | |
| B_62_C | B[5/22] | 7,50 | 46,6 | 48,3 | |
| B_62_C | B[6/22] | 7,50 | 46,0 | 47,8 | |
| B_62_C | B[7/22] | 7,50 | 47,4 | 49,1 | |
| B_62_C | B[8/22] | 7,50 | 44,5 | 46,3 | |
| B_62_C | B[9/22] | 7,50 | 43,6 | 45,4 | |

All shown dB values are A-weighted

Predictor V2019.02 16/04/2019 10:49:51

Progetto: leq in facciata ai recettori HYDEA S.p.A.

Report: Table of Results
Model: progetto_ante_B
LAeq: total results for receivers
Group: (main group)
Group Reduction: No

| Name | Receiver | Description | Height | Day | Night |
|--------|----------|-------------|--------|------|-------|
| B_63_A | B[1/23] | 1,50 | 45,6 | 47,4 | |
| B_63_A | B[10/23] | 1,50 | 44,4 | 46,6 | |
| B_63_A | B[11/23] | 1,50 | 43,8 | 45,5 | |
| B_63_A | B[18/23] | 1,50 | 34,8 | 36,6 | |
| B_63_A | B[19/23] | 1,50 | 34,9 | 36,7 | |
| B_63_A | B[2/23] | 1,50 | 46,0 | 47,7 | |
| B_63_A | B[20/23] | 1,50 | 39,1 | 40,9 | |
| B_63_A | B[21/23] | 1,50 | 37,6 | 39,5 | |
| B_63_A | B[22/23] | 1,50 | 37,1 | 38,9 | |
| B_63_A | B[23/23] | 1,50 | 41,8 | 43,6 | |
| B_63_A | B[3/23] | 1,50 | 46,1 | 47,8 | |
| B_63_A | B[4/23] | 1,50 | 46,4 | 48,1 | |
| B_63_A | B[5/23] | 1,50 | 46,6 | 48,4 | |
| B_63_A | B[6/23] | 1,50 | 46,4 | 48,2 | |
| B_63_A | B[7/23] | 1,50 | 47,7 | 49,4 | |
| B_63_A | B[8/23] | 1,50 | 47,6 | 49,3 | |
| B_63_A | B[9/23] | 1,50 | 44,0 | 45,8 | |
| B_63_B | B[1/23] | 4,50 | 46,6 | 48,3 | |
| B_63_B | B[10/23] | 4,50 | 44,9 | 46,6 | |
| B_63_B | B[11/23] | 4,50 | 44,3 | 46,0 | |
| B_63_B | B[18/23] | 4,50 | 36,1 | 37,9 | |
| B_63_B | B[19/23] | 4,50 | 37,0 | 38,8 | |
| B_63_B | B[2/23] | 4,50 | 46,8 | 48,5 | |
| B_63_B | B[20/23] | 4,50 | 40,5 | 42,2 | |
| B_63_B | B[21/23] | 4,50 | 39,6 | 41,4 | |
| B_63_B | B[22/23] | 4,50 | 39,0 | 40,8 | |
| B_63_B | B[23/23] | 4,50 | 43,2 | 45,0 | |
| B_63_B | B[3/23] | 4,50 | 46,8 | 48,6 | |
| B_63_B | B[4/23] | 4,50 | 47,1 | 48,9 | |
| B_63_B | B[5/23] | 4,50 | 47,4 | 49,2 | |
| B_63_B | B[6/23] | 4,50 | 47,4 | 49,1 | |
| B_63_B | B[7/23] | 4,50 | 48,3 | 50,0 | |
| B_63_B | B[8/23] | 4,50 | 48,2 | 49,9 | |
| B_63_B | B[9/23] | 4,50 | 44,7 | 46,4 | |
| B_63_C | B[1/23] | 7,50 | 47,2 | 49,0 | |
| B_63_C | B[10/23] | 7,50 | 45,0 | 46,8 | |
| B_63_C | B[11/23] | 7,50 | 44,1 | 45,8 | |
| B_63_C | B[18/23] | 7,50 | 40,0 | 41,7 | |
| B_63_C | B[19/23] | 7,50 | 40,1 | 41,9 | |
| B_63_C | B[2/23] | 7,50 | 47,4 | 49,1 | |
| B_63_C | B[20/23] | 7,50 | 41,6 | 43,3 | |
| B_63_C | B[21/23] | 7,50 | 39,0 | 40,8 | |
| B_63_C | B[22/23] | 7,50 | 40,6 | 42,4 | |
| B_63_C | B[23/23] | 7,50 | 44,1 | 45,9 | |
| B_63_C | B[3/23] | 7,50 | 47,4 | 49,2 | |
| B_63_C | B[4/23] | 7,50 | 47,7 | 49,5 | |
| B_63_C | B[5/23] | 7,50 | 44,1 | 45,8 | |
| B_63_C | B[6/23] | 7,50 | 46,0 | 47,7 | |
| B_63_C | B[7/23] | 7,50 | 46,1 | 47,9 | |
| B_63_C | B[8/23] | 7,50 | 46,1 | 47,8 | |
| B_63_C | B[9/23] | 7,50 | 45,4 | 47,2 | |
| B_64_A | B[1/18] | 1,50 | 47,1 | 48,8 | |
| B_64_A | B[15/18] | 1,50 | 41,0 | 42,8 | |
| B_64_A | B[16/18] | 1,50 | 41,1 | 42,8 | |
| B_64_A | B[17/18] | 1,50 | 41,7 | 43,4 | |

All shown dB values are A-weighted

Predictor V2019.02 16/04/2019 10:49:51

Progetto: leq in facciata ai recettori HYDEA S.p.A.

Report: Table of Results
Model: progetto_ante_B
LAeq: total results for receivers
Group: (main group)
Group Reduction: No

| Name | Receiver | Description | Height | Day | Night |
|--------|----------|-------------|--------|------|-------|
| B_64_A | B[1/18] | 1,50 | 44,1 | 45,8 | |
| B_64_A | B[2/18] | 1,50 | 47,3 | 49,1 | |
| B_64_A | B[3/18] | 1,50 | 47,5 | 49,3 | |
| B_64_A | B[4/18] | 1,50 | 47,8 | 49,5 | |
| B_64_A | B[5/18] | 1,50 | 45,2 | 46,9 | |
| B_64_A | B[6/18] | 1,50 | 45,6 | 47,3 | |
| B_64_A | B[7/18] | 1,50 | 45,4 | 47,2 | |
| B_64_A | B[8/18] | 1,50 | 45,6 | 47,3 | |
| B_64_A | B[9/18] | 1,50 | 45,1 | 46,9 | |
| B_64_A | B[1/18] | 4,50 | 47,7 | 49,5 | |
| B_64_B | B[15/18] | 4,50 | 41,9 | 43,7 | |
| B_64_B | B[16/18] | 4,50 | 42,3 | 44,1 | |
| B_64_B | B[17/18] | 4,50 | 42,9 | 44,7 | |
| B_64_B | B[18/18] | 4,50 | 45,0 | 46,8 | |
| B_64_B | B[2/18] | 4,50 | 48,0 | 49,7 | |
| B_64_B | B[3/18] | 4,50 | 48,1 | 49,8 | |
| B_64_B | B[4/18] | 4,50 | 48,3 | 50,0 | |
| B_64_B | B[5/18] | 4,50 | 45,7 | 47,4 | |
| B_64_B | B[6/18] | 4,50 | 46,1 | 47,8 | |
| B_64_B | B[7/18] | 4,50 | 45,9 | 47,7 | |
| B_64_B | B[8/18] | 4,50 | 46,1 | 47,8 | |
| B_64_B | B[9/18] | 4,50 | 45,6 | 47,4 | |
| B_64_C | B[1/18] | 7,50 | 48,3 | 50,0 | |
| B_64_C | B[15/18] | 7,50 | 43,0 | 44,7 | |
| B_64_C | B[16/18] | 7,50 | 41,6 | 43,4 | |
| B_64_C | B[17/18] | 7,50 | 44,1 | 45,8 | |
| B_64_C | B[18/18] | 7,50 | 45,8 | 47,6 | |
| B_64_C | B[2/18] | 7,50 | 48,5 | 50,3 | |
| B_64_C | B[3/18] | 7,50 | 48,6 | 50,4 | |
| B_64_C | B[4/18] | 7,50 | 48,8 | 50,6 | |
| B_64_C | B[5/18] | 7,50 | 46,2 | 48,0 | |
| B_64_C | B[6/18] | 7,50 | 46,5 | 48,2 | |
| B_64_C | B[7/18] | 7,50 | 45,3 | 47,1 | |
| B_64_C | B[8/18] | 7,50 | 44,9 | 46,6 | |
| B_64_C | B[9/18] | 7,50 | 44,3 | 46,1 | |
| B_65_A | B[1/16] | 1,50 | 25,2 | 26,9 | |
| B_65_A | B[10/16] | 1,50 | 30,3 | 32,1 | |
| B_65_A | B[11/16] | 1,50 | 29,8 | 31,6 | |
| B_65_A | B[12/16] | 1,50 | 29,0 | 30,8 | |
| B_65_A | B[13/16] | 1,50 | 28,2 | 30,1 | |
| B_65_A | B[2/16] | 1,50 | 26,3 | 28,0 | |
| B_65_A | B[3/16] | 1,50 | 26,5 | 28,2 | |
| B_65_A | B[4/16] | 1,50 | 25,7 | 27,4 | |
| B_65_A | B[5/16] | 1,50 | 26,4 | | |

Report: Table of Results
Model: progetto_ante_B
LAeq: total results for receivers
Group: (main group)
Group Reduction: No

| Name | Receiver | Description | Height | Day | Night |
|--------|----------|-------------|--------|------|-------|
| B_67_D | B[2/21] | 10,50 | 36,9 | 38,8 | |
| B_67_D | B[20/21] | 10,50 | 35,2 | 37,0 | |
| B_67_D | B[21/21] | 10,50 | 35,6 | 37,5 | |
| B_67_D | B[3/21] | 10,50 | 35,7 | 37,6 | |
| B_67_D | B[4/21] | 10,50 | 35,8 | 37,7 | |
| B_67_D | B[5/21] | 10,50 | 35,8 | 37,7 | |
| B_68_A | B[1/15] | 1,50 | 32,5 | 34,3 | |
| B_68_A | B[14/15] | 1,50 | 28,6 | 30,4 | |
| B_68_A | B[15/15] | 1,50 | 29,3 | 31,1 | |
| B_68_A | B[2/15] | 1,50 | 32,3 | 34,1 | |
| B_68_A | B[3/15] | 1,50 | 31,8 | 33,6 | |
| B_68_A | B[4/15] | 1,50 | 30,3 | 32,1 | |
| B_68_A | B[5/15] | 1,50 | 27,8 | 29,6 | |
| B_68_A | B[6/15] | 1,50 | 28,8 | 30,6 | |
| B_68_A | B[7/15] | 1,50 | 28,7 | 30,5 | |
| B_68_A | B[8/15] | 1,50 | 28,7 | 30,6 | |
| B_68_B | B[1/15] | 4,50 | 34,4 | 36,2 | |
| B_68_B | B[14/15] | 4,50 | 31,7 | 33,5 | |
| B_68_B | B[15/15] | 4,50 | 32,1 | 33,9 | |
| B_68_B | B[2/15] | 4,50 | 34,2 | 36,0 | |
| B_68_B | B[3/15] | 4,50 | 34,3 | 36,1 | |
| B_68_B | B[4/15] | 4,50 | 33,8 | 35,6 | |
| B_68_B | B[5/15] | 4,50 | 33,2 | 35,1 | |
| B_68_B | B[6/15] | 4,50 | 32,3 | 34,1 | |
| B_68_B | B[7/15] | 4,50 | 32,1 | 34,0 | |
| B_68_B | B[8/15] | 4,50 | 32,0 | 33,8 | |
| B_68_C | B[1/15] | 7,50 | 36,0 | 37,8 | |
| B_68_C | B[14/15] | 7,50 | 34,0 | 35,9 | |
| B_68_C | B[15/15] | 7,50 | 34,7 | 36,5 | |
| B_68_C | B[2/15] | 7,50 | 35,8 | 37,7 | |
| B_68_C | B[3/15] | 7,50 | 36,0 | 37,9 | |
| B_68_C | B[4/15] | 7,50 | 36,2 | 38,0 | |
| B_68_C | B[5/15] | 7,50 | 35,9 | 37,7 | |
| B_68_C | B[6/15] | 7,50 | 34,0 | 35,9 | |
| B_68_C | B[7/15] | 7,50 | 34,0 | 35,8 | |
| B_68_C | B[8/15] | 7,50 | 33,8 | 35,7 | |
| B_69_A | B[1/12] | 1,50 | 29,6 | 31,4 | |
| B_69_A | B[10/12] | 1,50 | 27,4 | 29,2 | |
| B_69_A | B[11/12] | 1,50 | 27,5 | 29,4 | |
| B_69_A | B[12/12] | 1,50 | 27,6 | 29,4 | |
| B_69_A | B[2/12] | 1,50 | 28,6 | 30,4 | |
| B_69_A | B[3/12] | 1,50 | 29,5 | 31,3 | |
| B_69_A | B[4/12] | 1,50 | 28,6 | 30,5 | |
| B_69_A | B[5/12] | 1,50 | 28,4 | 30,3 | |
| B_69_A | B[6/12] | 1,50 | 28,0 | 29,9 | |
| B_69_B | B[1/12] | 4,50 | 31,6 | 33,5 | |
| B_69_B | B[10/12] | 4,50 | 28,4 | 30,3 | |
| B_69_B | B[11/12] | 4,50 | 29,0 | 30,8 | |
| B_69_B | B[12/12] | 4,50 | 30,0 | 31,9 | |
| B_69_B | B[2/12] | 4,50 | 31,1 | 32,9 | |
| B_69_B | B[3/12] | 4,50 | 31,3 | 33,2 | |
| B_69_B | B[4/12] | 4,50 | 30,7 | 32,6 | |
| B_69_B | B[5/12] | 4,50 | 30,4 | 32,3 | |
| B_69_B | B[6/12] | 4,50 | 30,4 | 32,3 | |
| B_69_C | B[1/12] | 7,50 | 34,3 | 36,2 | |

All shown dB values are A-weighted
Predictor V2019.02 16/04/2019 10:49:51

Report: Table of Results
Model: progetto_ante_B
LAeq: total results for receivers
Group: (main group)
Group Reduction: No

| Name | Receiver | Description | Height | Day | Night |
|--------|----------|-------------|--------|------|-------|
| B_69_C | B[10/12] | 7,50 | 30,7 | 32,5 | |
| B_69_C | B[11/12] | 7,50 | 31,0 | 32,9 | |
| B_69_C | B[12/12] | 7,50 | 32,3 | 34,1 | |
| B_69_C | B[2/12] | 7,50 | 34,1 | 35,9 | |
| B_69_C | B[3/12] | 7,50 | 33,8 | 35,6 | |
| B_69_C | B[4/12] | 7,50 | 32,4 | 34,2 | |
| B_69_C | B[5/12] | 7,50 | 32,2 | 34,1 | |
| B_69_C | B[6/12] | 7,50 | 32,2 | 34,0 | |
| B_69_D | B[1/12] | 10,50 | 35,0 | 36,8 | |
| B_69_D | B[10/12] | 10,50 | 32,1 | 34,0 | |
| B_69_D | B[11/12] | 10,50 | 32,2 | 34,1 | |
| B_69_D | B[12/12] | 10,50 | 33,1 | 35,0 | |
| B_69_D | B[2/12] | 10,50 | 34,8 | 36,7 | |
| B_69_D | B[3/12] | 10,50 | 34,5 | 36,4 | |
| B_69_D | B[4/12] | 10,50 | 33,6 | 35,4 | |
| B_69_D | B[5/12] | 10,50 | 33,6 | 35,5 | |
| B_69_D | B[6/12] | 10,50 | 33,5 | 35,4 | |
| B_70_A | B[10/42] | 1,50 | 30,0 | 31,9 | |
| B_70_A | B[11/42] | 1,50 | 29,3 | 31,2 | |
| B_70_A | B[12/42] | 1,50 | 29,7 | 31,5 | |
| B_70_A | B[13/42] | 1,50 | 29,9 | 31,8 | |
| B_70_A | B[14/42] | 1,50 | 29,5 | 31,4 | |
| B_70_A | B[15/42] | 1,50 | 26,1 | 27,9 | |
| B_70_A | B[16/42] | 1,50 | 24,5 | 26,3 | |
| B_70_A | B[17/42] | 1,50 | 24,3 | 26,2 | |
| B_70_A | B[18/42] | 1,50 | 24,3 | 26,1 | |
| B_70_A | B[19/42] | 1,50 | 24,2 | 26,0 | |
| B_70_A | B[2/42] | 1,50 | 21,8 | 23,6 | |
| B_70_A | B[20/42] | 1,50 | 24,4 | 26,2 | |
| B_70_A | B[21/42] | 1,50 | 24,6 | 26,4 | |
| B_70_A | B[22/42] | 1,50 | 25,5 | 27,3 | |
| B_70_A | B[23/42] | 1,50 | 26,2 | 28,0 | |
| B_70_A | B[24/42] | 1,50 | 26,4 | 28,3 | |
| B_70_A | B[25/42] | 1,50 | 25,9 | 27,8 | |
| B_70_A | B[26/42] | 1,50 | 25,7 | 27,6 | |
| B_70_A | B[3/42] | 1,50 | 21,4 | 23,1 | |
| B_70_A | B[4/42] | 1,50 | 21,9 | 23,7 | |
| B_70_A | B[5/42] | 1,50 | 22,2 | 24,1 | |
| B_70_A | B[6/42] | 1,50 | 24,0 | 25,8 | |
| B_70_A | B[7/42] | 1,50 | 24,4 | 26,2 | |
| B_70_A | B[8/42] | 1,50 | 28,1 | 29,9 | |
| B_70_A | B[9/42] | 1,50 | 28,9 | 30,7 | |
| B_70_B | B[10/42] | 4,50 | 31,0 | 32,8 | |
| B_70_B | B[11/42] | 4,50 | 30,7 | 32,6 | |
| B_70_B | B[12/42] | 4,50 | 30,3 | 32,1 | |
| B_70_B | B[13/42] | 4,50 | 30,3 | 32,2 | |
| B_70_B | B[14/42] | 4,50 | 29,8 | 31,7 | |
| B_70_B | B[15/42] | 4,50 | 30,2 | 32,0 | |
| B_70_B | B[16/42] | 4,50 | 29,4 | 31,3 | |
| B_70_B | B[17/42] | 4,50 | 29,5 | 31,3 | |
| B_70_B | B[18/42] | 4,50 | 28,8 | 30,6 | |
| B_70_B | B[19/42] | 4,50 | 26,7 | 28,6 | |
| B_70_B | B[2/42] | 4,50 | 21,7 | 23,5 | |
| B_70_B | B[20/42] | 4,50 | 25,8 | 27,7 | |
| B_70_B | B[21/42] | 4,50 | 25,4 | 27,3 | |

All shown dB values are A-weighted
Predictor V2019.02 16/04/2019 10:49:51

Report: Table of Results
Model: progetto_ante_B
LAeq: total results for receivers
Group: (main group)
Group Reduction: No

| Name | Receiver | Description | Height | Day | Night |
|--------|----------|-------------|--------|------|-------|
| B_70_B | B[22/42] | 4,50 | 28,1 | 29,9 | |
| B_70_B | B[23/42] | 4,50 | 29,1 | 30,9 | |
| B_70_B | B[24/42] | 4,50 | 27,3 | 29,2 | |
| B_70_B | B[25/42] | 4,50 | 26,6 | 28,5 | |
| B_70_B | B[26/42] | 4,50 | 26,1 | 27,9 | |
| B_70_B | B[3/42] | 4,50 | 22,1 | 23,9 | |
| B_70_B | B[4/42] | 4,50 | 22,5 | 24,3 | |
| B_70_B | B[5/42] | 4,50 | 23,7 | 25,6 | |
| B_70_B | B[6/42] | 4,50 | 24,7 | 26,5 | |
| B_70_B | B[7/42] | 4,50 | 25,4 | 27,2 | |
| B_70_B | B[8/42] | 4,50 | 29,0 | 30,8 | |
| B_70_B | B[9/42] | 4,50 | 30,0 | 31,8 | |
| B_70_C | B[10/42] | 7,50 | 32,3 | 34,1 | |
| B_70_C | B[11/42] | 7,50 | 31,9 | 33,7 | |
| B_70_C | B[12/42] | 7,50 | 31,9 | 33,8 | |
| B_70_C | B[13/42] | 7,50 | 31,9 | 33,7 | |
| B_70_C | B[14/42] | 7,50 | 31,4 | 33,2 | |
| B_70_C | B[15/42] | 7,50 | 31,7 | 33,6 | |
| B_70_C | B[16/42] | 7,50 | 31,1 | 33,0 | |
| B_70_C | B[17/42] | 7,50 | 31,2 | 33,1 | |
| B_70_C | B[18/42] | 7,50 | 30,2 | 32,1 | |
| B_70_C | B[19/42] | 7,50 | 28,4 | 30,3 | |
| B_70_C | B[2/42] | 7,50 | 24,6 | 26,5 | |
| B_70_C | B[20/42] | 7,50 | 27,6 | 29,4 | |
| B_70_C | B[21/42] | 7,50 | 27,7 | 29,5 | |
| B_70_C | B[22/42] | 7,50 | 29,6 | 31,5 | |
| B_70_C | B[23/42] | 7,50 | 30,1 | 32,0 | |
| B_70_C | B[24/42] | 7,50 | 28,8 | 30,6 | |
| B_70_C | B[25/42] | 7,50 | 28,9 | 30,8 | |
| B_70_C | B[26/42] | 7,50 | 28,6 | 30,5 | |
| B_70_C | B[3/42] | 7,50 | 24,7 | 26,6 | |
| B_70_C | B[4/42] | 7,50 | 25,2 | 27,0 | |
| B_70_C | B[5/42] | 7,50 | 25,8 | 27,7 | |
| B_70_C | B[6/42] | 7,50 | 26,9 | 28,7 | |
| B_70_C | B[7/42] | 7,50 | 27,6 | 29,4 | |
| B_70_C | B[8/42] | 7,50 | 30,4 | 32,2 | |
| B_70_C | B[9/42] | 7,50 | 31,4 | 33,3 | |
| B_70_D | B[10/42] | 10,50 | 33,9 | 35,8 | |
| B_70_D | B[11/42] | 10,50 | 33,1 | 35,0 | |
| B_70_D | B[12/42] | 10,50 | 33,4 | 35,3 | |
| B_70_D | B[13/42] | 10,50 | 33,2 | 35,1 | |
| B_70_D | B[14/42] | 10,50 | 32,8 | 34,6 | |
| B_70_D | B[15/42] | 10,50 | 33,6 | 35,5 | |
| B_70_D | B[16/42] | 10,50 | 33,3 | 35,2 | |
| B_70_D | B[17/42] | 10,50 | 35,4 | 37,3 | |
| B_70_D | B[18/42] | 10,50 | 32,5 | 34,4 | |
| B_70_D | B[19/42] | 10,50 | 31,1 | 32,9 | |
| B_70_D | B[2/42] | 10,50 | 27,3 | 29,2 | |
| B_70_D | B[20/42] | 10,50 | 30,3 | 32,1 | |
| B_70_D | B[21/42] | 10,50 | 30,5 | 32,4 | |
| B_70_D | B[22/42] | 10,50 | 32,2 | 34,0 | |
| B_70_D | B[23/42] | 10,50 | 32,1 | 33,9 | |
| B_70_D | B[24/42] | 10,50 | 30,2 | 32,1 | |
| B_70_D | B[25/42] | 10,50 | 30,4 | 32,3 | |
| B_70_D | B[26/42] | 10,50 | 30,0 | 31,8 | |

All shown dB values are A-weighted
Predictor V2019.02 16/04/2019 10:49:51

Report: Table of Results
Model: progetto_ante_B
LAeq: total results for receivers
Group: (main group)
Group Reduction: No

| Name | Receiver | Description | Height | Day | Night |
|--------|----------|-------------|--------|--------|-------|
| B_70_D | B[3/42] | 10,50 | 27,7 | 29,1 | |
| B_70_D | B[4/42] | 10,50 | 27,7 | 29,6 | |
| B_70_D | B[5/42] | 10,50 | 28,0 | 29,9 | |
| B_70_D | B[6/42] | 10,50 | 29,5 | 31,4 | |
| B_70_D | B[7/42] | 10,50 | 30,5 | 32,4 | |
| B_70_D | B[8/42] | 10,50 | 31,0 | 32,9 | |
| B_70_D | B[9/42] | 10,50 | 33,8 | 35,7 | |
| B_71_A | B[1/14] | 1,50 | 23,0 | 24,8 | |
| B_71_A | B[12/14] | 1,50 | 18,7 | 20,5 | |
| B_71_A | B[13/14] | 1,50 | 19,4 | 21,1 | |
| B_71_A | B[14/14] | 1,50 | 19,8 | 21,6 | |
| B_71_A | B[2/14] | 1,50 | 23,5 | 25,3 | |
| B_71_A | B[3/14] | 1,50 | 23,9 | 25,7 | |
| B_71_A | B[4/14] | 1,50 | 21,6 | 23,4 | |
| B_71_B | B[1/14] | 4,50 | 22,7 | 24,5 | |
| B_71_B | B[12/14] | 4,50 | 20,5 | 22,3 | |
| B_71_B | B[13/14] | 4,50 | 21,3 | 23,1 | |
| B_71_B | B[14/14] | 4,50 | 21,2 | 23,1 | |
| B_71_B | B[2/14] | 4,50 | 23,3 | 25,1 | |
| B_71_B | B[3/14] | 4,50 | 23,5 | 25,3 | |
| B_71_B | B[4/14] | 4,50 | 23,9 | 25,7 | |
| B_71_C | B[1/14] | 7,50 | 24,2 | 26,0 | |
| B_71_C | B[12/14] | 7,50 | 21,6 | 23,6 | |
| B_71_C | B[13/14] | 7,50 | 23,1 | 25,0 | |
| B_71_C | B[14/14] | 7,50 | 22,9 | 24,8 | |
| B_71_C | B[2/14] | 7,50 | 24,9 | 26,8 | |
| B_71_C | B[3/14] | 7,50 | 25,0 | 26,8 | |
| B_71_C | B[4/14] | 7,50 | 25,0 | 26,8 | |
| B_71_D | B[1/14] | 10,50 | 27,5 | 29,4 | |
| B_71_D | B[12/14] | 10,50 | 23,6 | 25,5 | |
| B_71_D | B[13/14] | 10,50 | 24,9 | 26,8 | |
| B_71_D | B[14/14] | 10,50 | 24,9 | 26,8 | |
| B_71_D | B[2/14] | 10,50 | 27,9 | 29,8 | |
| B_71_D | B[3/14] | 10,50 | 28,0 | 29,9 | |
| B_71_D | B[4/14] | 10,50 | 27,4 | 29,3 | |
| B_72_A | B[1/17] | 1,50 | 32,7 | 34,5 | |
| B_72_A | B[12/17] | 1,50 | 28,8 | 30,6 | |
| B_72_A | B[13/17] | 1,50 | 29,3 | 31,1 | |
| B_72_A | B[14/17] | 1,50 | 29,5 | 31,3 | |
| B_72_A | B[15/17] | 1,50 | 29,8 | 31,6 | |
| B_72_A | B[16/17] | 1,50 | 30,4 | 32,2 | |
| B_72_A | B[17/17] | 1,50 | 30,4 | 32,2 | |
| B_72_A | B[2/17] | 1,50 | 32,3 | 34,1</ | |

Progetto: leq in facciata ai recettori HYDEA S.p.A.

Report: Table of Results
Model: progetto_ante_B
LAeq: total results for receivers
Group: (main group)
Group Reduction: No

| Name | Receiver | Description | Height | Day | Night |
|--------|----------|-------------|--------|------|-------|
| B_75_A | B[3/32] | | 4,50 | 34,1 | 35,9 |
| B_75_B | B[30/32] | | 4,50 | 35,8 | 37,7 |
| B_75_C | B[31/32] | | 4,50 | 35,8 | 37,7 |
| B_75_B | B[32/32] | | 4,50 | 35,8 | 37,7 |
| B_75_B | B[4/32] | | 4,50 | 34,1 | 35,9 |
| B_75_B | B[5/32] | | 4,50 | 34,2 | 36,1 |
| B_75_C | B[1/32] | | 7,50 | 35,1 | 37,0 |
| B_75_C | B[17/32] | | 7,50 | 34,9 | 36,8 |
| B_75_C | B[18/32] | | 7,50 | 35,1 | 37,0 |
| B_75_C | B[19/32] | | 7,50 | 35,3 | 37,2 |
| B_75_C | B[2/32] | | 7,50 | 35,0 | 36,9 |
| B_75_C | B[20/32] | | 7,50 | 35,4 | 37,3 |
| B_75_C | B[21/32] | | 7,50 | 35,5 | 37,4 |
| B_75_C | B[22/32] | | 7,50 | 36,8 | 38,7 |
| B_75_C | B[23/32] | | 7,50 | 36,9 | 38,8 |
| B_75_C | B[24/32] | | 7,50 | 37,0 | 38,8 |
| B_75_C | B[25/32] | | 7,50 | 37,0 | 38,9 |
| B_75_C | B[26/32] | | 7,50 | 36,8 | 38,7 |
| B_75_C | B[27/32] | | 7,50 | 36,9 | 38,7 |
| B_75_C | B[28/32] | | 7,50 | 36,7 | 38,6 |
| B_75_C | B[29/32] | | 7,50 | 36,6 | 38,5 |
| B_75_C | B[3/32] | | 7,50 | 35,0 | 36,9 |
| B_75_C | B[30/32] | | 7,50 | 36,7 | 38,6 |
| B_75_C | B[31/32] | | 7,50 | 36,7 | 38,5 |
| B_75_C | B[32/32] | | 7,50 | 36,7 | 38,5 |
| B_75_C | B[4/32] | | 7,50 | 34,9 | 36,8 |
| B_75_C | B[5/32] | | 7,50 | 34,9 | 36,8 |
| B_76_A | B[1/49] | | 1,50 | 33,5 | 35,3 |
| B_76_A | B[10/49] | | 1,50 | 31,5 | 33,3 |
| B_76_A | B[11/49] | | 1,50 | 31,4 | 33,2 |
| B_76_A | B[12/49] | | 1,50 | 31,5 | 33,3 |
| B_76_A | B[13/49] | | 1,50 | 31,9 | 33,7 |
| B_76_A | B[14/49] | | 1,50 | 32,2 | 34,1 |
| B_76_A | B[15/49] | | 1,50 | 32,6 | 34,4 |
| B_76_A | B[16/49] | | 1,50 | 32,6 | 34,4 |
| B_76_A | B[17/49] | | 1,50 | 32,9 | 34,7 |
| B_76_A | B[18/49] | | 1,50 | 30,7 | 32,5 |
| B_76_A | B[19/49] | | 1,50 | 30,0 | 31,9 |
| B_76_A | B[2/49] | | 1,50 | 33,1 | 34,9 |
| B_76_A | B[20/49] | | 1,50 | 29,5 | 31,4 |
| B_76_A | B[21/49] | | 1,50 | 28,8 | 30,7 |
| B_76_A | B[3/49] | | 1,50 | 32,6 | 34,4 |
| B_76_A | B[4/49] | | 1,50 | 32,6 | 34,4 |
| B_76_A | B[46/49] | | 1,50 | 30,2 | 32,0 |
| B_76_A | B[47/49] | | 1,50 | 30,5 | 32,3 |
| B_76_A | B[48/49] | | 1,50 | 30,9 | 32,7 |
| B_76_A | B[49/49] | | 1,50 | 31,4 | 33,2 |
| B_76_A | B[5/49] | | 1,50 | 32,0 | 33,9 |
| B_76_A | B[6/49] | | 1,50 | 31,7 | 33,6 |
| B_76_A | B[7/49] | | 1,50 | 31,6 | 33,5 |
| B_76_A | B[8/49] | | 1,50 | 31,5 | 33,4 |
| B_76_A | B[9/49] | | 1,50 | 31,5 | 33,4 |
| B_76_B | B[1/49] | | 4,50 | 34,2 | 36,1 |
| B_76_B | B[10/49] | | 4,50 | 33,1 | 34,9 |
| B_76_B | B[11/49] | | 4,50 | 32,9 | 34,8 |

All shown dB values are A-weighted

Predictor V2019.02 16/04/2019 10:49:51

Progetto: leq in facciata ai recettori HYDEA S.p.A.

Report: Table of Results
Model: progetto_ante_B
LAeq: total results for receivers
Group: (main group)
Group Reduction: No

| Name | Receiver | Description | Height | Day | Night |
|--------|----------|-------------|--------|------|-------|
| B_76_B | B[12/49] | | 4,50 | 32,9 | 34,8 |
| B_76_B | B[13/49] | | 4,50 | 33,2 | 35,1 |
| B_76_B | B[14/49] | | 4,50 | 33,3 | 35,1 |
| B_76_B | B[15/49] | | 4,50 | 33,3 | 35,2 |
| B_76_B | B[16/49] | | 4,50 | 33,2 | 35,1 |
| B_76_B | B[17/49] | | 4,50 | 33,3 | 35,2 |
| B_76_B | B[18/49] | | 4,50 | 30,8 | 32,7 |
| B_76_B | B[19/49] | | 4,50 | 30,1 | 32,0 |
| B_76_B | B[20/49] | | 4,50 | 33,6 | 35,5 |
| B_76_B | B[20/49] | | 4,50 | 29,6 | 31,5 |
| B_76_B | B[21/49] | | 4,50 | 28,8 | 30,7 |
| B_76_B | B[3/49] | | 4,50 | 33,2 | 35,1 |
| B_76_B | B[4/49] | | 4,50 | 33,3 | 35,2 |
| B_76_B | B[46/49] | | 4,50 | 31,2 | 33,1 |
| B_76_B | B[47/49] | | 4,50 | 31,6 | 33,4 |
| B_76_B | B[48/49] | | 4,50 | 32,0 | 33,9 |
| B_76_B | B[49/49] | | 4,50 | 32,5 | 34,4 |
| B_76_B | B[5/49] | | 4,50 | 33,1 | 35,0 |
| B_76_B | B[6/49] | | 4,50 | 33,2 | 35,0 |
| B_76_B | B[7/49] | | 4,50 | 33,1 | 35,0 |
| B_76_B | B[8/49] | | 4,50 | 33,1 | 34,9 |
| B_76_B | B[9/49] | | 4,50 | 33,1 | 34,9 |
| B_76_C | B[1/49] | | 7,50 | 34,4 | 36,3 |
| B_76_C | B[10/49] | | 7,50 | 33,9 | 35,8 |
| B_76_C | B[11/49] | | 7,50 | 33,7 | 35,6 |
| B_76_C | B[12/49] | | 7,50 | 33,7 | 35,6 |
| B_76_C | B[13/49] | | 7,50 | 34,1 | 36,0 |
| B_76_C | B[14/49] | | 7,50 | 33,8 | 35,7 |
| B_76_C | B[15/49] | | 7,50 | 33,7 | 35,6 |
| B_76_C | B[16/49] | | 7,50 | 33,4 | 35,3 |
| B_76_C | B[17/49] | | 7,50 | 33,4 | 35,3 |
| B_76_C | B[18/49] | | 7,50 | 31,1 | 33,0 |
| B_76_C | B[19/49] | | 7,50 | 30,8 | 32,7 |
| B_76_C | B[2/49] | | 7,50 | 33,9 | 35,7 |
| B_76_C | B[20/49] | | 7,50 | 30,3 | 32,2 |
| B_76_C | B[21/49] | | 7,50 | 29,3 | 31,2 |
| B_76_C | B[3/49] | | 7,50 | 33,5 | 35,4 |
| B_76_C | B[4/49] | | 7,50 | 33,7 | 35,6 |
| B_76_C | B[46/49] | | 7,50 | 31,6 | 33,5 |
| B_76_C | B[47/49] | | 7,50 | 32,0 | 33,9 |
| B_76_C | B[48/49] | | 7,50 | 32,5 | 34,4 |
| B_76_C | B[49/49] | | 7,50 | 32,7 | 34,6 |
| B_76_C | B[5/49] | | 7,50 | 33,9 | 35,7 |
| B_76_C | B[6/49] | | 7,50 | 34,0 | 35,9 |
| B_76_C | B[7/49] | | 7,50 | 34,0 | 35,9 |
| B_76_C | B[8/49] | | 7,50 | 33,9 | 35,8 |
| B_76_C | B[9/49] | | 7,50 | 33,8 | 35,7 |
| B_77_A | B[1/16] | | 1,50 | 35,2 | 37,0 |
| B_77_A | B[14/16] | | 1,50 | 33,4 | 35,2 |
| B_77_A | B[15/16] | | 1,50 | 33,5 | 35,4 |
| B_77_A | B[16/16] | | 1,50 | 33,7 | 35,6 |
| B_77_A | B[2/16] | | 1,50 | 35,4 | 37,2 |
| B_77_A | B[3/16] | | 1,50 | 35,4 | 37,3 |
| B_77_A | B[4/16] | | 1,50 | 35,6 | 37,4 |
| B_77_A | B[5/16] | | 1,50 | 35,5 | 37,4 |
| B_77_A | B[6/16] | | 1,50 | 33,7 | 35,6 |
| B_77_A | B[7/16] | | 1,50 | 34,1 | 36,0 |
| B_77_A | B[8/16] | | 1,50 | 34,3 | 36,3 |
| B_77_A | B[9/16] | | 1,50 | 33,9 | 35,8 |
| B_77_A | B[10/16] | | 1,50 | 33,7 | 35,6 |
| B_77_A | B[11/16] | | 1,50 | 33,1 | 35,0 |
| B_77_A | B[12/16] | | 1,50 | 33,2 | 35,1 |
| B_77_A | B[13/16] | | 1,50 | 33,3 | 35,2 |
| B_77_A | B[14/16] | | 1,50 | 33,3 | 35,2 |
| B_77_A | B[15/16] | | 1,50 | 33,3 | 35,2 |
| B_77_A | B[16/16] | | 1,50 | 33,3 | 35,2 |
| B_77_C | B[1/16] | | 7,50 | 35,2 | 37,0 |
| B_77_C | B[2/16] | | 7,50 | 36,2 | 38,1 |
| B_77_C | B[3/16] | | 7,50 | 36,1 | 38,0 |
| B_77_C | B[4/16] | | 7,50 | 36,1 | 38,0 |
| B_77_C | B[5/16] | | 7,50 | 35,4 | 37,2 |
| B_77_C | B[6/16] | | 7,50 | 33,8 | 35,7 |
| B_77_C | B[7/16] | | 7,50 | 34,0 | 35,9 |
| B_77_C | B[8/16] | | 7,50 | 33,8 | 35,6 |
| B_77_C | B[9/16] | | 7,50 | 36,1 | 38,0 |
| B_77_C | B[10/16] | | 7,50 | 35,2 | 37,1 |
| B_77_C | B[11/16] | | 7,50 | 35,5 | 37,4 |
| B_77_C | B[12/16] | | 7,50 | 36,2 | 38,1 |
| B_77_C | B[13/16] | | 7,50 | 36,1 | 38,0 |
| B_77_C | B[14/16] | | 7,50 | 35,1 | 37,0 |
| B_77_C | B[15/16] | | 7,50 | 35,2 | 37,1 |
| B_77_C | B[16/16] | | 7,50 | 36,2 | 38,1 |
| B_77_C | B[17/16] | | 7,50 | 36,1 | 38,0 |
| B_77_C | B[18/16] | | 7,50 | 36,1 | 38,0 |
| B_77_C | B[19/16] | | 7,50 | 35,9 | 37,8 |
| B_77_C | B[20/16] | | 7,50 | 34,2 | 36,1 |
| B_77_C | B[21/16] | | 7,50 | 34,4 | 36,3 |
| B_77_C | B[22/16] | | 7,50 | 34,1 | 35,9 |
| B_78_A | B[1/25] | | 1,50 | 33,5 | 35,4 |
| B_78_A | B[10/25] | | 1,50 | 36,2 | 38,1 |
| B_78_A | B[18/25] | | 1,50 | 31,3 | 33,1 |
| B_78_A | B[19/25] | | 1,50 | 32,3 | 34,1 |
| B_78_A | B[2/25] | | 1,50 | 34,1 | 35,9 |
| B_78_A | B[20/25] | | 1,50 | 31,6 | 33,5 |
| B_78_A | B[21/25] | | 1,50 | 30,7 | 32,6 |
| B_78_A | B[22/25] | | 1,50 | 30,0 | 31,9 |
| B_78_A | B[23/25] | | 1,50 | 30,7 | 32,6 |
| B_78_A | B[24/25] | | 1,50 | 30,8 | 32,7 |
| B_78_A | B[25/25] | | 1,50 | 31,2 | 33,1 |
| B_78_A | B[3/25] | | 1,50 | 33,8 | 35,7 |
| B_78_A | B[4/25] | | 1,50 | 31,1 | 32,9 |
| B_78_A | B[5/25] | | 1,50 | 31,3 | 33,2 |
| B_78_A | B[6/25] | | 1,50 | 31,2 | 33,0 |
| B_78_A | B[7/25] | | 1,50 | 30,2 | 32,1 |
| B_78_A | B[8/25] | | 1,50 | 28,8 | 30,7 |
| B_78_A | B[9/25] | | 1,50 | 27,4 | 29,2 |
| B_78_A | B[11/25] | | 1,50 | 33,5 | 35,3 |
| B_78_A | B[10/25] | | 1,50 | 26,9 | 28,7 |
| B_78_B | B[18/25] | | 4,50 | 30,9 | 32,8 |
| B_78_B | B[19/25] | | 4,50 | 31,9 | 33,8 |
| B_78_B | B[2/25] | | 4,50 | 33,8 | 35,7 |
| B_78_B | B[20/25] | | 4,50 | 31,2 | 33,1 |
| B_78_B | B[21/25] | | 4,50 | 30,4 | 32,3 |
| B_78_B | B[22/25] | | 4,50 | 29,9 | 31,8 |
| B_78_B | B[23/25] | | 4,50 | 30,7 | 32,5 |
| B_78_B | B[24/25] | | 4,50 | 31,2 | 33,0 |
| B_78_B | B[25/25] | | 4,50 | 31,4 | 33,3 |
| B_78_B | B[26/25] | | 4,50 | 31,6 | 33,4 |

All shown dB values are A-weighted

Predictor V2019.02 16/04/2019 10:49:51

Progetto: leq in facciata ai recettori HYDEA S.p.A.

Report: Table of Results
Model: progetto_ante_B
LAeq: total results for receivers
Group: (main group)
Group Reduction: No

| Name | Receiver | Description | Height | Day | Night |
|--------|----------|-------------|--------|------|-------|
| B_77_A | B[6/16] | | 1,50 | 33,9 | 35,8 |
| B_77_A | B[7/16] | | 1,50 | 33,9 | 35,8 |
| B_77_A | B[8/16] | | 1,50 | 33,6 | 35,5 |
| B_77_B | B[1/16] | | 4,50 | 35,5 | 37,3 |
| B_77_B | B[4/16] | | 4,50 | 34,0 | 35,9 |
| B_77_B | B[15/16] | | 4,50 | 34,1 | 36,0 |
| B_77_B | B[16/16] | | 4,50 | 34,3 | 36,1 |
| B_77_B | B[2/16] | | 4,50 | 35,6 | 37,5 |
| B_77_B | B[3/16] | | 4,50 | 35,5 | 37,4 |
| B_77_B | B[4/16] | | 4,50 | 35,5 | 37,4 |
| B_77_B | B[5/16] | | 4,50 | 35,4 | 37,2 |
| B_77_B | B[6/16] | | 4,50 | 33,8 | 35,7 |
| B_77_B | B[7/16] | | 4,50 | 34,0 | 35,9 |
| B_77_B | B[8/16] | | 4,50 | 33,8 | 35,6 |
| B_77_C | B[1/16] | | 7,50 | 36,1 | 38,0 |
| B_77_C | B[2/16] | | 7,50 | 36,2 | 38,1 |
| B_77_C | B[3/16] | | 7,50 | 36,1 | 38,0 |
| B_77_C | B[4/16] | | 7,50 | 36,1 | 38,0 |
| B_77_C | B[5/16] | | 7,50 | 35,9 | 37,8 |
| B_77_C | B[6/16] | | 7,50 | 34,2 | 36,1 |
| B_77_C | B[7/16] | | 7,50 | 34,4 | 36,3 |
| B_77_C | B[8/16] | | 7,50 | 34,1 | 35,9 |
| B_78_A | B[1/25] | | 1,50 | 33,5 | 35,4 |
| B_78_A | B[10/25] | | 1,50 | 36,2 | 38,1 |
| B_78_A | B[18/25] | | 1,50 | 31,3 | 33,1 |
| B_78_A | B[19/25] | | 1,50 | 32,3 | 34,1 |
| B_78_A | B[2/25] | | 1,50 | 34,1 | 35,9 |
| B_78_A | B[20/25] | | 1,50 | 31,6 | 33,5 |
| B_78_A | B[21/25] | | 1,50 | 30,7 | 32,6 |
| B_78_A | B[22/25] | | 1,50 | 30,0 | 31,9 |
| B_78_A | B[23/25] | | 1,50 | 30,7 | 32,6 |
| B_78_A | B[24/25] | | 1,50 | 30,8 | 32,7 |
| B_78_A | B[25/25] | | 1,50 | 31,2 | 33,1 |
| B_78_A | B[3/25] | | 1,50 | 33,8 | 35,7 |
| B_78_A | B[4/25] | | 1,50 | 31,1 | 32,9 |
| B_78_A | B[5/25] | | 1,50 | 31,3 | 33,2 |
| B_78_A | B[6/25] | | 1,50 | 31,2 | 33,0 |
| B_78_A | B[7/25] | | 1,50 | 30,2 | 32,1 |
| B_78_A | B[8/25] | | 1,50 | 28,8 | 30,7 |
| B_78_A | B[| | | | |

Progetto: leq in facciata ai recettori HYDEA S.p.A.

Report: Table of Results
Model: progetto_ante_B
LAeq: total results for receivers
Group: (main group)
Group Reduction: No

| Name | Receiver | Description | Height | Day | Night |
|--------|----------|-------------|--------|------|-------|
| B.81_B | B[41/62] | 4,50 | 32,6 | 34,4 | |
| B.81_B | B[40/62] | 4,50 | 35,1 | 37,0 | |
| B.81_B | B[41/62] | 4,50 | 35,4 | 37,3 | |
| B.81_B | B[42/62] | 4,50 | 34,9 | 36,8 | |
| B.81_B | B[43/62] | 4,50 | 34,4 | 36,2 | |
| B.81_B | B[44/62] | 4,50 | 33,9 | 35,7 | |
| B.81_B | B[45/62] | 4,50 | 32,7 | 34,5 | |
| B.81_B | B[46/62] | 4,50 | 32,2 | 34,0 | |
| B.81_B | B[47/62] | 4,50 | 29,9 | 31,6 | |
| B.81_B | B[48/62] | 4,50 | 29,3 | 31,1 | |
| B.81_B | B[49/62] | 4,50 | 29,3 | 31,0 | |
| B.81_B | B[5/62] | 4,50 | 32,6 | 34,4 | |
| B.81_B | B[50/62] | 4,50 | 29,5 | 31,3 | |
| B.81_B | B[51/62] | 4,50 | 30,0 | 31,7 | |
| B.81_B | B[52/62] | 4,50 | 30,1 | 31,8 | |
| B.81_B | B[53/62] | 4,50 | 30,3 | 32,0 | |
| B.81_B | B[54/62] | 4,50 | 30,9 | 32,7 | |
| B.81_B | B[55/62] | 4,50 | 31,3 | 33,1 | |
| B.81_B | B[56/62] | 4,50 | 31,4 | 33,2 | |
| B.81_B | B[57/62] | 4,50 | 31,5 | 33,3 | |
| B.81_B | B[58/62] | 4,50 | 32,3 | 34,1 | |
| B.81_B | B[59/62] | 4,50 | 31,9 | 33,7 | |
| B.81_B | B[60/62] | 4,50 | 31,1 | 32,9 | |
| B.81_B | B[61/62] | 4,50 | 32,3 | 34,1 | |
| B.81_B | B[62/62] | 4,50 | 32,5 | 34,3 | |
| B.81_C | B[1/62] | 7,50 | 33,0 | 34,9 | |
| B.81_C | B[2/62] | 7,50 | 33,1 | 35,0 | |
| B.81_C | B[26/62] | 7,50 | 30,3 | 32,2 | |
| B.81_C | B[27/62] | 7,50 | 30,4 | 32,3 | |
| B.81_C | B[28/62] | 7,50 | 32,0 | 33,9 | |
| B.81_C | B[29/62] | 7,50 | 32,0 | 33,9 | |
| B.81_C | B[3/62] | 7,50 | 33,2 | 35,0 | |
| B.81_C | B[30/62] | 7,50 | 32,5 | 34,4 | |
| B.81_C | B[31/62] | 7,50 | 33,5 | 35,3 | |
| B.81_C | B[32/62] | 7,50 | 32,3 | 34,2 | |
| B.81_C | B[33/62] | 7,50 | 33,3 | 35,2 | |
| B.81_C | B[34/62] | 7,50 | 33,2 | 35,0 | |
| B.81_C | B[35/62] | 7,50 | 32,8 | 34,7 | |
| B.81_C | B[36/62] | 7,50 | 34,5 | 36,3 | |
| B.81_C | B[37/62] | 7,50 | 34,5 | 36,4 | |
| B.81_C | B[38/62] | 7,50 | 35,6 | 37,4 | |
| B.81_C | B[39/62] | 7,50 | 35,9 | 37,8 | |
| B.81_C | B[4/62] | 7,50 | 32,9 | 34,8 | |
| B.81_C | B[40/62] | 7,50 | 35,6 | 37,5 | |
| B.81_C | B[41/62] | 7,50 | 36,0 | 37,8 | |
| B.81_C | B[42/62] | 7,50 | 35,5 | 37,4 | |
| B.81_C | B[43/62] | 7,50 | 35,0 | 36,9 | |
| B.81_C | B[44/62] | 7,50 | 34,6 | 36,5 | |
| B.81_C | B[45/62] | 7,50 | 33,4 | 35,3 | |
| B.81_C | B[46/62] | 7,50 | 32,9 | 34,8 | |
| B.81_C | B[47/62] | 7,50 | 29,9 | 31,7 | |
| B.81_C | B[48/62] | 7,50 | 29,4 | 31,2 | |
| B.81_C | B[49/62] | 7,50 | 29,4 | 31,2 | |
| B.81_C | B[5/62] | 7,50 | 32,8 | 34,7 | |
| B.81_C | B[50/62] | 7,50 | 29,7 | 31,5 | |

All shown dB values are A-weighted

Predictor V2019.02 16/04/2019 10:49:51

Progetto: leq in facciata ai recettori HYDEA S.p.A.

Report: Table of Results
Model: progetto_ante_B
LAeq: total results for receivers
Group: (main group)
Group Reduction: No

| Name | Receiver | Description | Height | Day | Night |
|--------|----------|-------------|--------|------|-------|
| B.81_C | B[51/62] | 7,50 | 30,2 | 32,0 | |
| B.81_C | B[52/62] | 7,50 | 30,2 | 32,0 | |
| B.81_C | B[53/62] | 7,50 | 30,5 | 32,3 | |
| B.81_C | B[54/62] | 7,50 | 31,8 | 33,7 | |
| B.81_C | B[55/62] | 7,50 | 32,4 | 34,2 | |
| B.81_C | B[56/62] | 7,50 | 32,4 | 34,2 | |
| B.81_C | B[57/62] | 7,50 | 32,5 | 34,3 | |
| B.81_C | B[58/62] | 7,50 | 33,2 | 35,0 | |
| B.81_C | B[59/62] | 7,50 | 32,8 | 34,7 | |
| B.81_C | B[60/62] | 7,50 | 31,9 | 33,8 | |
| B.81_C | B[61/62] | 7,50 | 32,8 | 34,7 | |
| B.81_C | B[62/62] | 7,50 | 32,9 | 34,8 | |
| B.81_D | B[1/62] | 10,50 | 33,9 | 35,8 | |
| B.81_D | B[2/62] | 10,50 | 33,9 | 35,8 | |
| B.81_D | B[26/62] | 10,50 | 30,6 | 32,5 | |
| B.81_D | B[27/62] | 10,50 | 31,0 | 32,8 | |
| B.81_D | B[28/62] | 10,50 | 33,0 | 34,8 | |
| B.81_D | B[3/62] | 10,50 | 33,9 | 35,8 | |
| B.81_D | B[30/62] | 10,50 | 33,2 | 35,1 | |
| B.81_D | B[31/62] | 10,50 | 34,4 | 36,3 | |
| B.81_D | B[32/62] | 10,50 | 33,1 | 35,0 | |
| B.81_D | B[33/62] | 10,50 | 34,3 | 36,1 | |
| B.81_D | B[34/62] | 10,50 | 34,0 | 35,9 | |
| B.81_D | B[35/62] | 10,50 | 33,5 | 35,4 | |
| B.81_D | B[36/62] | 10,50 | 35,1 | 37,0 | |
| B.81_D | B[37/62] | 10,50 | 35,1 | 36,9 | |
| B.81_D | B[38/62] | 10,50 | 36,2 | 38,1 | |
| B.81_D | B[39/62] | 10,50 | 36,6 | 38,5 | |
| B.81_D | B[4/62] | 10,50 | 33,7 | 35,5 | |
| B.81_D | B[40/62] | 10,50 | 36,5 | 38,3 | |
| B.81_D | B[41/62] | 10,50 | 36,7 | 38,6 | |
| B.81_D | B[42/62] | 10,50 | 36,3 | 38,1 | |
| B.81_D | B[43/62] | 10,50 | 35,8 | 37,7 | |
| B.81_D | B[44/62] | 10,50 | 35,4 | 37,3 | |
| B.81_D | B[45/62] | 10,50 | 34,3 | 36,1 | |
| B.81_D | B[46/62] | 10,50 | 33,8 | 35,6 | |
| B.81_D | B[47/62] | 10,50 | 30,8 | 32,6 | |
| B.81_D | B[48/62] | 10,50 | 30,3 | 32,1 | |
| B.81_D | B[49/62] | 10,50 | 30,4 | 32,3 | |
| B.81_D | B[5/62] | 10,50 | 33,6 | 35,4 | |
| B.81_D | B[50/62] | 10,50 | 31,1 | 32,9 | |
| B.81_D | B[51/62] | 10,50 | 31,3 | 33,2 | |
| B.81_D | B[52/62] | 10,50 | 31,4 | 33,2 | |
| B.81_D | B[53/62] | 10,50 | 32,0 | 33,9 | |
| B.81_D | B[54/62] | 10,50 | 33,8 | 35,7 | |
| B.81_D | B[55/62] | 10,50 | 34,3 | 36,2 | |
| B.81_D | B[56/62] | 10,50 | 34,2 | 36,1 | |
| B.81_D | B[57/62] | 10,50 | 33,9 | 35,8 | |
| B.81_D | B[58/62] | 10,50 | 34,5 | 36,4 | |
| B.81_D | B[59/62] | 10,50 | 34,1 | 35,9 | |
| B.81_D | B[60/62] | 10,50 | 33,2 | 35,1 | |
| B.81_D | B[61/62] | 10,50 | 33,8 | 35,7 | |
| B.81_D | B[62/62] | 10,50 | 33,8 | 35,7 | |
| B.82_A | B[1/10] | 1,50 | 35,0 | 36,8 | |

All shown dB values are A-weighted

Predictor V2019.02 16/04/2019 10:49:51

Progetto: leq in facciata ai recettori HYDEA S.p.A.

Report: Table of Results
Model: progetto_ante_B
LAeq: total results for receivers
Group: (main group)
Group Reduction: No

| Name | Receiver | Description | Height | Day | Night |
|--------|----------|-------------|--------|------|-------|
| B.82_A | B[10/10] | 1,50 | 35,4 | 37,2 | |
| B.82_A | B[2/10] | 1,50 | 30,4 | 32,2 | |
| B.82_A | B[3/10] | 1,50 | 29,6 | 31,4 | |
| B.82_A | B[4/10] | 1,50 | 27,5 | 29,3 | |
| B.82_A | B[5/10] | 1,50 | 27,5 | 29,2 | |
| B.82_A | B[9/10] | 1,50 | 31,5 | 33,3 | |
| B.82_B | B[1/10] | 4,50 | 34,8 | 36,6 | |
| B.82_B | B[10/10] | 4,50 | 35,1 | 36,9 | |
| B.82_B | B[2/10] | 4,50 | 30,7 | 32,5 | |
| B.82_B | B[3/10] | 4,50 | 29,7 | 31,5 | |
| B.82_B | B[4/10] | 4,50 | 28,1 | 29,9 | |
| B.82_B | B[5/10] | 4,50 | 29,3 | 31,2 | |
| B.82_B | B[9/10] | 4,50 | 31,8 | 33,7 | |
| B.83_A | B[1/10] | 1,50 | 29,3 | 31,0 | |
| B.83_A | B[10/10] | 1,50 | 27,8 | 29,6 | |
| B.83_A | B[2/10] | 1,50 | 30,0 | 31,8 | |
| B.83_A | B[3/10] | 1,50 | 27,7 | 29,5 | |
| B.83_A | B[4/10] | 1,50 | 28,7 | 30,5 | |
| B.83_A | B[5/10] | 1,50 | 29,1 | 31,0 | |
| B.83_A | B[8/10] | 1,50 | 28,5 | 30,3 | |
| B.83_A | B[9/10] | 1,50 | 28,6 | 30,4 | |
| B.83_B | B[1/10] | 4,50 | 29,8 | 31,6 | |
| B.83_B | B[10/10] | 4,50 | 28,2 | 30,0 | |
| B.83_B | B[2/10] | 4,50 | 31,2 | 33,0 | |
| B.83_B | B[3/10] | 4,50 | 29,1 | 31,0 | |
| B.83_B | B[4/10] | 4,50 | 30,0 | 31,9 | |
| B.83_B | B[5/10] | 4,50 | 30,3 | 32,2 | |
| B.83_B | B[9/10] | 4,50 | 29,2 | 31,1 | |
| B.83_B | B[9/10] | 4,50 | 29,1 | 30,9 | |
| B.86_A | B[1/44] | 1,50 | 30,4 | 32,2 | |
| B.86_A | B[10/44] | 1,50 | 27,3 | 29,1 | |
| B.86_A | B[11/44] | 1,50 | 27,2 | 29,1 | |
| B.86_A | B[12/44] | 1,50 | 26,9 | 28,8 | |
| B.86_A | B[13/44] | 1,50 | 26,9 | 28,7 | |
| B.86_A | B[14/44] | 1,50 | 26,9 | 28,7 | |
| B.86_A | B[15/44] | 1,50 | 26,1 | 27,9 | |
| B.86_A | B[16/44] | 1,50 | 26,6 | 28,5 | |
| B.86_A | B[17/44] | 1,50 | 27,9 | 29,8 | |
| B.86_A | B[18/44] | 1,50 | 26,3 | 28,2 | |
| B.86_A | B[19/44] | 1,50 | 25,4 | 27,2 | |
| B.86_A | B[2/44] | 1,50 | 29,7 | 31,5 | |
| B.86_A | B[20/44] | 1,50 | 25,7 | 27,5 | |
| B.86_A | B[21/44] | 1,50 | 25,9 | 27,7 | |
| B.86_A | B[22/44] | 1,50 | 24,4 | 26,2 | |
| B.86_A | B[23/44] | 1,50 | 25,3 | 27,1 | |
| B.86_A | B[24/44] | 1,50 | 25,0 | 26,9 | |
| B.86_A | B[25/44] | 1,50 | 24,5 | 26,3 | |
| B.86_A | B[26/44] | 1,50 | 22,0 | 23,8 | |
| B.86_A | B[3/44] | 1,50 | 27,9 | 29,7 | |
| B.86_A | B[4/44] | 1,50 | 25,1 | 26,8 | |
| B.86_A | B[43/44] | 1,50 | 29,9 | 31,7 | |
| B.86_A | B[44/44] | 1,50 | 28,7 | 30,6 | |
| B.86_A | B[5/44] | 1,50 | 25,0 | 26,8 | |
| B.86_A | B[6/44] | 1,50 | 27,8 | 29,6 | |
| B.86_A | B[7/44] | 1,50 | 28,3 | 30,1 | |

All shown dB values are A-weighted

Predictor V2019.02 16/04/2019 10:49:51

Progetto: leq in facciata ai recettori HYDEA S.p.A.

Report: Table of Results
Model: progetto_ante_B
LAeq: total results for receivers
Group: (main group)
Group Reduction: No

| Name | Receiver | Description | Height | Day | Night |
|--------|----------|-------------|--------|------|-------|
| B.86_A | B[8/44] | 1,50 | 30,1 | 31,9 | |
| B.86_A | B[9/44] | 1,50 | 27,3 | 29,1 | |
| B.86_B | B[1/44] | 4,50 | 31,7 | 33,6 | |
| B.86_B | B[10/44] | 4,50 | 30,1 | 31,9 | |
| B.86_B | B[11/44] | 4,50 | 29,9 | 31,8 | |
| B.86_B | B[12/44] | 4,50 | 29,5 | 31,3 | |
| B.86_B | B[13/44] | 4,50 | 29,3 | 31,1 | |
| B.86_B | B[14/44] | 4,50 | 29,2 | 31,1 | |
| B.86_B | B[15/44] | 4,50 | 27,7 | 29,5 | |
| B.86_B | B[16/44] | 4,50 | 28,7 | 30,6 | |
| B.86_B | B[17/44] | 4,50 | 30,1 | 32,0 | |
| B.86_B | B[18/44] | 4,50 | 29,2 | 31,1 | |
| B.86_B | B[19/44] | 4,50 | 30,0 | 31,8 | |
| B.86_B | B[2/44] | 4,50 | 31,0 | 32,8 | |
| B.86_B | B[20/44] | 4,50 | 29,6 | 31,5 | |
| B.86_B | B[21/44] | 4,50 | 28,4 | 30,2 | |
| B.86_B | B[22/44] | 4,50 | 26,0 | 27,8 | |
| B.86_B | B[23/44] | 4,50 | 27,3 | 29,1 | |
| B.86_B | B[24/44] | 4,50 | 27,2 | 29,0 | |
| B.86_B | B[25/44] | 4,50 | 24,1 | 26,0 | |
| B.86_B | B[26/44] | 4,50 | 21,9 | 23,8 | |
| B.86_B | B[3/44] | 4,50 | 29,4 | 31,2 | |
| B.86_B | B[4/44] | 4,50 | 28,6 | 30,4 | |
| B.86_B | B[43/44] | 4,50 | 31,1 | 33,0 | |
| B.86_B | B[44/44] | 4,50 | 30,1 | 32,0 | |
| B.86_B | B[5/44] | 4,50 | 29,1 | 30,9 | |
| B.86_B | B[6/44] | 4,50 | 29,5 | 31,3 | |
| B.86_B | B[7/44] | 4,50 | 29,8 | 31,7 | |
| B.86_B | B[8/44] | 4,50 | 30,9 | 32,7 | |
| B.86_B | B[9/44] | 4,50 | 30,4 | 32,2 | |
| B.87_A | B[1/8] | 1,50 | 29,4 | 31,3 | |
| B.87_A | B[2/8] | 1,50 | 29,4 | 31,2 | |
| B.87_A | B[3/8] | 1,50 | 26,9 | 28,8 | |
| B.87_A | B[4/8] | 1,50 | 25,8 | 27,6 | |
| B.87_A | B[7/8] | 1,50 | 28,6 | 30,4 | |
| B.87_A | B[8/8] | 1,50 | 27,6 | 29,4 | |
| B.87_B | B[1/8] | 4,50 | 30,5 | 32,3 | |
| B.87_B | B[2/8] | 4,50 | 30,8 | 32,6 | |
| B.87_B | B[3/8] | 4,50 | 29,3 | 31,1 | |
| B.87_B | B[4/8] | 4,50 | 29,6 | 31,4 | |
| B.87_B | B[7/8] | 4,50 | 30,0 | 31,9 | |
| B.87_B | B[8/8] | 4,50 | 29,9 | 31,8 | |
| B.88_A | B[1/17] | 1,50 | 31,1 | 32,9 | |
| B.88_A | B[15/17] | 1,5 | | | |

| Progetto: leq in facciata ai recettori | | | | | HYDEA S.p.A. | | | | |
|--|----------|-----------------------------|--------|------|------------------|--|-----------------|--|--|
| Report: | | Table of Results | | | Model: | | progetto_ante_B | | |
| Model: | | total results for receivers | | | LAcq: | | (main group) | | |
| Group: | | No | | | Group Reduction: | | No | | |
| Name | Receiver | Description | Height | Day | Night | | | | |
| B_93_B | B(20/22) | 4,50 | 31,5 | 33,2 | | | | | |
| B_93_B | B(21/22) | 4,50 | 31,2 | 33,0 | | | | | |
| B_93_B | B(22/22) | 4,50 | 30,0 | 31,7 | | | | | |
| B_93_B | B(9/22) | 4,50 | 28,2 | 30,0 | | | | | |
| B_93_C | B(10/22) | 7,50 | 28,0 | 29,8 | | | | | |
| B_93_C | B(11/22) | 7,50 | 26,5 | 28,3 | | | | | |
| B_93_C | B(12/22) | 7,50 | 25,5 | 27,3 | | | | | |
| B_93_C | B(13/22) | 7,50 | 30,1 | 31,9 | | | | | |
| B_93_C | B(14/22) | 7,50 | 30,4 | 32,3 | | | | | |
| B_93_C | B(15/22) | 7,50 | 30,7 | 32,6 | | | | | |
| B_93_C | B(16/22) | 7,50 | 30,4 | 32,2 | | | | | |
| B_93_C | B(17/22) | 7,50 | 31,7 | 33,5 | | | | | |
| B_93_C | B(18/22) | 7,50 | 31,9 | 33,8 | | | | | |
| B_93_C | B(19/22) | 7,50 | 31,3 | 33,2 | | | | | |
| B_93_C | B(20/22) | 7,50 | 32,2 | 34,0 | | | | | |
| B_93_C | B(21/22) | 7,50 | 31,9 | 33,7 | | | | | |
| B_93_C | B(22/22) | 7,50 | 30,4 | 32,2 | | | | | |
| B_93_C | B(9/22) | 7,50 | 28,1 | 29,9 | | | | | |
| B_93_D | B(10/22) | 10,50 | 28,9 | 30,8 | | | | | |
| B_93_D | B(11/22) | 10,50 | 27,2 | 29,0 | | | | | |
| B_93_D | B(12/22) | 10,50 | 26,1 | 27,9 | | | | | |
| B_93_D | B(13/22) | 10,50 | 31,5 | 33,3 | | | | | |
| B_93_D | B(14/22) | 10,50 | 31,8 | 33,7 | | | | | |
| B_93_D | B(15/22) | 10,50 | 32,0 | 33,8 | | | | | |
| B_93_D | B(16/22) | 10,50 | 31,7 | 33,6 | | | | | |
| B_93_D | B(17/22) | 10,50 | 33,2 | 35,1 | | | | | |
| B_93_D | B(18/22) | 10,50 | 33,4 | 35,3 | | | | | |
| B_93_D | B(19/22) | 10,50 | 32,7 | 34,6 | | | | | |
| B_93_D | B(20/22) | 10,50 | 33,6 | 35,5 | | | | | |
| B_93_D | B(21/22) | 10,50 | 33,4 | 35,3 | | | | | |
| B_93_D | B(22/22) | 10,50 | 31,6 | 33,5 | | | | | |
| B_93_D | B(9/22) | 10,50 | 28,9 | 30,8 | | | | | |
| B_94_A | B(1/14) | 1,50 | 30,3 | 32,0 | | | | | |
| B_94_A | B(2/14) | 1,50 | 31,0 | 32,8 | | | | | |
| B_94_A | B(3/14) | 1,50 | 31,3 | 33,1 | | | | | |
| B_94_A | B(4/14) | 1,50 | 30,5 | 32,2 | | | | | |
| B_94_A | B(5/14) | 1,50 | 30,8 | 32,5 | | | | | |
| B_94_A | B(6/14) | 1,50 | 30,1 | 31,9 | | | | | |
| B_94_A | B(7/14) | 1,50 | 29,3 | 31,0 | | | | | |
| B_94_A | B(8/14) | 1,50 | 29,0 | 30,8 | | | | | |
| B_94_B | B(1/14) | 4,50 | 30,4 | 32,2 | | | | | |
| B_94_B | B(2/14) | 4,50 | 31,1 | 32,9 | | | | | |
| B_94_B | B(3/14) | 4,50 | 31,3 | 33,0 | | | | | |
| B_94_B | B(4/14) | 4,50 | 30,3 | 32,1 | | | | | |
| B_94_B | B(5/14) | 4,50 | 30,7 | 32,5 | | | | | |
| B_94_B | B(6/14) | 4,50 | 30,6 | 32,4 | | | | | |
| B_94_B | B(7/14) | 4,50 | 30,0 | 31,7 | | | | | |
| B_94_B | B(8/14) | 4,50 | 29,1 | 30,9 | | | | | |
| B_94_B | B(9/14) | 4,50 | 29,1 | 30,8 | | | | | |
| B_94_C | B(1/14) | 7,50 | 31,3 | 33,1 | | | | | |
| B_94_C | B(2/14) | 7,50 | 31,8 | 33,7 | | | | | |
| B_94_C | B(3/14) | 7,50 | 32,0 | 33,8 | | | | | |
| B_94_C | B(4/14) | 7,50 | 31,0 | 32,8 | | | | | |
| B_94_C | B(5/14) | 7,50 | 31,3 | 33,1 | | | | | |

All shown dB values are A-weighted
 Predictor V2019.02 16/04/2019 10:49:51

| Progetto: leq in facciata ai recettori | | | | | HYDEA S.p.A. | | | | |
|--|----------|-----------------------------|--------|------|------------------|--|-----------------|--|--|
| Report: | | Table of Results | | | Model: | | progetto_ante_B | | |
| Model: | | total results for receivers | | | LAcq: | | (main group) | | |
| Group: | | No | | | Group Reduction: | | No | | |
| Name | Receiver | Description | Height | Day | Night | | | | |
| B_94_C | B(6/14) | 7,50 | 31,3 | 33,1 | | | | | |
| B_94_C | B(7/14) | 7,50 | 30,6 | 32,4 | | | | | |
| B_94_C | B(8/14) | 7,50 | 29,5 | 31,3 | | | | | |
| B_94_C | B(9/14) | 7,50 | 29,7 | 31,5 | | | | | |
| B_94_D | B(1/14) | 10,50 | 32,9 | 34,8 | | | | | |
| B_94_D | B(2/14) | 10,50 | 33,7 | 35,6 | | | | | |
| B_94_D | B(3/14) | 10,50 | 33,9 | 35,7 | | | | | |
| B_94_D | B(4/14) | 10,50 | 33,0 | 34,9 | | | | | |
| B_94_D | B(5/14) | 10,50 | 33,5 | 35,3 | | | | | |
| B_94_D | B(6/14) | 10,50 | 33,5 | 35,3 | | | | | |
| B_94_D | B(7/14) | 10,50 | 32,8 | 34,7 | | | | | |
| B_94_D | B(8/14) | 10,50 | 31,5 | 33,4 | | | | | |
| B_94_D | B(9/14) | 10,50 | 31,9 | 33,8 | | | | | |
| B_95_A | B(1/22) | 1,50 | 28,8 | 30,5 | | | | | |
| B_95_A | B(2/22) | 1,50 | 29,4 | 31,2 | | | | | |
| B_95_A | B(22/22) | 1,50 | 29,8 | 31,6 | | | | | |
| B_95_A | B(3/22) | 1,50 | 30,3 | 32,1 | | | | | |
| B_95_A | B(4/22) | 1,50 | 31,0 | 32,8 | | | | | |
| B_95_A | B(5/22) | 1,50 | 30,4 | 32,2 | | | | | |
| B_95_A | B(6/22) | 1,50 | 30,3 | 32,1 | | | | | |
| B_95_A | B(7/22) | 1,50 | 30,5 | 32,3 | | | | | |
| B_95_A | B(8/22) | 1,50 | 30,0 | 31,8 | | | | | |
| B_95_B | B(1/22) | 4,50 | 28,9 | 30,7 | | | | | |
| B_95_B | B(2/22) | 4,50 | 29,6 | 31,4 | | | | | |
| B_95_B | B(22/22) | 4,50 | 30,0 | 31,8 | | | | | |
| B_95_B | B(3/22) | 4,50 | 30,5 | 32,3 | | | | | |
| B_95_B | B(4/22) | 4,50 | 31,2 | 33,0 | | | | | |
| B_95_B | B(5/22) | 4,50 | 30,6 | 32,4 | | | | | |
| B_95_B | B(6/22) | 4,50 | 30,6 | 32,4 | | | | | |
| B_95_B | B(7/22) | 4,50 | 30,8 | 32,6 | | | | | |
| B_95_B | B(8/22) | 4,50 | 30,4 | 32,3 | | | | | |
| B_95_C | B(1/22) | 7,50 | 29,6 | 31,4 | | | | | |
| B_95_C | B(2/22) | 7,50 | 30,5 | 32,3 | | | | | |
| B_95_C | B(22/22) | 7,50 | 30,8 | 32,7 | | | | | |
| B_95_C | B(3/22) | 7,50 | 31,4 | 33,2 | | | | | |
| B_95_C | B(4/22) | 7,50 | 32,1 | 33,9 | | | | | |
| B_95_C | B(5/22) | 7,50 | 31,5 | 33,3 | | | | | |
| B_95_C | B(6/22) | 7,50 | 31,4 | 33,2 | | | | | |
| B_95_C | B(7/22) | 7,50 | 31,6 | 33,4 | | | | | |
| B_95_C | B(8/22) | 7,50 | 31,2 | 33,1 | | | | | |
| B_95_D | B(1/22) | 10,50 | 31,8 | 33,6 | | | | | |
| B_95_D | B(2/22) | 10,50 | 32,6 | 34,5 | | | | | |
| B_95_D | B(22/22) | 10,50 | 32,4 | 34,3 | | | | | |
| B_95_D | B(3/22) | 10,50 | 33,1 | 34,9 | | | | | |
| B_95_D | B(4/22) | 10,50 | 33,8 | 35,6 | | | | | |
| B_95_D | B(5/22) | 10,50 | 33,3 | 35,1 | | | | | |
| B_95_D | B(6/22) | 10,50 | 32,9 | 34,7 | | | | | |
| B_95_D | B(7/22) | 10,50 | 33,1 | 34,9 | | | | | |
| B_95_D | B(8/22) | 10,50 | 32,6 | 34,5 | | | | | |
| B_96_A | B(1/34) | 1,50 | -- | -- | | | | | |
| B_96_A | B(10/34) | 1,50 | -- | -- | | | | | |
| B_96_A | B(11/34) | 1,50 | -- | -- | | | | | |
| B_96_A | B(12/34) | 1,50 | -- | -- | | | | | |
| B_96_A | B(13/34) | 1,50 | -- | -- | | | | | |
| B_96_A | B(14/34) | 1,50 | -- | -- | | | | | |

All shown dB values are A-weighted
 Predictor V2019.02 16/04/2019 10:49:51

| Progetto: leq in facciata ai recettori | | | | | HYDEA S.p.A. | | | | |
|--|----------|-----------------------------|--------|-----|------------------|--|-----------------|--|--|
| Report: | | Table of Results | | | Model: | | progetto_ante_B | | |
| Model: | | total results for receivers | | | LAcq: | | (main group) | | |
| Group: | | No | | | Group Reduction: | | No | | |
| Name | Receiver | Description | Height | Day | Night | | | | |
| B_96_A | B(15/34) | 1,50 | -- | -- | | | | | |
| B_96_A | B(16/34) | 1,50 | -- | -- | | | | | |
| B_96_A | B(17/34) | 1,50 | -- | -- | | | | | |
| B_96_A | B(18/34) | 1,50 | -- | -- | | | | | |
| B_96_A | B(19/34) | 1,50 | -- | -- | | | | | |
| B_96_A | B(2/34) | 1,50 | -- | -- | | | | | |
| B_96_A | B(20/34) | 1,50 | -- | -- | | | | | |
| B_96_A | B(21/34) | 1,50 | -- | -- | | | | | |
| B_96_A | B(22/34) | 1,50 | -- | -- | | | | | |
| B_96_A | B(23/34) | 1,50 | -- | -- | | | | | |
| B_96_A | B(3/34) | 1,50 | -- | -- | | | | | |
| B_96_A | B(4/34) | 1,50 | -- | -- | | | | | |
| B_96_A | B(5/34) | 1,50 | -- | -- | | | | | |
| B_96_A | B(6/34) | 1,50 | -- | -- | | | | | |
| B_96_A | B(7/34) | 1,50 | -- | -- | | | | | |
| B_96_A | B(8/34) | 1,50 | -- | -- | | | | | |
| B_96_A | B(9/34) | 1,50 | -- | -- | | | | | |
| B_96_B | B(10/34) | 4,50 | -- | -- | | | | | |
| B_96_B | B(11/34) | 4,50 | -- | -- | | | | | |
| B_96_B | B(12/34) | 4,50 | -- | -- | | | | | |
| B_96_B | B(13/34) | 4,50 | -- | -- | | | | | |
| B_96_B | B(14/34) | 4,50 | -- | -- | | | | | |
| B_96_B | B(15/34) | 4,50 | -- | -- | | | | | |
| B_96_B | B(16/34) | 4,50 | -- | -- | | | | | |
| B_96_B | B(17/34) | 4,50 | -- | -- | | | | | |
| B_96_B | B(18/34) | 4,50 | -- | -- | | | | | |
| B_96_B | B(19/34) | 4,50 | -- | -- | | | | | |
| B_96_B | B(20/34) | 4,50 | -- | -- | | | | | |
| B_96_B | B(21/34) | 4,50 | -- | -- | | | | | |
| B_96_B | B(22/34) | 4,50 | -- | -- | | | | | |

Report: Table of Results
Model: proietto_post_A
LAeq: total results for receivers
Group: (main group)
Group Reduction: No

| Name Receiver | Description | Height | Day | Night |
|---------------|-------------|--------|------|-------|
| A_01_A | A[1/32] | 1,50 | 50,7 | 52,6 |
| A_01_A | A[10/32] | 1,50 | 51,3 | 53,2 |
| A_01_A | A[11/32] | 1,50 | 51,7 | 53,6 |
| A_01_A | A[12/32] | 1,50 | 51,6 | 53,5 |
| A_01_A | A[13/32] | 1,50 | 51,5 | 53,4 |
| A_01_A | A[14/32] | 1,50 | 51,4 | 53,3 |
| A_01_A | A[15/32] | 1,50 | 51,4 | 53,3 |
| A_01_A | A[16/32] | 1,50 | 51,4 | 53,3 |
| A_01_A | A[2/32] | 1,50 | 50,8 | 52,7 |
| A_01_A | A[3/32] | 1,50 | 51,0 | 53,0 |
| A_01_A | A[31/32] | 1,50 | 48,0 | 50,0 |
| A_01_A | A[32/32] | 1,50 | 48,6 | 50,5 |
| A_01_A | A[4/32] | 1,50 | 50,8 | 52,7 |
| A_01_A | A[5/32] | 1,50 | 51,5 | 53,4 |
| A_01_A | A[6/32] | 1,50 | 51,4 | 53,4 |
| A_01_A | A[7/32] | 1,50 | 51,4 | 53,3 |
| A_01_A | A[8/32] | 1,50 | 51,3 | 53,2 |
| A_01_A | A[9/32] | 1,50 | 51,3 | 53,2 |
| A_01_B | A[1/32] | 4,50 | 54,5 | 56,4 |
| A_01_B | A[10/32] | 4,50 | 55,6 | 57,4 |
| A_01_B | A[11/32] | 4,50 | 56,6 | 58,4 |
| A_01_B | A[12/32] | 4,50 | 56,4 | 58,2 |
| A_01_B | A[13/32] | 4,50 | 56,2 | 58,0 |
| A_01_B | A[14/32] | 4,50 | 56,0 | 57,9 |
| A_01_B | A[15/32] | 4,50 | 55,9 | 57,7 |
| A_01_B | A[16/32] | 4,50 | 55,8 | 57,6 |
| A_01_B | A[2/32] | 4,50 | 54,7 | 56,6 |
| A_01_B | A[3/32] | 4,50 | 54,9 | 56,7 |
| A_01_B | A[31/32] | 4,50 | 50,9 | 52,7 |
| A_01_B | A[32/32] | 4,50 | 51,8 | 53,7 |
| A_01_B | A[4/32] | 4,50 | 54,8 | 56,6 |
| A_01_B | A[5/32] | 4,50 | 56,3 | 58,1 |
| A_01_B | A[6/32] | 4,50 | 56,2 | 58,0 |

All shown dB values are A-weighted

Predictor V2019.02 12/04/2019 16:06:58

Report: Table of Results
Model: proietto_post_A
LAeq: total results for receivers
Group: (main group)
Group Reduction: No

| Name Receiver | Description | Height | Day | Night |
|---------------|-------------|--------|------|-------|
| A_01_B | A[7/32] | 4,50 | 56,0 | 57,8 |
| A_01_B | A[8/32] | 4,50 | 55,8 | 57,7 |
| A_01_B | A[9/32] | 4,50 | 55,7 | 57,5 |
| A_01_C | A[1/32] | 7,50 | 60,3 | 62,1 |
| A_01_C | A[10/32] | 7,50 | 63,0 | 64,7 |
| A_01_C | A[11/32] | 7,50 | 66,3 | 68,0 |
| A_01_C | A[12/32] | 7,50 | 65,8 | 67,4 |
| A_01_C | A[13/32] | 7,50 | 65,2 | 66,9 |
| A_01_C | A[14/32] | 7,50 | 64,6 | 66,3 |
| A_01_C | A[15/32] | 7,50 | 64,2 | 65,8 |
| A_01_C | A[16/32] | 7,50 | 63,8 | 65,4 |
| A_01_C | A[2/32] | 7,50 | 60,5 | 62,3 |
| A_01_C | A[3/32] | 7,50 | 60,7 | 62,5 |
| A_01_C | A[31/32] | 7,50 | 53,9 | 55,7 |
| A_01_C | A[32/32] | 7,50 | 55,9 | 57,7 |
| A_01_C | A[4/32] | 7,50 | 61,6 | 63,4 |
| A_01_C | A[5/32] | 7,50 | 65,8 | 67,5 |
| A_01_C | A[6/32] | 7,50 | 65,2 | 66,9 |
| A_01_C | A[7/32] | 7,50 | 64,6 | 66,2 |
| A_01_C | A[8/32] | 7,50 | 64,1 | 65,8 |
| A_01_C | A[9/32] | 7,50 | 63,6 | 65,3 |
| A_02_A | A[2/14] | 1,50 | 50,9 | 52,8 |
| A_02_A | A[3/14] | 1,50 | 50,8 | 52,7 |
| A_02_A | A[4/14] | 1,50 | 50,9 | 52,8 |
| A_02_A | A[5/14] | 1,50 | 51,0 | 52,9 |
| A_02_A | A[6/14] | 1,50 | 51,0 | 52,9 |
| A_02_A | A[7/14] | 1,50 | 51,1 | 53,0 |
| A_02_B | A[2/14] | 4,50 | 54,6 | 56,5 |
| A_02_B | A[3/14] | 4,50 | 54,6 | 56,5 |
| A_02_B | A[4/14] | 4,50 | 54,7 | 56,5 |
| A_02_B | A[5/14] | 4,50 | 54,8 | 56,6 |
| A_02_B | A[6/14] | 4,50 | 54,8 | 56,6 |
| A_02_B | A[7/14] | 4,50 | 54,9 | 56,7 |

All shown dB values are A-weighted

Predictor V2019.02 12/04/2019 16:06:58

Report: Table of Results
Model: proietto_post_A
LAeq: total results for receivers
Group: (main group)
Group Reduction: No

| Name Receiver | Description | Height | Day | Night |
|---------------|-------------|--------|------|-------|
| A_02_C | A[2/14] | 7,50 | 59,8 | 61,6 |
| A_02_C | A[3/14] | 7,50 | 60,0 | 61,8 |
| A_02_C | A[4/14] | 7,50 | 60,2 | 61,9 |
| A_02_C | A[5/14] | 7,50 | 60,4 | 62,1 |
| A_02_C | A[6/14] | 7,50 | 60,5 | 62,3 |
| A_02_C | A[7/14] | 7,50 | 60,8 | 62,5 |
| A_03_A | A[1/33] | 1,50 | 51,1 | 53,0 |
| A_03_A | A[10/33] | 1,50 | 53,8 | 55,6 |
| A_03_A | A[11/33] | 1,50 | 54,4 | 56,3 |
| A_03_A | A[12/33] | 1,50 | 55,9 | 57,8 |
| A_03_A | A[13/33] | 1,50 | 57,9 | 59,7 |
| A_03_A | A[14/33] | 1,50 | 61,4 | 63,2 |
| A_03_A | A[15/33] | 1,50 | 66,6 | 68,5 |
| A_03_A | A[16/33] | 1,50 | 67,2 | 69,0 |
| A_03_A | A[17/33] | 1,50 | 66,2 | 68,1 |
| A_03_A | A[18/33] | 1,50 | 64,8 | 66,6 |
| A_03_A | A[2/33] | 1,50 | 51,2 | 53,1 |
| A_03_A | A[3/33] | 1,50 | 51,3 | 53,2 |
| A_03_A | A[4/33] | 1,50 | 51,3 | 53,2 |
| A_03_A | A[5/33] | 1,50 | 51,6 | 53,5 |
| A_03_A | A[6/33] | 1,50 | 51,7 | 53,6 |
| A_03_A | A[7/33] | 1,50 | 51,9 | 53,8 |
| A_03_A | A[8/33] | 1,50 | 52,5 | 54,4 |
| A_03_A | A[9/33] | 1,50 | 52,8 | 54,6 |
| A_03_B | A[1/33] | 4,50 | 54,8 | 56,7 |
| A_03_B | A[10/33] | 4,50 | 57,0 | 58,8 |
| A_03_B | A[11/33] | 4,50 | 57,5 | 59,3 |
| A_03_B | A[12/33] | 4,50 | 58,7 | 60,5 |
| A_03_B | A[13/33] | 4,50 | 60,1 | 61,9 |
| A_03_B | A[14/33] | 4,50 | 62,8 | 64,6 |
| A_03_B | A[15/33] | 4,50 | 67,1 | 68,8 |
| A_03_B | A[16/33] | 4,50 | 67,5 | 69,3 |
| A_03_B | A[17/33] | 4,50 | 66,8 | 68,5 |

All shown dB values are A-weighted

Predictor V2019.02 12/04/2019 16:06:58

Report: Table of Results
Model: proietto_post_A
LAeq: total results for receivers
Group: (main group)
Group Reduction: No

| Name Receiver | Description | Height | Day | Night |
|---------------|-------------|--------|------|-------|
| A_03_B | A[18/33] | 4,50 | 65,6 | 67,3 |
| A_03_B | A[2/33] | 4,50 | 54,9 | 56,8 |
| A_03_B | A[3/33] | 4,50 | 55,0 | 56,8 |
| A_03_B | A[4/33] | 4,50 | 55,1 | 56,9 |
| A_03_B | A[5/33] | 4,50 | 55,2 | 57,1 |
| A_03_B | A[6/33] | 4,50 | 55,4 | 57,2 |
| A_03_B | A[7/33] | 4,50 | 55,5 | 57,4 |
| A_03_B | A[8/33] | 4,50 | 56,0 | 57,8 |
| A_03_B | A[9/33] | 4,50 | 56,2 | 58,0 |
| A_03_C | A[1/33] | 7,50 | 60,5 | 62,3 |
| A_03_C | A[10/33] | 7,50 | 62,3 | 64,1 |
| A_03_C | A[11/33] | 7,50 | 62,5 | 64,3 |
| A_03_C | A[12/33] | 7,50 | 62,8 | 64,6 |
| A_03_C | A[13/33] | 7,50 | 63,5 | 65,3 |
| A_03_C | A[14/33] | 7,50 | 64,9 | 66,6 |
| A_03_C | A[15/33] | 7,50 | 67,7 | 69,5 |
| A_03_C | A[16/33] | 7,50 | 67,4 | 69,2 |
| A_03_C | A[17/33] | 7,50 | 66,7 | 68,5 |
| A_03_C | A[18/33] | 7,50 | 65,6 | 67,3 |
| A_03_C | A[2/33] | 7,50 | 60,7 | 62,5 |
| A_03_C | A[3/33] | 7,50 | 60,8 | 62,6 |
| A_03_C | A[4/33] | 7,50 | 61,0 | 62,8 |
| A_03_C | A[5/33] | 7,50 | 61,2 | 63,0 |
| A_03_C | A[6/33] | 7,50 | 61,4 | 63,2 |
| A_03_C | A[7/33] | 7,50 | 61,6 | 63,4 |
| A_03_C | A[8/33] | 7,50 | 61,8 | 63,7 |
| A_03_C | A[9/33] | 7,50 | 62,1 | 63,9 |
| A_04_A | A[1/16] | 1,50 | 48,7 | 50,6 |
| A_04_A | A[10/16] | 1,50 | 67,1 | 68,9 |
| A_04_A | A[11/16] | 1,50 | 68,5 | 70,2 |
| A_04_A | A[12/16] | 1,50 | 66,4 | 68,2 |
| A_04_A | A[13/16] | 1,50 | 60,3 | 62,2 |
| A_04_A | A[14/16] | 1,50 | 57,0 | 58,9 |

All shown dB values are A-weighted

Predictor V2019.02 12/04/2019 16:06:58

Report: Table of Results
Model: proietto_post_A
LAeq: total results for receivers
Group: (main group)
Group Reduction: No

| Name Receiver | Description | Height | Day | Night |
|---------------|-------------|--------|------|-------|
| A_04_A | A[15/16] | 1,50 | 54,9 | 56,7 |
| A_04_A | A[16/16] | 1,50 | 53,6 | 55,5 |
| A_04_A | A[2/16] | 1,50 | 47,7 | 49,6 |
| A_04_A | A[3/16] | 1,50 | 47,3 | 49,2 |
| A_04_A | A[9/16] | 1,50 | 65,3 | 67,1 |
| A_04_B | A[1/16] | 4,50 | 52,8 | 54,7 |
| A_04_B | A[10/16] | 4,50 | 67,4 | 69,1 |
| A_04_B | A[11/16] | 4,50 | 68,5 | 70,3 |
| A_04_B | A[12/16] | 4,50 | 66,8 | 68,6 |
| A_04_B | A[13/16] | 4,50 | 62,3 | 64,0 |
| A_04_B | A[14/16] | 4,50 | 60,2 | 62,0 |
| A_04_B | A[15/16] | 4,50 | 58,9 | 60,7 |
| A_04_B | A[16/16] | 4,50 | 58,0 | 59,8 |
| A_04_B | A[2/16] | 4,50 | 51,0 | 52,8 |
| A_04_B | A[3/16] | 4,50 | 50,0 | 51,8 |
| A_04_B | A[9/16] | 4,50 | 65,9 | 67,6 |
| A_04_C | A[1/16] | 7,50 | 60,8 | 62,6 |
| A_04_C | A[10/16] | 7,50 | 67,3 | 69,0 |
| A_04_C | A[11/16] | 7,50 | 68,4 | 70,2 |
| A_04_C | A[12/16] | 7,50 | 70,4 | 72,1 |
| A_04_C | A[13/16] | 7,50 | 69,4 | 71,0 |
| A_04_C | A[14/16] | 7,50 | 68,9 | 70,5 |
| A_04_C | A[15/16] | 7,50 | 68,5 | 70,0 |
| A_04_C | A[16/16] | 7,50 | 68,1 | 69,7 |
| A_04_C | A[2/16] | 7,50 | 55,6 | 57,4 |
| A_04_C | A[3/16] | 7,50 | 53,4 | 55,2 |
| A_04_C | A[9/16] | 7,50 | 65,9 | 67,6 |
| A_05a_A | A[1/30] | 1,50 | 42,4 | 44,2 |
| A_05a_A | A[10/30] | 1,50 | 44,6 | 46,5 |
| A_05a_A | A[11/30] | 1,50 | 45,1 | 47,1 |
| A_05a_A | A[12/30] | 1,50 | 45,5 | 47,4 |
| A_05a_A | A[13/30] | 1,50 | 45,7 | 47,6 |
| A_05a_A | A[14/30] | 1,50 | 46,3 | 48,3 |

All shown dB values are A-weighted

Predictor V2019.02 12/04/2019 16:06:58

Report: Table of Results
Model: proietto_post_A
LAeq: total results for receivers
Group: (main group)
Group Reduction: No

| Name Receiver | Description | Height | Day | Night |
|---------------|-------------|--------|------|-------|
| A_05a_A | A[15/30] | 1,50 | 46,2 | 48,1 |
| A_05a_A | A[16/30] | 1,50 | 45,8 | 47,7 |
| A_05a_A | A[17/30] | 1,50 | 45,4 | 47,4 |
| A_05a_A | A[18/30] | 1,50 | 46,2 | 48,1 |
| A_05a_A | A[19/30] | 1,50 | 44,1 | 46,0 |
| A_05a_A | A[2/30] | 1,50 | 39,7 | 41,5 |
| A_05a_A | A[20/30] | 1,50 | 42,9 | 44,8 |
| A_05a_A | A[21/30] | 1,50 | 42,1 | 44,0 |
| A_05a_A | A[3/30] | 1,50 | 40,1 | 42,0 |
| A_05a_A | A[4/30] | 1,50 | 39,7 | 41,5 |
| A_05a_A | A[5/30] | 1,50 | 43,4 | 45,1 |
| A_05a_A | A[6/30] | 1,50 | 43,7 | 45,4 |
| A_05a_A | A[7/30] | 1,50 | 44,7 | 46,4 |
| A_05a_A | A[8/30] | 1,50 | 46,0 | 47,8 |
| A_05a_A | A[9/30] | 1,50 | 44,7 | 46,5 |
| A_05a_B | A[1/30] | 4,50 | 44,4 | 46,2 |
| A_05a_B | A[10/30] | 4,50 | 49,9 | 51,8 |
| A_05a_B | A[11/30] | 4,50 | 50,4 | 52,3 |
| A_05a_B | A[12/30] | 4,50 | 50,8 | 52,7 |
| A_05a_B | A[13/30] | 4,50 | 51,1 | 53,0 |
| A_05a_B | A[14/30] | 4,50 | 51,8 | 53,7 |
| A_05a_B | A[15/30] | 4,50 | 51,8 | 53,6 |
| A_05a_B | A[16/30] | 4,50 | 51,4 | 53,3 |
| A_05a_B | A[17/30] | 4,50 | 50,9 | 52,8 |
| A_05a_B | A[18/30] | 4,50 | 51,1 | 53,0 |
| A_05a_B | A[19/30] | 4,50 | 48,5 | 50,4 |
| A_05a_B | A[20/30] | 4,50 | 44,1 | 45,9 |
| A_05a_B | A[20/30] | 4,50 | 48,5 | 50,4 |
| A_05a_B | A[21/30] | 4,50 | 48,3 | 50,1 |
| A_05a_B | A[3/30] | 4,50 | 43,6 | 45,5 |
| A_05a_B | A[4/30] | 4,50 | 46,1 | 47,9 |
| A_05a_B | A[5/30] | 4,50 | 46,1 | 47,9 |
| A_05a_B | A[6/30] | 4,50 | 47,9 | 49,6 |

All shown dB values are A-weighted

Predictor V2019.02 12/04/2019 16:06:58

Report: Table of Results
Model: progetto_post_A
LAeq: total results for receivers
Group: (main group)
Group Reduction: No

Table with columns: Name, Receiver, Description, Height, Day, Night. Rows include A_10_B, A_10_C, A_11_A, A_11_B, A_12_A, A_12_B, A_13_A, A_13_B, A_13_C, A_14_A, A_14_B, A_14_C.

All shown dB values are A-weighted

Predictor V2019.02 12/04/2019 16:06:58

Report: Table of Results
Model: progetto_post_A
LAeq: total results for receivers
Group: (main group)
Group Reduction: No

Table with columns: Name, Receiver, Description, Height, Day, Night. Rows include A_13_A, A_13_B, A_13_C, A_14_A, A_14_B, A_14_C.

All shown dB values are A-weighted

Predictor V2019.02 12/04/2019 16:06:58

Report: Table of Results
Model: progetto_post_A
LAeq: total results for receivers
Group: (main group)
Group Reduction: No

Table with columns: Name, Receiver, Description, Height, Day, Night. Rows include A_15_A, A_15_B, A_16_A, A_16_B.

All shown dB values are A-weighted

Predictor V2019.02 12/04/2019 16:06:58

Report: Table of Results
Model: progetto_post_A
LAeq: total results for receivers
Group: (main group)
Group Reduction: No

Table with columns: Name, Receiver, Description, Height, Day, Night. Rows include A_16_B, A_16_C, A_17_A, A_17_B, A_17_C, A_17_D, A_18_A, A_18_B, A_18_C, A_18_D, A_19_A, A_19_B, A_19_C, A_19_D.

All shown dB values are A-weighted

Predictor V2019.02 12/04/2019 16:06:58

Report: Table of Results
Model: progetto_post_A
LAeq: total results for receivers
Group: (main group)
Group Reduction: No

Table with columns: Name, Receiver, Description, Height, Day, Night. Rows include A_17_C, A_17_D, A_18_A, A_18_B, A_18_C, A_18_D, A_19_A, A_19_B, A_19_C, A_19_D.

All shown dB values are A-weighted

Predictor V2019.02 12/04/2019 16:06:58

Report: Table of Results
Model: progetto_post_A
LAeq: total results for receivers
Group: (main group)
Group Reduction: No

Table with columns: Name, Receiver, Description, Height, Day, Night. Rows include A_18_B, A_18_C, A_18_D, A_19_A, A_19_B, A_19_C, A_19_D.

All shown dB values are A-weighted

Predictor V2019.02 12/04/2019 16:06:58

Report: Table of Results
Model: proietto_post_A
L'As: total results for receivers
Group: (main group)
Group Reduction: No

Table with columns: Name, Receiver, Description, Height, Day, Night. Rows include A_37a_A through A_37b_D with various receiver descriptions and numerical values.

All shown dB values are A-weighted

Report: Table of Results
Model: proietto_post_A
L'As: total results for receivers
Group: (main group)
Group Reduction: No

Table with columns: Name, Receiver, Description, Height, Day, Night. Rows include A_37b_A through A_37c_C with various receiver descriptions and numerical values.

All shown dB values are A-weighted

Report: Table of Results
Model: proietto_post_A
L'As: total results for receivers
Group: (main group)
Group Reduction: No

Table with columns: Name, Receiver, Description, Height, Day, Night. Rows include A_37c_A through A_37e_A with various receiver descriptions and numerical values.

All shown dB values are A-weighted

Report: Table of Results
Model: proietto_post_A
L'As: total results for receivers
Group: (main group)
Group Reduction: No

Table with columns: Name, Receiver, Description, Height, Day, Night. Rows include A_37f_A through A_38_A with various receiver descriptions and numerical values.

All shown dB values are A-weighted

Report: Table of Results
Model: proietto_post_A
L'As: total results for receivers
Group: (main group)
Group Reduction: No

Table with columns: Name, Receiver, Description, Height, Day, Night. Rows include A_38_A through A_38_C with various receiver descriptions and numerical values.

All shown dB values are A-weighted

Report: Table of Results
Model: proietto_post_A
L'As: total results for receivers
Group: (main group)
Group Reduction: No

Table with columns: Name, Receiver, Description, Height, Day, Night. Rows include A_38_C through A_39_A with various receiver descriptions and numerical values.

All shown dB values are A-weighted

Report: Table of Results
Model: proietto_post_A
LAeq: total results for receivers
Group: (main group)
Group Reduction: No

Table with columns: Name, Receiver, Description, Height, Day, Night. Rows include A_41_D, A_41_A, A_42a_A, A_42a_B, A_42b_A, A_42b_B, A_42c_A, A_42c_B, A_42c_C, A_43_A, A_43_B, A_43_C, A_43_D, A_44_A, A_44_B, A_44_C, A_44_D.

All shown dB values are A-weighted

Report: Table of Results
Model: proietto_post_A
LAeq: total results for receivers
Group: (main group)
Group Reduction: No

Table with columns: Name, Receiver, Description, Height, Day, Night. Rows include A_42a_A, A_42a_B, A_42b_A, A_42b_B, A_42c_A, A_42c_B, A_42c_C, A_42b_B, A_42b_C, A_42b_D, A_42b_E, A_42b_F, A_42b_G, A_42b_H, A_42b_I, A_42b_J, A_42b_K, A_42b_L, A_42b_M, A_42b_N, A_42b_O, A_42b_P, A_42b_Q, A_42b_R, A_42b_S, A_42b_T, A_42b_U, A_42b_V, A_42b_W, A_42b_X, A_42b_Y, A_42b_Z.

All shown dB values are A-weighted

Report: Table of Results
Model: proietto_post_A
LAeq: total results for receivers
Group: (main group)
Group Reduction: No

Table with columns: Name, Receiver, Description, Height, Day, Night. Rows include A_42b_B, A_42b_C, A_42b_D, A_42b_E, A_42b_F, A_42b_G, A_42b_H, A_42b_I, A_42b_J, A_42b_K, A_42b_L, A_42b_M, A_42b_N, A_42b_O, A_42b_P, A_42b_Q, A_42b_R, A_42b_S, A_42b_T, A_42b_U, A_42b_V, A_42b_W, A_42b_X, A_42b_Y, A_42b_Z.

All shown dB values are A-weighted

Report: Table of Results
Model: proietto_post_A
LAeq: total results for receivers
Group: (main group)
Group Reduction: No

Table with columns: Name, Receiver, Description, Height, Day, Night. Rows include A_42b_C, A_42b_D, A_42b_E, A_42b_F, A_42b_G, A_42b_H, A_42b_I, A_42b_J, A_42b_K, A_42b_L, A_42b_M, A_42b_N, A_42b_O, A_42b_P, A_42b_Q, A_42b_R, A_42b_S, A_42b_T, A_42b_U, A_42b_V, A_42b_W, A_42b_X, A_42b_Y, A_42b_Z.

All shown dB values are A-weighted

Report: Table of Results
Model: proietto_post_A
LAeq: total results for receivers
Group: (main group)
Group Reduction: No

Table with columns: Name, Receiver, Description, Height, Day, Night. Rows include A_43_A, A_43_B, A_43_C, A_43_D, A_43_E, A_43_F, A_43_G, A_43_H, A_43_I, A_43_J, A_43_K, A_43_L, A_43_M, A_43_N, A_43_O, A_43_P, A_43_Q, A_43_R, A_43_S, A_43_T, A_43_U, A_43_V, A_43_W, A_43_X, A_43_Y, A_43_Z.

All shown dB values are A-weighted

Report: Table of Results
Model: proietto_post_A
LAeq: total results for receivers
Group: (main group)
Group Reduction: No

Table with columns: Name, Receiver, Description, Height, Day, Night. Rows include A_43_C, A_43_D, A_43_E, A_43_F, A_43_G, A_43_H, A_43_I, A_43_J, A_43_K, A_43_L, A_43_M, A_43_N, A_43_O, A_43_P, A_43_Q, A_43_R, A_43_S, A_43_T, A_43_U, A_43_V, A_43_W, A_43_X, A_43_Y, A_43_Z.

All shown dB values are A-weighted

Report: Table of Results
Model: proietto_post_A
LAeq: total results for receivers
Group: (main group)
Group Reduction: No

Table with columns: Name, Receiver, Description, Height, Day, Night. Rows include A_44_B A[1/21], A_44_C A[10/21], A_44_B A[15/21], etc.

All shown dB values are A-weighted

Report: Table of Results
Model: proietto_post_A
LAeq: total results for receivers
Group: (main group)
Group Reduction: No

Table with columns: Name, Receiver, Description, Height, Day, Night. Rows include A_44_C A[9/21], A_45_A A[1/34], A_45_A A[10/34], etc.

All shown dB values are A-weighted

Report: Table of Results
Model: proietto_post_A
LAeq: total results for receivers
Group: (main group)
Group Reduction: No

Table with columns: Name, Receiver, Description, Height, Day, Night. Rows include A_45_A A[8/34], A_45_A A[9/34], A_45_B A[1/34], etc.

All shown dB values are A-weighted

Report: Table of Results
Model: proietto_post_A
LAeq: total results for receivers
Group: (main group)
Group Reduction: No

Table with columns: Name, Receiver, Description, Height, Day, Night. Rows include A_45_B A[7/34], A_45_C A[11/34], A_45_C A[12/34], etc.

All shown dB values are A-weighted

Report: Table of Results
Model: proietto_post_A
LAeq: total results for receivers
Group: (main group)
Group Reduction: No

Table with columns: Name, Receiver, Description, Height, Day, Night. Rows include A_45_C A[6/34], A_45_C A[7/34], A_45_C A[8/34], etc.

All shown dB values are A-weighted

Report: Table of Results
Model: proietto_post_A
LAeq: total results for receivers
Group: (main group)
Group Reduction: No

Table with columns: Name, Receiver, Description, Height, Day, Night. Rows include A_45_D A[5/34], A_46_A A[1/20], A_46_A A[2/20], etc.

All shown dB values are A-weighted

Progetto: leq in facciata ai recettori HYDEA S.p.A. Report: Table of Results Model: proietto_post_A LAeq: total results for receivers (main group) Group: (main group) Group Reduction: No Name Receiver Description Height Day Night A_46_C A[18/20] 7,50 43,8 45,7 A_46_C A[19/20] 7,50 44,2 46,0 A_46_C A[2/20] 7,50 46,8 48,6 A_46_C A[20/20] 7,50 44,6 46,5 A_46_C A[3/20] 7,50 45,5 47,3 A_46_C A[4/20] 7,50 46,2 48,0 A_46_C A[5/20] 7,50 46,6 48,4 A_46_C A[6/20] 7,50 46,5 48,3 A_46_C A[7/20] 7,50 46,0 47,8 A_46_C A[8/20] 7,50 45,0 46,8 A_46_C A[9/20] 7,50 44,4 46,2 A_47_A A[1/39] 1,50 43,4 45,2 A_47_A A[10/39] 1,50 42,2 44,0 A_47_A A[11/39] 1,50 43,1 44,9 A_47_A A[12/39] 1,50 42,4 44,2 A_47_A A[13/39] 1,50 42,0 43,9 A_47_A A[14/39] 1,50 41,9 43,7 A_47_A A[15/39] 1,50 41,8 43,6 A_47_A A[2/39] 1,50 43,7 45,5 A_47_A A[28/39] 1,50 40,6 42,4 A_47_A A[29/39] 1,50 40,7 42,5 A_47_A A[3/39] 1,50 43,8 45,6 A_47_A A[30/39] 1,50 40,9 42,7 A_47_A A[31/39] 1,50 41,4 43,2 A_47_A A[32/39] 1,50 42,2 44,0 A_47_A A[33/39] 1,50 42,0 43,8 A_47_A A[34/39] 1,50 41,4 43,2 A_47_A A[35/39] 1,50 42,2 44,0 A_47_A A[36/39] 1,50 42,2 44,0 A_47_A A[37/39] 1,50 44,0 45,8 A_47_A A[38/39] 1,50 39,8 41,6 A_47_A A[39/39] 1,50 42,7 44,5 A_47_A A[4/39] 1,50 43,9 45,7 All shown dB values are A-weighted Predictor V2019.02 12/04/2019 16:06:58

Progetto: leq in facciata ai recettori HYDEA S.p.A. Report: Table of Results Model: proietto_post_A LAeq: total results for receivers (main group) Group: (main group) Group Reduction: No Name Receiver Description Height Day Night A_47_A A[5/39] 1,50 43,8 45,6 A_47_A A[6/39] 1,50 43,7 45,5 A_47_A A[7/39] 1,50 43,0 44,8 A_47_A A[8/39] 1,50 42,9 44,8 A_47_A A[9/39] 1,50 41,5 43,3 A_47_B A[1/39] 4,50 44,3 46,2 A_47_B A[10/39] 4,50 44,2 46,1 A_47_B A[11/39] 4,50 44,7 46,6 A_47_B A[12/39] 4,50 43,4 45,3 A_47_B A[13/39] 4,50 43,1 45,0 A_47_B A[14/39] 4,50 42,8 44,7 A_47_B A[15/39] 4,50 42,7 44,5 A_47_B A[2/39] 4,50 44,6 46,4 A_47_B A[28/39] 4,50 42,4 44,3 A_47_B A[29/39] 4,50 42,2 44,0 A_47_B A[3/39] 4,50 44,6 46,5 A_47_B A[30/39] 4,50 42,4 44,2 A_47_B A[31/39] 4,50 42,6 44,5 A_47_B A[32/39] 4,50 44,1 46,0 A_47_B A[33/39] 4,50 43,8 45,7 A_47_B A[34/39] 4,50 43,4 45,2 A_47_B A[35/39] 4,50 43,6 45,4 A_47_B A[36/39] 4,50 43,3 45,2 A_47_B A[37/39] 4,50 44,9 46,8 A_47_B A[38/39] 4,50 41,6 43,4 A_47_B A[39/39] 4,50 43,9 45,7 A_47_B A[4/39] 4,50 44,7 46,6 A_47_B A[5/39] 4,50 44,7 46,5 A_47_B A[6/39] 4,50 44,6 46,4 A_47_B A[7/39] 4,50 44,0 45,9 A_47_B A[8/39] 4,50 44,0 45,9 A_47_B A[9/39] 4,50 43,4 45,3 A_48_A A[1/27] 1,50 43,6 45,5 All shown dB values are A-weighted Predictor V2019.02 12/04/2019 16:06:58

Progetto: leq in facciata ai recettori HYDEA S.p.A. Report: Table of Results Model: proietto_post_A LAeq: total results for receivers (main group) Group: (main group) Group Reduction: No Name Receiver Description Height Day Night A_48_A A[1/27] 1,50 45,6 47,4 A_48_A A[11/27] 1,50 45,8 47,7 A_48_A A[12/27] 1,50 44,6 46,4 A_48_A A[13/27] 1,50 44,3 46,1 A_48_A A[14/27] 1,50 44,0 45,8 A_48_A A[2/27] 1,50 43,7 45,6 A_48_A A[3/27] 1,50 43,6 45,5 A_48_A A[4/27] 1,50 44,8 46,7 A_48_A A[5/27] 1,50 45,0 46,9 A_48_A A[6/27] 1,50 45,4 47,3 A_48_A A[7/27] 1,50 45,4 47,2 A_48_A A[8/27] 1,50 45,4 47,2 A_48_A A[9/27] 1,50 45,4 47,3 A_48_B A[1/27] 4,50 45,0 46,9 A_48_B A[10/27] 4,50 48,1 50,0 A_48_B A[11/27] 4,50 48,3 50,2 A_48_B A[12/27] 4,50 46,5 48,4 A_48_B A[13/27] 4,50 46,0 47,9 A_48_B A[14/27] 4,50 45,7 47,6 A_48_B A[2/27] 4,50 45,1 47,0 A_48_B A[3/27] 4,50 45,5 47,3 A_48_B A[4/27] 4,50 47,3 49,2 A_48_B A[5/27] 4,50 47,6 49,5 A_48_B A[6/27] 4,50 48,1 49,9 A_48_B A[7/27] 4,50 48,3 50,2 A_48_B A[8/27] 4,50 48,5 50,3 A_48_B A[9/27] 4,50 48,2 50,0 A_48_C A[1/27] 7,50 46,1 47,9 A_48_C A[10/27] 7,50 49,3 51,1 A_48_C A[11/27] 7,50 49,5 51,3 A_48_C A[12/27] 7,50 47,9 49,8 A_48_C A[13/27] 7,50 48,0 49,8 A_48_C A[14/27] 7,50 48,0 49,9 All shown dB values are A-weighted Predictor V2019.02 12/04/2019 16:06:58

Progetto: leq in facciata ai recettori HYDEA S.p.A. Report: Table of Results Model: proietto_post_A LAeq: total results for receivers (main group) Group: (main group) Group Reduction: No Name Receiver Description Height Day Night A_48_C A[2/27] 7,50 46,4 48,2 A_48_C A[3/27] 7,50 46,7 48,6 A_48_C A[4/27] 7,50 49,0 50,8 A_48_C A[5/27] 7,50 49,2 51,0 A_48_C A[6/27] 7,50 49,5 51,3 A_48_C A[7/27] 7,50 49,6 51,5 A_48_C A[8/27] 7,50 49,8 51,6 A_48_C A[9/27] 7,50 49,5 51,3 A_48_D A[1/27] 10,50 46,8 48,6 A_48_D A[10/27] 10,50 50,0 51,9 A_48_D A[11/27] 10,50 50,0 51,8 A_48_D A[12/27] 10,50 49,0 50,8 A_48_D A[13/27] 10,50 49,4 51,3 A_48_D A[14/27] 10,50 49,5 51,3 A_48_D A[2/27] 10,50 46,7 48,6 A_48_D A[3/27] 10,50 46,8 48,7 A_48_D A[4/27] 10,50 49,3 51,1 A_48_D A[5/27] 10,50 49,5 51,3 A_48_D A[6/27] 10,50 49,8 51,7 A_48_D A[7/27] 10,50 50,1 51,9 A_48_D A[8/27] 10,50 50,2 52,0 A_48_D A[9/27] 10,50 50,1 51,9 A_49_A A[1/15] 1,50 45,9 47,8 A_49_A A[11/15] 1,50 44,0 45,8 A_49_A A[12/15] 1,50 44,3 46,1 A_49_A A[13/15] 1,50 44,4 46,2 A_49_A A[14/15] 1,50 44,5 46,4 A_49_A A[15/15] 1,50 44,6 46,4 A_49_A A[2/15] 1,50 45,2 47,1 A_49_A A[3/15] 1,50 43,4 45,3 A_49_A A[4/15] 1,50 43,8 45,6 A_49_A A[5/15] 1,50 43,8 45,6 A_49_A A[6/15] 1,50 43,9 45,7 All shown dB values are A-weighted Predictor V2019.02 12/04/2019 16:06:58

Progetto: leq in facciata ai recettori HYDEA S.p.A. Report: Table of Results Model: proietto_post_A LAeq: total results for receivers (main group) Group: (main group) Group Reduction: No Name Receiver Description Height Day Night A_49_A A[7/15] 1,50 44,0 45,9 A_49_B A[1/15] 4,50 48,8 50,7 A_49_B A[11/15] 4,50 45,6 47,5 A_49_B A[12/15] 4,50 45,9 47,8 A_49_B A[13/15] 4,50 46,0 47,9 A_49_B A[14/15] 4,50 46,4 48,2 A_49_B A[15/15] 4,50 46,8 48,6 A_49_B A[2/15] 4,50 48,3 50,1 A_49_B A[3/15] 4,50 46,3 48,2 A_49_B A[4/15] 4,50 46,2 48,0 A_49_B A[5/15] 4,50 45,7 47,6 A_49_B A[6/15] 4,50 45,5 47,4 A_49_B A[7/15] 4,50 45,5 47,3 A_49_C A[1/15] 7,50 49,8 51,7 A_49_C A[11/15] 7,50 48,2 50,1 A_49_C A[12/15] 7,50 48,3 50,2 A_49_C A[13/15] 7,50 48,1 50,0 A_49_C A[14/15] 7,50 48,1 50,0 A_49_C A[15/15] 7,50 48,2 50,1 A_49_C A[2/15] 7,50 49,4 51,2 A_49_C A[3/15] 7,50 47,0 48,8 A_49_C A[4/15] 7,50 47,4 49,2 A_49_C A[5/15] 7,50 47,5 49,4 A_49_C A[6/15] 7,50 47,6 49,4 A_49_C A[7/15] 7,50 47,7 49,5 A_50_A A[1/29] 1,50 42,2 44,0 A_50_A A[10/29] 1,50 42,3 44,1 A_50_A A[11/29] 1,50 41,9 43,7 A_50_A A[12/29] 1,50 43,9 45,8 A_50_A A[13/29] 1,50 44,3 46,1 A_50_A A[14/29] 1,50 42,4 44,2 A_50_A A[15/29] 1,50 42,1 43,9 A_50_A A[16/29] 1,50 42,1 43,8 All shown dB values are A-weighted Predictor V2019.02 12/04/2019 16:06:58

Progetto: leq in facciata ai recettori HYDEA S.p.A. Report: Table of Results Model: proietto_post_A LAeq: total results for receivers (main group) Group: (main group) Group Reduction: No Name Receiver Description Height Day Night A_50_A A[2/29] 1,50 42,2 44,0 A_50_A A[27/29] 1,50 42,4 44,1 A_50_A A[28/29] 1,50 42,2 44,0 A_50_A A[29/29] 1,50 41,8 43,6 A_50_A A[3/29] 1,50 42,3 44,1 A_50_A A[4/29] 1,50 42,9 44,7 A_50_A A[5/29] 1,50 43,6 45,4 A_50_A A[6/29] 1,50 44,0 45,8 A_50_A A[7/29] 1,50 42,0 43,8 A_50_A A[8/29] 1,50 42,5 44,2 A_50_A A[9/29] 1,50 42,4 44,2 A_50_B A[1/29] 4,50 43,7 45,6 A_50_B A[10/29] 4,50 44,2 46,0 A_50_B A[11/29] 4,50 43,7 45,5 A_50_B A[12/29] 4,50 45,4 47,2 A_50_B A[13/29] 4,50 45,9 47,7 A_50_B A[14/29] 4,50 43,5 45,3 A_50_B A[15/29] 4,50 43,0 44,9 A_50_B A[16/29] 4,50 42,9 44,7 A_50_B A[2/29] 4,50 43,8 45,7 A_50_B A[27/29] 4,50 43,3 45,1 A_50_B A[28/29] 4,50 43,1 45,0 A_50_B A[29/29] 4,50 42,9 44,7 A_50_B A[3/29] 4,50 43,9 45,8 A_50_B A[4/29] 4,50 44,6 46,5 A_50_B A[5/29] 4,50 45,4 47,2 A_50_B A[6/29] 4,50 45,7 47,5 A_50_B A[7/29] 4,50 43,7 45,5 A_50_B A[8/29] 4,50 44,0 45,9 A_50_B A[9/29] 4,50 44,2 46,1 A_50_C A[1/29] 7,50 46,7 48,6 A_50_C A[10/29] 7,50 47,5 49,4 A_50_C A[11/29] 7,50 47,3 49,2 All shown dB values are A-weighted Predictor V2019.02 12/04/2019 16:06:58

Report: Table of Results
 Model: progetto_post_B
 LAeq: total results for receivers
 Group: (main group)
 Group Reduction: No

| Name | Receiver | Description | Height | Day | Night |
|---------|----------|-------------|--------|------|-------|
| B_101_A | B[33/35] | 1,50 | 18,1 | 20,1 | -- |
| B_101_A | B[34/35] | 1,50 | 23,7 | 25,6 | -- |
| B_101_A | B[35/35] | 1,50 | 25,0 | 26,9 | -- |
| B_101_A | B[4/35] | 1,50 | 23,9 | 25,8 | -- |
| B_101_A | B[5/35] | 1,50 | 21,1 | 23,1 | -- |
| B_101_A | B[6/35] | 1,50 | 13,9 | 16,0 | -- |
| B_101_A | B[7/35] | 1,50 | 13,6 | 15,8 | -- |
| B_101_A | B[8/35] | 1,50 | -- | -- | -- |
| B_101_B | B[1/35] | 4,50 | 27,8 | 29,7 | -- |
| B_101_B | B[2/35] | 4,50 | 27,2 | 29,1 | -- |
| B_101_B | B[22/35] | 4,50 | -- | -- | -- |
| B_101_B | B[23/35] | 4,50 | -- | -- | -- |
| B_101_B | B[24/35] | 4,50 | -- | -- | -- |
| B_101_B | B[25/35] | 4,50 | -- | -- | -- |
| B_101_B | B[26/35] | 4,50 | -- | -- | -- |
| B_101_B | B[27/35] | 4,50 | -- | -- | -- |
| B_101_B | B[28/35] | 4,50 | -- | -- | -- |
| B_101_B | B[29/35] | 4,50 | -- | -- | -- |
| B_101_B | B[3/35] | 4,50 | 27,1 | 29,0 | -- |
| B_101_B | B[30/35] | 4,50 | -- | -- | -- |
| B_101_B | B[31/35] | 4,50 | -- | -- | -- |
| B_101_B | B[32/35] | 4,50 | -- | -- | -- |
| B_101_B | B[33/35] | 4,50 | 17,6 | 19,9 | -- |
| B_101_B | B[34/35] | 4,50 | 23,9 | 25,8 | -- |
| B_101_B | B[35/35] | 4,50 | 25,4 | 27,2 | -- |
| B_101_B | B[4/35] | 4,50 | 24,6 | 26,5 | -- |
| B_101_B | B[5/35] | 4,50 | 21,3 | 23,3 | -- |
| B_101_B | B[6/35] | 4,50 | 13,6 | 15,7 | -- |
| B_101_B | B[7/35] | 4,50 | 13,2 | 15,4 | -- |
| B_101_B | B[8/35] | 4,50 | -- | -- | -- |
| B_101_C | B[1/35] | 7,50 | 28,2 | 30,1 | -- |
| B_101_C | B[2/35] | 7,50 | 27,9 | 29,8 | -- |
| B_101_C | B[22/35] | 7,50 | -- | -- | -- |
| B_101_C | B[23/35] | 7,50 | -- | -- | -- |
| B_101_C | B[24/35] | 7,50 | -- | -- | -- |
| B_101_C | B[25/35] | 7,50 | -- | -- | -- |
| B_101_C | B[26/35] | 7,50 | -- | -- | -- |
| B_101_C | B[27/35] | 7,50 | -- | -- | -- |
| B_101_C | B[28/35] | 7,50 | -- | -- | -- |
| B_101_C | B[29/35] | 7,50 | -- | -- | -- |
| B_101_C | B[3/35] | 7,50 | 27,7 | 29,6 | -- |
| B_101_C | B[30/35] | 7,50 | -- | -- | -- |
| B_101_C | B[31/35] | 7,50 | -- | -- | -- |
| B_101_C | B[32/35] | 7,50 | -- | -- | -- |
| B_101_C | B[33/35] | 7,50 | 18,1 | 20,4 | -- |
| B_101_C | B[34/35] | 7,50 | 24,5 | 26,5 | -- |
| B_101_C | B[35/35] | 7,50 | 26,1 | 27,9 | -- |
| B_101_C | B[4/35] | 7,50 | 25,0 | 26,9 | -- |
| B_101_C | B[5/35] | 7,50 | 21,7 | 23,7 | -- |
| B_101_C | B[6/35] | 7,50 | 15,0 | 17,1 | -- |
| B_101_C | B[7/35] | 7,50 | 14,0 | 16,2 | -- |
| B_101_C | B[8/35] | 7,50 | -- | -- | -- |
| B_101_D | B[1/35] | 10,50 | 28,9 | 30,9 | -- |
| B_101_D | B[2/35] | 10,50 | 28,6 | 30,5 | -- |
| B_101_D | B[22/35] | 10,50 | -- | -- | -- |

All shown dB values are A-weighted
 Predictor V2019.02 16/04/2019 10:55:16

Report: Table of Results
 Model: progetto_post_B
 LAeq: total results for receivers
 Group: (main group)
 Group Reduction: No

| Name | Receiver | Description | Height | Day | Night |
|---------|----------|-------------|--------|------|-------|
| B_101_D | B[23/35] | 10,50 | -- | -- | -- |
| B_101_D | B[24/35] | 10,50 | -- | -- | -- |
| B_101_D | B[25/35] | 10,50 | -- | -- | -- |
| B_101_D | B[26/35] | 10,50 | -- | -- | -- |
| B_101_D | B[27/35] | 10,50 | -- | -- | -- |
| B_101_D | B[28/35] | 10,50 | -- | -- | -- |
| B_101_D | B[29/35] | 10,50 | -- | -- | -- |
| B_101_D | B[3/35] | 10,50 | 28,4 | 30,3 | -- |
| B_101_D | B[30/35] | 10,50 | -- | -- | -- |
| B_101_D | B[31/35] | 10,50 | -- | -- | -- |
| B_101_D | B[32/35] | 10,50 | -- | -- | -- |
| B_101_D | B[33/35] | 10,50 | 18,7 | 20,9 | -- |
| B_101_D | B[34/35] | 10,50 | 25,2 | 27,1 | -- |
| B_101_D | B[35/35] | 10,50 | 26,8 | 28,7 | -- |
| B_101_D | B[4/35] | 10,50 | 25,7 | 27,6 | -- |
| B_101_D | B[5/35] | 10,50 | 23,1 | 25,1 | -- |
| B_101_D | B[6/35] | 10,50 | 16,7 | 19,0 | -- |
| B_101_D | B[7/35] | 10,50 | 14,7 | 16,6 | -- |
| B_101_D | B[8/35] | 10,50 | -- | -- | -- |
| B_102_A | B[1/12] | 1,50 | 26,2 | 28,0 | -- |
| B_102_A | B[10/12] | 1,50 | 25,3 | 27,2 | -- |
| B_102_A | B[11/12] | 1,50 | 26,6 | 28,5 | -- |
| B_102_A | B[12/12] | 1,50 | 26,0 | 27,8 | -- |
| B_102_A | B[2/12] | 1,50 | 26,2 | 28,0 | -- |
| B_102_A | B[3/12] | 1,50 | 26,0 | 27,8 | -- |
| B_102_A | B[4/12] | 1,50 | 23,0 | 24,9 | -- |
| B_102_A | B[5/12] | 1,50 | 21,3 | 23,1 | -- |
| B_102_A | B[6/12] | 1,50 | 15,3 | 17,2 | -- |
| B_102_B | B[1/12] | 4,50 | 26,6 | 28,4 | -- |
| B_102_B | B[10/12] | 4,50 | 25,3 | 27,2 | -- |
| B_102_B | B[11/12] | 4,50 | 26,6 | 28,5 | -- |
| B_102_B | B[12/12] | 4,50 | 26,1 | 27,9 | -- |
| B_102_B | B[2/12] | 4,50 | 26,8 | 28,7 | -- |
| B_102_B | B[3/12] | 4,50 | 26,8 | 28,6 | -- |
| B_102_B | B[4/12] | 4,50 | 23,8 | 25,7 | -- |
| B_102_B | B[5/12] | 4,50 | 21,5 | 23,4 | -- |
| B_102_B | B[6/12] | 4,50 | 19,6 | 21,5 | -- |
| B_102_C | B[1/12] | 7,50 | 28,7 | 30,5 | -- |
| B_102_C | B[10/12] | 7,50 | 25,6 | 27,5 | -- |
| B_102_C | B[11/12] | 7,50 | 27,0 | 28,9 | -- |
| B_102_C | B[12/12] | 7,50 | 26,4 | 28,3 | -- |
| B_102_C | B[2/12] | 7,50 | 28,9 | 30,7 | -- |
| B_102_C | B[3/12] | 7,50 | 28,7 | 30,6 | -- |
| B_102_C | B[4/12] | 7,50 | 25,1 | 27,0 | -- |
| B_102_C | B[5/12] | 7,50 | 23,2 | 25,2 | -- |
| B_102_C | B[6/12] | 7,50 | 21,1 | 23,1 | -- |
| B_102_D | B[1/12] | 10,50 | 30,0 | 31,9 | -- |
| B_102_D | B[10/12] | 10,50 | 25,4 | 27,3 | -- |
| B_102_D | B[11/12] | 10,50 | 27,7 | 29,6 | -- |
| B_102_D | B[12/12] | 10,50 | 27,2 | 29,1 | -- |
| B_102_D | B[2/12] | 10,50 | 29,2 | 31,1 | -- |
| B_102_D | B[3/12] | 10,50 | 26,8 | 28,7 | -- |
| B_102_D | B[4/12] | 10,50 | 25,3 | 27,2 | -- |
| B_102_D | B[5/12] | 10,50 | 24,1 | 26,0 | -- |
| B_102_D | B[6/12] | 10,50 | 21,8 | 23,8 | -- |

All shown dB values are A-weighted
 Predictor V2019.02 16/04/2019 10:55:16

Report: Table of Results
 Model: progetto_post_B
 LAeq: total results for receivers
 Group: (main group)
 Group Reduction: No

| Name | Receiver | Description | Height | Day | Night |
|---------|----------|-------------|--------|------|-------|
| B_103_A | B[1/14] | 1,50 | 26,7 | 28,6 | -- |
| B_103_A | B[11/14] | 1,50 | -- | -- | -- |
| B_103_A | B[12/14] | 1,50 | 18,8 | 21,0 | -- |
| B_103_A | B[13/14] | 1,50 | 22,8 | 24,8 | -- |
| B_103_A | B[14/14] | 1,50 | 23,1 | 25,0 | -- |
| B_103_A | B[2/14] | 1,50 | 25,1 | 27,0 | -- |
| B_103_A | B[3/14] | 1,50 | 23,7 | 25,5 | -- |
| B_103_A | B[4/14] | 1,50 | 20,2 | 22,0 | -- |
| B_103_A | B[5/14] | 1,50 | 15,8 | 17,8 | -- |
| B_103_A | B[6/14] | 1,50 | -- | -- | -- |
| B_103_A | B[7/14] | 1,50 | -- | -- | -- |
| B_103_B | B[1/14] | 4,50 | 26,7 | 28,5 | -- |
| B_103_B | B[11/14] | 4,50 | -- | -- | -- |
| B_103_B | B[12/14] | 4,50 | 18,5 | 20,7 | -- |
| B_103_B | B[13/14] | 4,50 | 22,5 | 24,5 | -- |
| B_103_B | B[14/14] | 4,50 | 23,1 | 25,0 | -- |
| B_103_B | B[2/14] | 4,50 | 25,1 | 27,0 | -- |
| B_103_B | B[3/14] | 4,50 | 23,8 | 25,7 | -- |
| B_103_B | B[4/14] | 4,50 | 20,4 | 22,3 | -- |
| B_103_B | B[5/14] | 4,50 | 15,9 | 18,0 | -- |
| B_103_B | B[6/14] | 4,50 | -- | -- | -- |
| B_103_B | B[7/14] | 4,50 | -- | -- | -- |
| B_103_C | B[1/14] | 7,50 | 27,0 | 28,9 | -- |
| B_103_C | B[11/14] | 7,50 | -- | -- | -- |
| B_103_C | B[12/14] | 7,50 | 18,6 | 20,8 | -- |
| B_103_C | B[13/14] | 7,50 | 22,7 | 24,7 | -- |
| B_103_C | B[14/14] | 7,50 | 23,3 | 25,2 | -- |
| B_103_C | B[2/14] | 7,50 | 25,9 | 27,8 | -- |
| B_103_C | B[3/14] | 7,50 | 25,2 | 27,1 | -- |
| B_103_C | B[4/14] | 7,50 | 21,8 | 23,7 | -- |
| B_103_C | B[5/14] | 7,50 | 17,1 | 19,2 | -- |
| B_103_C | B[6/14] | 7,50 | -- | -- | -- |
| B_103_C | B[7/14] | 7,50 | -- | -- | -- |
| B_103_D | B[1/14] | 10,50 | 27,6 | 29,5 | -- |
| B_103_D | B[11/14] | 10,50 | -- | -- | -- |
| B_103_D | B[12/14] | 10,50 | 19,2 | 21,4 | -- |
| B_103_D | B[13/14] | 10,50 | 23,5 | 25,5 | -- |
| B_103_D | B[14/14] | 10,50 | 24,0 | 25,9 | -- |
| B_103_D | B[2/14] | 10,50 | 26,8 | 28,7 | -- |
| B_103_D | B[3/14] | 10,50 | 24,4 | 26,3 | -- |
| B_103_D | B[4/14] | 10,50 | 22,6 | 24,6 | -- |
| B_103_D | B[5/14] | 10,50 | 17,6 | 19,8 | -- |
| B_103_D | B[6/14] | 10,50 | -- | -- | -- |
| B_103_D | B[7/14] | 10,50 | -- | -- | -- |
| B_104_A | B[1/13] | 1,50 | 23,6 | 25,4 | -- |
| B_104_A | B[10/13] | 1,50 | -- | -- | -- |
| B_104_A | B[11/13] | 1,50 | 9,8 | 11,9 | -- |
| B_104_A | B[12/13] | 1,50 | 17,2 | 19,2 | -- |
| B_104_A | B[13/13] | 1,50 | 20,1 | 21,9 | -- |
| B_104_A | B[2/13] | 1,50 | 23,3 | 25,2 | -- |
| B_104_A | B[3/13] | 1,50 | 23,1 | 24,9 | -- |
| B_104_A | B[4/13] | 1,50 | 19,1 | 21,0 | -- |
| B_104_A | B[5/13] | 1,50 | 12,9 | 15,0 | -- |
| B_104_A | B[6/13] | 1,50 | -- | -- | -- |
| B_104_B | B[1/13] | 4,50 | 23,8 | 25,6 | -- |

All shown dB values are A-weighted
 Predictor V2019.02 16/04/2019 10:55:16

Report: Table of Results
 Model: progetto_post_B
 LAeq: total results for receivers
 Group: (main group)
 Group Reduction: No

| Name | Receiver | Description | Height | Day | Night |
|---------|------------|-------------|--------|------|-------|
| B_104_B | B[10/13] | 4,50 | -- | -- | -- |
| B_104_B | B[11/13] | 4,50 | 9,3 | 11,4 | -- |
| B_104_B | B[12/13] | 4,50 | 17,4 | 19,4 | -- |
| B_104_B | B[13/13] | 4,50 | 20,4 | 22,3 | -- |
| B_104_B | B[2/13] | 4,50 | 23,6 | 25,5 | -- |
| B_104_B | B[3/13] | 4,50 | 23,4 | 25,3 | -- |
| B_104_B | B[4/13] | 4,50 | 19,4 | 21,3 | -- |
| B_104_B | B[5/13] | 4,50 | 12,3 | 14,5 | -- |
| B_104_B | B[6/13] | 4,50 | -- | -- | -- |
| B_104_C | B[1/13] | 7,50 | 25,3 | 27,2 | -- |
| B_104_C | B[10/13] | 7,50 | -- | -- | -- |
| B_104_C | B[11/13] | 7,50 | 9,4 | 11,5 | -- |
| B_104_C | B[12/13] | 7,50 | 17,8 | 19,8 | -- |
| B_104_C | B[13/13] | 7,50 | 21,6 | 23,6 | -- |
| B_104_C | B[2/13] | 7,50 | 24,9 | 26,8 | -- |
| B_104_C | B[3/13] | 7,50 | 24,7 | 26,7 | -- |
| B_104_C | B[4/13] | 7,50 | 20,0 | 22,0 | -- |
| B_104_C | B[5/13] | 7,50 | 12,4 | 14,5 | -- |
| B_104_C | B[6/13] | 7,50 | -- | -- | -- |
| B_104_D | B[1/13] | 10,50 | 26,3 | 28,2 | -- |
| B_104_D | B[10/13] | 10,50 | -- | -- | -- |
| B_104_D | B[11/13] | 10,50 | 9,9 | 12,0 | -- |
| B_104_D | B[12/13] | 10,50 | 18,3 | 20,4 | -- |
| B_104_D | B[13/13] | 10,50 | 22,3 | 24,3 | -- |
| B_104_D | B[2/13] | 10,50 | 25,6 | 27,5 | -- |
| B_104_D | B[3/13] | 10,50 | 25,5 | 27,5 | -- |
| B_104_D | B[4/13] | 10,50 | 20,6 | 22,6 | -- |
| B_104_D | B[5/13] | 10,50 | 12,9 | 15,0 | -- |
| B_104_D | B[6/13] | 10,50 | -- | -- | -- |
| B_105_A | B[10/40] | 1,50 | 25,5 | 27,3 | -- |
| B_105_A | B[11/40] | 1,50 | 27,2 | 29,0 | -- |
| B_105_A | B[12/40] | 1,50 | 28,4 | 30,3 | -- |
| B_105_A | B[13/40] | 1,50 | 29,5 | 31,3 | -- |
| B_105_A | B[14/40] | 1,50 | 29,8 | 31,7 | -- |
| B_105_A | B[15/40] | 1,50 | 30,4 | 32,2 | -- |
| B_105_A | B[16/40] | 1,50 | 30,5 | 32,3 | -- |
| B_105_A | B[17/40] | 1,50 | 30,2 | 32,0 | -- |
| B_105_A | B[18/40]</ | | | | |

Report: Table of Results
Model: progetto_post_B
LAeq: total results for receivers
Group: (main group)
Group Reduction: No

| Name | Receiver | Description | Height | Day | Night |
|---------|----------|-------------|--------|------|-------|
| B_108_B | B[39/58] | | 4,50 | 27,9 | 28,5 |
| B_108_B | B[40/58] | | 4,50 | 28,2 | 30,1 |
| B_108_B | B[41/58] | | 4,50 | 29,3 | 31,2 |
| B_108_B | B[42/58] | | 4,50 | 29,6 | 31,5 |
| B_108_B | B[43/58] | | 4,50 | 30,6 | 32,5 |
| B_108_B | B[44/58] | | 4,50 | 34,4 | 36,2 |
| B_108_B | B[45/58] | | 4,50 | 30,9 | 32,8 |
| B_108_B | B[46/58] | | 4,50 | 29,6 | 31,4 |
| B_108_B | B[47/58] | | 4,50 | 30,0 | 31,9 |
| B_108_B | B[48/58] | | 4,50 | 29,3 | 31,1 |
| B_108_B | B[49/58] | | 4,50 | 29,6 | 31,4 |
| B_108_B | B[50/58] | | 4,50 | 29,5 | 31,3 |
| B_108_B | B[51/58] | | 4,50 | 28,7 | 30,5 |
| B_108_B | B[52/58] | | 4,50 | 27,8 | 29,6 |
| B_108_B | B[53/58] | | 4,50 | 28,0 | 29,9 |
| B_108_B | B[54/58] | | 4,50 | 27,9 | 29,8 |
| B_108_B | B[55/58] | | 4,50 | 27,8 | 29,7 |
| B_108_B | B[56/58] | | 4,50 | 27,3 | 29,2 |
| B_108_B | B[57/58] | | 4,50 | 26,7 | 28,6 |
| B_108_B | B[58/58] | | 4,50 | 26,5 | 28,3 |
| B_109_A | B[1/44] | | 1,50 | -- | -- |
| B_109_A | B[2/44] | | 1,50 | -- | -- |
| B_109_A | B[27/44] | | 1,50 | -- | -- |
| B_109_A | B[28/44] | | 1,50 | -- | -- |
| B_109_A | B[29/44] | | 1,50 | -- | -- |
| B_109_A | B[3/44] | | 1,50 | -- | -- |
| B_109_A | B[30/44] | | 1,50 | -- | -- |
| B_109_A | B[31/44] | | 1,50 | -- | -- |
| B_109_A | B[32/44] | | 1,50 | -- | -- |
| B_109_A | B[33/44] | | 1,50 | -- | -- |
| B_109_A | B[34/44] | | 1,50 | 19,1 | 21,1 |
| B_109_A | B[35/44] | | 1,50 | 23,4 | 25,3 |
| B_109_A | B[36/44] | | 1,50 | 22,5 | 24,5 |
| B_109_A | B[37/44] | | 1,50 | 21,7 | 23,7 |
| B_109_A | B[38/44] | | 1,50 | 20,3 | 22,3 |
| B_109_A | B[39/44] | | 1,50 | 19,2 | 21,3 |
| B_109_A | B[40/44] | | 1,50 | 17,7 | 19,8 |
| B_109_A | B[41/44] | | 1,50 | 14,7 | 16,8 |
| B_109_A | B[42/44] | | 1,50 | 12,8 | 14,8 |
| B_109_A | B[43/44] | | 1,50 | -- | -- |
| B_109_A | B[44/44] | | 1,50 | -- | -- |
| B_109_B | B[1/44] | | 4,50 | -- | -- |
| B_109_B | B[2/44] | | 4,50 | -- | -- |
| B_109_B | B[27/44] | | 4,50 | -- | -- |
| B_109_B | B[28/44] | | 4,50 | -- | -- |
| B_109_B | B[29/44] | | 4,50 | -- | -- |
| B_109_B | B[3/44] | | 4,50 | -- | -- |
| B_109_B | B[30/44] | | 4,50 | -- | -- |
| B_109_B | B[31/44] | | 4,50 | -- | -- |
| B_109_B | B[32/44] | | 4,50 | -- | -- |
| B_109_B | B[33/44] | | 4,50 | -- | -- |
| B_109_B | B[34/44] | | 4,50 | 19,9 | 22,0 |
| B_109_B | B[35/44] | | 4,50 | 24,8 | 26,7 |
| B_109_B | B[36/44] | | 4,50 | 23,7 | 25,7 |
| B_109_B | B[37/44] | | 4,50 | 22,7 | 24,7 |

All shown dB values are A-weighted

Predictor V2019.02

16/04/2019 10:55:16

Report: Table of Results
Model: progetto_post_B
LAeq: total results for receivers
Group: (main group)
Group Reduction: No

| Name | Receiver | Description | Height | Day | Night |
|---------|----------|-------------|--------|------|-------|
| B_109_B | B[39/44] | | 4,50 | 21,0 | 23,0 |
| B_109_B | B[39/44] | | 4,50 | 19,6 | 21,7 |
| B_109_B | B[40/44] | | 4,50 | 17,9 | 20,0 |
| B_109_B | B[41/44] | | 4,50 | 14,7 | 16,8 |
| B_109_B | B[42/44] | | 4,50 | 12,3 | 14,4 |
| B_109_B | B[43/44] | | 4,50 | -- | -- |
| B_109_B | B[44/44] | | 4,50 | -- | -- |
| B_109_C | B[1/44] | | 7,50 | -- | -- |
| B_109_C | B[2/44] | | 7,50 | -- | -- |
| B_109_C | B[27/44] | | 7,50 | -- | -- |
| B_109_C | B[28/44] | | 7,50 | -- | -- |
| B_109_C | B[29/44] | | 7,50 | -- | -- |
| B_109_C | B[3/44] | | 7,50 | -- | -- |
| B_109_C | B[30/44] | | 7,50 | -- | -- |
| B_109_C | B[31/44] | | 7,50 | -- | -- |
| B_109_C | B[32/44] | | 7,50 | -- | -- |
| B_109_C | B[33/44] | | 7,50 | -- | -- |
| B_109_C | B[34/44] | | 7,50 | 20,0 | 22,2 |
| B_109_C | B[35/44] | | 7,50 | 24,9 | 26,9 |
| B_109_C | B[36/44] | | 7,50 | 23,9 | 25,9 |
| B_109_C | B[37/44] | | 7,50 | 22,7 | 24,8 |
| B_109_C | B[38/44] | | 7,50 | 20,9 | 23,0 |
| B_109_C | B[39/44] | | 7,50 | 19,4 | 21,6 |
| B_109_C | B[40/44] | | 7,50 | 17,7 | 19,9 |
| B_109_C | B[41/44] | | 7,50 | 14,4 | 16,5 |
| B_109_C | B[42/44] | | 7,50 | 12,0 | 14,1 |
| B_109_C | B[43/44] | | 7,50 | -- | -- |
| B_109_C | B[44/44] | | 7,50 | -- | -- |
| B_11_A | B[1/12] | | 1,50 | 48,7 | 50,4 |
| B_11_A | B[10/12] | | 1,50 | 48,8 | 50,5 |
| B_11_A | B[11/12] | | 1,50 | 47,8 | 49,6 |
| B_11_A | B[12/12] | | 1,50 | 46,2 | 48,0 |
| B_11_A | B[2/12] | | 1,50 | 49,7 | 51,4 |
| B_11_A | B[3/12] | | 1,50 | 49,2 | 50,9 |
| B_11_A | B[4/12] | | 1,50 | 46,8 | 48,6 |
| B_11_A | B[5/12] | | 1,50 | 44,8 | 46,6 |
| B_11_A | B[6/12] | | 1,50 | 46,0 | 47,7 |
| B_11_B | B[1/12] | | 4,50 | 48,9 | 50,7 |
| B_11_B | B[10/12] | | 4,50 | 48,8 | 50,6 |
| B_11_B | B[11/12] | | 4,50 | 47,9 | 49,7 |
| B_11_B | B[12/12] | | 4,50 | 46,6 | 48,4 |
| B_11_B | B[2/12] | | 4,50 | 49,8 | 51,6 |
| B_11_B | B[3/12] | | 4,50 | 49,2 | 51,0 |
| B_11_B | B[4/12] | | 4,50 | 47,0 | 48,8 |
| B_11_B | B[5/12] | | 4,50 | 45,4 | 47,2 |
| B_11_B | B[6/12] | | 4,50 | 46,5 | 48,3 |
| B_110_A | B[1/10] | | 1,50 | 29,0 | 30,8 |
| B_110_A | B[10/10] | | 1,50 | 27,6 | 29,4 |
| B_110_A | B[2/10] | | 1,50 | 29,2 | 31,0 |
| B_110_A | B[3/10] | | 1,50 | 29,9 | 31,8 |
| B_110_A | B[4/10] | | 1,50 | 27,7 | 29,6 |
| B_110_A | B[5/10] | | 1,50 | 27,6 | 29,5 |
| B_110_A | B[9/10] | | 1,50 | 27,9 | 29,7 |
| B_110_B | B[1/10] | | 4,50 | 30,0 | 31,8 |
| B_110_B | B[10/10] | | 4,50 | 28,6 | 30,4 |

All shown dB values are A-weighted

Predictor V2019.02

16/04/2019 10:55:16

Report: Table of Results
Model: progetto_post_B
LAeq: total results for receivers
Group: (main group)
Group Reduction: No

| Name | Receiver | Description | Height | Day | Night |
|---------|----------|-------------|--------|------|-------|
| B_110_B | B[3/10] | | 4,50 | 30,5 | 32,3 |
| B_110_B | B[3/10] | | 4,50 | 30,6 | 32,5 |
| B_110_B | B[4/10] | | 4,50 | 28,6 | 30,5 |
| B_110_B | B[5/10] | | 4,50 | 28,4 | 30,3 |
| B_110_B | B[9/10] | | 4,50 | 28,5 | 30,4 |
| B_111_A | B[1/12] | | 1,50 | 24,6 | 26,4 |
| B_111_A | B[10/12] | | 1,50 | 27,7 | 29,5 |
| B_111_A | B[11/12] | | 1,50 | 26,9 | 28,7 |
| B_111_A | B[12/12] | | 1,50 | 26,8 | 28,6 |
| B_111_A | B[2/12] | | 1,50 | 23,1 | 25,0 |
| B_111_A | B[3/12] | | 1,50 | 21,6 | 23,5 |
| B_111_A | B[7/12] | | 1,50 | 21,8 | 23,7 |
| B_111_A | B[8/12] | | 1,50 | 22,7 | 24,5 |
| B_111_A | B[9/12] | | 1,50 | 23,6 | 25,4 |
| B_111_B | B[1/12] | | 4,50 | 25,0 | 26,8 |
| B_111_B | B[10/12] | | 4,50 | 27,5 | 29,3 |
| B_111_B | B[11/12] | | 4,50 | 27,2 | 29,0 |
| B_111_B | B[12/12] | | 4,50 | 27,4 | 29,3 |
| B_111_B | B[2/12] | | 4,50 | 23,6 | 25,5 |
| B_111_B | B[3/12] | | 4,50 | 22,1 | 23,9 |
| B_111_B | B[7/12] | | 4,50 | 23,5 | 25,3 |
| B_111_B | B[8/12] | | 4,50 | 24,3 | 26,1 |
| B_111_B | B[9/12] | | 4,50 | 24,8 | 26,6 |
| B_112_A | B[1/28] | | 1,50 | 29,4 | 31,2 |
| B_112_A | B[10/28] | | 1,50 | 23,5 | 25,3 |
| B_112_A | B[11/28] | | 1,50 | 21,5 | 23,3 |
| B_112_A | B[12/28] | | 1,50 | 20,0 | 21,8 |
| B_112_A | B[13/28] | | 1,50 | 16,3 | 18,3 |
| B_112_A | B[18/28] | | 1,50 | 24,0 | 25,8 |
| B_112_A | B[19/28] | | 1,50 | 23,7 | 25,6 |
| B_112_A | B[2/28] | | 1,50 | 29,1 | 30,9 |
| B_112_A | B[20/28] | | 1,50 | 27,3 | 29,2 |
| B_112_A | B[21/28] | | 1,50 | 27,7 | 29,5 |
| B_112_A | B[22/28] | | 1,50 | 27,5 | 29,3 |
| B_112_A | B[23/28] | | 1,50 | 26,1 | 28,0 |
| B_112_A | B[24/28] | | 1,50 | 25,8 | 27,6 |
| B_112_A | B[25/28] | | 1,50 | 24,9 | 26,7 |
| B_112_A | B[26/28] | | 1,50 | 24,3 | 26,0 |
| B_112_A | B[27/28] | | 1,50 | 27,5 | 29,3 |
| B_112_A | B[28/28] | | 1,50 | 27,1 | 28,9 |
| B_112_A | B[3/28] | | 1,50 | 29,2 | 31,0 |
| B_112_A | B[4/28] | | 1,50 | 29,2 | 30,9 |
| B_112_A | B[5/28] | | 1,50 | 26,2 | 28,0 |
| B_112_A | B[6/28] | | 1,50 | 26,0 | 27,8 |
| B_112_A | B[7/28] | | 1,50 | 25,7 | 27,5 |
| B_112_A | B[8/28] | | 1,50 | 25,4 | 27,2 |
| B_112_A | B[9/28] | | 1,50 | 24,5 | 26,3 |
| B_112_A | B[14/28] | | 4,50 | 30,6 | 32,4 |
| B_112_A | B[15/28] | | 4,50 | 24,2 | 26,0 |
| B_112_A | B[16/28] | | 4,50 | 22,3 | 24,1 |
| B_112_B | B[1/28] | | 4,50 | 20,1 | 21,9 |
| B_112_B | B[13/28] | | 4,50 | 16,2 | 18,3 |
| B_112_B | B[18/28] | | 4,50 | 24,4 | 26,2 |
| B_112_B | B[19/28] | | 4,50 | 24,4 | 26,2 |
| B_112_B | B[2/28] | | 4,50 | 30,0 | 31,8 |

All shown dB values are A-weighted

Predictor V2019.02

16/04/2019 10:55:16

Report: Table of Results
Model: progetto_post_B
LAeq: total results for receivers
Group: (main group)
Group Reduction: No

| Name | Receiver | Description | Height | Day | Night |
|---------|----------|-------------|--------|------|-------|
| B_112_B | B[20/28] | | 4,50 | 27,5 | 29,3 |
| B_112_B | B[21/28] | | 4,50 | 27,6 | 29,5 |
| B_112_B | B[22/28] | | 4,50 | 27,6 | 29,5 |
| B_112_B | B[23/28] | | 4,50 | 26,7 | 28,6 |
| B_112_B | B[24/28] | | 4,50 | 26,5 | 28,3 |
| B_112_B | B[25/28] | | 4,50 | 25,5 | 27,3 |
| B_112_B | B[26/28] | | 4,50 | 25,2 | 27,0 |
| B_112_B | B[27/28] | | 4,50 | 28,9 | 30,8 |
| B_112_B | B[28/28] | | 4,50 | 28,8 | 30,6 |
| B_112_B | B[3/28] | | 4,50 | 30,0 | 31,9 |
| B_112_B | B[4/28] | | 4,50 | 30,1 | 31,9 |
| B_112_B | B[5/28] | | 4,50 | 27,6 | 29,5 |
| B_112_B | B[6/28] | | 4,50 | 27,1 | 29,0 |
| B_112_B | B[7/28] | | 4,50 | 26,8 | 28,6 |
| B_112_B | B[9/28] | | 4,50 | 26,5 | 28,4 |
| B_112_B | B[9/28] | | 4,50 | 25,5 | 27,3 |
| B_112_C | B[1/28] | | 7,50 | 31,2 | 33,1 |
| B_112_C | B[10/28] | | 7,50 | 25,2 | 27,1 |
| B_112_C | B[11/28] | | 7,50 | 23,3 | 25,2 |
| B_112_C | B[12/28] | | 7,50 | 20,9 | 22,8 |
| B_112_C | B[13/28] | | 7,50 | 17,1 | 19,2 |
| B_112_C | B[18/28] | | 7,50 | 24,5 | 26,4 |
| B_112_C | B[19/28] | | 7,50 | 24,6 | 26,4 |
| B_112_C | B[2/28] | | 7,50 | 30,5 | 32,4 |
| B_112_C | B[20/28] | | 7,50 | 27,7 | 29,5 |
| B_112_C | B[21/28] | | 7,50 | 27,9 | 29,7 |
| B_112_C | B[22/28] | | 7,50 | 28,1 | 29,9 |
| B_112_C | B[23/28] | | 7,50 | 27,5 | 29,4 |
| B_112_C | B[24/28] | | 7,50 | 27,6 | 29,4 |
| B_112_C | B[25/28] | | 7,50 | 26,2 | 28,0 |
| B_112_C | B[26/28] | | 7,50 | 25,7 | 27,5 |
| B_112_C | B[27/28] | | 7,50 | 29,3 | 31,2 |
| B_112_C | B[28/28] | | 7,50 | 29,5 | 31,3 |
| B_112_C | B[3/28] | | 7,50 | 30,2 | 32,1 |
| B_112_C | B[4/28] | | 7,50 | 30,4 | 32,3 |
| B_112_C | B[5/28] | | 7,50 | 28,5 | 30,3 |
| B_112_C | B[6/28] | | 7,50 | 28,0 | 29,9 |
| B_112_C | B[7/28] | | 7,50 | 28,1 | 30,0 |
| B_112_C | B[8/28] | | 7,50 | 27,3 | 29,1 |
| B_112_C | B[9/28] | | 7,50 | 26,5 | 28,3 |
| B_112_D | B[1/28] | | 10,50 | 31,8 | 33,6 |
| B_112_D | B[10/28] | | 10,50 | 25,6 | 27,5 |
| B_112_D | B[11/28] | | 10,50 | 24,0 | 25,9 |
| B_112_D | B[12/28] | | 10,50 | 21,1 | 24,0 |
| B_112_D | B[13/28] | | 10,50 | 18,3 | 20,5 |
| B_112_D | B[18/28] | | 10,50 | 25,7 | 27,6 |
| B_112_D | B[19/28] | | 10,50 | 25,7 | 27,5 |
| B_112_D | B[2/28] | | 10,50 | 31,3 | 33,1 |
| B_112_D | B[20/28] | | 10,50 | 28,8 | 30,6 |
| B_112_D | B[21/28] | | 10,50 | 29,0 | 30,9 |
| B_112_D | B[22/28] | | 10,50 | 29,2 | 31,1 |
| B_112_D | B[23/28] | </ | | | |

Report: Table of Results
Model: progetto_post_B
LAcq: total results for receivers
Group: (main group)
Group Reduction: No

Table with columns: Name, Receiver, Description, Height, Day, Night. Rows list various receiver locations like B_124_A B[2/23], B_124_B B[2/23], etc.

Report: Table of Results
Model: progetto_post_B
LAcq: total results for receivers
Group: (main group)
Group Reduction: No

Table with columns: Name, Receiver, Description, Height, Day, Night. Rows list various receiver locations like B_124_D B[11/23], B_124_C B[12/23], etc.

Report: Table of Results
Model: progetto_post_B
LAcq: total results for receivers
Group: (main group)
Group Reduction: No

Table with columns: Name, Receiver, Description, Height, Day, Night. Rows list various receiver locations like B_125_C B[9/19], B_125_D B[9/19], etc.

Report: Table of Results
Model: progetto_post_B
LAcq: total results for receivers
Group: (main group)
Group Reduction: No

Table with columns: Name, Receiver, Description, Height, Day, Night. Rows list various receiver locations like B_13_A B[5/66], B_13_B B[5/66], etc.

Report: Table of Results
Model: progetto_post_B
LAcq: total results for receivers
Group: (main group)
Group Reduction: No

Table with columns: Name, Receiver, Description, Height, Day, Night. Rows list various receiver locations like B_13_C B[6/66], B_13_D B[6/66], etc.

Report: Table of Results
Model: progetto_post_B
LAcq: total results for receivers
Group: (main group)
Group Reduction: No

Table with columns: Name, Receiver, Description, Height, Day, Night. Rows list various receiver locations like B_13_A B[6/66], B_13_B B[6/66], etc.

Progetto: leq in facciata ai recettori HYDEA S.p.A. Report: Table of Results Model: progetto_post_B LAeq: total results for receivers Group: (main group) Group Reduction: No

| Name | Receiver | Description | Height | Day | Night |
|--------|----------|-------------|--------|------|-------|
| B_14_A | B[36/40] | 1,50 | 39,2 | 41,0 | |
| B_14_A | B[37/40] | 1,50 | 38,7 | 40,6 | |
| B_14_A | B[38/40] | 1,50 | 38,9 | 40,7 | |
| B_14_A | B[39/40] | 1,50 | 40,1 | 42,0 | |
| B_14_A | B[40/40] | 1,50 | 41,6 | 43,5 | |
| B_14_B | B[1/40] | 4,50 | 41,2 | 43,1 | |
| B_14_B | B[2/40] | 4,50 | 41,2 | 43,1 | |
| B_14_B | B[25/40] | 4,50 | 37,5 | 39,4 | |
| B_14_B | B[26/40] | 4,50 | 39,1 | 40,9 | |
| B_14_B | B[27/40] | 4,50 | 38,3 | 40,1 | |
| B_14_B | B[28/40] | 4,50 | 39,6 | 41,4 | |
| B_14_B | B[29/40] | 4,50 | 38,6 | 40,5 | |
| B_14_B | B[3/40] | 4,50 | 40,9 | 42,8 | |
| B_14_B | B[30/40] | 4,50 | 38,7 | 40,6 | |
| B_14_B | B[31/40] | 4,50 | 41,7 | 43,5 | |
| B_14_B | B[32/40] | 4,50 | 42,0 | 43,9 | |
| B_14_B | B[34/40] | 4,50 | 41,7 | 43,6 | |
| B_14_B | B[34/40] | 4,50 | 41,5 | 43,4 | |
| B_14_B | B[35/40] | 4,50 | 41,7 | 43,6 | |
| B_14_B | B[36/40] | 4,50 | 42,2 | 44,1 | |
| B_14_B | B[37/40] | 4,50 | 42,1 | 44,0 | |
| B_14_B | B[38/40] | 4,50 | 42,2 | 44,1 | |
| B_14_B | B[39/40] | 4,50 | 42,6 | 44,5 | |
| B_14_B | B[40/40] | 4,50 | 43,2 | 45,0 | |
| B_14_C | B[1/40] | 7,50 | 42,8 | 44,6 | |
| B_14_C | B[2/40] | 7,50 | 42,7 | 44,5 | |
| B_14_C | B[25/40] | 7,50 | 41,2 | 43,0 | |
| B_14_C | B[26/40] | 7,50 | 41,5 | 43,4 | |
| B_14_C | B[27/40] | 7,50 | 41,5 | 43,4 | |
| B_14_C | B[28/40] | 7,50 | 43,1 | 44,9 | |
| B_14_C | B[29/40] | 7,50 | 43,2 | 45,0 | |
| B_14_C | B[3/40] | 7,50 | 42,3 | 44,1 | |
| B_14_C | B[30/40] | 7,50 | 42,9 | 44,8 | |
| B_14_C | B[31/40] | 7,50 | 43,5 | 45,3 | |
| B_14_C | B[32/40] | 7,50 | 43,7 | 45,5 | |
| B_14_C | B[33/40] | 7,50 | 43,5 | 45,3 | |
| B_14_C | B[34/40] | 7,50 | 43,3 | 45,2 | |
| B_14_C | B[35/40] | 7,50 | 43,5 | 45,4 | |
| B_14_C | B[36/40] | 7,50 | 43,9 | 45,7 | |
| B_14_C | B[37/40] | 7,50 | 43,9 | 45,8 | |
| B_14_C | B[38/40] | 7,50 | 44,0 | 45,9 | |
| B_14_C | B[39/40] | 7,50 | 44,3 | 46,2 | |
| B_14_C | B[40/40] | 7,50 | 44,9 | 46,8 | |
| B_14_D | B[1/40] | 10,50 | 43,2 | 45,0 | |
| B_14_D | B[2/40] | 10,50 | 43,3 | 45,2 | |
| B_14_D | B[25/40] | 10,50 | 42,4 | 44,2 | |
| B_14_D | B[26/40] | 10,50 | 42,8 | 44,6 | |
| B_14_D | B[27/40] | 10,50 | 42,9 | 44,8 | |
| B_14_D | B[28/40] | 10,50 | 44,9 | 46,7 | |
| B_14_D | B[29/40] | 10,50 | 45,0 | 46,9 | |
| B_14_D | B[3/40] | 10,50 | 43,2 | 45,1 | |
| B_14_D | B[30/40] | 10,50 | 44,9 | 46,7 | |
| B_14_D | B[31/40] | 10,50 | 45,3 | 47,1 | |
| B_14_D | B[32/40] | 10,50 | 45,3 | 47,1 | |
| B_14_D | B[33/40] | 10,50 | 45,1 | 46,9 | |

All shown dB values are A-weighted
Predictor V2019.02 16/04/2019 10:55:16

Progetto: leq in facciata ai recettori HYDEA S.p.A. Report: Table of Results Model: progetto_post_B LAeq: total results for receivers Group: (main group) Group Reduction: No

| Name | Receiver | Description | Height | Day | Night |
|--------|----------|-------------|--------|------|-------|
| B_14_D | B[34/40] | 10,50 | 44,9 | 46,8 | |
| B_14_D | B[35/40] | 10,50 | 45,0 | 46,9 | |
| B_14_D | B[36/40] | 10,50 | 45,3 | 47,1 | |
| B_14_D | B[37/40] | 10,50 | 45,4 | 47,2 | |
| B_14_D | B[38/40] | 10,50 | 45,4 | 47,3 | |
| B_14_D | B[39/40] | 10,50 | 45,5 | 47,3 | |
| B_14_D | B[40/40] | 10,50 | 45,6 | 47,4 | |
| B_15_A | B[1/32] | 1,50 | 41,7 | 43,6 | |
| B_15_A | B[10/32] | 1,50 | 36,2 | 38,1 | |
| B_15_A | B[11/32] | 1,50 | 36,1 | 37,9 | |
| B_15_A | B[12/32] | 1,50 | 35,8 | 37,6 | |
| B_15_A | B[13/32] | 1,50 | 35,8 | 37,7 | |
| B_15_A | B[14/32] | 1,50 | 31,4 | 33,2 | |
| B_15_A | B[15/32] | 1,50 | 30,8 | 32,6 | |
| B_15_A | B[16/32] | 1,50 | 31,2 | 33,0 | |
| B_15_A | B[2/32] | 1,50 | 41,5 | 43,4 | |
| B_15_A | B[3/32] | 1,50 | 41,3 | 43,1 | |
| B_15_A | B[30/32] | 1,50 | 35,5 | 37,3 | |
| B_15_A | B[31/32] | 1,50 | 39,4 | 41,2 | |
| B_15_A | B[32/32] | 1,50 | 39,5 | 41,4 | |
| B_15_A | B[4/32] | 1,50 | 41,2 | 43,0 | |
| B_15_A | B[5/32] | 1,50 | 41,2 | 43,1 | |
| B_15_A | B[6/32] | 1,50 | 41,0 | 42,9 | |
| B_15_A | B[7/32] | 1,50 | 40,9 | 42,8 | |
| B_15_A | B[8/32] | 1,50 | 40,8 | 42,7 | |
| B_15_A | B[9/32] | 1,50 | 36,5 | 38,4 | |
| B_15_B | B[1/32] | 4,50 | 43,2 | 45,1 | |
| B_15_B | B[10/32] | 4,50 | 37,8 | 39,7 | |
| B_15_B | B[11/32] | 4,50 | 37,6 | 39,5 | |
| B_15_B | B[12/32] | 4,50 | 37,4 | 39,3 | |
| B_15_B | B[13/32] | 4,50 | 37,3 | 39,2 | |
| B_15_B | B[14/32] | 4,50 | 33,2 | 35,1 | |
| B_15_B | B[15/32] | 4,50 | 32,1 | 33,9 | |
| B_15_B | B[16/32] | 4,50 | 32,8 | 34,6 | |
| B_15_B | B[2/32] | 4,50 | 43,2 | 45,0 | |
| B_15_B | B[3/32] | 4,50 | 43,0 | 44,8 | |
| B_15_B | B[30/32] | 4,50 | 36,4 | 38,2 | |
| B_15_B | B[31/32] | 4,50 | 41,0 | 42,9 | |
| B_15_B | B[32/32] | 4,50 | 41,4 | 43,2 | |
| B_15_B | B[4/32] | 4,50 | 42,9 | 44,7 | |
| B_15_B | B[5/32] | 4,50 | 42,8 | 44,7 | |
| B_15_B | B[6/32] | 4,50 | 42,5 | 44,4 | |
| B_15_B | B[7/32] | 4,50 | 42,4 | 44,2 | |
| B_15_B | B[8/32] | 4,50 | 42,3 | 44,2 | |
| B_15_B | B[9/32] | 4,50 | 38,1 | 39,9 | |
| B_15_C | B[1/32] | 7,50 | 44,6 | 46,4 | |
| B_15_C | B[10/32] | 7,50 | 39,0 | 40,9 | |
| B_15_C | B[11/32] | 7,50 | 38,9 | 40,7 | |
| B_15_C | B[12/32] | 7,50 | 38,6 | 40,4 | |
| B_15_C | B[13/32] | 7,50 | 38,4 | 40,3 | |
| B_15_C | B[14/32] | 7,50 | 34,4 | 36,3 | |
| B_15_C | B[15/32] | 7,50 | 33,3 | 35,1 | |
| B_15_C | B[16/32] | 7,50 | 33,7 | 35,5 | |
| B_15_C | B[2/32] | 7,50 | 44,4 | 46,3 | |
| B_15_C | B[3/32] | 7,50 | 44,2 | 46,1 | |

All shown dB values are A-weighted
Predictor V2019.02 16/04/2019 10:55:16

Progetto: leq in facciata ai recettori HYDEA S.p.A. Report: Table of Results Model: progetto_post_B LAeq: total results for receivers Group: (main group) Group Reduction: No

| Name | Receiver | Description | Height | Day | Night |
|--------|----------|-------------|--------|------|-------|
| B_15_C | B[30/32] | 7,50 | 37,7 | 39,5 | |
| B_15_C | B[31/32] | 7,50 | 42,3 | 44,2 | |
| B_15_C | B[32/32] | 7,50 | 42,6 | 44,5 | |
| B_15_C | B[4/32] | 7,50 | 44,1 | 46,0 | |
| B_15_C | B[5/32] | 7,50 | 44,0 | 45,8 | |
| B_15_C | B[6/32] | 7,50 | 43,8 | 45,7 | |
| B_15_C | B[7/32] | 7,50 | 43,7 | 45,5 | |
| B_15_C | B[8/32] | 7,50 | 43,6 | 45,5 | |
| B_15_C | B[9/32] | 7,50 | 39,3 | 41,2 | |
| B_15_D | B[1/32] | 10,50 | 45,0 | 46,9 | |
| B_15_D | B[10/32] | 10,50 | 39,7 | 41,6 | |
| B_15_D | B[11/32] | 10,50 | 39,6 | 41,4 | |
| B_15_D | B[12/32] | 10,50 | 39,4 | 41,2 | |
| B_15_D | B[13/32] | 10,50 | 39,3 | 41,2 | |
| B_15_D | B[14/32] | 10,50 | 35,9 | 37,7 | |
| B_15_D | B[15/32] | 10,50 | 35,4 | 37,2 | |
| B_15_D | B[16/32] | 10,50 | 35,8 | 37,7 | |
| B_15_D | B[2/32] | 10,50 | 44,8 | 46,7 | |
| B_15_D | B[3/32] | 10,50 | 44,7 | 46,5 | |
| B_15_D | B[30/32] | 10,50 | 38,7 | 40,5 | |
| B_15_D | B[31/32] | 10,50 | 43,1 | 44,9 | |
| B_15_D | B[32/32] | 10,50 | 43,1 | 44,9 | |
| B_15_D | B[4/32] | 10,50 | 44,6 | 46,4 | |
| B_15_D | B[5/32] | 10,50 | 44,5 | 46,4 | |
| B_15_D | B[6/32] | 10,50 | 44,4 | 46,2 | |
| B_15_D | B[7/32] | 10,50 | 44,3 | 46,2 | |
| B_15_D | B[8/32] | 10,50 | 44,2 | 46,0 | |
| B_15_D | B[9/32] | 10,50 | 39,9 | 41,8 | |
| B_16_A | B[1/21] | 1,50 | 43,2 | 45,1 | |
| B_16_A | B[10/21] | 1,50 | 38,5 | 40,3 | |
| B_16_A | B[19/21] | 1,50 | 41,2 | 43,1 | |
| B_16_A | B[2/21] | 1,50 | 44,2 | 46,1 | |
| B_16_A | B[20/21] | 1,50 | 41,4 | 43,3 | |
| B_16_A | B[21/21] | 1,50 | 41,3 | 43,1 | |
| B_16_A | B[3/21] | 1,50 | 44,3 | 46,2 | |
| B_16_A | B[4/21] | 1,50 | 44,6 | 46,5 | |
| B_16_A | B[5/21] | 1,50 | 44,5 | 46,4 | |
| B_16_A | B[6/21] | 1,50 | 44,4 | 46,3 | |
| B_16_A | B[7/21] | 1,50 | 45,0 | 46,8 | |
| B_16_A | B[8/21] | 1,50 | 42,8 | 44,7 | |
| B_16_A | B[9/21] | 1,50 | 42,4 | 44,3 | |
| B_16_B | B[1/21] | 4,50 | 44,1 | 45,9 | |
| B_16_B | B[10/21] | 4,50 | 38,0 | 39,8 | |
| B_16_B | B[19/21] | 4,50 | 42,8 | 44,7 | |
| B_16_B | B[2/21] | 4,50 | 45,0 | 46,8 | |
| B_16_B | B[20/21] | 4,50 | 42,8 | 44,6 | |
| B_16_B | B[21/21] | 4,50 | 42,0 | 43,9 | |
| B_16_B | B[3/21] | 4,50 | 44,2 | 46,1 | |
| B_16_B | B[4/21] | 4,50 | 44,2 | 46,1 | |
| B_16_B | B[5/21] | 4,50 | 42,8 | 44,6 | |
| B_16_B | B[6/21] | 4,50 | 42,7 | 44,6 | |
| B_16_B | B[7/21] | 4,50 | 43,3 | 45,1 | |
| B_16_B | B[8/21] | 4,50 | 43,3 | 45,1 | |
| B_16_B | B[9/21] | 4,50 | 42,5 | 44,4 | |
| B_16_C | B[1/21] | 7,50 | 44,8 | 46,6 | |

All shown dB values are A-weighted
Predictor V2019.02 16/04/2019 10:55:16

Progetto: leq in facciata ai recettori HYDEA S.p.A. Report: Table of Results Model: progetto_post_B LAeq: total results for receivers Group: (main group) Group Reduction: No

| Name | Receiver | Description | Height | Day | Night |
|--------|----------|-------------|--------|------|-------|
| B_16_C | B[10/21] | 7,50 | 38,9 | 40,7 | |
| B_16_C | B[19/21] | 7,50 | 42,2 | 44,0 | |
| B_16_C | B[2/21] | 7,50 | 43,2 | 45,0 | |
| B_16_C | B[20/21] | 7,50 | 42,3 | 44,2 | |
| B_16_C | B[21/21] | 7,50 | 43,1 | 44,9 | |
| B_16_C | B[3/21] | 7,50 | 43,4 | 45,2 | |
| B_16_C | B[4/21] | 7,50 | 43,9 | 45,8 | |
| B_16_C | B[5/21] | 7,50 | 43,6 | 45,4 | |
| B_16_C | B[6/21] | 7,50 | 43,5 | 45,3 | |
| B_16_C | B[7/21] | 7,50 | 44,0 | 45,8 | |
| B_16_C | B[8/21] | 7,50 | 44,1 | 45,9 | |
| B_16_C | B[9/21] | 7,50 | 43,4 | 45,2 | |
| B_17_A | B[1/13] | 1,50 | 60,3 | 62,1 | |
| B_17_A | B[10/13] | 1,50 | 56,4 | 58,2 | |
| B_17_A | B[11/13] | 1,50 | 56,7 | 58,5 | |
| B_17_A | B[13/13] | 1,50 | 57,3 | 59,1 | |
| B_17_A | B[2/13] | 1,50 | 60,3 | 62,1 | |
| B_17_A | B[3/13] | 1,50 | 60,4 | 62,1 | |
| B_17_A | B[4/13] | 1,50 | 57,8 | 59,6 | |
| B_17_A | B[5/13] | 1,50 | 57,4 | 59,2 | |
| B_17_A | B[6/13] | 1,50 | 41,9 | 43,7 | |
| B_17_A | B[7/13] | 1,50 | 33,6 | 35,5 | |
| B_17_A | B[8/13] | 1,50 | 34,2 | 36,1 | |
| B_17_A | B[9/13] | 1,50 | 34,2 | 36,0 | |
| B_17_B | B[1/13] | 4,50 | 61,0 | 62,8 | |
| B_17_B | B[10/13] | 4,50 | 59,5 | 61,3 | |
| B_17_B | B[11/13] | 4,50 | 57,2 | 59,0 | |
| B_17_B | B[12/13] | 4,50 | 57,5 | 59,2 | |
| B_17_B | B[13/13] | 4,50 | 58,0 | 59,7 | |
| B_17_B | B[2/13] | 4,50 | 61,0 | 62,8 | |
| B_17_B | B[3/13] | 4,50 | 61,0 | 62,8 | |
| B_17_B | B[4/13] | 4,50 | 58,5 | 60,2 | |
| B_17_B | B[5/13] | 4,50 | 58,1 | 59,9 | |
| B_17_B | B[6/13] | 4,50 | 46,8 | 48,6 | |
| B_17_B | B[7/13] | 4,50 | 45,6 | 47,4 | |
| B_17_B | B[8/13] | 4,50 | 46,2 | 48,0 | |
| B_17_B | B[9/13] | 4,50 | 47,2 | 49,0 | |
| B_17_C | B[1/13] | 7,50 | 58,7 | 60,5 | |
| B_17_C | B[10/13] | 7,50 | 57,7 | 59,4 | |
| B_17_C | B[11/13] | 7,50 | 57,8 | 59,6 | |
| B_17_C | B[12/13] | 7,50 | 58,1 | 59,8 | |
| B_17_C | B[13/13] | 7,50 | 58,5 | 60,2 | |
| B_17_C | B[2/13] | 7,50 | 58,7 | 60,5 | |
| B_17_C | B[3/13] | 7,50 | 58,7 | 60,5 | |
| B_17_C | B[4/13] | 7,50 | 58,5 | 60,3 | |
| B_17_C | B[5/13] | 7,50 | 58,1 | 59,9 | |
| B_17_C | B[6/13] | 7,50 | 57,8 | 59,5 | |
| B_17_C | B[7/13] | 7,50 | 57,7 | 59,4 | |
| B_17_C | B[8/13] | 7,50 | 57,7 | 59,4 | |
| B_17_C | B[9/13] | | | | |

Progetto: leq in facciata ai recettori HYDEA S.p.A.

Report: Table of Results
Model: progetto_post_B
LAeq: total results for receivers
Group: (main group)
Group Reduction: No

| Name | Receiver | Description | Height | Day | Night |
|--------|----------|-------------|--------|------|-------|
| B_22_A | B[26/49] | 1,50 | 27,4 | 28,7 | |
| B_22_A | B[37/49] | 1,50 | 26,7 | 28,4 | |
| B_22_A | B[38/49] | 1,50 | 26,9 | 28,6 | |
| B_22_A | B[39/49] | 1,50 | 27,4 | 29,2 | |
| B_22_A | B[44/49] | 1,50 | 31,4 | 33,2 | |
| B_22_A | B[40/49] | 1,50 | 30,8 | 32,6 | |
| B_22_A | B[41/49] | 1,50 | 30,8 | 32,6 | |
| B_22_A | B[42/49] | 1,50 | 31,1 | 32,5 | |
| B_22_A | B[43/49] | 1,50 | 30,7 | 32,4 | |
| B_22_A | B[44/49] | 1,50 | 30,8 | 32,6 | |
| B_22_A | B[45/49] | 1,50 | 32,2 | 34,0 | |
| B_22_A | B[46/49] | 1,50 | 33,1 | 35,0 | |
| B_22_A | B[47/49] | 1,50 | 34,4 | 36,3 | |
| B_22_A | B[48/49] | 1,50 | 34,6 | 36,4 | |
| B_22_A | B[49/49] | 1,50 | 34,8 | 36,7 | |
| B_22_A | B[54/49] | 1,50 | 32,8 | 34,6 | |
| B_22_A | B[64/49] | 1,50 | 33,4 | 35,2 | |
| B_22_B | B[14/49] | 4,50 | 36,9 | 38,7 | |
| B_22_B | B[24/49] | 4,50 | 36,6 | 38,5 | |
| B_22_B | B[34/49] | 4,50 | 33,5 | 35,3 | |
| B_22_B | B[33/49] | 4,50 | 26,7 | 28,5 | |
| B_22_B | B[34/49] | 4,50 | 27,6 | 29,4 | |
| B_22_B | B[35/49] | 4,50 | 28,0 | 29,8 | |
| B_22_B | B[36/49] | 4,50 | 27,6 | 29,4 | |
| B_22_B | B[37/49] | 4,50 | 27,3 | 29,1 | |
| B_22_B | B[38/49] | 4,50 | 28,2 | 30,0 | |
| B_22_B | B[39/49] | 4,50 | 29,8 | 31,7 | |
| B_22_B | B[44/49] | 4,50 | 34,3 | 36,1 | |
| B_22_B | B[40/49] | 4,50 | 32,9 | 34,7 | |
| B_22_B | B[41/49] | 4,50 | 32,2 | 34,0 | |
| B_22_B | B[42/49] | 4,50 | 32,1 | 33,9 | |
| B_22_B | B[43/49] | 4,50 | 32,5 | 34,3 | |
| B_22_B | B[44/49] | 4,50 | 32,8 | 34,6 | |
| B_22_B | B[45/49] | 4,50 | 34,1 | 35,9 | |
| B_22_B | B[46/49] | 4,50 | 35,5 | 37,3 | |
| B_22_B | B[47/49] | 4,50 | 36,6 | 38,4 | |
| B_22_B | B[48/49] | 4,50 | 37,4 | 39,3 | |
| B_22_B | B[49/49] | 4,50 | 37,8 | 39,7 | |
| B_22_B | B[54/49] | 4,50 | 35,1 | 36,9 | |
| B_22_B | B[64/49] | 4,50 | 35,0 | 36,9 | |
| B_22_C | B[14/49] | 7,50 | 38,7 | 40,5 | |
| B_22_C | B[24/49] | 7,50 | 38,5 | 40,3 | |
| B_22_C | B[34/49] | 7,50 | 37,4 | 39,2 | |
| B_22_C | B[33/49] | 7,50 | 28,5 | 30,4 | |
| B_22_C | B[34/49] | 7,50 | 29,3 | 31,2 | |
| B_22_C | B[35/49] | 7,50 | 29,4 | 31,2 | |
| B_22_C | B[36/49] | 7,50 | 30,1 | 32,0 | |
| B_22_C | B[37/49] | 7,50 | 29,9 | 31,8 | |
| B_22_C | B[38/49] | 7,50 | 31,0 | 32,8 | |
| B_22_C | B[39/49] | 7,50 | 31,8 | 33,6 | |
| B_22_C | B[44/49] | 7,50 | 38,0 | 39,9 | |
| B_22_C | B[40/49] | 7,50 | 32,8 | 34,7 | |
| B_22_C | B[41/49] | 7,50 | 32,5 | 34,4 | |
| B_22_C | B[42/49] | 7,50 | 32,9 | 34,8 | |
| B_22_C | B[43/49] | 7,50 | 33,5 | 35,4 | |

All shown dB values are A-weighted

Predictor V2019.02 16/04/2019 10:55:16

Progetto: leq in facciata ai recettori HYDEA S.p.A.

Report: Table of Results
Model: progetto_post_B
LAeq: total results for receivers
Group: (main group)
Group Reduction: No

| Name | Receiver | Description | Height | Day | Night |
|--------|----------|-------------|--------|------|-------|
| B_22_C | B[44/49] | 7,50 | 34,5 | 36,4 | |
| B_22_C | B[45/49] | 7,50 | 36,0 | 37,9 | |
| B_22_C | B[46/49] | 7,50 | 37,4 | 39,3 | |
| B_22_C | B[47/49] | 7,50 | 38,5 | 40,4 | |
| B_22_C | B[48/49] | 7,50 | 39,3 | 41,2 | |
| B_22_C | B[49/49] | 7,50 | 39,6 | 41,5 | |
| B_22_C | B[54/49] | 7,50 | 37,9 | 39,8 | |
| B_22_C | B[64/49] | 7,50 | 37,3 | 39,2 | |
| B_23_A | B[11/13] | 1,50 | 31,6 | 33,3 | |
| B_23_A | B[12/13] | 1,50 | 29,9 | 31,7 | |
| B_23_A | B[13/13] | 1,50 | 29,8 | 31,6 | |
| B_23_A | B[21/13] | 1,50 | 31,6 | 33,4 | |
| B_23_A | B[31/13] | 1,50 | 31,6 | 33,4 | |
| B_23_A | B[41/13] | 1,50 | 31,6 | 33,4 | |
| B_23_A | B[51/13] | 1,50 | 30,5 | 32,3 | |
| B_23_A | B[61/13] | 1,50 | 30,7 | 32,5 | |
| B_23_B | B[11/13] | 4,50 | 34,4 | 36,3 | |
| B_23_B | B[12/13] | 4,50 | 33,1 | 34,9 | |
| B_23_B | B[13/13] | 4,50 | 33,3 | 35,2 | |
| B_23_B | B[21/13] | 4,50 | 34,8 | 36,6 | |
| B_23_B | B[31/13] | 4,50 | 34,7 | 36,6 | |
| B_23_B | B[41/13] | 4,50 | 34,7 | 36,6 | |
| B_23_B | B[51/13] | 4,50 | 34,4 | 36,2 | |
| B_23_B | B[61/13] | 4,50 | 34,8 | 36,6 | |
| B_24_A | B[110] | 1,50 | 31,8 | 33,6 | |
| B_24_A | B[1010] | 1,50 | 29,7 | 31,5 | |
| B_24_A | B[210] | 1,50 | 31,9 | 33,7 | |
| B_24_A | B[310] | 1,50 | 31,8 | 33,6 | |
| B_24_A | B[410] | 1,50 | 31,8 | 33,7 | |
| B_24_A | B[510] | 1,50 | 31,1 | 32,9 | |
| B_24_A | B[810] | 1,50 | 30,2 | 32,0 | |
| B_24_A | B[910] | 1,50 | 30,6 | 32,4 | |
| B_24_B | B[110] | 4,50 | 34,6 | 36,4 | |
| B_24_B | B[1010] | 4,50 | 34,0 | 35,9 | |
| B_24_B | B[210] | 4,50 | 34,2 | 36,0 | |
| B_24_B | B[310] | 4,50 | 33,9 | 35,7 | |
| B_24_B | B[410] | 4,50 | 34,1 | 35,9 | |
| B_24_B | B[510] | 4,50 | 33,5 | 35,1 | |
| B_24_B | B[810] | 4,50 | 34,2 | 36,0 | |
| B_24_B | B[910] | 4,50 | 34,7 | 36,5 | |
| B_24_C | B[110] | 7,50 | 37,4 | 39,3 | |
| B_24_C | B[1010] | 7,50 | 37,0 | 38,8 | |
| B_24_C | B[210] | 7,50 | 37,1 | 39,0 | |
| B_24_C | B[310] | 7,50 | 36,7 | 38,6 | |
| B_24_C | B[410] | 7,50 | 36,6 | 38,4 | |
| B_24_C | B[510] | 7,50 | 35,5 | 37,3 | |
| B_24_C | B[810] | 7,50 | 36,5 | 38,4 | |
| B_24_C | B[910] | 7,50 | 36,8 | 38,7 | |
| B_25_A | B[112] | 1,50 | 33,3 | 35,1 | |
| B_25_A | B[1012] | 1,50 | 29,4 | 31,2 | |
| B_25_A | B[1112] | 1,50 | 31,7 | 33,5 | |
| B_25_A | B[1212] | 1,50 | 31,3 | 33,1 | |
| B_25_A | B[212] | 1,50 | 34,2 | 36,0 | |
| B_25_A | B[312] | 1,50 | 34,0 | 35,8 | |
| B_25_B | B[112] | 4,50 | 34,3 | 36,1 | |

All shown dB values are A-weighted

Predictor V2019.02 16/04/2019 10:55:16

Progetto: leq in facciata ai recettori HYDEA S.p.A.

Report: Table of Results
Model: progetto_post_B
LAeq: total results for receivers
Group: (main group)
Group Reduction: No

| Name | Receiver | Description | Height | Day | Night |
|--------|----------|-------------|--------|------|-------|
| B_25_B | B[1012] | 4,50 | 31,1 | 32,9 | |
| B_25_B | B[1112] | 4,50 | 33,4 | 35,3 | |
| B_25_B | B[1212] | 4,50 | 32,6 | 34,5 | |
| B_25_B | B[212] | 4,50 | 35,1 | 36,9 | |
| B_25_B | B[312] | 4,50 | 34,6 | 36,4 | |
| B_25_C | B[112] | 7,50 | 36,6 | 38,5 | |
| B_25_C | B[1012] | 7,50 | 33,9 | 35,7 | |
| B_25_C | B[1112] | 7,50 | 36,4 | 38,3 | |
| B_25_C | B[1212] | 7,50 | 35,7 | 37,5 | |
| B_25_C | B[212] | 7,50 | 37,2 | 39,1 | |
| B_25_C | B[312] | 7,50 | 36,6 | 38,5 | |
| B_25_D | B[112] | 10,50 | 38,2 | 40,1 | |
| B_25_D | B[1012] | 10,50 | 35,7 | 37,6 | |
| B_25_D | B[1112] | 10,50 | 36,7 | 38,6 | |
| B_25_D | B[1212] | 10,50 | 37,8 | 39,6 | |
| B_25_D | B[212] | 10,50 | 37,9 | 39,8 | |
| B_25_D | B[312] | 10,50 | 37,4 | 39,2 | |
| B_26_A | B[112] | 1,50 | 33,9 | 35,7 | |
| B_26_A | B[1012] | 1,50 | 29,7 | 31,4 | |
| B_26_A | B[1112] | 1,50 | 33,5 | 35,3 | |
| B_26_A | B[1212] | 1,50 | 33,1 | 34,9 | |
| B_26_A | B[212] | 1,50 | 34,5 | 36,3 | |
| B_26_A | B[312] | 1,50 | 35,0 | 36,9 | |
| B_26_B | B[112] | 4,50 | 34,9 | 36,7 | |
| B_26_B | B[1012] | 4,50 | 32,4 | 34,2 | |
| B_26_B | B[1112] | 4,50 | 35,4 | 37,2 | |
| B_26_B | B[1212] | 4,50 | 34,8 | 36,6 | |
| B_26_B | B[212] | 4,50 | 35,1 | 36,9 | |
| B_26_B | B[312] | 4,50 | 35,4 | 37,3 | |
| B_26_C | B[112] | 7,50 | 36,5 | 38,3 | |
| B_26_C | B[1012] | 7,50 | 34,9 | 36,8 | |
| B_26_C | B[1112] | 7,50 | 37,1 | 39,0 | |
| B_26_C | B[1212] | 7,50 | 36,6 | 38,5 | |
| B_26_C | B[212] | 7,50 | 36,5 | 38,4 | |
| B_26_C | B[312] | 7,50 | 36,6 | 38,5 | |
| B_26_D | B[112] | 10,50 | 38,7 | 40,6 | |
| B_26_D | B[1012] | 10,50 | 36,7 | 38,6 | |
| B_26_D | B[1112] | 10,50 | 38,8 | 40,7 | |
| B_26_D | B[1212] | 10,50 | 38,7 | 40,6 | |
| B_26_D | B[212] | 10,50 | 38,5 | 40,3 | |
| B_26_D | B[312] | 10,50 | 38,1 | 40,0 | |
| B_27_A | B[127] | 1,50 | 35,6 | 37,4 | |
| B_27_A | B[1027] | 1,50 | 34,8 | 36,6 | |
| B_27_A | B[1127] | 1,50 | 34,6 | 36,4 | |
| B_27_A | B[27] | 1,50 | 34,9 | 36,7 | |
| B_27_A | B[2527] | 1,50 | 33,3 | 35,1 | |
| B_27_A | B[2627] | 1,50 | 34,0 | 35,8 | |
| B_27_A | B[2727] | 1,50 | 34,7 | 36,5 | |
| B_27_A | B[327] | 1,50 | 34,6 | 36,4 | |
| B_27_A | B[427] | 1,50 | 34,8 | 36,6 | |
| B_27_A | B[527] | 1,50 | 34,7 | 36,6 | |
| B_27_A | B[627] | 1,50 | 35,0 | 36,8 | |
| B_27_A | B[727] | 1,50 | 34,0 | 35,8 | |
| B_27_A | B[827] | 1,50 | 34,1 | 36,0 | |
| B_27_A | B[927] | 1,50 | 34,2 | 36,0 | |

All shown dB values are A-weighted

Predictor V2019.02 16/04/2019 10:55:16

Progetto: leq in facciata ai recettori HYDEA S.p.A.

Report: Table of Results
Model: progetto_post_B
LAeq: total results for receivers
Group: (main group)
Group Reduction: No

| Name | Receiver | Description | Height | Day | Night |
|--------|----------|-------------|--------|------|-------|
| B_27_B | B[127] | 4,50 | 36,7 | 38,6 | |
| B_27_B | B[1027] | 4,50 | 35,0 | 36,9 | |
| B_27_B | B[1127] | 4,50 | 34,6 | 36,5 | |
| B_27_B | B[227] | 4,50 | 36,9 | 38,7 | |
| B_27_B | B[2527] | 4,50 | 33,8 | 35,6 | |
| B_27_B | B[2627] | 4,50 | 34,7 | 36,6 | |
| B_27_B | B[2727] | 4,50 | 35,3 | 37,1 | |
| B_27_B | B[327] | 4,50 | 36,8 | 38,7 | |
| B_27_B | B[427] | 4,50 | 36,9 | 38,7 | |
| B_27_B | B[527] | 4,50 | 36,6 | 38,5 | |
| B_27_B | B[627] | 4,50 | 36,7 | 38,5 | |
| B_27_B | B[727] | 4,50 | 35,6 | 37,4 | |
| B_27_B | B[827] | 4,50 | 35,4 | 37,2 | |
| B_27_B | B[927] | 4,50 | 35,3 | 37,2 | |
| B_27_C | B[127] | 7,50 | 38,0 | 39,9 | |
| B_27_C | B[1027] | 7,50 | 35,1 | 37,0 | |
| B_27_C | B[1127] | 7,50 | 34,8 | 36,7 | |
| B_27_C | B[227] | 7,50 | 38,0 | 39,9 | |
| B_27_C | B[2527] | 7,50 | 34,9 | 36,8 | |
| B_27_C | B[2627] | 7,50 | 35,9 | 37,8 | |
| B_27_C | B[2727] | 7,50 | 36,6 | 38,5 | |
| B_27_C | B[327] | 7,50 | 38,0 | 39,8 | |
| B_27_C | B[427] | 7,50 | 38,1 | 40,0 | |
| B_27_C | B[527] | 7,50 | 38,0 | 39,9 | |
| B_27_C | B[627] | 7,50 | 38,0 | 39,9 | |
| B_27_C | B[727] | 7,50 | 36,5 | 38,3 | |
| B_27_C | B[827] | 7,50 | 36,2 | 38,1 | |
| B_27_C | B[927] | 7,50 | 35,9 | 37,7 | |
| B_27_D | B[127] | 10,50 | 39,0 | 40,9 | |
| B_27_D | B[1027] | 10,50 | 36,1 | 38,0 | |
| B_27_D | B[1127] | 10,50 | 36,0 | 37,8 | |
| B_27_D | B[227] | 10,50 | 39,0 | 40,9 | |
| B_27_D | B[2527] | 10,50 | 36,8 | 38,6 | |
| B_27_D | B[2627] | 10,50 | 37,6 | 39,5 | |
| B_27_D | B[2727] | 10,50 | 38,0 | 39,8 | |
| B_27_D | B[327] | 10,50 | 39,0 | 40,9 | |
| B_27_D | B[427] | 10,50 | 39,1 | 41,0 | |
| B_27_D | B[527] | 10,50 | 39,0 | 40,9 | |
| B_27_D | B[627] | 10,50 | 39,0 | 40,9 | |
| B_27_D | B[727] | 10,50 | 36,9 | 38,8 | |
| B_27_D | B[827] | 10,50 | 36,6 | 38,5 | |
| B_27_D | B[927] | 10,50 | 36,4 | 38,2 | |
| B_28_A | B[115] | 1,50 | 33,9 | 35,7 | |
| B_28_A | B[1215] | 1,50 | 33,8 | 35,6 | |
| B_28_A | B[215] | 1,50 | 34,1 | 35,9 | |

Progetto: leq in facciata ai recettori
HYDEA S.p.A.

Report: Table of Results
Model: progetto_post_B
LAeq: total results for receivers
Group: (main group)
Group Reduction: No

| Name | Receiver | Description | Height | Day | Night |
|--------|----------|-------------|--------|------|-------|
| B_30_A | B[16/26] | | 1,50 | 31,3 | 33,1 |
| B_30_A | B[17/26] | | 1,50 | 31,7 | 33,5 |
| B_30_A | B[18/26] | | 1,50 | 32,2 | 34,0 |
| B_30_A | B[19/26] | | 1,50 | 33,4 | 35,3 |
| B_30_A | B[20/26] | | 1,50 | 33,5 | 35,3 |
| B_30_A | B[20/26] | | 1,50 | 33,5 | 35,3 |
| B_30_A | B[21/26] | | 1,50 | 33,8 | 35,6 |
| B_30_A | B[22/26] | | 1,50 | 34,5 | 36,3 |
| B_30_A | B[23/26] | | 1,50 | 34,4 | 36,3 |
| B_30_A | B[24/26] | | 1,50 | 34,3 | 36,1 |
| B_30_A | B[25/26] | | 1,50 | 35,0 | 36,8 |
| B_30_A | B[26/26] | | 1,50 | 35,1 | 36,9 |
| B_30_A | B[3/26] | | 1,50 | 33,4 | 35,2 |
| B_30_A | B[4/26] | | 1,50 | 33,3 | 35,1 |
| B_30_A | B[5/26] | | 1,50 | 31,9 | 33,7 |
| B_30_A | B[6/26] | | 1,50 | 32,1 | 34,0 |
| B_30_A | B[7/26] | | 1,50 | 31,8 | 33,7 |
| B_30_A | B[8/26] | | 1,50 | 29,8 | 31,5 |
| B_30_A | B[9/26] | | 1,50 | 30,4 | 32,2 |
| B_30_B | B[1/26] | | 4,50 | 34,1 | 36,0 |
| B_30_B | B[15/26] | | 4,50 | 30,9 | 32,8 |
| B_30_B | B[16/26] | | 4,50 | 31,3 | 33,1 |
| B_30_B | B[17/26] | | 4,50 | 31,7 | 33,5 |
| B_30_B | B[18/26] | | 4,50 | 32,2 | 34,1 |
| B_30_B | B[19/26] | | 4,50 | 33,5 | 35,3 |
| B_30_B | B[2/26] | | 4,50 | 33,6 | 35,5 |
| B_30_B | B[20/26] | | 4,50 | 33,6 | 35,5 |
| B_30_B | B[21/26] | | 4,50 | 33,9 | 35,7 |
| B_30_B | B[22/26] | | 4,50 | 34,7 | 36,5 |
| B_30_B | B[23/26] | | 4,50 | 34,9 | 36,7 |
| B_30_B | B[24/26] | | 4,50 | 34,8 | 36,7 |
| B_30_B | B[25/26] | | 4,50 | 35,7 | 37,6 |
| B_30_B | B[26/26] | | 4,50 | 35,7 | 37,6 |
| B_30_B | B[3/26] | | 4,50 | 33,4 | 35,2 |
| B_30_B | B[4/26] | | 4,50 | 33,3 | 35,1 |
| B_30_B | B[5/26] | | 4,50 | 31,8 | 33,6 |
| B_30_B | B[6/26] | | 4,50 | 32,3 | 34,1 |
| B_30_B | B[7/26] | | 4,50 | 31,9 | 33,7 |
| B_30_B | B[8/26] | | 4,50 | 29,6 | 31,4 |
| B_30_B | B[9/26] | | 4,50 | 30,3 | 32,1 |
| B_30_C | B[1/26] | | 7,50 | 35,2 | 37,1 |
| B_30_C | B[15/26] | | 7,50 | 31,7 | 33,5 |
| B_30_C | B[16/26] | | 7,50 | 32,0 | 33,9 |
| B_30_C | B[17/26] | | 7,50 | 32,5 | 34,3 |
| B_30_C | B[18/26] | | 7,50 | 33,1 | 34,9 |
| B_30_C | B[19/26] | | 7,50 | 34,2 | 36,1 |
| B_30_C | B[2/26] | | 7,50 | 34,5 | 36,4 |
| B_30_C | B[20/26] | | 7,50 | 34,4 | 36,2 |
| B_30_C | B[21/26] | | 7,50 | 34,8 | 36,6 |
| B_30_C | B[22/26] | | 7,50 | 35,6 | 37,5 |
| B_30_C | B[23/26] | | 7,50 | 35,8 | 37,7 |
| B_30_C | B[24/26] | | 7,50 | 36,0 | 37,8 |
| B_30_C | B[25/26] | | 7,50 | 37,1 | 39,0 |
| B_30_C | B[26/26] | | 7,50 | 37,2 | 39,0 |
| B_30_C | B[3/26] | | 7,50 | 34,3 | 36,2 |

All shown dB values are A-weighted

Predictor V2019.02 16/04/2019 10:55:16

Progetto: leq in facciata ai recettori
HYDEA S.p.A.

Report: Table of Results
Model: progetto_post_B
LAeq: total results for receivers
Group: (main group)
Group Reduction: No

| Name | Receiver | Description | Height | Day | Night |
|--------|----------|-------------|--------|------|-------|
| B_30_C | B[4/26] | | 7,50 | 34,3 | 36,2 |
| B_30_C | B[5/26] | | 7,50 | 32,6 | 34,5 |
| B_30_C | B[6/26] | | 7,50 | 33,2 | 35,1 |
| B_30_C | B[7/26] | | 7,50 | 32,9 | 34,7 |
| B_30_C | B[8/26] | | 7,50 | 30,3 | 32,1 |
| B_30_C | B[9/26] | | 7,50 | 31,1 | 32,9 |
| B_30_D | B[1/26] | | 10,50 | 36,2 | 38,1 |
| B_30_D | B[15/26] | | 10,50 | 32,8 | 34,7 |
| B_30_D | B[16/26] | | 10,50 | 33,1 | 35,0 |
| B_30_D | B[17/26] | | 10,50 | 33,6 | 35,4 |
| B_30_D | B[18/26] | | 10,50 | 34,1 | 36,0 |
| B_30_D | B[19/26] | | 10,50 | 35,4 | 37,3 |
| B_30_D | B[2/26] | | 10,50 | 35,8 | 37,6 |
| B_30_D | B[20/26] | | 10,50 | 35,5 | 37,3 |
| B_30_D | B[21/26] | | 10,50 | 35,8 | 37,6 |
| B_30_D | B[22/26] | | 10,50 | 36,6 | 38,5 |
| B_30_D | B[23/26] | | 10,50 | 36,7 | 38,6 |
| B_30_D | B[24/26] | | 10,50 | 36,7 | 38,6 |
| B_30_D | B[25/26] | | 10,50 | 37,9 | 39,8 |
| B_30_D | B[26/26] | | 10,50 | 38,0 | 39,8 |
| B_30_D | B[3/26] | | 10,50 | 35,6 | 37,5 |
| B_30_D | B[4/26] | | 10,50 | 35,7 | 37,6 |
| B_30_D | B[5/26] | | 10,50 | 34,4 | 36,2 |
| B_30_D | B[6/26] | | 10,50 | 35,0 | 36,9 |
| B_30_D | B[7/26] | | 10,50 | 34,7 | 36,5 |
| B_30_D | B[8/26] | | 10,50 | 32,7 | 34,6 |
| B_30_D | B[9/26] | | 10,50 | 33,2 | 35,1 |
| B_31_A | B[1/14] | | 1,50 | 35,8 | 37,6 |
| B_31_A | B[11/14] | | 1,50 | 33,2 | 35,0 |
| B_31_A | B[12/14] | | 1,50 | 33,7 | 35,5 |
| B_31_A | B[13/14] | | 1,50 | 34,2 | 36,0 |
| B_31_A | B[14/14] | | 1,50 | 34,2 | 36,0 |
| B_31_A | B[2/14] | | 1,50 | 35,8 | 37,6 |
| B_31_A | B[3/14] | | 1,50 | 35,6 | 37,5 |
| B_31_A | B[4/14] | | 1,50 | 33,7 | 35,5 |
| B_31_A | B[5/14] | | 1,50 | 33,2 | 35,0 |
| B_31_A | B[6/14] | | 1,50 | 32,9 | 34,7 |
| B_31_A | B[7/14] | | 1,50 | 33,0 | 34,8 |
| B_31_B | B[1/14] | | 4,50 | 36,3 | 38,2 |
| B_31_B | B[11/14] | | 4,50 | 33,4 | 35,2 |
| B_31_B | B[12/14] | | 4,50 | 34,0 | 35,8 |
| B_31_B | B[13/14] | | 4,50 | 34,5 | 36,4 |
| B_31_B | B[14/14] | | 4,50 | 34,6 | 36,4 |
| B_31_B | B[2/14] | | 4,50 | 36,3 | 38,2 |
| B_31_B | B[3/14] | | 4,50 | 36,2 | 38,1 |
| B_31_B | B[4/14] | | 4,50 | 33,9 | 35,8 |
| B_31_B | B[5/14] | | 4,50 | 33,2 | 35,0 |
| B_31_B | B[6/14] | | 4,50 | 32,8 | 34,6 |
| B_31_B | B[7/14] | | 4,50 | 33,0 | 34,8 |
| B_31_C | B[1/14] | | 7,50 | 37,6 | 39,4 |
| B_31_C | B[11/14] | | 7,50 | 34,8 | 36,7 |
| B_31_C | B[12/14] | | 7,50 | 35,4 | 37,2 |
| B_31_C | B[13/14] | | 7,50 | 35,8 | 37,7 |
| B_31_C | B[14/14] | | 7,50 | 35,8 | 37,7 |
| B_31_C | B[2/14] | | 7,50 | 37,5 | 39,4 |

All shown dB values are A-weighted

Predictor V2019.02 16/04/2019 10:55:16

Progetto: leq in facciata ai recettori
HYDEA S.p.A.

Report: Table of Results
Model: progetto_post_B
LAeq: total results for receivers
Group: (main group)
Group Reduction: No

| Name | Receiver | Description | Height | Day | Night |
|--------|----------|-------------|--------|------|-------|
| B_31_C | B[1/14] | | 7,50 | 37,3 | 39,2 |
| B_31_C | B[4/14] | | 7,50 | 35,2 | 37,1 |
| B_31_C | B[5/14] | | 7,50 | 34,8 | 36,7 |
| B_31_C | B[6/14] | | 7,50 | 34,4 | 36,3 |
| B_31_C | B[7/14] | | 7,50 | 34,5 | 36,4 |
| B_31_D | B[1/14] | | 10,50 | 38,4 | 40,3 |
| B_31_D | B[11/14] | | 10,50 | 36,2 | 38,0 |
| B_31_D | B[12/14] | | 10,50 | 36,7 | 38,6 |
| B_31_D | B[13/14] | | 10,50 | 37,0 | 38,9 |
| B_31_D | B[14/14] | | 10,50 | 37,0 | 38,8 |
| B_31_D | B[2/14] | | 10,50 | 38,4 | 40,2 |
| B_31_D | B[3/14] | | 10,50 | 38,2 | 40,1 |
| B_31_D | B[4/14] | | 10,50 | 36,7 | 38,5 |
| B_31_D | B[5/14] | | 10,50 | 36,0 | 37,9 |
| B_31_D | B[6/14] | | 10,50 | 35,6 | 37,5 |
| B_31_D | B[7/14] | | 10,50 | 35,3 | 37,2 |
| B_32_A | B[1/20] | | 1,50 | 34,9 | 36,7 |
| B_32_A | B[12/20] | | 1,50 | 33,4 | 35,2 |
| B_32_A | B[12/20] | | 1,50 | 33,3 | 35,1 |
| B_32_A | B[13/20] | | 1,50 | 33,3 | 35,0 |
| B_32_A | B[14/20] | | 1,50 | 34,8 | 36,6 |
| B_32_A | B[15/20] | | 1,50 | 34,9 | 36,6 |
| B_32_A | B[16/20] | | 1,50 | 35,6 | 37,4 |
| B_32_A | B[17/20] | | 1,50 | 35,5 | 37,2 |
| B_32_A | B[18/20] | | 1,50 | 35,9 | 37,6 |
| B_32_A | B[19/20] | | 1,50 | 35,7 | 37,5 |
| B_32_A | B[2/20] | | 1,50 | 35,1 | 36,9 |
| B_32_A | B[20/20] | | 1,50 | 35,5 | 37,3 |
| B_32_A | B[3/20] | | 1,50 | 35,1 | 36,8 |
| B_32_A | B[4/20] | | 1,50 | 35,0 | 36,7 |
| B_32_B | B[1/20] | | 4,50 | 35,2 | 37,0 |
| B_32_B | B[11/20] | | 4,50 | 35,7 | 37,5 |
| B_32_B | B[12/20] | | 4,50 | 35,6 | 37,4 |
| B_32_B | B[13/20] | | 4,50 | 35,1 | 36,9 |
| B_32_B | B[14/20] | | 4,50 | 35,4 | 37,2 |
| B_32_B | B[15/20] | | 4,50 | 35,4 | 37,2 |
| B_32_B | B[16/20] | | 4,50 | 36,4 | 38,2 |
| B_32_B | B[17/20] | | 4,50 | 35,8 | 37,6 |
| B_32_B | B[18/20] | | 4,50 | 36,2 | 38,0 |
| B_32_B | B[19/20] | | 4,50 | 36,1 | 37,9 |
| B_32_B | B[2/20] | | 4,50 | 35,6 | 37,5 |
| B_32_B | B[20/20] | | 4,50 | 36,0 | 37,8 |
| B_32_B | B[3/20] | | 4,50 | 35,9 | 37,7 |
| B_32_B | B[4/20] | | 4,50 | 35,9 | 37,7 |
| B_32_B | B[5/20] | | 4,50 | 37,3 | 39,2 |
| B_32_C | B[11/20] | | 7,50 | 37,1 | 38,9 |
| B_32_C | B[12/20] | | 7,50 | 37,0 | 38,8 |
| B_32_C | B[13/20] | | 7,50 | 36,4 | 38,3 |
| B_32_C | B[14/20] | | 7,50 | 37,0 | 38,8 |
| B_32_C | B[15/20] | | 7,50 | 37,1 | 38,9 |
| B_32_C | B[16/20] | | 7,50 | 37,8 | 39,6 |
| B_32_C | B[17/20] | | 7,50 | 37,6 | 39,5 |
| B_32_C | B[18/20] | | 7,50 | 38,0 | 39,8 |
| B_32_C | B[19/20] | | 7,50 | 38,0 | 39,8 |
| B_32_C | B[2/20] | | 7,50 | 37,7 | 39,6 |

All shown dB values are A-weighted

Predictor V2019.02 16/04/2019 10:55:16

Progetto: leq in facciata ai recettori
HYDEA S.p.A.

Report: Table of Results
Model: progetto_post_B
LAeq: total results for receivers
Group: (main group)
Group Reduction: No

| Name | Receiver | Description | Height | Day | Night |
|--------|----------|-------------|--------|------|-------|
| B_32_C | B[20/20] | | 7,50 | 37,7 | 39,6 |
| B_32_C | B[3/20] | | 7,50 | 37,8 | 39,6 |
| B_32_C | B[4/20] | | 7,50 | 37,6 | 39,5 |
| B_33_A | B[1/16] | | 1,50 | 35,3 | 37,1 |
| B_33_A | B[12/16] | | 1,50 | 35,2 | 37,0 |
| B_33_A | B[13/16] | | 1,50 | 35,2 | 37,0 |
| B_33_A | B[14/16] | | 1,50 | 35,1 | 36,9 |
| B_33_A | B[15/16] | | 1,50 | 35,1 | 36,9 |
| B_33_A | B[16/16] | | 1,50 | 35,0 | 36,7 |
| B_33_A | B[2/16] | | 1,50 | 35,1 | 36,8 |
| B_33_A | B[3/16] | | 1,50 | 35,0 | 36,7 |
| B_33_A | B[4/16] | | 1,50 | 34,4 | 36,1 |
| B_33_A | B[5/16] | | 1,50 | 34,4 | 36,1 |
| B_33_A | B[6/16] | | 1,50 | 34,4 | 36,2 |
| B_33_A | B[7/16] | | 1,50 | 34,3 | 36,1 |
| B_33_A | B[8/16] | | 1,50 | 34,3 | 36,1 |
| B_33_B | B[1/16] | | 4,50 | 35,6 | 37,4 |
| B_33_B | B[12/16] | | 4,50 | 36,2 | 38,0 |
| B_33_B | B[13/16] | | 4,50 | 36,2 | 38,1 |
| B_33_B | B[14/16] | | 4,50 | 36,0 | 37,8 |
| B_33_B | B[15/16] | | 4,50 | 35,5 | 37,4 |
| B_33_B | B[16/16] | | 4,50 | 35,5 | 37,3 |
| B_33_B | B[2/16] | | 4,50 | 35,0 | 36,8 |
| B_33_B | B[3/16] | | 4,50 | 34,9 | 36,7 |
| B_33_B | B[4/16] | | 4,50 | 34,6 | 36,4 |
| B_33_B | B[5/16] | | 4,50 | 34,9 | 36,7 |
| B_33_B | B[6/16] | | 4,50 | 34,9 | 36,7 |
| B_33_B | B[7/16] | | 4,50 | 34,9 | 36,7 |
| B_33_B | B[8/16] | | 4,50 | 34,9 | 36,7 |
| B_33_C | B[1/16] | | 7,50 | 37,4 | 39,2 |
| B_33_C | B[12/16] | | 7,50 | 37,8 | 39,7 |
| B_33_C | B[13/16] | | 7,50 | 38,0 | 39,8 |
| B_33_C | B[14/16] | | 7,50 | 37,9 | 39,8 |
| B_33_C | B[15/16] | | 7,50 | 37,5 | 39,3 |
| B_33_C | B[16/16] | | 7,50 | 37,3 | 39,2 |
| B_33_C | B[2/16] | | 7,50 | 36,7 | 38,5 |
| B_33_C | B[3/16] | | 7,50 | 36,5 | 38,4 |
| B_33_C | B[4/16] | | 7,50 | 36,5 | 38,4 |
| B_33_C | B[5/16] | | 7,50 | 36,9 | 38,8 |
| B_33_C | B[6/16] | | 7,50 | 36,9 | 38,8 |
| B_33_C | B[7/16] | | 7,50 | 36,7 | 38,6 |
| B_33_C | B[8/16] | | 7,50 | 36,6 | 38,5 |
| B_34_A | B[1/21] | | 1,50 | 35,6 | 37,4 |
| B_34_A | B[10/21] | | | | |

Progetto: leq in facciata ai recettori HYDEA S.p.A.

Report: Table of Results
Model: progetto_post_B
LAcq: total results for receivers
Group: (main group)
Group Reduction: No

| Name | Receiver | Description | Height | Day | Night |
|--------|----------|-------------|--------|------|-------|
| B_36_C | B[4/14] | 7,50 | 36,5 | 38,3 | |
| B_36_C | B[2/14] | 7,50 | 37,8 | 39,7 | |
| B_36_C | B[3/14] | 7,50 | 37,8 | 39,6 | |
| B_36_C | B[4/14] | 7,50 | 37,5 | 39,4 | |
| B_36_C | B[5/14] | 7,50 | 36,7 | 38,5 | |
| B_36_C | B[6/14] | 7,50 | 36,4 | 38,2 | |
| B_36_C | B[7/14] | 7,50 | 36,2 | 38,1 | |
| B_37_A | B[1/14] | 1,50 | 34,9 | 36,7 | |
| B_37_A | B[12/14] | 1,50 | 34,0 | 35,8 | |
| B_37_A | B[13/14] | 1,50 | 34,2 | 36,0 | |
| B_37_A | B[14/14] | 1,50 | 34,5 | 36,3 | |
| B_37_A | B[2/14] | 1,50 | 34,2 | 35,9 | |
| B_37_A | B[3/14] | 1,50 | 34,2 | 36,0 | |
| B_37_A | B[4/14] | 1,50 | 34,9 | 36,7 | |
| B_37_A | B[5/14] | 1,50 | 34,7 | 36,5 | |
| B_37_A | B[6/14] | 1,50 | 34,7 | 36,5 | |
| B_37_A | B[7/14] | 1,50 | 34,5 | 36,3 | |
| B_37_B | B[1/14] | 4,50 | 35,6 | 37,4 | |
| B_37_B | B[12/14] | 4,50 | 34,1 | 35,9 | |
| B_37_B | B[13/14] | 4,50 | 34,3 | 36,1 | |
| B_37_B | B[14/14] | 4,50 | 34,7 | 36,6 | |
| B_37_B | B[2/14] | 4,50 | 35,1 | 36,9 | |
| B_37_B | B[3/14] | 4,50 | 35,0 | 36,8 | |
| B_37_B | B[4/14] | 4,50 | 35,5 | 37,3 | |
| B_37_B | B[5/14] | 4,50 | 34,7 | 36,5 | |
| B_37_B | B[6/14] | 4,50 | 34,6 | 36,5 | |
| B_37_B | B[7/14] | 4,50 | 34,3 | 36,2 | |
| B_37_C | B[1/14] | 7,50 | 37,0 | 38,8 | |
| B_37_C | B[12/14] | 7,50 | 35,1 | 37,0 | |
| B_37_C | B[13/14] | 7,50 | 35,2 | 37,1 | |
| B_37_C | B[14/14] | 7,50 | 35,6 | 37,4 | |
| B_37_C | B[2/14] | 7,50 | 36,9 | 38,7 | |
| B_37_C | B[3/14] | 7,50 | 36,8 | 38,6 | |
| B_37_C | B[4/14] | 7,50 | 37,0 | 38,9 | |
| B_37_C | B[5/14] | 7,50 | 35,2 | 37,0 | |
| B_37_C | B[6/14] | 7,50 | 35,4 | 37,3 | |
| B_37_C | B[7/14] | 7,50 | 35,1 | 36,9 | |
| B_38_A | B[1/16] | 1,50 | 35,6 | 37,4 | |
| B_38_A | B[11/16] | 1,50 | 33,7 | 35,5 | |
| B_38_A | B[12/16] | 1,50 | 34,1 | 35,9 | |
| B_38_A | B[13/16] | 1,50 | 34,4 | 36,2 | |
| B_38_A | B[14/16] | 1,50 | 34,5 | 36,3 | |
| B_38_A | B[15/16] | 1,50 | 34,3 | 36,1 | |
| B_38_A | B[16/16] | 1,50 | 34,3 | 36,1 | |
| B_38_A | B[2/16] | 1,50 | 35,6 | 37,4 | |
| B_38_A | B[3/16] | 1,50 | 35,3 | 37,2 | |
| B_38_A | B[4/16] | 1,50 | 34,7 | 36,6 | |
| B_38_A | B[5/16] | 1,50 | 34,4 | 36,2 | |
| B_38_A | B[6/16] | 1,50 | 34,1 | 36,0 | |
| B_38_A | B[7/16] | 1,50 | 33,9 | 35,7 | |
| B_38_B | B[1/16] | 4,50 | 36,1 | 37,9 | |
| B_38_B | B[11/16] | 4,50 | 34,0 | 35,9 | |
| B_38_B | B[12/16] | 4,50 | 34,1 | 36,0 | |
| B_38_B | B[13/16] | 4,50 | 34,5 | 36,3 | |
| B_38_B | B[14/16] | 4,50 | 34,7 | 36,5 | |

All shown dB values are A-weighted

Predictor V2019.02 16/04/2019 10:55:16

Progetto: leq in facciata ai recettori HYDEA S.p.A.

Report: Table of Results
Model: progetto_post_B
LAcq: total results for receivers
Group: (main group)
Group Reduction: No

| Name | Receiver | Description | Height | Day | Night |
|--------|----------|-------------|--------|------|-------|
| B_38_B | B[15/16] | 4,50 | 34,7 | 36,5 | |
| B_38_B | B[16/16] | 4,50 | 34,7 | 36,6 | |
| B_38_B | B[2/16] | 4,50 | 35,9 | 37,7 | |
| B_38_B | B[3/16] | 4,50 | 35,3 | 37,1 | |
| B_38_B | B[4/16] | 4,50 | 34,6 | 36,4 | |
| B_38_B | B[5/16] | 4,50 | 34,5 | 36,4 | |
| B_38_B | B[6/16] | 4,50 | 34,4 | 36,2 | |
| B_38_B | B[7/16] | 4,50 | 34,2 | 36,1 | |
| B_38_C | B[1/16] | 7,50 | 36,8 | 38,6 | |
| B_38_C | B[11/16] | 7,50 | 35,2 | 37,1 | |
| B_38_C | B[12/16] | 7,50 | 35,1 | 36,9 | |
| B_38_C | B[13/16] | 7,50 | 35,4 | 37,3 | |
| B_38_C | B[14/16] | 7,50 | 35,7 | 37,6 | |
| B_38_C | B[15/16] | 7,50 | 35,6 | 37,5 | |
| B_38_C | B[16/16] | 7,50 | 35,2 | 37,0 | |
| B_38_C | B[2/16] | 7,50 | 37,7 | 39,6 | |
| B_38_C | B[3/16] | 7,50 | 36,4 | 38,3 | |
| B_38_C | B[4/16] | 7,50 | 35,9 | 37,7 | |
| B_38_C | B[5/16] | 7,50 | 36,5 | 38,4 | |
| B_38_C | B[6/16] | 7,50 | 36,5 | 38,4 | |
| B_39_A | B[7/16] | 7,50 | 36,7 | 38,6 | |
| B_39_A | B[1/16] | 1,50 | 40,8 | 42,5 | |
| B_39_A | B[12/16] | 1,50 | 33,0 | 34,9 | |
| B_39_A | B[13/16] | 1,50 | 33,2 | 35,1 | |
| B_39_A | B[14/16] | 1,50 | 33,5 | 35,3 | |
| B_39_A | B[15/16] | 1,50 | 37,6 | 39,3 | |
| B_39_A | B[16/16] | 1,50 | 38,3 | 40,0 | |
| B_39_A | B[2/16] | 1,50 | 38,7 | 40,5 | |
| B_39_A | B[3/16] | 1,50 | 36,3 | 38,1 | |
| B_39_A | B[4/16] | 1,50 | 34,4 | 36,2 | |
| B_39_A | B[5/16] | 1,50 | 34,2 | 36,0 | |
| B_39_A | B[6/16] | 1,50 | 36,6 | 38,4 | |
| B_39_A | B[7/16] | 1,50 | 37,1 | 38,8 | |
| B_39_A | B[8/16] | 1,50 | 33,5 | 35,3 | |
| B_39_B | B[1/16] | 4,50 | 40,3 | 42,1 | |
| B_39_B | B[12/16] | 4,50 | 33,1 | 34,9 | |
| B_39_B | B[13/16] | 4,50 | 33,2 | 35,2 | |
| B_39_B | B[14/16] | 4,50 | 33,6 | 35,4 | |
| B_39_B | B[15/16] | 4,50 | 37,2 | 39,0 | |
| B_39_B | B[16/16] | 4,50 | 37,9 | 39,7 | |
| B_39_B | B[2/16] | 4,50 | 38,4 | 40,2 | |
| B_39_B | B[3/16] | 4,50 | 36,2 | 38,0 | |
| B_39_B | B[4/16] | 4,50 | 35,0 | 36,9 | |
| B_39_B | B[5/16] | 4,50 | 34,8 | 36,6 | |
| B_39_B | B[6/16] | 4,50 | 36,5 | 38,2 | |
| B_39_B | B[7/16] | 4,50 | 36,8 | 38,6 | |
| B_39_B | B[8/16] | 4,50 | 33,8 | 35,6 | |
| B_39_C | B[1/16] | 7,50 | 41,1 | 42,9 | |
| B_39_C | B[12/16] | 7,50 | 35,7 | 37,5 | |
| B_39_C | B[13/16] | 7,50 | 35,6 | 37,5 | |
| B_39_C | B[14/16] | 7,50 | 36,7 | 38,6 | |
| B_39_C | B[15/16] | 7,50 | 38,7 | 40,5 | |
| B_39_C | B[16/16] | 7,50 | 39,4 | 41,2 | |
| B_39_C | B[2/16] | 7,50 | 39,8 | 41,7 | |
| B_39_C | B[3/16] | 7,50 | 38,1 | 39,9 | |

All shown dB values are A-weighted

Predictor V2019.02 16/04/2019 10:55:16

Progetto: leq in facciata ai recettori HYDEA S.p.A.

Report: Table of Results
Model: progetto_post_B
LAcq: total results for receivers
Group: (main group)
Group Reduction: No

| Name | Receiver | Description | Height | Day | Night |
|--------|----------|-------------|--------|------|-------|
| B_39_C | B[4/16] | 7,50 | 39,2 | 41,0 | |
| B_39_C | B[5/16] | 7,50 | 38,0 | 39,8 | |
| B_39_C | B[6/16] | 7,50 | 38,0 | 39,7 | |
| B_39_C | B[7/16] | 7,50 | 38,1 | 39,9 | |
| B_39_C | B[8/16] | 7,50 | 34,8 | 36,7 | |
| B_40_A | B[1/17] | 1,50 | 48,0 | 49,7 | |
| B_40_A | B[12/17] | 1,50 | 34,8 | 36,7 | |
| B_40_A | B[13/17] | 1,50 | 35,0 | 36,8 | |
| B_40_A | B[14/17] | 1,50 | 34,9 | 36,8 | |
| B_40_A | B[15/17] | 1,50 | 35,0 | 36,8 | |
| B_40_A | B[16/17] | 1,50 | 41,2 | 42,9 | |
| B_40_A | B[17/17] | 1,50 | 45,5 | 47,2 | |
| B_40_A | B[2/17] | 1,50 | 43,1 | 44,9 | |
| B_40_A | B[3/17] | 1,50 | 41,9 | 43,7 | |
| B_40_A | B[4/17] | 1,50 | 44,7 | 46,5 | |
| B_40_A | B[5/17] | 1,50 | 41,1 | 42,9 | |
| B_40_A | B[6/17] | 1,50 | 39,3 | 41,1 | |
| B_40_C | B[1/17] | 4,50 | 40,4 | 42,1 | |
| B_40_C | B[11/17] | 4,50 | 47,9 | 49,6 | |
| B_40_C | B[12/17] | 4,50 | 35,1 | 37,0 | |
| B_40_C | B[13/17] | 4,50 | 35,4 | 37,2 | |
| B_40_C | B[14/17] | 4,50 | 35,4 | 37,2 | |
| B_40_C | B[15/17] | 4,50 | 35,5 | 37,4 | |
| B_40_C | B[16/17] | 4,50 | 41,2 | 43,0 | |
| B_40_C | B[17/17] | 4,50 | 45,5 | 47,2 | |
| B_40_C | B[2/17] | 4,50 | 43,3 | 45,2 | |
| B_40_C | B[3/17] | 4,50 | 42,1 | 43,9 | |
| B_40_C | B[4/17] | 4,50 | 44,6 | 46,4 | |
| B_40_C | B[5/17] | 4,50 | 41,4 | 43,2 | |
| B_40_C | B[6/17] | 4,50 | 39,6 | 41,4 | |
| B_40_C | B[7/17] | 4,50 | 40,2 | 41,9 | |
| B_40_C | B[8/17] | 7,50 | 48,8 | 50,5 | |
| B_40_C | B[12/17] | 7,50 | 36,9 | 38,7 | |
| B_40_C | B[13/17] | 7,50 | 37,5 | 39,4 | |
| B_40_C | B[14/17] | 7,50 | 37,4 | 39,2 | |
| B_40_C | B[15/17] | 7,50 | 38,2 | 40,0 | |
| B_40_C | B[16/17] | 7,50 | 42,9 | 44,7 | |
| B_40_C | B[17/17] | 7,50 | 46,4 | 48,2 | |
| B_40_C | B[2/17] | 7,50 | 44,7 | 46,5 | |
| B_40_C | B[3/17] | 7,50 | 44,2 | 46,1 | |
| B_40_C | B[4/17] | 7,50 | 45,8 | 47,6 | |
| B_40_C | B[5/17] | 7,50 | 42,4 | 44,2 | |
| B_40_C | B[6/17] | 7,50 | 40,9 | 42,7 | |
| B_40_C | B[7/17] | 7,50 | 41,4 | 43,2 | |
| B_41_A | B[1/16] | 1,50 | 37,5 | 39,3 | |
| B_41_A | B[11/16] | 1,50 | 32,6 | 34,4 | |
| B_41_A | B[12/16] | 1,50 | 32,7 | 34,6 | |
| B_41_A | B[13/16] | 1,50 | 32,8 | 34,7 | |
| B_41_A | B[14/16] | 1,50 | 33,1 | 34,9 | |
| B_41_A | B[15/16] | 1,50 | 32,7 | 34,5 | |
| B_41_A | B[16/16] | 1,50 | 36,0 | 37,8 | |
| B_41_A | B[2/16] | 1,50 | 40,2 | 42,0 | |
| B_41_A | B[3/16] | 1,50 | 43,2 | 44,9 | |
| B_41_A | B[4/16] | 1,50 | 39,8 | 41,5 | |
| B_41_A | B[5/16] | 1,50 | 39,6 | 41,3 | |

All shown dB values are A-weighted

Predictor V2019.02 16/04/2019 10:55:16

Progetto: leq in facciata ai recettori HYDEA S.p.A.

Report: Table of Results
Model: progetto_post_B
LAcq: total results for receivers
Group: (main group)
Group Reduction: No

| Name | Receiver | Description | Height | Day | Night |
|--------|----------|-------------|--------|------|-------|
| B_41_A | B[6/16] | 1,50 | 39,6 | 41,3 | |
| B_41_A | B[7/16] | 1,50 | 40,2 | 41,9 | |
| B_41_B | B[1/16] | 4,50 | 37,3 | 39,1 | |
| B_41_B | B[11/16] | 4,50 | 33,2 | 35,1 | |
| B_41_B | B[12/16] | 4,50 | 33,2 | 35,1 | |
| B_41_B | B[13/16] | 4,50 | 33,2 | 35,1 | |
| B_41_B | B[14/16] | 4,50 | 33,5 | 35,3 | |
| B_41_B | B[15/16] | 4,50 | 33,2 | 35,0 | |
| B_41_B | B[16/16] | 4,50 | 35,7 | 37,5 | |
| B_41_B | B[2/16] | 4,50 | 39,7 | 41,5 | |
| B_41_B | B[3/16] | 4,50 | 42,4 | 44,2 | |
| B_41_B | B[4/16] | 4,50 | 39,3 | 41,1 | |
| B_41_B | B[5/16] | 4,50 | 39,2 | 41,0 | |
| B_41_B | B[6/16] | 4,50 | 39,2 | 41,0 | |
| B_41_B | B[7/16] | 4,50 | 39,7 | 41,5 | |
| B_41_C | B[1/16] | 7,50 | 38,6 | 40,4 | |
| B_41_C | B[11/16] | 7,50 | 34,0 | 35,8 | |
| B_41_C | B[12/16] | 7,50 | 33,9 | 35,8 | |
| B_41_C | B[13/16] | 7,50 | 34,2 | 36,1 | |
| B_41_C | B[14/16] | 7,50 | 35,0 | 36,8 | |
| B_41_C | B[15/16] | 7,50 | 34,8 | 36,7 | |
| B_41_C | B[16/16] | 7,50 | 37,0 | 38,8 | |
| B_41_C | B[2/16] | 7,50 | 40,7 | 42,5 | |
| B_41_C | B[3/16] | 7,50 | 43,1 | 44,9 | |
| B_41_C | B[4/16] | 7,50 | 40,1 | 41,9 | |
| B_41_C | B[5/16] | 7,50 | 40,2 | 42,0 | |
| B_41_C | B[6/16] | 7,50 | 39,6 | 41,4 | |
| B_41_C | B[7/16] | 7,50 | 39,9 | 41,6 | |
| B_42_A | B[1/16] | 1,50 | 44,9 | 46,7 | |
| B_42_A | B[10/16] | 1,50 | 40,1 | 41,9 | |
| B_42_A | B[11/16] | 1,50 | 39,6 | 41,4 | |
| B_42_A | B[12/16] | 1,50 | 35,0 | 36,8 | |
| B_42_A | B[13/16] | 1,50 | 44,2 | 46,0 | |
| B_42_A | B[14/16] | 1,50 | 43,7 | 45,4 | |
| B_42_A | B[15/16] | 1,50 | 41,5 | 43,3 | |
| B_42_A | B[16/16] | 1,50 | 47,0 | 48,8 | |
| B_42_A | B[2/16] | 1,50 | 45,3 | 47,0 | |
| B_42_A | B[3/16] | 1,50 | 42,1 | 43,8 | |
| B_42_A | B[4/16] | 1,50 | 42,1 | 43,8 | |
| B_42_A | B[5/16] | 1,50 | 41,5 | 43,2 | |
| B_42_A | B[6/16] | 1,50 | 40,7 | 42,4 | |
| B_42_B | B[1/16] | 4,50 | 44,7 | 46,5 | |
| B_42_B | B[10/16] | 4,50 | 39,8 | 41,5 | |
| B_42_B | B[11/16] | 4,50 | 39,3 | 41,0 | |
| B_42_B | B[12/16] | 4,50 | 35,6 | 37,4 | |
| B_42_B | B[13/16] | 4,50 | 44,1 | 45,9 | |
| B_42_B | B[14/16] | 4,50 | 43,4 | 45,4 | |
| B_42_B | B[15/16] | 4,50 | 41,8 | 43,7 | |
| B_42_B | B[16/16] | 4,50 | 46,7 | 48,5 | |
| B_42_B | B[2/16] | 4,50 | 45,1 | 46,9 | |
| B_42_B | B[3/16] | 4,50 | 41,9 | 43,7 | |
| B_42_B | B[4/16] | 4,50 | 41,7 | 43,5 | |
| B_42_B | B[5/16] | 4,50 | 41,2 | 42,9 | |
| B_42_C | B[6/16] | 4,50 | 40,4 | 42,2 | |
| B_42_C | B[1/16] | 7,50 | 45,6 | 47,4 | |

All shown dB values are A-weighted

Predictor V2019.02 16/04/2019 10:55:16

Progetto: leq in facciata ai recettori HYDEA S.p.A.

Report: Table of Results
Model: progetto_post_B
LAcq: total results for receivers
Group: (main group)
Group Reduction: No

| Name | Receiver | Description | Height | Day | Night |
|--------|----------|-------------|--------|-----|-------|
| B_42_C | B[10/16] | 7,50 | | | |

Progetto: leq in facciata ai recettori HYDEA S.p.A.

Report: Table of Results
Model: progetto_post_B
LAeq: total results for receivers
Group: (main group)
Group Reduction: No

| Name | Receiver | Description | Height | Day | Night |
|--------|----------|-------------|--------|------|-------|
| B_44_C | B[3/27] | 7,50 | 44,4 | 46,2 | |
| B_44_C | B[4/27] | 7,50 | 43,0 | 44,9 | |
| B_44_C | B[5/27] | 7,50 | 43,5 | 45,4 | |
| B_44_C | B[6/27] | 7,50 | 38,9 | 40,7 | |
| B_44_C | B[7/27] | 7,50 | 37,6 | 39,4 | |
| B_44_C | B[8/27] | 7,50 | 38,5 | 40,3 | |
| B_44_C | B[9/27] | 7,50 | 37,2 | 39,0 | |
| B_44_D | B[12/27] | 10,50 | 51,7 | 53,5 | |
| B_44_D | B[10/27] | 10,50 | 39,1 | 40,9 | |
| B_44_D | B[11/27] | 10,50 | 38,5 | 40,3 | |
| B_44_D | B[12/27] | 10,50 | 39,9 | 41,7 | |
| B_44_D | B[13/27] | 10,50 | 39,7 | 41,5 | |
| B_44_D | B[17/27] | 10,50 | 37,7 | 39,6 | |
| B_44_D | B[18/27] | 10,50 | 39,9 | 41,6 | |
| B_44_D | B[19/27] | 10,50 | 39,9 | 41,7 | |
| B_44_D | B[22/27] | 10,50 | 49,8 | 51,6 | |
| B_44_D | B[20/27] | 10,50 | 41,1 | 42,8 | |
| B_44_D | B[21/27] | 10,50 | 38,2 | 40,0 | |
| B_44_D | B[24/27] | 10,50 | 33,5 | 35,4 | |
| B_44_D | B[25/27] | 10,50 | 45,4 | 47,1 | |
| B_44_D | B[26/27] | 10,50 | 49,9 | 51,6 | |
| B_44_D | B[27/27] | 10,50 | 48,7 | 50,5 | |
| B_44_D | B[3/27] | 10,50 | 47,0 | 48,8 | |
| B_44_D | B[4/27] | 10,50 | 45,2 | 47,0 | |
| B_44_D | B[5/27] | 10,50 | 45,6 | 47,5 | |
| B_44_D | B[6/27] | 10,50 | 40,0 | 41,8 | |
| B_44_D | B[7/27] | 10,50 | 38,8 | 40,6 | |
| B_44_D | B[8/27] | 10,50 | 39,7 | 41,6 | |
| B_44_D | B[9/27] | 10,50 | 38,7 | 40,5 | |
| B_45_A | B[1/19] | 1,50 | 33,7 | 35,5 | |
| B_45_A | B[12/19] | 1,50 | 32,0 | 33,9 | |
| B_45_A | B[13/19] | 1,50 | 35,4 | 37,2 | |
| B_45_A | B[14/19] | 1,50 | 36,1 | 37,8 | |
| B_45_A | B[17/19] | 1,50 | 38,9 | 40,6 | |
| B_45_A | B[18/19] | 1,50 | 38,4 | 40,1 | |
| B_45_A | B[19/19] | 1,50 | 37,1 | 38,9 | |
| B_45_A | B[2/19] | 1,50 | 36,3 | 38,0 | |
| B_45_A | B[3/19] | 1,50 | 38,4 | 40,1 | |
| B_45_A | B[4/19] | 1,50 | 32,8 | 34,6 | |
| B_45_A | B[5/19] | 1,50 | 37,9 | 39,6 | |
| B_45_A | B[6/19] | 1,50 | 32,6 | 34,4 | |
| B_45_A | B[7/19] | 1,50 | 32,4 | 34,2 | |
| B_45_A | B[8/19] | 1,50 | 32,3 | 34,1 | |
| B_45_A | B[9/19] | 1,50 | 32,0 | 33,8 | |
| B_45_B | B[1/19] | 4,50 | 33,6 | 35,4 | |
| B_45_B | B[12/19] | 4,50 | 31,8 | 33,6 | |
| B_45_B | B[13/19] | 4,50 | 34,8 | 36,5 | |
| B_45_B | B[14/19] | 4,50 | 35,3 | 37,1 | |
| B_45_B | B[17/19] | 4,50 | 38,8 | 40,6 | |
| B_45_B | B[18/19] | 4,50 | 37,7 | 39,5 | |
| B_45_B | B[19/19] | 4,50 | 37,1 | 38,9 | |
| B_45_B | B[2/19] | 4,50 | 35,9 | 37,7 | |
| B_45_B | B[3/19] | 4,50 | 37,9 | 39,6 | |
| B_45_B | B[4/19] | 4,50 | 32,6 | 34,4 | |
| B_45_B | B[5/19] | 4,50 | 37,2 | 39,0 | |

All shown dB values are A-weighted

Predictor V2019.02 16/04/2019 10:55:16

Progetto: leq in facciata ai recettori HYDEA S.p.A.

Report: Table of Results
Model: progetto_post_B
LAeq: total results for receivers
Group: (main group)
Group Reduction: No

| Name | Receiver | Description | Height | Day | Night |
|--------|----------|-------------|--------|------|-------|
| B_45_B | B[6/19] | 4,50 | 32,4 | 34,2 | |
| B_45_B | B[7/19] | 4,50 | 32,1 | 33,9 | |
| B_45_B | B[8/19] | 4,50 | 32,1 | 34,0 | |
| B_45_B | B[9/19] | 4,50 | 31,8 | 33,7 | |
| B_45_C | B[1/19] | 7,50 | 35,9 | 37,7 | |
| B_45_C | B[12/19] | 7,50 | 32,4 | 34,3 | |
| B_45_C | B[13/19] | 7,50 | 35,1 | 36,9 | |
| B_45_C | B[14/19] | 7,50 | 36,0 | 37,8 | |
| B_45_C | B[17/19] | 7,50 | 40,7 | 42,5 | |
| B_45_C | B[18/19] | 7,50 | 38,4 | 40,1 | |
| B_45_C | B[19/19] | 7,50 | 39,3 | 41,0 | |
| B_45_C | B[2/19] | 7,50 | 37,0 | 38,8 | |
| B_45_C | B[3/19] | 7,50 | 38,8 | 40,6 | |
| B_45_C | B[4/19] | 7,50 | 33,6 | 35,5 | |
| B_45_C | B[5/19] | 7,50 | 37,6 | 39,4 | |
| B_45_C | B[6/19] | 7,50 | 33,2 | 35,0 | |
| B_45_C | B[7/19] | 7,50 | 32,7 | 34,6 | |
| B_45_C | B[8/19] | 7,50 | 32,8 | 34,7 | |
| B_45_C | B[9/19] | 7,50 | 32,5 | 34,3 | |
| B_45_D | B[1/19] | 10,50 | 38,2 | 40,1 | |
| B_45_D | B[12/19] | 10,50 | 33,0 | 34,9 | |
| B_45_D | B[13/19] | 10,50 | 31,6 | 33,4 | |
| B_45_D | B[14/19] | 10,50 | 33,4 | 35,3 | |
| B_45_D | B[17/19] | 10,50 | 39,5 | 41,3 | |
| B_45_D | B[18/19] | 10,50 | 35,1 | 36,9 | |
| B_45_D | B[19/19] | 10,50 | 39,0 | 40,8 | |
| B_45_D | B[2/19] | 10,50 | 38,7 | 40,5 | |
| B_45_D | B[3/19] | 10,50 | 40,0 | 41,8 | |
| B_45_D | B[4/19] | 10,50 | 35,1 | 36,9 | |
| B_45_D | B[5/19] | 10,50 | 38,5 | 40,3 | |
| B_45_D | B[6/19] | 10,50 | 34,8 | 36,7 | |
| B_45_D | B[7/19] | 10,50 | 34,1 | 36,0 | |
| B_45_D | B[8/19] | 10,50 | 34,4 | 36,3 | |
| B_45_D | B[9/19] | 10,50 | 34,1 | 36,0 | |
| B_46_A | B[1/12] | 1,50 | 32,6 | 34,4 | |
| B_46_A | B[10/12] | 1,50 | 33,9 | 35,7 | |
| B_46_A | B[11/12] | 1,50 | 31,0 | 32,8 | |
| B_46_A | B[12/12] | 1,50 | 34,1 | 35,8 | |
| B_46_A | B[2/12] | 1,50 | 34,0 | 35,8 | |
| B_46_A | B[3/12] | 1,50 | 30,4 | 32,2 | |
| B_46_A | B[4/12] | 1,50 | 31,0 | 32,8 | |
| B_46_A | B[5/12] | 1,50 | 29,2 | 31,0 | |
| B_46_A | B[6/12] | 1,50 | 30,3 | 32,1 | |
| B_46_B | B[1/12] | 4,50 | 32,4 | 34,2 | |
| B_46_B | B[10/12] | 4,50 | 33,4 | 35,2 | |
| B_46_B | B[11/12] | 4,50 | 31,1 | 32,9 | |
| B_46_B | B[12/12] | 4,50 | 33,7 | 35,5 | |
| B_46_B | B[2/12] | 4,50 | 33,6 | 35,4 | |
| B_46_B | B[3/12] | 4,50 | 30,6 | 32,4 | |
| B_46_B | B[4/12] | 4,50 | 31,5 | 33,2 | |
| B_46_B | B[5/12] | 4,50 | 29,8 | 31,6 | |
| B_46_B | B[6/12] | 4,50 | 31,1 | 32,9 | |
| B_47_A | B[1/14] | 1,50 | 31,4 | 33,1 | |
| B_47_A | B[11/14] | 1,50 | 30,6 | 32,4 | |
| B_47_A | B[12/14] | 1,50 | 30,9 | 32,6 | |

All shown dB values are A-weighted

Predictor V2019.02 16/04/2019 10:55:16

Progetto: leq in facciata ai recettori HYDEA S.p.A.

Report: Table of Results
Model: progetto_post_B
LAeq: total results for receivers
Group: (main group)
Group Reduction: No

| Name | Receiver | Description | Height | Day | Night |
|--------|----------|-------------|--------|------|-------|
| B_47_A | B[3/14] | 1,50 | 30,2 | 31,9 | |
| B_47_A | B[4/14] | 1,50 | 30,6 | 32,3 | |
| B_47_A | B[2/14] | 1,50 | 31,4 | 33,2 | |
| B_47_A | B[3/14] | 1,50 | 30,8 | 32,5 | |
| B_47_A | B[4/14] | 1,50 | 31,4 | 33,1 | |
| B_47_A | B[5/14] | 1,50 | 31,0 | 32,7 | |
| B_47_A | B[6/14] | 1,50 | 31,5 | 33,3 | |
| B_47_A | B[7/14] | 1,50 | 31,5 | 33,3 | |
| B_47_B | B[3/14] | 4,50 | 31,3 | 33,1 | |
| B_47_B | B[4/14] | 4,50 | 31,3 | 33,1 | |
| B_47_B | B[5/14] | 4,50 | 31,6 | 33,4 | |
| B_47_B | B[6/14] | 4,50 | 30,9 | 32,7 | |
| B_47_B | B[7/14] | 4,50 | 30,5 | 32,3 | |
| B_47_B | B[8/14] | 4,50 | 31,6 | 33,4 | |
| B_47_B | B[9/14] | 4,50 | 31,5 | 33,3 | |
| B_47_B | B[10/14] | 4,50 | 32,1 | 33,9 | |
| B_47_B | B[11/14] | 4,50 | 32,3 | 34,1 | |
| B_47_B | B[12/14] | 4,50 | 32,3 | 34,1 | |
| B_48_A | B[1/20] | 1,50 | 30,5 | 32,2 | |
| B_48_A | B[12/20] | 1,50 | 30,5 | 32,2 | |
| B_48_A | B[13/20] | 1,50 | 30,9 | 32,6 | |
| B_48_A | B[14/20] | 1,50 | 30,6 | 32,4 | |
| B_48_A | B[15/20] | 1,50 | 30,8 | 32,6 | |
| B_48_A | B[16/20] | 1,50 | 31,2 | 32,9 | |
| B_48_A | B[17/20] | 1,50 | 34,0 | 35,8 | |
| B_48_A | B[18/20] | 1,50 | 35,0 | 36,8 | |
| B_48_A | B[19/20] | 1,50 | 35,3 | 37,2 | |
| B_48_A | B[2/20] | 1,50 | 33,5 | 35,3 | |
| B_48_A | B[20/20] | 1,50 | 35,8 | 37,6 | |
| B_48_A | B[3/20] | 1,50 | 33,4 | 35,2 | |
| B_48_B | B[1/20] | 4,50 | 33,9 | 35,7 | |
| B_48_B | B[11/20] | 4,50 | 31,8 | 33,6 | |
| B_48_B | B[12/20] | 4,50 | 31,7 | 33,5 | |
| B_48_B | B[13/20] | 4,50 | 32,0 | 33,8 | |
| B_48_B | B[14/20] | 4,50 | 32,6 | 34,4 | |
| B_48_B | B[15/20] | 4,50 | 33,3 | 35,1 | |
| B_48_B | B[16/20] | 4,50 | 34,0 | 35,8 | |
| B_48_B | B[17/20] | 4,50 | 34,9 | 36,7 | |
| B_48_B | B[18/20] | 4,50 | 35,6 | 37,4 | |
| B_48_B | B[19/20] | 4,50 | 35,9 | 37,7 | |
| B_48_B | B[2/20] | 4,50 | 33,7 | 35,5 | |
| B_48_B | B[20/20] | 4,50 | 36,1 | 37,9 | |
| B_48_B | B[3/20] | 4,50 | 33,7 | 35,5 | |
| B_48_C | B[1/20] | 7,50 | 35,0 | 36,9 | |
| B_48_C | B[12/20] | 7,50 | 31,4 | 33,2 | |
| B_48_C | B[13/20] | 7,50 | 32,2 | 34,0 | |
| B_48_C | B[14/20] | 7,50 | 32,0 | 33,8 | |
| B_48_C | B[15/20] | 7,50 | 33,3 | 35,1 | |
| B_48_C | B[16/20] | 7,50 | 34,4 | 36,2 | |
| B_48_C | B[17/20] | 7,50 | 35,5 | 37,3 | |
| B_48_C | B[18/20] | 7,50 | 36,4 | 38,3 | |
| B_48_C | B[19/20] | 7,50 | 37,0 | 38,8 | |

All shown dB values are A-weighted

Predictor V2019.02 16/04/2019 10:55:16

Progetto: leq in facciata ai recettori HYDEA S.p.A.

Report: Table of Results
Model: progetto_post_B
LAeq: total results for receivers
Group: (main group)
Group Reduction: No

| Name | Receiver | Description | Height | Day | Night |
|--------|----------|-------------|--------|------|-------|
| B_48_C | B[2/20] | 7,50 | 34,6 | 36,4 | |
| B_48_C | B[20/20] | 7,50 | 37,4 | 39,2 | |
| B_48_C | B[3/20] | 7,50 | 34,3 | 36,1 | |
| B_48_D | B[1/20] | 10,50 | 36,0 | 37,8 | |
| B_48_D | B[11/20] | 10,50 | 31,9 | 33,7 | |
| B_48_D | B[12/20] | 10,50 | 32,2 | 34,0 | |
| B_48_D | B[13/20] | 10,50 | 32,5 | 34,3 | |
| B_48_D | B[14/20] | 10,50 | 34,2 | 36,0 | |
| B_48_D | B[15/20] | 10,50 | 34,9 | 36,8 | |
| B_48_D | B[16/20] | 10,50 | 35,7 | 37,5 | |
| B_48_D | B[17/20] | 10,50 | 36,8 | 38,6 | |
| B_48_D | B[18/20] | 10,50 | 37,7 | 39,6 | |
| B_48_D | B[19/20] | 10,50 | 38,3 | 40,1 | |
| B_48_D | B[2/20] | 10,50 | 35,4 | 37,2 | |
| B_48_D | B[20/20] | 10,50 | 38,7 | 40,5 | |
| B_48_D | B[3/20] | 10,50 | 35,1 | 37,0 | |
| B_49_A | B[1/13] | 1,50 | 31,3 | 33,0 | |
| B_49_A | B[11/13] | 1,50 | 31,6 | 33,4 | |
| B_49_A | B[12/13] | 1,50 | 31,1 | 32,9 | |
| B_49_A | B[13/13] | 1,50 | 30,8 | 32,5 | |
| B_49_A | B[2/13] | 1,50 | 31,0 | 32,8 | |
| B_49_A | B[3/13] | 1,50 | 30,6 | 32,3 | |
| B_49_A | B[4/13] | 1,50 | 31,4 | 33,1 | |
| B_49_A | B[5/13] | 1,50 | 30,5 | 32,2 | |
| B_49_A | B[6/13] | 1,50 | 31,1 | 32,8 | |
| B_49_A | B[7/13] | 1,50 | 30,8 | 32,6 | |
| B_49_B | B[1/13] | 4,50 | 32,0 | 33,8 | |
| B_49_B | B[11/13] | 4,50 | 32,4 | 34,2 | |
| B_49_B | B[12/13] | 4,50 | 32,1 | 33,9 | |
| B_49_B | B[13/13] | 4,50 | 31,5 | 33,3 | |
| B_49_B | B[2/13] | 4,50 | 32,0 | 33,7 | |
| B_49_B | B[3/13] | 4,50 | 31,7 | 33,4 | |
| B_49_B | B[4/13] | 4,50 | 32,3 | 34,0 | |
| B_49_B | B[5/13] | 4,50 | 31,6 | 33,4 | |
| B_49_B | B[6/13] | 4,50 | 32,1 | 33,8 | |
| B_49_B | B[7/13] | 4,50 | 31,9 | 33,7 | |
| B_50_A | B[1/14] | 1,50 | 32,2 | 33,9 | |
| B_50_A | B[11/14] | 1,50 | 31,0 | 32,8 | |
| B_50_A | B[12/14] | 1,50 | 30,9 | 32,7 | |
| B_50_A | B[13/14] | 1,50 | 31,3 | 33,0 | |
| B_50_A | B[14/14] | 1,50 | 31,4 | 33,1 | |
| B_50_A | B[2/14] | 1,50 | 32,5 | 34,2 | |
| B_50_A | B[3/14] | 1,50 | 32,4 | 34,2 | |
| B_50_A | B[4/14] | 1,50 | 33,0 | 34,7 | |
| B_50_A | B[5/14] | 1,50 | 32,1 | 33,9 | |
| B_50_A | B[6/14] | 1,50 | 31,8 | 33,6 | |

Progetto: leq in facciata ai recettori HYDEA S.p.A.

Report: Table of Results
Model: progetto_post_B
LAeq: total results for receivers
Group: (main group)
Group Reduction: No

| Name | Receiver | Description | Height | Day | Night |
|--------|----------|-------------|--------|------|-------|
| B.53_B | B[4/8] | | 4,50 | 29,3 | 31,1 |
| B.53_B | B[7/8] | | 4,50 | 31,5 | 33,2 |
| B.53_B | B[8/8] | | 4,50 | 31,0 | 32,8 |
| B.54_A | B[1/10] | | 1,50 | 30,4 | 32,2 |
| B.54_A | B[10/10] | | 1,50 | 29,1 | 30,9 |
| B.54_A | B[2/10] | | 1,50 | 30,4 | 32,2 |
| B.54_A | B[3/10] | | 1,50 | 28,9 | 30,7 |
| B.54_A | B[4/10] | | 1,50 | 28,0 | 30,6 |
| B.54_A | B[5/10] | | 1,50 | 29,0 | 30,8 |
| B.54_A | B[8/10] | | 1,50 | 28,8 | 30,6 |
| B.54_A | B[9/10] | | 1,50 | 28,9 | 30,7 |
| B.54_B | B[1/10] | | 4,50 | 30,7 | 32,5 |
| B.54_B | B[10/10] | | 4,50 | 29,5 | 31,3 |
| B.54_B | B[2/10] | | 4,50 | 31,1 | 32,9 |
| B.54_B | B[3/10] | | 4,50 | 29,8 | 31,6 |
| B.54_B | B[4/10] | | 4,50 | 30,4 | 32,2 |
| B.54_B | B[5/10] | | 4,50 | 30,5 | 32,4 |
| B.54_B | B[8/10] | | 4,50 | 29,7 | 31,5 |
| B.54_B | B[9/10] | | 4,50 | 29,6 | 31,4 |
| B.55_A | B[1/14] | | 1,50 | 30,5 | 32,3 |
| B.55_A | B[11/14] | | 1,50 | 30,8 | 32,6 |
| B.55_A | B[12/14] | | 1,50 | 29,8 | 31,6 |
| B.55_A | B[13/14] | | 1,50 | 29,7 | 31,5 |
| B.55_A | B[14/14] | | 1,50 | 29,4 | 31,2 |
| B.55_A | B[2/14] | | 1,50 | 31,0 | 32,8 |
| B.55_A | B[3/14] | | 1,50 | 31,5 | 33,3 |
| B.55_A | B[4/14] | | 1,50 | 29,4 | 31,2 |
| B.55_A | B[5/14] | | 1,50 | 30,1 | 31,8 |
| B.55_A | B[6/14] | | 1,50 | 30,1 | 31,9 |
| B.55_A | B[7/14] | | 1,50 | 29,6 | 31,4 |
| B.55_B | B[1/14] | | 4,50 | 31,6 | 33,4 |
| B.55_B | B[11/14] | | 4,50 | 31,0 | 32,8 |
| B.55_B | B[12/14] | | 4,50 | 30,9 | 32,7 |
| B.55_B | B[13/14] | | 4,50 | 31,0 | 32,8 |
| B.55_B | B[14/14] | | 4,50 | 30,8 | 32,6 |
| B.55_B | B[2/14] | | 4,50 | 32,8 | 34,6 |
| B.55_B | B[3/14] | | 4,50 | 33,4 | 35,2 |
| B.55_B | B[4/14] | | 4,50 | 31,5 | 33,3 |
| B.55_B | B[5/14] | | 4,50 | 31,3 | 33,2 |
| B.55_B | B[6/14] | | 4,50 | 31,1 | 32,9 |
| B.55_C | B[7/14] | | 4,50 | 30,3 | 32,1 |
| B.55_C | B[1/14] | | 7,50 | 34,1 | 35,9 |
| B.55_C | B[11/14] | | 7,50 | 32,7 | 34,6 |
| B.55_C | B[12/14] | | 7,50 | 32,7 | 34,5 |
| B.55_C | B[13/14] | | 7,50 | 32,8 | 34,7 |
| B.55_C | B[14/14] | | 7,50 | 32,6 | 34,4 |
| B.55_C | B[2/14] | | 7,50 | 34,6 | 36,5 |
| B.55_C | B[3/14] | | 7,50 | 34,9 | 36,8 |
| B.55_C | B[4/14] | | 7,50 | 33,3 | 35,2 |
| B.55_C | B[5/14] | | 7,50 | 33,1 | 35,0 |
| B.55_C | B[6/14] | | 7,50 | 32,8 | 34,7 |
| B.55_C | B[7/14] | | 7,50 | 32,2 | 34,0 |
| B.55_D | B[1/14] | | 10,50 | 36,1 | 37,9 |
| B.55_D | B[11/14] | | 10,50 | 34,2 | 36,1 |
| B.55_D | B[12/14] | | 10,50 | 34,4 | 36,2 |

All shown dB values are A-weighted

Predictor V2019.02 16/04/2019 10:55:16

Progetto: leq in facciata ai recettori HYDEA S.p.A.

Report: Table of Results
Model: progetto_post_B
LAeq: total results for receivers
Group: (main group)
Group Reduction: No

| Name | Receiver | Description | Height | Day | Night |
|--------|----------|-------------|--------|------|-------|
| B.55_D | B[13/14] | | 10,50 | 34,6 | 36,5 |
| B.55_D | B[14/14] | | 10,50 | 34,6 | 36,5 |
| B.55_D | B[2/14] | | 10,50 | 34,1 | 36,0 |
| B.55_D | B[3/14] | | 10,50 | 34,4 | 36,3 |
| B.55_D | B[4/14] | | 10,50 | 34,0 | 35,9 |
| B.55_D | B[5/14] | | 10,50 | 33,4 | 35,3 |
| B.55_D | B[6/14] | | 10,50 | 33,0 | 34,9 |
| B.55_D | B[7/14] | | 10,50 | 32,6 | 34,5 |
| B.56_A | B[1/39] | | 1,50 | 36,4 | 38,2 |
| B.56_A | B[10/39] | | 1,50 | 34,0 | 35,8 |
| B.56_A | B[2/39] | | 1,50 | 37,2 | 39,0 |
| B.56_A | B[3/39] | | 1,50 | 36,9 | 38,7 |
| B.56_A | B[4/39] | | 1,50 | 32,5 | 34,4 |
| B.56_A | B[35/39] | | 1,50 | 33,9 | 35,7 |
| B.56_A | B[36/39] | | 1,50 | 34,4 | 36,3 |
| B.56_A | B[37/39] | | 1,50 | 34,9 | 36,8 |
| B.56_A | B[38/39] | | 1,50 | 36,4 | 38,2 |
| B.56_A | B[39/39] | | 1,50 | 36,5 | 38,3 |
| B.56_A | B[4/39] | | 1,50 | 37,0 | 38,8 |
| B.56_A | B[5/39] | | 1,50 | 37,1 | 38,9 |
| B.56_A | B[6/39] | | 1,50 | 37,1 | 39,0 |
| B.56_A | B[7/39] | | 1,50 | 36,6 | 38,5 |
| B.56_A | B[8/39] | | 1,50 | 36,6 | 38,4 |
| B.56_A | B[9/39] | | 1,50 | 33,5 | 35,4 |
| B.56_B | B[1/39] | | 4,50 | 37,4 | 39,3 |
| B.56_B | B[10/39] | | 4,50 | 34,6 | 36,5 |
| B.56_B | B[2/39] | | 4,50 | 38,1 | 40,0 |
| B.56_B | B[3/39] | | 4,50 | 37,9 | 39,7 |
| B.56_B | B[34/39] | | 4,50 | 34,1 | 35,9 |
| B.56_B | B[35/39] | | 4,50 | 35,1 | 36,9 |
| B.56_B | B[36/39] | | 4,50 | 35,6 | 37,4 |
| B.56_B | B[37/39] | | 4,50 | 35,9 | 37,8 |
| B.56_B | B[38/39] | | 4,50 | 37,1 | 39,0 |
| B.56_B | B[39/39] | | 4,50 | 37,3 | 39,2 |
| B.56_B | B[4/39] | | 4,50 | 37,9 | 39,7 |
| B.56_B | B[5/39] | | 4,50 | 38,1 | 40,0 |
| B.56_B | B[6/39] | | 4,50 | 38,1 | 40,0 |
| B.56_B | B[7/39] | | 4,50 | 37,6 | 39,4 |
| B.56_B | B[8/39] | | 4,50 | 37,5 | 39,4 |
| B.56_B | B[9/39] | | 4,50 | 34,3 | 36,2 |
| B.56_C | B[1/39] | | 7,50 | 38,4 | 40,3 |
| B.56_C | B[10/39] | | 7,50 | 35,5 | 37,4 |
| B.56_C | B[2/39] | | 7,50 | 39,3 | 41,1 |
| B.56_C | B[3/39] | | 7,50 | 39,1 | 40,9 |
| B.56_C | B[34/39] | | 7,50 | 35,5 | 37,3 |
| B.56_C | B[35/39] | | 7,50 | 36,3 | 38,1 |
| B.56_C | B[36/39] | | 7,50 | 36,7 | 38,5 |
| B.56_C | B[37/39] | | 7,50 | 37,0 | 38,8 |
| B.56_C | B[38/39] | | 7,50 | 37,9 | 39,8 |
| B.56_C | B[39/39] | | 7,50 | 38,2 | 40,1 |
| B.56_C | B[4/39] | | 7,50 | 38,9 | 40,8 |
| B.56_C | B[5/39] | | 7,50 | 39,1 | 40,9 |
| B.56_C | B[6/39] | | 7,50 | 39,0 | 40,8 |
| B.56_C | B[7/39] | | 7,50 | 38,6 | 40,4 |
| B.56_C | B[8/39] | | 7,50 | 38,4 | 40,3 |

All shown dB values are A-weighted

Predictor V2019.02 16/04/2019 10:55:16

Progetto: leq in facciata ai recettori HYDEA S.p.A.

Report: Table of Results
Model: progetto_post_B
LAeq: total results for receivers
Group: (main group)
Group Reduction: No

| Name | Receiver | Description | Height | Day | Night |
|--------|----------|-------------|--------|------|-------|
| B.56_C | B[9/39] | | 7,50 | 35,1 | 36,9 |
| B.56_D | B[1/39] | | 10,50 | 39,2 | 41,1 |
| B.56_D | B[10/39] | | 10,50 | 36,7 | 38,5 |
| B.56_D | B[2/39] | | 10,50 | 40,1 | 41,9 |
| B.56_D | B[3/39] | | 10,50 | 39,9 | 41,8 |
| B.56_D | B[34/39] | | 10,50 | 37,0 | 38,9 |
| B.56_D | B[35/39] | | 10,50 | 37,5 | 39,3 |
| B.56_D | B[36/39] | | 10,50 | 37,6 | 39,5 |
| B.56_D | B[37/39] | | 10,50 | 37,8 | 39,7 |
| B.56_D | B[38/39] | | 10,50 | 38,5 | 40,3 |
| B.56_D | B[39/39] | | 10,50 | 38,9 | 40,7 |
| B.56_D | B[4/39] | | 10,50 | 39,6 | 41,5 |
| B.56_D | B[5/39] | | 10,50 | 39,6 | 41,4 |
| B.56_D | B[6/39] | | 10,50 | 39,5 | 41,4 |
| B.56_D | B[7/39] | | 10,50 | 39,3 | 41,2 |
| B.56_D | B[8/39] | | 10,50 | 39,2 | 41,1 |
| B.56_D | B[9/39] | | 10,50 | 36,0 | 37,9 |
| B.57_A | B[1/22] | | 1,50 | 30,4 | 32,2 |
| B.57_A | B[10/22] | | 1,50 | 29,9 | 31,7 |
| B.57_A | B[19/22] | | 1,50 | 29,2 | 31,0 |
| B.57_A | B[2/22] | | 1,50 | 30,8 | 32,6 |
| B.57_A | B[20/22] | | 1,50 | 28,8 | 30,6 |
| B.57_A | B[21/22] | | 1,50 | 28,8 | 30,6 |
| B.57_A | B[22/22] | | 1,50 | 29,7 | 31,4 |
| B.57_A | B[3/22] | | 1,50 | 31,3 | 33,1 |
| B.57_A | B[4/22] | | 1,50 | 31,2 | 33,0 |
| B.57_A | B[5/22] | | 1,50 | 30,6 | 32,4 |
| B.57_A | B[6/22] | | 1,50 | 30,2 | 31,9 |
| B.57_A | B[7/22] | | 1,50 | 30,4 | 32,2 |
| B.57_A | B[8/22] | | 1,50 | 30,4 | 32,1 |
| B.57_A | B[9/22] | | 1,50 | 30,8 | 32,6 |
| B.57_B | B[1/22] | | 4,50 | 31,6 | 33,4 |
| B.57_B | B[10/22] | | 4,50 | 30,2 | 32,0 |
| B.57_B | B[19/22] | | 4,50 | 30,6 | 32,4 |
| B.57_B | B[2/22] | | 4,50 | 31,6 | 33,5 |
| B.57_B | B[20/22] | | 4,50 | 30,2 | 32,0 |
| B.57_B | B[21/22] | | 4,50 | 29,2 | 31,0 |
| B.57_B | B[22/22] | | 4,50 | 30,1 | 31,9 |
| B.57_B | B[3/22] | | 4,50 | 31,9 | 33,7 |
| B.57_B | B[4/22] | | 4,50 | 31,5 | 33,3 |
| B.57_B | B[5/22] | | 4,50 | 30,8 | 32,6 |
| B.57_B | B[6/22] | | 4,50 | 30,5 | 32,3 |
| B.57_B | B[7/22] | | 4,50 | 30,3 | 32,1 |
| B.57_B | B[8/22] | | 4,50 | 30,2 | 31,9 |
| B.57_B | B[9/22] | | 4,50 | 30,8 | 32,6 |
| B.57_C | B[1/22] | | 7,50 | 32,9 | 34,8 |
| B.57_C | B[10/22] | | 7,50 | 31,1 | 33,0 |
| B.57_C | B[19/22] | | 7,50 | 31,8 | 33,7 |
| B.57_C | B[2/22] | | 7,50 | 32,9 | 34,8 |
| B.57_C | B[20/22] | | 7,50 | 31,6 | 33,4 |
| B.57_C | B[21/22] | | 7,50 | 30,1 | 31,9 |
| B.57_C | B[22/22] | | 7,50 | 31,2 | 33,1 |
| B.57_C | B[3/22] | | 7,50 | 32,9 | 34,7 |
| B.57_C | B[4/22] | | 7,50 | 32,5 | 34,3 |
| B.57_C | B[5/22] | | 7,50 | 31,5 | 33,3 |

All shown dB values are A-weighted

Predictor V2019.02 16/04/2019 10:55:16

Progetto: leq in facciata ai recettori HYDEA S.p.A.

Report: Table of Results
Model: progetto_post_B
LAeq: total results for receivers
Group: (main group)
Group Reduction: No

| Name | Receiver | Description | Height | Day | Night |
|--------|----------|-------------|--------|------|-------|
| B.57_C | B[6/22] | | 7,50 | 31,7 | 33,5 |
| B.57_C | B[7/22] | | 7,50 | 31,0 | 32,9 |
| B.57_C | B[8/22] | | 7,50 | 31,0 | 32,8 |
| B.57_C | B[9/22] | | 7,50 | 31,9 | 33,8 |
| B.57_D | B[1/22] | | 10,50 | 34,7 | 36,6 |
| B.57_D | B[10/22] | | 10,50 | 33,0 | 34,9 |
| B.57_D | B[19/22] | | 10,50 | 33,7 | 35,6 |
| B.57_D | B[2/22] | | 10,50 | 34,7 | 36,5 |
| B.57_D | B[20/22] | | 10,50 | 33,4 | 35,2 |
| B.57_D | B[21/22] | | 10,50 | 32,1 | 33,9 |
| B.57_D | B[22/22] | | 10,50 | 33,1 | 35,0 |
| B.57_D | B[3/22] | | 10,50 | 34,6 | 36,4 |
| B.57_D | B[4/22] | | 10,50 | 34,1 | 36,0 |
| B.57_D | B[5/22] | | 10,50 | 33,2 | 35,0 |
| B.57_D | B[6/22] | | 10,50 | 32,9 | 34,7 |
| B.57_D | B[7/22] | | 10,50 | 32,8 | 34,6 |
| B.57_D | B[8/22] | | 10,50 | 32,9 | 34,7 |
| B.57_D | B[9/22] | | 10,50 | 33,7 | 35,6 |
| B.58_A | B[1/17] | | 1,50 | 35,8 | 37,6 |
| B.58_A | B[15/17] | | 1,50 | 32,8 | 34,7 |
| B.58_A | B[16/17] | | 1,50 | 33,4 | 35,2 |
| B.58_A | B[17/17] | | 1,50 | 34,1 | 36,0 |
| B.58_A | B[2/17] | | 1,50 | 35,8 | 37,6 |
| B.58_A | B[3/17] | | 1,50 | 35,9 | 37,7 |
| B.58_A | B[4/17] | | 1,50 | 35,9 | 37,8 |
| B.58_A | B[5/17] | | 1,50 | 35,9 | 37,7 |
| B.58_A | B[6/17] | | 1,50 | 34,1 | 35,9 |
| B.58_A | B[7/17] | | 1,50 | 33,7 | 35,5 |
| B.58_A | B[8/17] | | 1,50 | 33,6 | 35,4 |
| B.58_A | B[9/17] | | 1,50 | 33,4 | 35,2 |
| B.58_B | B[1/17] | | 4,50 | 36,9 | 38,7 |
| B.58_B | B[15/17] | | 4,50 | 33,7 | 35,6 |
| B.58_B | B[16/17] | | 4,50 | 34,4 | 36,3 |
| B.58_B | B[17/17] | | 4,50 | 35,2 | 37,0 |
| B.58_B | B[2/17] | | 4,50 | 36,8 | 38,7 |
| B.58_B | B[3/17] | | 4,50 | 36,9 | 38,8 |
| B.58_B | B[4/17] | | 4,50 | 37,0 | 38,8 |
| B.58_B | B[5/17] | | 4,50 | 34,7 | 36,6 |
| B.58_B | B[6/17] | | 4,50 | 34,2 | 36,1 |
| B.58_B | B[7/17] | | 4,50 | 34,0 | 35,8 |
| B.58_B | B[8/17] | | 4,50 | 33,7 | 35,5 |
| B.58_C | B[1/17] | | 7,50 | 38,0 | 39,9 |
| B.58_C | B[15/17] | | 7,50 | 35,3 | 37,1 |
| B.58_C | B[16/17] | | 7,50 | | |

Report: Table of Results
Model: progetto_post_B
LAeq: total results for receivers
Group: (main group)
Group Reduction: No

| Name | Receiver | Description | Height | Day | Night |
|--------|----------|-------------|--------|------|-------|
| B.60_D | B[26/26] | 10,50 | 37,1 | 38,5 | |
| B.60_D | B[3/26] | 10,50 | 34,3 | 36,1 | |
| B.60_D | B[4/26] | 10,50 | 26,1 | 27,9 | |
| B.60_D | B[5/26] | 10,50 | 27,3 | 29,2 | |
| B.60_D | B[6/26] | 10,50 | 27,9 | 29,8 | |
| B.61_A | B[1/26] | 1,50 | 37,3 | 39,2 | |
| B.61_A | B[2/26] | 1,50 | 37,6 | 39,4 | |
| B.61_A | B[21/26] | 1,50 | 27,6 | 29,4 | |
| B.61_A | B[22/26] | 1,50 | 26,9 | 28,7 | |
| B.61_A | B[23/26] | 1,50 | 26,7 | 28,5 | |
| B.61_A | B[24/26] | 1,50 | 34,0 | 35,9 | |
| B.61_A | B[25/26] | 1,50 | 34,6 | 36,5 | |
| B.61_A | B[26/26] | 1,50 | 35,2 | 37,1 | |
| B.61_A | B[3/26] | 1,50 | 38,2 | 40,1 | |
| B.61_A | B[4/26] | 1,50 | 38,3 | 40,1 | |
| B.61_A | B[5/26] | 1,50 | 36,4 | 38,3 | |
| B.61_A | B[6/26] | 1,50 | 35,3 | 37,2 | |
| B.61_A | B[7/26] | 1,50 | 34,3 | 36,8 | |
| B.61_A | B[8/26] | 1,50 | 33,7 | 35,5 | |
| B.61_A | B[9/26] | 1,50 | 32,3 | 34,1 | |
| B.61_B | B[1/26] | 4,50 | 40,4 | 42,2 | |
| B.61_B | B[2/26] | 4,50 | 40,3 | 42,0 | |
| B.61_B | B[21/26] | 4,50 | 28,1 | 29,9 | |
| B.61_B | B[22/26] | 4,50 | 27,9 | 29,7 | |
| B.61_B | B[23/26] | 4,50 | 28,0 | 29,8 | |
| B.61_B | B[24/26] | 4,50 | 36,0 | 37,8 | |
| B.61_B | B[25/26] | 4,50 | 37,2 | 39,0 | |
| B.61_B | B[26/26] | 4,50 | 37,8 | 39,6 | |
| B.61_B | B[3/26] | 4,50 | 40,8 | 42,5 | |
| B.61_B | B[4/26] | 4,50 | 40,6 | 42,4 | |
| B.61_B | B[5/26] | 4,50 | 40,4 | 42,2 | |
| B.61_B | B[6/26] | 4,50 | 40,6 | 42,4 | |
| B.61_B | B[7/26] | 4,50 | 40,1 | 41,9 | |
| B.61_B | B[8/26] | 4,50 | 37,3 | 39,1 | |
| B.61_B | B[9/26] | 4,50 | 33,3 | 35,1 | |
| B.61_C | B[1/26] | 7,50 | 41,3 | 43,1 | |
| B.61_C | B[2/26] | 7,50 | 41,2 | 42,9 | |
| B.61_C | B[21/26] | 7,50 | 28,7 | 30,5 | |
| B.61_C | B[22/26] | 7,50 | 28,5 | 30,3 | |
| B.61_C | B[23/26] | 7,50 | 28,5 | 30,4 | |
| B.61_C | B[24/26] | 7,50 | 37,5 | 39,3 | |
| B.61_C | B[25/26] | 7,50 | 38,4 | 40,2 | |
| B.61_C | B[26/26] | 7,50 | 38,8 | 40,6 | |
| B.61_C | B[3/26] | 7,50 | 41,6 | 43,4 | |
| B.61_C | B[4/26] | 7,50 | 41,4 | 43,2 | |
| B.61_C | B[5/26] | 7,50 | 41,2 | 43,0 | |
| B.61_C | B[6/26] | 7,50 | 41,4 | 43,2 | |
| B.61_C | B[7/26] | 7,50 | 40,9 | 42,7 | |
| B.61_C | B[8/26] | 7,50 | 38,3 | 40,1 | |
| B.61_C | B[9/26] | 7,50 | 34,6 | 36,4 | |
| B.61_D | B[1/26] | 10,50 | 42,1 | 43,8 | |
| B.61_D | B[2/26] | 10,50 | 41,9 | 43,7 | |
| B.61_D | B[21/26] | 10,50 | 29,5 | 31,3 | |
| B.61_D | B[22/26] | 10,50 | 29,2 | 31,1 | |
| B.61_D | B[23/26] | 10,50 | 29,3 | 31,2 | |

Report: Table of Results
Model: progetto_post_B
LAeq: total results for receivers
Group: (main group)
Group Reduction: No

| Name | Receiver | Description | Height | Day | Night |
|--------|----------|-------------|--------|------|-------|
| B.61_D | B[24/26] | 10,50 | 38,2 | 40,0 | |
| B.61_D | B[25/26] | 10,50 | 39,1 | 40,9 | |
| B.61_D | B[26/26] | 10,50 | 39,6 | 41,3 | |
| B.61_D | B[3/26] | 10,50 | 42,4 | 44,1 | |
| B.61_D | B[4/26] | 10,50 | 42,2 | 43,9 | |
| B.61_D | B[5/26] | 10,50 | 41,9 | 43,7 | |
| B.61_D | B[6/26] | 10,50 | 42,2 | 43,9 | |
| B.61_D | B[7/26] | 10,50 | 41,6 | 43,3 | |
| B.61_D | B[8/26] | 10,50 | 39,3 | 41,1 | |
| B.61_D | B[9/26] | 10,50 | 36,6 | 38,5 | |
| B.62_A | B[1/22] | 1,50 | 44,2 | 46,0 | |
| B.62_A | B[10/22] | 1,50 | 42,6 | 44,4 | |
| B.62_A | B[18/22] | 1,50 | 35,3 | 37,2 | |
| B.62_A | B[19/22] | 1,50 | 34,8 | 36,6 | |
| B.62_A | B[2/22] | 1,50 | 44,5 | 46,3 | |
| B.62_A | B[20/22] | 1,50 | 36,2 | 38,0 | |
| B.62_A | B[21/22] | 1,50 | 35,4 | 37,3 | |
| B.62_A | B[22/22] | 1,50 | 38,8 | 40,6 | |
| B.62_A | B[3/22] | 1,50 | 44,6 | 46,3 | |
| B.62_A | B[4/22] | 1,50 | 44,7 | 46,5 | |
| B.62_A | B[5/22] | 1,50 | 45,0 | 46,7 | |
| B.62_A | B[6/22] | 1,50 | 44,4 | 46,2 | |
| B.62_A | B[7/22] | 1,50 | 45,7 | 47,4 | |
| B.62_A | B[8/22] | 1,50 | 43,1 | 44,9 | |
| B.62_A | B[9/22] | 1,50 | 42,9 | 44,7 | |
| B.62_B | B[1/22] | 4,50 | 45,0 | 46,8 | |
| B.62_B | B[10/22] | 4,50 | 43,7 | 45,4 | |
| B.62_B | B[18/22] | 4,50 | 37,8 | 39,7 | |
| B.62_B | B[19/22] | 4,50 | 36,6 | 38,5 | |
| B.62_B | B[2/22] | 4,50 | 45,3 | 47,1 | |
| B.62_B | B[20/22] | 4,50 | 37,4 | 39,2 | |
| B.62_B | B[21/22] | 4,50 | 36,7 | 38,5 | |
| B.62_B | B[22/22] | 4,50 | 39,9 | 41,7 | |
| B.62_B | B[3/22] | 4,50 | 45,5 | 47,2 | |
| B.62_B | B[4/22] | 4,50 | 45,6 | 47,3 | |
| B.62_B | B[5/22] | 4,50 | 45,9 | 47,7 | |
| B.62_B | B[6/22] | 4,50 | 45,4 | 47,1 | |
| B.62_B | B[7/22] | 4,50 | 46,7 | 48,4 | |
| B.62_B | B[8/22] | 4,50 | 43,9 | 45,6 | |
| B.62_B | B[9/22] | 4,50 | 43,8 | 45,5 | |
| B.62_C | B[1/22] | 7,50 | 45,9 | 47,6 | |
| B.62_C | B[10/22] | 7,50 | 42,6 | 44,4 | |
| B.62_C | B[18/22] | 7,50 | 39,4 | 41,2 | |
| B.62_C | B[19/22] | 7,50 | 38,5 | 40,3 | |
| B.62_C | B[2/22] | 7,50 | 46,1 | 47,9 | |
| B.62_C | B[20/22] | 7,50 | 39,0 | 40,8 | |
| B.62_C | B[21/22] | 7,50 | 37,5 | 39,3 | |
| B.62_C | B[22/22] | 7,50 | 41,3 | 43,1 | |
| B.62_C | B[3/22] | 7,50 | 46,2 | 48,0 | |
| B.62_C | B[4/22] | 7,50 | 46,3 | 48,1 | |
| B.62_C | B[5/22] | 7,50 | 46,6 | 48,3 | |
| B.62_C | B[6/22] | 7,50 | 46,0 | 47,8 | |
| B.62_C | B[7/22] | 7,50 | 47,4 | 49,1 | |
| B.62_C | B[8/22] | 7,50 | 44,5 | 46,3 | |
| B.62_C | B[9/22] | 7,50 | 43,6 | 45,4 | |

Report: Table of Results
Model: progetto_post_B
LAeq: total results for receivers
Group: (main group)
Group Reduction: No

| Name | Receiver | Description | Height | Day | Night |
|--------|----------|-------------|--------|------|-------|
| B.63_A | B[1/23] | 1,50 | 45,6 | 47,4 | |
| B.63_A | B[10/23] | 1,50 | 44,3 | 46,0 | |
| B.63_A | B[11/23] | 1,50 | 43,8 | 45,5 | |
| B.63_A | B[18/23] | 1,50 | 34,8 | 36,6 | |
| B.63_A | B[19/23] | 1,50 | 34,9 | 36,7 | |
| B.63_A | B[2/23] | 1,50 | 46,0 | 47,7 | |
| B.63_A | B[20/23] | 1,50 | 39,1 | 40,9 | |
| B.63_A | B[21/23] | 1,50 | 37,5 | 39,5 | |
| B.63_A | B[22/23] | 1,50 | 37,1 | 38,9 | |
| B.63_A | B[23/23] | 1,50 | 41,8 | 43,6 | |
| B.63_A | B[3/23] | 1,50 | 46,1 | 47,8 | |
| B.63_A | B[4/23] | 1,50 | 46,4 | 48,1 | |
| B.63_A | B[5/23] | 1,50 | 46,6 | 48,4 | |
| B.63_A | B[6/23] | 1,50 | 46,4 | 48,2 | |
| B.63_A | B[7/23] | 1,50 | 47,7 | 49,4 | |
| B.63_A | B[8/23] | 1,50 | 47,6 | 49,3 | |
| B.63_A | B[9/23] | 1,50 | 44,0 | 45,8 | |
| B.63_B | B[1/23] | 4,50 | 46,6 | 48,3 | |
| B.63_B | B[10/23] | 4,50 | 44,9 | 46,6 | |
| B.63_B | B[11/23] | 4,50 | 44,3 | 46,0 | |
| B.63_B | B[18/23] | 4,50 | 36,1 | 37,9 | |
| B.63_B | B[19/23] | 4,50 | 37,0 | 38,8 | |
| B.63_B | B[2/23] | 4,50 | 46,8 | 48,5 | |
| B.63_B | B[20/23] | 4,50 | 40,5 | 42,2 | |
| B.63_B | B[21/23] | 4,50 | 39,6 | 41,4 | |
| B.63_B | B[22/23] | 4,50 | 39,0 | 40,8 | |
| B.63_B | B[23/23] | 4,50 | 43,2 | 45,0 | |
| B.63_B | B[3/23] | 4,50 | 46,8 | 48,6 | |
| B.63_B | B[4/23] | 4,50 | 47,1 | 48,9 | |
| B.63_B | B[5/23] | 4,50 | 47,4 | 49,2 | |
| B.63_B | B[6/23] | 4,50 | 47,4 | 49,1 | |
| B.63_B | B[7/23] | 4,50 | 48,3 | 50,0 | |
| B.63_B | B[8/23] | 4,50 | 48,2 | 49,9 | |
| B.63_B | B[9/23] | 4,50 | 44,7 | 46,4 | |
| B.63_C | B[1/23] | 7,50 | 47,2 | 49,0 | |
| B.63_C | B[10/23] | 7,50 | 45,0 | 46,8 | |
| B.63_C | B[11/23] | 7,50 | 44,1 | 45,8 | |
| B.63_C | B[18/23] | 7,50 | 40,0 | 41,7 | |
| B.63_C | B[19/23] | 7,50 | 40,1 | 41,9 | |
| B.63_C | B[2/23] | 7,50 | 47,4 | 49,1 | |
| B.63_C | B[20/23] | 7,50 | 41,6 | 43,3 | |
| B.63_C | B[21/23] | 7,50 | 39,0 | 40,8 | |
| B.63_C | B[22/23] | 7,50 | 40,6 | 42,4 | |
| B.63_C | B[23/23] | 7,50 | 44,1 | 45,9 | |
| B.63_C | B[3/23] | 7,50 | 47,4 | 49,2 | |
| B.63_C | B[4/23] | 7,50 | 47,7 | 49,5 | |
| B.63_C | B[5/23] | 7,50 | 48,0 | 49,8 | |
| B.63_C | B[6/23] | 7,50 | 48,0 | 49,7 | |
| B.63_C | B[7/23] | 7,50 | 46,1 | 47,9 | |
| B.63_C | B[8/23] | 7,50 | 46,1 | 47,8 | |
| B.63_C | B[9/23] | 7,50 | 45,4 | 47,2 | |
| B.64_A | B[1/18] | 1,50 | 47,1 | 48,8 | |
| B.64_A | B[15/18] | 1,50 | 41,0 | 42,8 | |
| B.64_A | B[16/18] | 1,50 | 41,1 | 42,8 | |
| B.64_A | B[17/18] | 1,50 | 41,7 | 43,4 | |

Report: Table of Results
Model: progetto_post_B
LAeq: total results for receivers
Group: (main group)
Group Reduction: No

| Name | Receiver | Description | Height | Day | Night |
|--------|----------|-------------|--------|------|-------|
| B.64_A | B[1/18] | 1,50 | 44,1 | 45,8 | |
| B.64_A | B[2/18] | 1,50 | 47,3 | 49,1 | |
| B.64_A | B[3/18] | 1,50 | 47,5 | 49,3 | |
| B.64_A | B[4/18] | 1,50 | 47,8 | 49,5 | |
| B.64_A | B[5/18] | 1,50 | 45,2 | 46,9 | |
| B.64_A | B[6/18] | 1,50 | 45,6 | 47,3 | |
| B.64_A | B[7/18] | 1,50 | 45,4 | 47,2 | |
| B.64_A | B[8/18] | 1,50 | 45,6 | 47,3 | |
| B.64_A | B[9/18] | 1,50 | 45,1 | 46,9 | |
| B.64_A | B[1/18] | 4,50 | 47,7 | 49,5 | |
| B.64_B | B[15/18] | 4,50 | 41,9 | 43,7 | |
| B.64_B | B[16/18] | 4,50 | 42,3 | 44,1 | |
| B.64_B | B[17/18] | 4,50 | 42,9 | 44,7 | |
| B.64_B | B[18/18] | 4,50 | 45,0 | 46,8 | |
| B.64_B | B[2/18] | 4,50 | 48,0 | 49,7 | |
| B.64_B | B[3/18] | 4,50 | 48,1 | 49,8 | |
| B.64_B | B[4/18] | 4,50 | 48,3 | 50,0 | |
| B.64_B | B[5/18] | 4,50 | 45,7 | 47,4 | |
| B.64_B | B[6/18] | 4,50 | 46,1 | 47,8 | |
| B.64_B | B[7/18] | 4,50 | 45,9 | 47,7 | |
| B.64_B | B[8/18] | 4,50 | 46,1 | 47,8 | |
| B.64_B | B[9/18] | 4,50 | 45,6 | 47,4 | |
| B.64_C | B[1/18] | 7,50 | 48,3 | 50,0 | |
| B.64_C | B[15/18] | 7,50 | 43,0 | 44,7 | |
| B.64_C | B[16/18] | 7,50 | 41,6 | 43,4 | |
| B.64_C | B[17/18] | 7,50 | 44,1 | 45,8 | |
| B.64_C | B[18/18] | 7,50 | 45,8 | 47,6 | |
| B.64_C | B[2/18] | 7,50 | 48,5 | 50,3 | |
| B.64_C | B[3/18] | 7,50 | 48,6 | 50,4 | |
| B.64_C | B[4/18] | 7,50 | 48,8 | 50,6 | |
| B.64_C | B[5/18] | 7,50 | 46,2 | 48,0 | |
| B.64_C | B[6/18] | 7,50 | 46,5 | 48,2 | |
| B.64_C | B[7/18] | 7,50 | 45,3 | 47,1 | |
| B.64_C | B[8/18] | 7,50 | 44,9 | 46,6 | |
| B.64_C | B[9/18] | 7,50 | 44,3 | 46,1 | |
| B.65_A | B[1/16] | 1,50 | 25,2 | 26,9 | |
| B.65_A | B[10/16] | 1,50 | 30,3 | 32,1 | |
| B.65_A | B[11/16] | 1,50 | 29,8 | 31,6 | |
| B.65_A | B[12/16] | 1,50 | 29,0 | 30,8 | |
| B.65_A | B[13/16] | 1,50 | 28,2 | 30,1 | |
| B.65_A | B[2/16] | 1,50 | 26,3 | 28,0 | |
| B.65_A | B[3/16] | 1,50 | 26,5 | 28,2 | |
| B.65_A | B[4/16] | 1,50 | 25,7 | 27,4 | |
| B.65_A | B[5/16] | 1,50 | 26,4 | | |

Report: Table of Results
 Model: progetto_post_B
 LAeq: total results for receivers
 Group: (main group)
 Group Reduction: No

| Name | Receiver | Description | Height | Day | Night |
|--------|----------|-------------|--------|------|-------|
| B.67_D | B[2/21] | 10,50 | 36,9 | 38,8 | |
| B.67_D | B[20/21] | 10,50 | 35,2 | 37,0 | |
| B.67_D | B[21/21] | 10,50 | 35,6 | 37,5 | |
| B.67_D | B[3/21] | 10,50 | 35,7 | 37,6 | |
| B.67_D | B[4/21] | 10,50 | 35,8 | 37,7 | |
| B.67_D | B[5/21] | 10,50 | 35,8 | 37,7 | |
| B.68_A | B[1/15] | 1,50 | 32,5 | 34,3 | |
| B.68_A | B[14/15] | 1,50 | 28,6 | 30,4 | |
| B.68_A | B[15/15] | 1,50 | 29,3 | 31,1 | |
| B.68_A | B[2/15] | 1,50 | 32,3 | 34,1 | |
| B.68_A | B[3/15] | 1,50 | 31,8 | 33,6 | |
| B.68_A | B[4/15] | 1,50 | 30,3 | 32,1 | |
| B.68_A | B[5/15] | 1,50 | 27,8 | 29,6 | |
| B.68_A | B[6/15] | 1,50 | 28,8 | 30,6 | |
| B.68_A | B[7/15] | 1,50 | 28,7 | 30,5 | |
| B.68_A | B[8/15] | 1,50 | 28,7 | 30,6 | |
| B.68_B | B[1/15] | 4,50 | 34,4 | 36,2 | |
| B.68_B | B[14/15] | 4,50 | 31,7 | 33,5 | |
| B.68_B | B[15/15] | 4,50 | 32,1 | 33,9 | |
| B.68_B | B[2/15] | 4,50 | 34,2 | 36,0 | |
| B.68_B | B[3/15] | 4,50 | 34,3 | 36,1 | |
| B.68_B | B[4/15] | 4,50 | 33,8 | 35,6 | |
| B.68_B | B[5/15] | 4,50 | 33,2 | 35,1 | |
| B.68_B | B[6/15] | 4,50 | 32,3 | 34,1 | |
| B.68_B | B[7/15] | 4,50 | 32,1 | 34,0 | |
| B.68_B | B[8/15] | 4,50 | 32,0 | 33,8 | |
| B.68_C | B[1/15] | 7,50 | 36,0 | 37,8 | |
| B.68_C | B[14/15] | 7,50 | 34,0 | 35,9 | |
| B.68_C | B[15/15] | 7,50 | 34,7 | 36,5 | |
| B.68_C | B[2/15] | 7,50 | 35,8 | 37,7 | |
| B.68_C | B[3/15] | 7,50 | 36,0 | 37,9 | |
| B.68_C | B[4/15] | 7,50 | 36,2 | 38,0 | |
| B.68_C | B[5/15] | 7,50 | 35,9 | 37,7 | |
| B.68_C | B[6/15] | 7,50 | 34,0 | 35,9 | |
| B.68_C | B[7/15] | 7,50 | 34,0 | 35,8 | |
| B.68_C | B[8/15] | 7,50 | 33,8 | 35,7 | |
| B.69_A | B[1/12] | 1,50 | 29,6 | 31,4 | |
| B.69_A | B[10/12] | 1,50 | 27,4 | 29,2 | |
| B.69_A | B[11/12] | 1,50 | 27,5 | 29,4 | |
| B.69_A | B[12/12] | 1,50 | 27,6 | 29,4 | |
| B.69_A | B[2/12] | 1,50 | 28,6 | 30,4 | |
| B.69_A | B[3/12] | 1,50 | 29,5 | 31,3 | |
| B.69_A | B[4/12] | 1,50 | 28,6 | 30,5 | |
| B.69_A | B[5/12] | 1,50 | 28,4 | 30,3 | |
| B.69_A | B[6/12] | 1,50 | 28,0 | 29,9 | |
| B.69_B | B[1/12] | 4,50 | 31,6 | 33,5 | |
| B.69_B | B[10/12] | 4,50 | 28,4 | 30,3 | |
| B.69_B | B[11/12] | 4,50 | 29,0 | 30,8 | |
| B.69_B | B[12/12] | 4,50 | 30,0 | 31,9 | |
| B.69_B | B[2/12] | 4,50 | 31,1 | 32,9 | |
| B.69_B | B[3/12] | 4,50 | 31,3 | 33,2 | |
| B.69_B | B[4/12] | 4,50 | 30,7 | 32,6 | |
| B.69_B | B[5/12] | 4,50 | 30,4 | 32,3 | |
| B.69_B | B[6/12] | 4,50 | 30,4 | 32,3 | |
| B.69_C | B[1/12] | 7,50 | 34,3 | 36,2 | |

All shown dB values are A-weighted
 Predictor V2019.02 16/04/2019 10:55:16

Report: Table of Results
 Model: progetto_post_B
 LAeq: total results for receivers
 Group: (main group)
 Group Reduction: No

| Name | Receiver | Description | Height | Day | Night |
|--------|----------|-------------|--------|------|-------|
| B.69_C | B[10/12] | 7,50 | 30,7 | 32,5 | |
| B.69_C | B[11/12] | 7,50 | 31,0 | 32,9 | |
| B.69_C | B[12/12] | 7,50 | 32,3 | 34,1 | |
| B.69_C | B[2/12] | 7,50 | 34,1 | 35,9 | |
| B.69_C | B[3/12] | 7,50 | 33,8 | 35,6 | |
| B.69_C | B[4/12] | 7,50 | 32,4 | 34,2 | |
| B.69_C | B[5/12] | 7,50 | 32,2 | 34,1 | |
| B.69_C | B[6/12] | 7,50 | 32,2 | 34,0 | |
| B.69_D | B[1/12] | 10,50 | 35,0 | 36,9 | |
| B.69_D | B[10/12] | 10,50 | 32,1 | 34,0 | |
| B.69_D | B[11/12] | 10,50 | 32,2 | 34,1 | |
| B.69_D | B[12/12] | 10,50 | 33,1 | 35,0 | |
| B.69_D | B[2/12] | 10,50 | 34,8 | 36,7 | |
| B.69_D | B[3/12] | 10,50 | 34,5 | 36,4 | |
| B.69_D | B[4/12] | 10,50 | 33,6 | 35,4 | |
| B.69_D | B[5/12] | 10,50 | 33,6 | 35,5 | |
| B.69_D | B[6/12] | 10,50 | 33,5 | 35,4 | |
| B.70_A | B[10/42] | 1,50 | 30,0 | 31,9 | |
| B.70_A | B[11/42] | 1,50 | 29,3 | 31,2 | |
| B.70_A | B[12/42] | 1,50 | 29,7 | 31,5 | |
| B.70_A | B[13/42] | 1,50 | 29,9 | 31,8 | |
| B.70_A | B[14/42] | 1,50 | 29,5 | 31,4 | |
| B.70_A | B[15/42] | 1,50 | 26,1 | 27,9 | |
| B.70_A | B[16/42] | 1,50 | 24,5 | 26,3 | |
| B.70_A | B[17/42] | 1,50 | 24,3 | 26,2 | |
| B.70_A | B[18/42] | 1,50 | 24,3 | 26,1 | |
| B.70_A | B[19/42] | 1,50 | 24,2 | 26,0 | |
| B.70_A | B[2/42] | 1,50 | 21,8 | 23,6 | |
| B.70_A | B[20/42] | 1,50 | 24,4 | 26,2 | |
| B.70_A | B[21/42] | 1,50 | 24,6 | 26,4 | |
| B.70_A | B[22/42] | 1,50 | 25,5 | 27,3 | |
| B.70_A | B[23/42] | 1,50 | 26,2 | 28,0 | |
| B.70_A | B[24/42] | 1,50 | 26,4 | 28,3 | |
| B.70_A | B[25/42] | 1,50 | 25,9 | 27,8 | |
| B.70_A | B[26/42] | 1,50 | 25,7 | 27,6 | |
| B.70_A | B[3/42] | 1,50 | 21,4 | 23,1 | |
| B.70_A | B[4/42] | 1,50 | 21,9 | 23,7 | |
| B.70_A | B[5/42] | 1,50 | 22,2 | 24,1 | |
| B.70_A | B[6/42] | 1,50 | 24,0 | 25,8 | |
| B.70_A | B[7/42] | 1,50 | 24,4 | 26,2 | |
| B.70_A | B[8/42] | 1,50 | 28,1 | 29,9 | |
| B.70_A | B[9/42] | 1,50 | 28,9 | 30,7 | |
| B.70_B | B[10/42] | 4,50 | 31,0 | 32,8 | |
| B.70_B | B[11/42] | 4,50 | 30,7 | 32,6 | |
| B.70_B | B[12/42] | 4,50 | 30,3 | 32,1 | |
| B.70_B | B[13/42] | 4,50 | 30,3 | 32,2 | |
| B.70_B | B[14/42] | 4,50 | 29,8 | 31,7 | |
| B.70_B | B[15/42] | 4,50 | 30,2 | 32,0 | |
| B.70_B | B[16/42] | 4,50 | 29,4 | 31,3 | |
| B.70_B | B[17/42] | 4,50 | 29,5 | 31,3 | |
| B.70_B | B[18/42] | 4,50 | 28,8 | 30,6 | |
| B.70_B | B[19/42] | 4,50 | 26,7 | 28,6 | |
| B.70_B | B[2/42] | 4,50 | 21,7 | 23,5 | |
| B.70_B | B[20/42] | 4,50 | 25,8 | 27,7 | |
| B.70_B | B[21/42] | 4,50 | 25,4 | 27,3 | |

All shown dB values are A-weighted
 Predictor V2019.02 16/04/2019 10:55:16

Report: Table of Results
 Model: progetto_post_B
 LAeq: total results for receivers
 Group: (main group)
 Group Reduction: No

| Name | Receiver | Description | Height | Day | Night |
|--------|----------|-------------|--------|------|-------|
| B.70_B | B[22/42] | 4,50 | 28,1 | 29,9 | |
| B.70_B | B[23/42] | 4,50 | 29,1 | 30,9 | |
| B.70_B | B[24/42] | 4,50 | 27,3 | 29,2 | |
| B.70_B | B[25/42] | 4,50 | 26,6 | 28,5 | |
| B.70_B | B[26/42] | 4,50 | 26,1 | 27,9 | |
| B.70_B | B[3/42] | 4,50 | 22,1 | 23,9 | |
| B.70_B | B[4/42] | 4,50 | 22,5 | 24,3 | |
| B.70_B | B[5/42] | 4,50 | 23,7 | 25,6 | |
| B.70_B | B[6/42] | 4,50 | 24,7 | 26,5 | |
| B.70_B | B[7/42] | 4,50 | 25,4 | 27,2 | |
| B.70_B | B[8/42] | 4,50 | 29,0 | 30,8 | |
| B.70_B | B[9/42] | 4,50 | 30,0 | 31,8 | |
| B.70_C | B[10/42] | 7,50 | 32,3 | 34,1 | |
| B.70_C | B[11/42] | 7,50 | 31,9 | 33,7 | |
| B.70_C | B[12/42] | 7,50 | 31,9 | 33,8 | |
| B.70_C | B[13/42] | 7,50 | 31,9 | 33,7 | |
| B.70_C | B[14/42] | 7,50 | 31,4 | 33,2 | |
| B.70_C | B[15/42] | 7,50 | 31,7 | 33,6 | |
| B.70_C | B[16/42] | 7,50 | 31,1 | 33,0 | |
| B.70_C | B[17/42] | 7,50 | 31,2 | 33,1 | |
| B.70_C | B[18/42] | 7,50 | 30,2 | 32,1 | |
| B.70_C | B[19/42] | 7,50 | 28,4 | 30,3 | |
| B.70_C | B[2/42] | 7,50 | 24,6 | 26,5 | |
| B.70_C | B[20/42] | 7,50 | 27,6 | 29,4 | |
| B.70_C | B[21/42] | 7,50 | 27,7 | 29,5 | |
| B.70_C | B[22/42] | 7,50 | 29,6 | 31,5 | |
| B.70_C | B[23/42] | 7,50 | 30,1 | 32,0 | |
| B.70_C | B[24/42] | 7,50 | 28,8 | 30,6 | |
| B.70_C | B[25/42] | 7,50 | 28,9 | 30,8 | |
| B.70_C | B[26/42] | 7,50 | 28,6 | 30,5 | |
| B.70_C | B[3/42] | 7,50 | 24,7 | 26,6 | |
| B.70_C | B[4/42] | 7,50 | 25,2 | 27,0 | |
| B.70_C | B[5/42] | 7,50 | 25,8 | 27,7 | |
| B.70_C | B[6/42] | 7,50 | 26,9 | 28,7 | |
| B.70_C | B[7/42] | 7,50 | 27,6 | 29,4 | |
| B.70_C | B[8/42] | 7,50 | 30,4 | 32,2 | |
| B.70_C | B[9/42] | 7,50 | 31,4 | 33,3 | |
| B.70_D | B[10/42] | 10,50 | 33,9 | 35,8 | |
| B.70_D | B[11/42] | 10,50 | 33,1 | 35,0 | |
| B.70_D | B[12/42] | 10,50 | 33,4 | 35,3 | |
| B.70_D | B[13/42] | 10,50 | 33,2 | 35,1 | |
| B.70_D | B[14/42] | 10,50 | 32,8 | 34,6 | |
| B.70_D | B[15/42] | 10,50 | 33,6 | 35,5 | |
| B.70_D | B[16/42] | 10,50 | 33,3 | 35,2 | |
| B.70_D | B[17/42] | 10,50 | 35,4 | 37,3 | |
| B.70_D | B[18/42] | 10,50 | 32,5 | 34,4 | |
| B.70_D | B[19/42] | 10,50 | 31,1 | 32,9 | |
| B.70_D | B[2/42] | 10,50 | 27,3 | 29,2 | |
| B.70_D | B[20/42] | 10,50 | 30,3 | 32,1 | |
| B.70_D | B[21/42] | 10,50 | 30,5 | 32,4 | |
| B.70_D | B[22/42] | 10,50 | 32,2 | 34,0 | |
| B.70_D | B[23/42] | 10,50 | 32,1 | 33,9 | |
| B.70_D | B[24/42] | 10,50 | 30,2 | 32,1 | |
| B.70_D | B[25/42] | 10,50 | 30,4 | 32,3 | |
| B.70_D | B[26/42] | 10,50 | 30,0 | 31,8 | |

All shown dB values are A-weighted
 Predictor V2019.02 16/04/2019 10:55:16

Report: Table of Results
 Model: progetto_post_B
 LAeq: total results for receivers
 Group: (main group)
 Group Reduction: No

| Name | Receiver | Description | Height | Day | Night |
|--------|----------|-------------|--------|------|-------|
| B.70_D | B[3/42] | 10,50 | 27,7 | 29,1 | |
| B.70_D | B[4/42] | 10,50 | 27,7 | 29,6 | |
| B.70_D | B[5/42] | 10,50 | 28,0 | 29,9 | |
| B.70_D | B[6/42] | 10,50 | 29,5 | 31,4 | |
| B.70_D | B[7/42] | 10,50 | 30,5 | 32,4 | |
| B.70_D | B[8/42] | 10,50 | 31,0 | 32,9 | |
| B.70_D | B[9/42] | 10,50 | 33,8 | 35,7 | |
| B.71_A | B[1/14] | 1,50 | 23,0 | 24,8 | |
| B.71_A | B[12/14] | 1,50 | 18,7 | 20,5 | |
| B.71_A | B[13/14] | 1,50 | 19,4 | 21,1 | |
| B.71_A | B[14/14] | 1,50 | 19,8 | 21,6 | |
| B.71_A | B[2/14] | 1,50 | 23,5 | 25,3 | |
| B.71_A | B[3/14] | 1,50 | 23,9 | 25,7 | |
| B.71_A | B[4/14] | 1,50 | 21,6 | 23,4 | |
| B.71_B | B[1/14] | 4,50 | 22,7 | 24,5 | |
| B.71_B | B[12/14] | 4,50 | 20,5 | 22,3 | |
| B.71_B | B[13/14] | 4,50 | 21,3 | 23,1 | |
| B.71_B | B[14/14] | 4,50 | 21,2 | 23,1 | |
| B.71_B | B[2/14] | 4,50 | 23,3 | 25,1 | |
| B.71_B | B[3/14] | 4,50 | 23,5 | 25,3 | |
| B.71_B | B[4/14] | 4,50 | 23,9 | 25,7 | |
| B.71_C | B[1/14] | 7,50 | 24,2 | 26,0 | |
| B.71_C | B[12/14] | 7,50 | 21,6 | 23,6 | |
| B.71_C | B[13/14] | 7,50 | 23,1 | 25,0 | |
| B.71_C | B[14/14] | 7,50 | 22,9 | 24,8 | |
| B.71_C | B[2/14] | 7,50 | 24,9 | 26,8 | |
| B.71_C | B[3/14] | 7,50 | 25,0 | 26,8 | |
| B.71_C | B[4/14] | 7,50 | 25,0 | 26,8 | |
| B.71_D | B[1/14] | 10,50 | 27,5 | 29,4 | |
| B.71_D | B[12/14] | 10,50 | 23,6 | 25,5 | |
| B.71_D | B[13/14] | 10,50 | 24,9 | 26,8 | |
| B.71_D | B[14/14] | 10,50 | 24,9 | 26,8 | |
| B.71_D | B[2/14] | 10,50 | 27,9 | 29,8 | |
| B.71_D | B[3/14] | 10,50 | 28,0 | 29,9 | |
| B.71_D | B[4/14] | 10,50 | 27,4 | 29,3 | |
| B.72_A | B[1/17] | 1,50 | 32,7 | 34,5 | |
| B.72_A | B[12/17] | | | | |

Report: Table of Results
Model: progetto_post_B
LAeq: total results for receivers
Group: (main group)
Group Reduction: No

| Name | Receiver | Description | Height | Day | Night |
|--------|----------|-------------|--------|------|-------|
| B_75_A | B[1/32] | | 4,50 | 34,1 | 35,9 |
| B_75_B | B[30/32] | | 4,50 | 35,8 | 37,7 |
| B_75_C | B[31/32] | | 4,50 | 35,8 | 37,7 |
| B_75_B | B[32/32] | | 4,50 | 35,8 | 37,7 |
| B_75_B | B[4/32] | | 4,50 | 34,1 | 35,9 |
| B_75_B | B[5/32] | | 4,50 | 34,2 | 36,1 |
| B_75_C | B[13/32] | | 7,50 | 35,1 | 37,0 |
| B_75_C | B[17/32] | | 7,50 | 34,9 | 36,8 |
| B_75_C | B[18/32] | | 7,50 | 35,1 | 37,0 |
| B_75_C | B[19/32] | | 7,50 | 35,3 | 37,2 |
| B_75_C | B[2/32] | | 7,50 | 35,0 | 36,9 |
| B_75_C | B[20/32] | | 7,50 | 35,4 | 37,3 |
| B_75_C | B[21/32] | | 7,50 | 35,5 | 37,4 |
| B_75_C | B[22/32] | | 7,50 | 36,8 | 38,7 |
| B_75_C | B[23/32] | | 7,50 | 36,9 | 38,8 |
| B_75_C | B[24/32] | | 7,50 | 37,0 | 38,8 |
| B_75_C | B[25/32] | | 7,50 | 37,0 | 38,9 |
| B_75_C | B[26/32] | | 7,50 | 36,8 | 38,7 |
| B_75_C | B[27/32] | | 7,50 | 36,9 | 38,7 |
| B_75_C | B[28/32] | | 7,50 | 36,7 | 38,6 |
| B_75_C | B[29/32] | | 7,50 | 36,6 | 38,5 |
| B_75_C | B[3/32] | | 7,50 | 35,0 | 36,9 |
| B_75_C | B[30/32] | | 7,50 | 36,7 | 38,6 |
| B_75_C | B[31/32] | | 7,50 | 36,7 | 38,5 |
| B_75_C | B[32/32] | | 7,50 | 36,7 | 38,5 |
| B_75_C | B[4/32] | | 7,50 | 34,9 | 36,8 |
| B_75_C | B[5/32] | | 7,50 | 34,9 | 36,8 |
| B_76_A | B[1/49] | | 1,50 | 33,5 | 35,3 |
| B_76_A | B[10/49] | | 1,50 | 31,5 | 33,3 |
| B_76_A | B[11/49] | | 1,50 | 31,4 | 33,2 |
| B_76_A | B[12/49] | | 1,50 | 31,5 | 33,3 |
| B_76_A | B[13/49] | | 1,50 | 31,9 | 33,7 |
| B_76_A | B[14/49] | | 1,50 | 32,2 | 34,1 |
| B_76_A | B[15/49] | | 1,50 | 32,6 | 34,4 |
| B_76_A | B[16/49] | | 1,50 | 32,6 | 34,4 |
| B_76_A | B[17/49] | | 1,50 | 32,9 | 34,7 |
| B_76_A | B[18/49] | | 1,50 | 30,7 | 32,5 |
| B_76_A | B[19/49] | | 1,50 | 30,0 | 31,9 |
| B_76_A | B[2/49] | | 1,50 | 33,1 | 34,9 |
| B_76_A | B[20/49] | | 1,50 | 29,5 | 31,4 |
| B_76_A | B[21/49] | | 1,50 | 28,8 | 30,7 |
| B_76_A | B[3/49] | | 1,50 | 32,6 | 34,4 |
| B_76_A | B[4/49] | | 1,50 | 32,6 | 34,4 |
| B_76_A | B[46/49] | | 1,50 | 30,2 | 32,0 |
| B_76_A | B[47/49] | | 1,50 | 30,5 | 32,3 |
| B_76_A | B[48/49] | | 1,50 | 30,9 | 32,7 |
| B_76_A | B[49/49] | | 1,50 | 31,4 | 33,2 |
| B_76_A | B[5/49] | | 1,50 | 32,0 | 33,9 |
| B_76_A | B[6/49] | | 1,50 | 31,7 | 33,6 |
| B_76_A | B[7/49] | | 1,50 | 31,6 | 33,5 |
| B_76_A | B[8/49] | | 1,50 | 31,5 | 33,4 |
| B_76_A | B[9/49] | | 1,50 | 31,5 | 33,4 |
| B_76_B | B[1/49] | | 4,50 | 34,2 | 36,1 |
| B_76_B | B[10/49] | | 4,50 | 33,1 | 34,9 |
| B_76_B | B[11/49] | | 4,50 | 32,9 | 34,8 |

All shown dB values are A-weighted

Predictor V2019.02

16/04/2019 10:55:16

Report: Table of Results
Model: progetto_post_B
LAeq: total results for receivers
Group: (main group)
Group Reduction: No

| Name | Receiver | Description | Height | Day | Night |
|--------|----------|-------------|--------|------|-------|
| B_76_B | B[12/49] | | 4,50 | 32,9 | 34,8 |
| B_76_B | B[13/49] | | 4,50 | 33,2 | 35,1 |
| B_76_B | B[14/49] | | 4,50 | 33,3 | 35,1 |
| B_76_B | B[15/49] | | 4,50 | 33,3 | 35,2 |
| B_76_B | B[16/49] | | 4,50 | 33,2 | 35,1 |
| B_76_B | B[17/49] | | 4,50 | 33,3 | 35,2 |
| B_76_B | B[18/49] | | 4,50 | 30,8 | 32,7 |
| B_76_B | B[19/49] | | 4,50 | 30,1 | 32,0 |
| B_76_B | B[20/49] | | 4,50 | 33,6 | 35,5 |
| B_76_B | B[20/49] | | 4,50 | 29,6 | 31,5 |
| B_76_B | B[21/49] | | 4,50 | 28,8 | 30,7 |
| B_76_B | B[3/49] | | 4,50 | 33,2 | 35,1 |
| B_76_B | B[4/49] | | 4,50 | 33,3 | 35,2 |
| B_76_B | B[46/49] | | 4,50 | 31,2 | 33,1 |
| B_76_B | B[47/49] | | 4,50 | 31,6 | 33,4 |
| B_76_B | B[48/49] | | 4,50 | 32,0 | 33,9 |
| B_76_B | B[49/49] | | 4,50 | 32,5 | 34,4 |
| B_76_B | B[5/49] | | 4,50 | 33,1 | 35,0 |
| B_76_B | B[6/49] | | 4,50 | 33,2 | 35,0 |
| B_76_B | B[7/49] | | 4,50 | 33,1 | 35,0 |
| B_76_B | B[8/49] | | 4,50 | 33,1 | 34,9 |
| B_76_B | B[9/49] | | 4,50 | 33,1 | 34,9 |
| B_76_C | B[1/49] | | 7,50 | 34,4 | 36,3 |
| B_76_C | B[10/49] | | 7,50 | 33,9 | 35,8 |
| B_76_C | B[11/49] | | 7,50 | 33,7 | 35,6 |
| B_76_C | B[12/49] | | 7,50 | 33,7 | 35,6 |
| B_76_C | B[13/49] | | 7,50 | 34,1 | 36,0 |
| B_76_C | B[14/49] | | 7,50 | 33,8 | 35,7 |
| B_76_C | B[15/49] | | 7,50 | 33,7 | 35,6 |
| B_76_C | B[16/49] | | 7,50 | 33,4 | 35,3 |
| B_76_C | B[17/49] | | 7,50 | 33,4 | 35,3 |
| B_76_C | B[18/49] | | 7,50 | 31,1 | 33,0 |
| B_76_C | B[19/49] | | 7,50 | 30,8 | 32,7 |
| B_76_C | B[2/49] | | 7,50 | 33,9 | 35,7 |
| B_76_C | B[20/49] | | 7,50 | 30,3 | 32,2 |
| B_76_C | B[21/49] | | 7,50 | 29,3 | 31,2 |
| B_76_C | B[3/49] | | 7,50 | 33,5 | 35,4 |
| B_76_C | B[4/49] | | 7,50 | 33,7 | 35,6 |
| B_76_C | B[46/49] | | 7,50 | 31,6 | 33,5 |
| B_76_C | B[47/49] | | 7,50 | 32,0 | 33,9 |
| B_76_C | B[48/49] | | 7,50 | 32,5 | 34,4 |
| B_76_C | B[49/49] | | 7,50 | 32,7 | 34,6 |
| B_76_C | B[5/49] | | 7,50 | 33,9 | 35,7 |
| B_76_C | B[6/49] | | 7,50 | 34,0 | 35,9 |
| B_76_C | B[7/49] | | 7,50 | 34,0 | 35,9 |
| B_76_C | B[8/49] | | 7,50 | 33,9 | 35,8 |
| B_76_C | B[9/49] | | 7,50 | 33,8 | 35,7 |
| B_77_A | B[1/16] | | 1,50 | 35,2 | 37,0 |
| B_77_A | B[14/16] | | 1,50 | 33,4 | 35,2 |
| B_77_A | B[15/16] | | 1,50 | 33,5 | 35,4 |
| B_77_A | B[16/16] | | 1,50 | 33,7 | 35,6 |
| B_77_A | B[2/16] | | 1,50 | 35,4 | 37,2 |
| B_77_A | B[3/16] | | 1,50 | 35,4 | 37,3 |
| B_77_A | B[4/16] | | 1,50 | 35,6 | 37,4 |
| B_77_A | B[5/16] | | 1,50 | 35,5 | 37,4 |
| B_77_A | B[16/16] | | 1,50 | 33,7 | 35,6 |
| B_77_A | B[2/16] | | 1,50 | 35,4 | 37,2 |
| B_77_A | B[3/16] | | 1,50 | 35,4 | 37,3 |
| B_77_A | B[4/16] | | 1,50 | 35,6 | 37,4 |
| B_77_A | B[5/16] | | 1,50 | 35,5 | 37,4 |

All shown dB values are A-weighted

Predictor V2019.02

16/04/2019 10:55:16

Report: Table of Results
Model: progetto_post_B
LAeq: total results for receivers
Group: (main group)
Group Reduction: No

| Name | Receiver | Description | Height | Day | Night |
|--------|----------|-------------|--------|------|-------|
| B_77_A | B[6/16] | | 1,50 | 33,9 | 35,8 |
| B_77_A | B[7/16] | | 1,50 | 33,9 | 35,8 |
| B_77_A | B[8/16] | | 1,50 | 33,6 | 35,5 |
| B_77_B | B[1/16] | | 4,50 | 35,5 | 37,3 |
| B_77_B | B[4/16] | | 4,50 | 34,0 | 35,9 |
| B_77_B | B[15/16] | | 4,50 | 34,1 | 36,0 |
| B_77_B | B[16/16] | | 4,50 | 34,3 | 36,1 |
| B_77_B | B[2/16] | | 4,50 | 35,6 | 37,5 |
| B_77_B | B[3/16] | | 4,50 | 35,5 | 37,4 |
| B_77_B | B[4/16] | | 4,50 | 35,5 | 37,4 |
| B_77_B | B[5/16] | | 4,50 | 35,4 | 37,2 |
| B_77_B | B[6/16] | | 4,50 | 33,8 | 35,7 |
| B_77_B | B[7/16] | | 4,50 | 34,0 | 35,9 |
| B_77_B | B[8/16] | | 4,50 | 33,8 | 35,6 |
| B_77_C | B[1/16] | | 7,50 | 36,1 | 38,0 |
| B_77_C | B[14/16] | | 7,50 | 35,1 | 37,0 |
| B_77_C | B[15/16] | | 7,50 | 35,2 | 37,1 |
| B_77_C | B[16/16] | | 7,50 | 35,2 | 37,1 |
| B_77_C | B[2/16] | | 7,50 | 36,2 | 38,1 |
| B_77_C | B[3/16] | | 7,50 | 36,1 | 38,0 |
| B_77_C | B[4/16] | | 7,50 | 36,1 | 38,0 |
| B_77_C | B[5/16] | | 7,50 | 35,9 | 37,8 |
| B_77_C | B[6/16] | | 7,50 | 34,2 | 36,1 |
| B_77_C | B[7/16] | | 7,50 | 34,4 | 36,3 |
| B_77_C | B[8/16] | | 7,50 | 34,1 | 35,9 |
| B_78_A | B[1/25] | | 1,50 | 33,5 | 35,4 |
| B_78_A | B[10/25] | | 1,50 | 36,2 | 38,1 |
| B_78_A | B[18/25] | | 1,50 | 31,3 | 33,1 |
| B_78_A | B[19/25] | | 1,50 | 32,3 | 34,1 |
| B_78_A | B[2/25] | | 1,50 | 34,1 | 35,9 |
| B_78_A | B[20/25] | | 1,50 | 31,6 | 33,5 |
| B_78_A | B[21/25] | | 1,50 | 30,7 | 32,6 |
| B_78_A | B[22/25] | | 1,50 | 30,0 | 31,9 |
| B_78_A | B[23/25] | | 1,50 | 30,7 | 32,6 |
| B_78_A | B[24/25] | | 1,50 | 30,8 | 32,7 |
| B_78_A | B[25/25] | | 1,50 | 31,2 | 33,1 |
| B_78_A | B[3/25] | | 1,50 | 33,8 | 35,7 |
| B_78_A | B[4/25] | | 1,50 | 31,1 | 32,9 |
| B_78_A | B[5/25] | | 1,50 | 31,3 | 33,2 |
| B_78_A | B[6/25] | | 1,50 | 31,2 | 33,0 |
| B_78_A | B[7/25] | | 1,50 | 30,2 | 32,1 |
| B_78_A | B[8/25] | | 1,50 | 28,8 | 30,7 |
| B_78_A | B[9/25] | | 1,50 | 27,4 | 29,2 |
| B_78_B | B[1/25] | | 4,50 | 33,5 | 35,3 |
| B_78_B | B[10/25] | | 4,50 | 26,9 | 28,7 |
| B_78_B | B[18/25] | | 4,50 | 30,9 | 32,8 |
| B_78_B | B[19/25] | | 4,50 | 31,9 | 33,8 |
| B_78_B | B[2/25] | | 4,50 | 33,8 | 35,7 |
| B_78_B | B[20/25] | | 4,50 | 31,2 | 33,1 |
| B_78_B | B[21/25] | | 4,50 | 30,4 | 32,3 |
| B_78_B | B[22/25] | | 4,50 | 29,9 | 31,8 |
| B_78_B | B[23/25] | | 4,50 | 30,7 | 32,5 |
| B_78_B | B[24/25] | | 4,50 | 31,2 | 33,0 |
| B_78_B | B[25/25] | | 4,50 | 31,4 | 33,3 |
| B_78_B | B[3/25] | | 4,50 | 33,6 | 35,4 |

All shown dB values are A-weighted

Predictor V2019.02

16/04/2019 10:55:16

Report: Table of Results
Model: progetto_post_B
LAeq: total results for receivers
Group: (main group)
Group Reduction: No

| Name | Receiver | Description | Height | Day | Night |
|--------|----------|-------------|--------|------|--------|
| B_78_B | B[4/25] | | 4,50 | 31,0 | 32,9 |
| B_78_B | B[5/25] | | 4,50 | 31,0 | 32,8 |
| B_78_B | B[6/25] | | 4,50 | 30,6 | 32,5 |
| B_78_B | B[7/25] | | 4,50 | 29,5 | 31,3 |
| B_78_B | B[8/25] | | 4,50 | 28,7 | 30,6 |
| B_78_B | B[9/25] | | 4,50 | 27,8 | 29,6 |
| B_79_A | B[1/13] | | 1,50 | 31,8 | 33,6 |
| B_79_A | B[10/13] | | 1,50 | 30,8 | 32,6 |
| B_79_A | B[11/13] | | 1,50 | 30,9 | 32,7 |
| B_79_A | B[12/13] | | 1,50 | 31,2 | 33,0 |
| B_79_A | B[13/13] | | 1,50 | 31,2 | 33,0 |
| B_79_A | B[2/13] | | 1,50 | 31,9 | 33,7 |
| B_79_A | B[3/13] | | 1,50 | 31,9 | 33,7 |
| B_79_A | B[4/13] | | 1,50 | 31,5 | 33,3 |
| B_79_A | B[5/13] | | 1,50 | 30,9 | 32,8 |
| B_79_A | B[6/13] | | 1,50 | 30,3 | 32,1 |
| B_79_B | B[1/13] | | 4,50 | 32,5 | 34,3 |
| B_79_B | B[10/13] | | 4,50 | 31,1 | 33,0 |
| B_79_B | B[11/13] | | 4,50 | 31,2 | 33,1 |
| B_79_B | B[12/13] | | 4,50 | 31,5 | 33,3 |
| B_79_B | B[13/13] | | 4,50 | 31,5 | 33,4 |
| B_79_B | B[2/13] | | 4,50 | 32,5 | 34,4 |
| B_79_B | B[3/13] | | 4,50 | 32,0 | 33,9 |
| B_79_B | B[4/13] | | 4,50 | 31,4 | 33,2 |
| B_79_B | B[5/13] | | 4,50 | 30,8 | 32,7 |
| B_79_B | B[6/13] | | 4,50 | 30,2 | 32,0 |
| B_79_C | B[1/13] | | 7,50 | 34,9 | 36,8 |
| B_79_C | B[10/13] | | 7,50 | 32,5 | 34,3 |
| B_79_C | B[11/13] | | 7,50 | 32,6 | 34,5</ |

| Progetto: leq in facciata ai recettori | | HYDEA S.p.A. | | | |
|--|-----------------------------|--------------|--------|------|-------|
| Report: | Table of Results | | | | |
| Model: | progetto_post_B | | | | |
| LAeq: | total results for receivers | | | | |
| Group: | (main group) | | | | |
| Group Reduction: | No | | | | |
| Name | Receiver | Description | Height | Day | Night |
| B.81_B | B[4/62] | | 4,50 | 32,4 | 34,4 |
| B.81_B | B[40/62] | | 4,50 | 35,1 | 37,0 |
| B.81_B | B[41/62] | | 4,50 | 35,4 | 37,3 |
| B.81_B | B[42/62] | | 4,50 | 34,9 | 36,8 |
| B.81_B | B[43/62] | | 4,50 | 34,4 | 36,2 |
| B.81_B | B[44/62] | | 4,50 | 33,9 | 35,7 |
| B.81_B | B[45/62] | | 4,50 | 32,7 | 34,5 |
| B.81_B | B[46/62] | | 4,50 | 32,2 | 34,0 |
| B.81_B | B[47/62] | | 4,50 | 29,9 | 31,6 |
| B.81_B | B[48/62] | | 4,50 | 29,3 | 31,1 |
| B.81_B | B[49/62] | | 4,50 | 29,3 | 31,1 |
| B.81_B | B[5/62] | | 4,50 | 32,6 | 34,4 |
| B.81_B | B[50/62] | | 4,50 | 29,5 | 31,3 |
| B.81_B | B[51/62] | | 4,50 | 30,0 | 31,7 |
| B.81_B | B[52/62] | | 4,50 | 30,1 | 31,8 |
| B.81_B | B[53/62] | | 4,50 | 30,3 | 32,0 |
| B.81_B | B[54/62] | | 4,50 | 30,9 | 32,7 |
| B.81_B | B[55/62] | | 4,50 | 31,3 | 33,1 |
| B.81_B | B[56/62] | | 4,50 | 31,4 | 33,2 |
| B.81_B | B[57/62] | | 4,50 | 31,5 | 33,3 |
| B.81_B | B[58/62] | | 4,50 | 32,3 | 34,1 |
| B.81_B | B[59/62] | | 4,50 | 31,9 | 33,7 |
| B.81_B | B[60/62] | | 4,50 | 31,1 | 32,9 |
| B.81_B | B[61/62] | | 4,50 | 32,3 | 34,1 |
| B.81_B | B[62/62] | | 4,50 | 32,5 | 34,3 |
| B.81_C | B[1/62] | | 7,50 | 33,0 | 34,9 |
| B.81_C | B[2/62] | | 7,50 | 33,1 | 35,0 |
| B.81_C | B[26/62] | | 7,50 | 30,3 | 32,2 |
| B.81_C | B[27/62] | | 7,50 | 30,4 | 32,3 |
| B.81_C | B[28/62] | | 7,50 | 32,0 | 33,9 |
| B.81_C | B[29/62] | | 7,50 | 32,0 | 33,9 |
| B.81_C | B[3/62] | | 7,50 | 33,2 | 35,0 |
| B.81_C | B[30/62] | | 7,50 | 32,5 | 34,4 |
| B.81_C | B[31/62] | | 7,50 | 33,5 | 35,3 |
| B.81_C | B[32/62] | | 7,50 | 32,3 | 34,2 |
| B.81_C | B[33/62] | | 7,50 | 33,3 | 35,2 |
| B.81_C | B[34/62] | | 7,50 | 33,2 | 35,0 |
| B.81_C | B[35/62] | | 7,50 | 32,8 | 34,7 |
| B.81_C | B[36/62] | | 7,50 | 34,5 | 36,3 |
| B.81_C | B[37/62] | | 7,50 | 34,5 | 36,4 |
| B.81_C | B[38/62] | | 7,50 | 35,6 | 37,4 |
| B.81_C | B[39/62] | | 7,50 | 35,9 | 37,8 |
| B.81_C | B[4/62] | | 7,50 | 32,9 | 34,8 |
| B.81_C | B[40/62] | | 7,50 | 35,6 | 37,5 |
| B.81_C | B[41/62] | | 7,50 | 36,0 | 37,8 |
| B.81_C | B[42/62] | | 7,50 | 35,5 | 37,4 |
| B.81_C | B[43/62] | | 7,50 | 35,0 | 36,9 |
| B.81_C | B[44/62] | | 7,50 | 34,6 | 36,5 |
| B.81_C | B[45/62] | | 7,50 | 33,4 | 35,3 |
| B.81_C | B[46/62] | | 7,50 | 32,9 | 34,8 |
| B.81_C | B[47/62] | | 7,50 | 29,9 | 31,7 |
| B.81_C | B[48/62] | | 7,50 | 29,4 | 31,2 |
| B.81_C | B[49/62] | | 7,50 | 29,4 | 31,2 |
| B.81_C | B[5/62] | | 7,50 | 32,8 | 34,7 |
| B.81_C | B[50/62] | | 7,50 | 29,7 | 31,5 |
| All shown dB values are A-weighted | | | | | |
| Predictor V2019.02 | 16/04/2019 10:55:16 | | | | |

| Progetto: leq in facciata ai recettori | | HYDEA S.p.A. | | | |
|--|-----------------------------|--------------|--------|------|-------|
| Report: | Table of Results | | | | |
| Model: | progetto_post_B | | | | |
| LAeq: | total results for receivers | | | | |
| Group: | (main group) | | | | |
| Group Reduction: | No | | | | |
| Name | Receiver | Description | Height | Day | Night |
| B.81_C | B[51/62] | | 7,50 | 30,2 | 32,0 |
| B.81_C | B[52/62] | | 7,50 | 30,2 | 32,0 |
| B.81_C | B[53/62] | | 7,50 | 30,5 | 32,3 |
| B.81_C | B[54/62] | | 7,50 | 31,8 | 33,7 |
| B.81_C | B[55/62] | | 7,50 | 32,4 | 34,2 |
| B.81_C | B[56/62] | | 7,50 | 32,4 | 34,2 |
| B.81_C | B[57/62] | | 7,50 | 32,5 | 34,3 |
| B.81_C | B[58/62] | | 7,50 | 33,2 | 35,0 |
| B.81_C | B[59/62] | | 7,50 | 32,8 | 34,7 |
| B.81_C | B[60/62] | | 7,50 | 31,9 | 33,8 |
| B.81_C | B[61/62] | | 7,50 | 32,8 | 34,7 |
| B.81_C | B[62/62] | | 7,50 | 32,9 | 34,8 |
| B.81_D | B[1/62] | | 10,50 | 33,9 | 35,8 |
| B.81_D | B[2/62] | | 10,50 | 33,9 | 35,8 |
| B.81_D | B[26/62] | | 10,50 | 30,6 | 32,5 |
| B.81_D | B[27/62] | | 10,50 | 31,0 | 32,8 |
| B.81_D | B[28/62] | | 10,50 | 33,0 | 34,8 |
| B.81_D | B[3/62] | | 10,50 | 33,9 | 35,8 |
| B.81_D | B[30/62] | | 10,50 | 33,2 | 35,1 |
| B.81_D | B[31/62] | | 10,50 | 34,4 | 36,3 |
| B.81_D | B[32/62] | | 10,50 | 33,1 | 35,0 |
| B.81_D | B[33/62] | | 10,50 | 34,3 | 36,1 |
| B.81_D | B[34/62] | | 10,50 | 34,0 | 35,9 |
| B.81_D | B[35/62] | | 10,50 | 33,5 | 35,4 |
| B.81_D | B[36/62] | | 10,50 | 35,1 | 37,0 |
| B.81_D | B[37/62] | | 10,50 | 35,1 | 36,9 |
| B.81_D | B[38/62] | | 10,50 | 36,2 | 38,1 |
| B.81_D | B[39/62] | | 10,50 | 36,6 | 38,5 |
| B.81_D | B[4/62] | | 10,50 | 33,7 | 35,5 |
| B.81_D | B[40/62] | | 10,50 | 36,5 | 38,3 |
| B.81_D | B[41/62] | | 10,50 | 36,7 | 38,6 |
| B.81_D | B[42/62] | | 10,50 | 36,3 | 38,1 |
| B.81_D | B[43/62] | | 10,50 | 35,8 | 37,7 |
| B.81_D | B[44/62] | | 10,50 | 35,4 | 37,3 |
| B.81_D | B[45/62] | | 10,50 | 34,3 | 36,1 |
| B.81_D | B[46/62] | | 10,50 | 33,8 | 35,6 |
| B.81_D | B[47/62] | | 10,50 | 30,8 | 32,6 |
| B.81_D | B[48/62] | | 10,50 | 30,3 | 32,1 |
| B.81_D | B[49/62] | | 10,50 | 30,4 | 32,3 |
| B.81_D | B[5/62] | | 10,50 | 33,6 | 35,4 |
| B.81_D | B[50/62] | | 10,50 | 31,1 | 32,9 |
| B.81_D | B[51/62] | | 10,50 | 31,3 | 33,2 |
| B.81_D | B[52/62] | | 10,50 | 31,4 | 33,2 |
| B.81_D | B[53/62] | | 10,50 | 32,0 | 33,9 |
| B.81_D | B[54/62] | | 10,50 | 33,8 | 35,7 |
| B.81_D | B[55/62] | | 10,50 | 34,3 | 36,2 |
| B.81_D | B[56/62] | | 10,50 | 34,2 | 36,1 |
| B.81_D | B[57/62] | | 10,50 | 33,9 | 35,8 |
| B.81_D | B[58/62] | | 10,50 | 34,5 | 36,4 |
| B.81_D | B[59/62] | | 10,50 | 34,1 | 35,9 |
| B.81_D | B[60/62] | | 10,50 | 33,2 | 35,1 |
| B.81_D | B[61/62] | | 10,50 | 33,8 | 35,7 |
| B.81_D | B[62/62] | | 10,50 | 33,8 | 35,7 |
| B.82_A | B[1/10] | | 1,50 | 35,0 | 36,8 |
| All shown dB values are A-weighted | | | | | |
| Predictor V2019.02 | 16/04/2019 10:55:16 | | | | |

| Progetto: leq in facciata ai recettori | | HYDEA S.p.A. | | | |
|--|-----------------------------|--------------|--------|------|-------|
| Report: | Table of Results | | | | |
| Model: | progetto_post_B | | | | |
| LAeq: | total results for receivers | | | | |
| Group: | (main group) | | | | |
| Group Reduction: | No | | | | |
| Name | Receiver | Description | Height | Day | Night |
| B.82_A | B[10/10] | | 1,50 | 35,4 | 37,2 |
| B.82_A | B[2/10] | | 1,50 | 30,4 | 32,2 |
| B.82_A | B[3/10] | | 1,50 | 29,6 | 31,4 |
| B.82_A | B[4/10] | | 1,50 | 27,5 | 29,3 |
| B.82_A | B[5/10] | | 1,50 | 27,4 | 29,2 |
| B.82_A | B[9/10] | | 1,50 | 31,5 | 33,3 |
| B.82_B | B[1/10] | | 4,50 | 34,8 | 36,6 |
| B.82_B | B[10/10] | | 4,50 | 35,1 | 36,9 |
| B.82_B | B[2/10] | | 4,50 | 30,7 | 32,5 |
| B.82_B | B[3/10] | | 4,50 | 29,7 | 31,5 |
| B.82_B | B[4/10] | | 4,50 | 28,1 | 29,9 |
| B.82_B | B[5/10] | | 4,50 | 29,3 | 31,2 |
| B.82_B | B[9/10] | | 4,50 | 31,8 | 33,7 |
| B.83_A | B[1/10] | | 1,50 | 29,3 | 31,0 |
| B.83_A | B[10/10] | | 1,50 | 27,8 | 29,6 |
| B.83_A | B[2/10] | | 1,50 | 30,0 | 31,8 |
| B.83_A | B[3/10] | | 1,50 | 27,7 | 29,5 |
| B.83_A | B[4/10] | | 1,50 | 28,7 | 30,5 |
| B.83_A | B[5/10] | | 1,50 | 29,2 | 31,0 |
| B.83_A | B[8/10] | | 1,50 | 28,5 | 30,3 |
| B.83_A | B[9/10] | | 1,50 | 28,6 | 30,4 |
| B.83_B | B[1/10] | | 4,50 | 29,8 | 31,6 |
| B.83_B | B[10/10] | | 4,50 | 28,2 | 30,0 |
| B.83_B | B[2/10] | | 4,50 | 31,2 | 33,0 |
| B.83_B | B[3/10] | | 4,50 | 29,1 | 31,0 |
| B.83_B | B[4/10] | | 4,50 | 30,0 | 31,9 |
| B.83_B | B[5/10] | | 4,50 | 30,3 | 32,2 |
| B.83_B | B[8/10] | | 4,50 | 29,2 | 31,1 |
| B.83_B | B[9/10] | | 4,50 | 29,1 | 30,9 |
| B.86_A | B[1/44] | | 1,50 | 30,4 | 32,2 |
| B.86_A | B[10/44] | | 1,50 | 27,3 | 29,1 |
| B.86_A | B[11/44] | | 1,50 | 27,2 | 29,1 |
| B.86_A | B[12/44] | | 1,50 | 26,9 | 28,8 |
| B.86_A | B[13/44] | | 1,50 | 26,9 | 28,7 |
| B.86_A | B[14/44] | | 1,50 | 26,9 | 28,7 |
| B.86_A | B[15/44] | | 1,50 | 26,1 | 27,9 |
| B.86_A | B[16/44] | | 1,50 | 26,6 | 28,5 |
| B.86_A | B[17/44] | | 1,50 | 27,9 | 29,8 |
| B.86_A | B[18/44] | | 1,50 | 26,3 | 28,2 |
| B.86_A | B[19/44] | | 1,50 | 25,3 | 27,1 |
| B.86_A | B[2/44] | | 1,50 | 29,7 | 31,5 |
| B.86_A | B[20/44] | | 1,50 | 25,7 | 27,5 |
| B.86_A | B[21/44] | | 1,50 | 25,9 | 27,7 |
| B.86_A | B[22/44] | | 1,50 | 24,4 | 26,2 |
| B.86_A | B[23/44] | | 1,50 | 25,3 | 27,1 |
| B.86_A | B[24/44] | | 1,50 | 25,0 | 26,9 |
| B.86_A | B[25/44] | | 1,50 | 24,5 | 26,3 |
| B.86_A | B[26/44] | | 1,50 | 22,0 | 23,8 |
| B.86_A | B[3/44] | | 1,50 | 27,9 | 29,7 |
| B.86_A | B[4/44] | | 1,50 | 25,1 | 26,8 |
| B.86_A | B[43/44] | | 1,50 | 29,9 | 31,7 |
| B.86_A | B[44/44] | | 1,50 | 28,7 | 30,6 |
| B.86_A | B[5/44] | | 1,50 | 25,0 | 26,8 |
| B.86_A | B[6/44] | | 1,50 | 27,8 | 29,6 |
| B.86_A | B[7/44] | | 1,50 | 26,3 | 28,1 |
| All shown dB values are A-weighted | | | | | |
| Predictor V2019.02 | 16/04/2019 10:55:16 | | | | |

| Progetto: leq in facciata ai recettori | | HYDEA S.p.A. | | | |
|--|-----------------------------|--------------|--------|------|-------|
| Report: | Table of Results | | | | |
| Model: | progetto_post_B | | | | |
| LAeq: | total results for receivers | | | | |
| Group: | (main group) | | | | |
| Group Reduction: | No | | | | |
| Name | Receiver | Description | Height | Day | Night |
| B.86_A | B[8/44] | | 1,50 | 30,1 | 31,9 |
| B.86_A | B[9/44] | | 1,50 | 27,3 | 29,1 |
| B.86_B | B[1/44] | | 4,50 | 31,7 | 33,6 |
| B.86_B | B[10/44] | | 4,50 | 30,1 | 31,9 |
| B.86_B | B[11/44] | | 4,50 | 29,9 | 31,8 |
| B.86_B | B[12/44] | | 4,50 | 29,5 | 31,3 |
| B.86_B | B[13/44] | | 4,50 | 29,3 | 31,1 |
| B.86_B | B[14/44] | | 4,50 | 29,2 | 31,1 |
| B.86_B | B[15/44] | | 4,50 | 27,7 | 29,5 |
| B.86_B | B[16/44] | | 4,50 | 28,7 | 30,6 |
| B.86_B | B[17/44] | | 4,50 | 30,1 | 32,0 |
| B.86_B | B[18/44] | | 4,50 | 29,2 | 31,1 |
| B.86_B | B[19/44] | | 4,50 | 30,0 | 31,8 |
| B.86_B | B[2/44] | | 4,50 | 31,0 | 32,8 |
| B.86_B | B[20/44] | | 4,50 | 29,6 | 31,5 |
| B.86_B | B[21/44] | | 4,50 | 28,4 | 30,2 |
| B.86_B | B[22/44] | | 4,50 | 26,0 | 27,8 |
| B.86_B | B[23/44] | | 4,50 | 27,3 | 29,1 |
| B.86_B | B[24/44] | | 4,50 | 27,2 | 29,0 |
| B.86_B | B[25/44] | | 4,50 | 24,1 | 26,0 |
| B.86_B | B[26/44] | | 4,50 | 21,9 | 23,8 |
| B.86_B | B[3/44] | | 4,50 | 29,4 | 31,2 |
| B.86_B | B[4/44] | | 4,50 | 28,6 | 30,4 |
| B.86_B | B[43/44] | | 4,50 | 31,1 | 33,0 |
| B.86_B | B[44/44] | | 4,50 | 30,1 | 32,0 |
| B.86_B | B[5/44] | | 4,50 | 29,1 | 30,9 |
| B.86_B | B[6/44] | | 4,50 | 29,5 | 31,3 |
| B.86_B | B[7/44] | | 4,50 | 29,8 | 31,7 |
| B.86_B | B[8/44] | | 4,50 | 30,9 | 32,7 |
| B.86_B | B[9/44] | | 4,50 | 30,4 | 32,2 |
| B.87_A | B[1/8] | | 1,50 | 29,4 | 31,3 |
| B.87_A | B[2/8] | | 1,50 | 29,4 | 31,2 |
| B.87_A | B[3/8] | | 1,50 | 26,9 | 28,8 |
| B.87_A | B[4/8] | | 1,50 | 25,8 | 27,6 |
| B.87_A | B[7/8] | | 1,50 | 28,6 | 30,4 |
| B.87_A | B[8/8] | | 1,50 | 27,6 | 29,4 |
| B.87_B | B[1/8] | | 4,50 | 30,4 | 32,3 |
| B.87_B | B[2/8] | | 4,50 | 30,7 | 32,6 |
| B.87_B | B[3/8] | | 4,50 | 29,3 | 31,1 |
| B.87_B | B[4/8] | | 4,50 | 29,5 | 31,4 |
| B.87_B | B[7/8] | | 4,50 | | |

Progetto: leq in facciata ai recettori HYDEA S.p.A. Report: Table of Results Model: progetto_post_B LAeq: total results for receivers Group: (main group) Group Reduction: No

| Name | Receiver | Description | Height | Day | Night |
|--------|----------|-------------|--------|------|-------|
| B.93_B | B[20/22] | | 4,50 | 31,5 | 33,3 |
| B.93_B | B[21/22] | | 4,50 | 30,2 | 33,0 |
| B.93_B | B[22/22] | | 4,50 | 30,0 | 31,7 |
| B.93_B | B[9/22] | | 4,50 | 28,2 | 30,0 |
| B.93_C | B[10/22] | | 7,50 | 28,0 | 29,8 |
| B.93_C | B[11/22] | | 7,50 | 26,5 | 28,3 |
| B.93_C | B[12/22] | | 7,50 | 25,5 | 27,3 |
| B.93_C | B[13/22] | | 7,50 | 30,1 | 31,9 |
| B.93_C | B[14/22] | | 7,50 | 30,4 | 32,3 |
| B.93_C | B[15/22] | | 7,50 | 30,7 | 32,6 |
| B.93_C | B[16/22] | | 7,50 | 30,4 | 32,2 |
| B.93_C | B[17/22] | | 7,50 | 31,7 | 33,5 |
| B.93_C | B[18/22] | | 7,50 | 31,9 | 33,8 |
| B.93_C | B[19/22] | | 7,50 | 31,3 | 33,2 |
| B.93_C | B[20/22] | | 7,50 | 32,2 | 34,0 |
| B.93_C | B[21/22] | | 7,50 | 31,9 | 33,7 |
| B.93_C | B[22/22] | | 7,50 | 30,4 | 32,2 |
| B.93_C | B[9/22] | | 7,50 | 28,1 | 29,9 |
| B.93_D | B[10/22] | | 10,50 | 28,9 | 30,8 |
| B.93_D | B[11/22] | | 10,50 | 27,2 | 29,0 |
| B.93_D | B[12/22] | | 10,50 | 26,0 | 27,8 |
| B.93_D | B[13/22] | | 10,50 | 31,5 | 33,3 |
| B.93_D | B[14/22] | | 10,50 | 31,8 | 33,7 |
| B.93_D | B[15/22] | | 10,50 | 32,0 | 33,8 |
| B.93_D | B[16/22] | | 10,50 | 31,7 | 33,6 |
| B.93_D | B[17/22] | | 10,50 | 33,2 | 35,1 |
| B.93_D | B[18/22] | | 10,50 | 33,5 | 35,3 |
| B.93_D | B[19/22] | | 10,50 | 32,7 | 34,6 |
| B.93_D | B[20/22] | | 10,50 | 33,6 | 35,5 |
| B.93_D | B[21/22] | | 10,50 | 33,4 | 35,2 |
| B.93_D | B[22/22] | | 10,50 | 31,6 | 33,5 |
| B.93_D | B[9/22] | | 10,50 | 28,9 | 30,8 |
| B.94_A | B[1/14] | | 1,50 | 30,3 | 32,0 |
| B.94_A | B[2/14] | | 1,50 | 31,0 | 32,8 |
| B.94_A | B[3/14] | | 1,50 | 31,3 | 33,1 |
| B.94_A | B[4/14] | | 1,50 | 30,5 | 32,2 |
| B.94_A | B[5/14] | | 1,50 | 30,8 | 32,5 |
| B.94_A | B[7/14] | | 1,50 | 30,1 | 31,9 |
| B.94_A | B[8/14] | | 1,50 | 29,3 | 31,0 |
| B.94_A | B[9/14] | | 1,50 | 29,0 | 30,8 |
| B.94_B | B[1/14] | | 4,50 | 30,5 | 32,2 |
| B.94_B | B[2/14] | | 4,50 | 31,1 | 32,9 |
| B.94_B | B[3/14] | | 4,50 | 31,3 | 33,0 |
| B.94_B | B[4/14] | | 4,50 | 30,3 | 32,1 |
| B.94_B | B[5/14] | | 4,50 | 30,7 | 32,5 |
| B.94_B | B[6/14] | | 4,50 | 30,6 | 32,4 |
| B.94_B | B[7/14] | | 4,50 | 30,0 | 31,7 |
| B.94_B | B[8/14] | | 4,50 | 29,1 | 30,9 |
| B.94_B | B[9/14] | | 4,50 | 29,1 | 30,8 |
| B.94_C | B[1/14] | | 7,50 | 31,3 | 33,2 |
| B.94_C | B[2/14] | | 7,50 | 31,8 | 33,7 |
| B.94_C | B[3/14] | | 7,50 | 32,0 | 33,8 |
| B.94_C | B[4/14] | | 7,50 | 31,0 | 32,8 |
| B.94_C | B[5/14] | | 7,50 | 31,3 | 33,1 |

All shown dB values are A-weighted
Predictor V2019.02 16/04/2019 10:55:16

Progetto: leq in facciata ai recettori HYDEA S.p.A. Report: Table of Results Model: progetto_post_B LAeq: total results for receivers Group: (main group) Group Reduction: No

| Name | Receiver | Description | Height | Day | Night |
|--------|----------|-------------|--------|------|-------|
| B.94_C | B[6/14] | | 7,50 | 31,3 | 33,1 |
| B.94_C | B[7/14] | | 7,50 | 30,5 | 32,4 |
| B.94_C | B[8/14] | | 7,50 | 29,5 | 31,3 |
| B.94_C | B[9/14] | | 7,50 | 29,7 | 31,5 |
| B.94_D | B[1/14] | | 10,50 | 33,0 | 34,8 |
| B.94_D | B[2/14] | | 10,50 | 33,7 | 35,6 |
| B.94_D | B[3/14] | | 10,50 | 33,9 | 35,7 |
| B.94_D | B[4/14] | | 10,50 | 33,1 | 34,9 |
| B.94_D | B[5/14] | | 10,50 | 33,5 | 35,3 |
| B.94_D | B[6/14] | | 10,50 | 33,5 | 35,4 |
| B.94_D | B[7/14] | | 10,50 | 32,8 | 34,7 |
| B.94_D | B[8/14] | | 10,50 | 31,5 | 33,4 |
| B.94_D | B[9/14] | | 10,50 | 31,9 | 33,8 |
| B.95_A | B[1/22] | | 1,50 | 28,8 | 30,5 |
| B.95_A | B[2/22] | | 1,50 | 29,4 | 31,2 |
| B.95_A | B[22/22] | | 1,50 | 29,8 | 31,6 |
| B.95_A | B[3/22] | | 1,50 | 30,3 | 32,1 |
| B.95_A | B[4/22] | | 1,50 | 31,0 | 32,8 |
| B.95_A | B[5/22] | | 1,50 | 30,4 | 32,2 |
| B.95_A | B[6/22] | | 1,50 | 30,3 | 32,1 |
| B.95_A | B[7/22] | | 1,50 | 30,5 | 32,3 |
| B.95_A | B[8/22] | | 1,50 | 30,0 | 31,8 |
| B.95_B | B[1/22] | | 4,50 | 28,9 | 30,7 |
| B.95_B | B[2/22] | | 4,50 | 29,6 | 31,4 |
| B.95_B | B[22/22] | | 4,50 | 30,0 | 31,8 |
| B.95_B | B[3/22] | | 4,50 | 30,5 | 32,3 |
| B.95_B | B[4/22] | | 4,50 | 31,2 | 33,0 |
| B.95_B | B[5/22] | | 4,50 | 30,6 | 32,4 |
| B.95_B | B[6/22] | | 4,50 | 30,6 | 32,4 |
| B.95_B | B[7/22] | | 4,50 | 30,8 | 32,6 |
| B.95_B | B[8/22] | | 4,50 | 30,4 | 32,3 |
| B.95_C | B[1/22] | | 7,50 | 29,6 | 31,4 |
| B.95_C | B[2/22] | | 7,50 | 30,5 | 32,3 |
| B.95_C | B[22/22] | | 7,50 | 30,8 | 32,7 |
| B.95_C | B[3/22] | | 7,50 | 31,4 | 33,2 |
| B.95_C | B[4/22] | | 7,50 | 32,1 | 33,9 |
| B.95_C | B[5/22] | | 7,50 | 31,5 | 33,3 |
| B.95_C | B[6/22] | | 7,50 | 31,4 | 33,2 |
| B.95_C | B[7/22] | | 7,50 | 31,6 | 33,4 |
| B.95_C | B[8/22] | | 7,50 | 31,2 | 33,1 |
| B.95_D | B[1/22] | | 10,50 | 31,8 | 33,6 |
| B.95_D | B[2/22] | | 10,50 | 32,6 | 34,5 |
| B.95_D | B[22/22] | | 10,50 | 32,4 | 34,3 |
| B.95_D | B[3/22] | | 10,50 | 33,1 | 34,9 |
| B.95_D | B[4/22] | | 10,50 | 33,8 | 35,6 |
| B.95_D | B[5/22] | | 10,50 | 33,3 | 35,1 |
| B.95_D | B[6/22] | | 10,50 | 32,9 | 34,7 |
| B.95_D | B[7/22] | | 10,50 | 33,1 | 34,9 |
| B.95_D | B[8/22] | | 10,50 | 32,6 | 34,4 |
| B.96_A | B[1/34] | | 1,50 | -- | -- |
| B.96_A | B[10/34] | | 1,50 | -- | -- |
| B.96_A | B[11/34] | | 1,50 | -- | -- |
| B.96_A | B[12/34] | | 1,50 | -- | -- |
| B.96_A | B[13/34] | | 1,50 | -- | -- |
| B.96_A | B[14/34] | | 1,50 | -- | -- |
| B.96_A | B[10/34] | | 4,50 | -- | -- |
| B.96_B | B[13/24] | | 4,50 | -- | -- |
| B.96_B | B[14/24] | | 4,50 | -- | -- |
| B.96_B | B[15/24] | | 4,50 | -- | -- |
| B.96_B | B[16/24] | | 4,50 | -- | -- |
| B.96_B | B[17/24] | | 4,50 | -- | -- |
| B.96_B | B[18/24] | | 4,50 | -- | -- |
| B.96_B | B[19/24] | | 4,50 | -- | -- |
| B.96_B | B[20/24] | | 4,50 | -- | -- |
| B.96_B | B[21/24] | | 4,50 | -- | -- |
| B.96_B | B[22/24] | | 4,50 | -- | -- |
| B.96_B | B[23/24] | | 4,50 | -- | -- |
| B.96_B | B[24/24] | | 4,50 | -- | -- |
| B.96_B | B[9/34] | | 4,50 | -- | -- |
| B.96_B | B[8/34] | | 4,50 | -- | -- |
| B.96_B | B[7/34] | | 4,50 | -- | -- |
| B.96_B | B[6/34] | | 4,50 | -- | -- |
| B.96_B | B[5/34] | | 4,50 | -- | -- |
| B.96_B | B[4/34] | | 4,50 | -- | -- |
| B.96_C | B[1/34] | | 7,50 | -- | -- |
| B.96_C | B[10/34] | | 7,50 | -- | -- |
| B.96_C | B[11/34] | | 7,50 | -- | -- |
| B.96_C | B[12/34] | | 7,50 | -- | -- |
| B.96_C | B[13/34] | | 7,50 | -- | -- |
| B.96_C | B[14/34] | | 7,50 | -- | -- |
| B.96_C | B[15/34] | | 7,50 | -- | -- |
| B.96_C | B[16/34] | | 7,50 | -- | -- |
| B.96_C | B[17/34] | | 7,50 | -- | -- |
| B.96_C | B[18/34] | | 7,50 | -- | -- |
| B.96_C | B[19/34] | | 7,50 | -- | -- |
| B.96_C | B[20/34] | | 7,50 | -- | -- |
| B.96_C | B[21/34] | | 7,50 | -- | -- |
| B.96_C | B[22/34] | | 7,50 | -- | -- |
| B.96_C | B[23/34] | | 7,50 | -- | -- |
| B.96_C | B[24/34] | | 7,50 | -- | -- |

All shown dB values are A-weighted
Predictor V2019.02 16/04/2019 10:55:16

Progetto: leq in facciata ai recettori HYDEA S.p.A. Report: Table of Results Model: progetto_post_B LAeq: total results for receivers Group: (main group) Group Reduction: No

| Name | Receiver | Description | Height | Day | Night |
|--------|----------|-------------|--------|-----|-------|
| B.96_A | B[15/34] | | 1,50 | -- | -- |
| B.96_A | B[16/34] | | 1,50 | -- | -- |
| B.96_A | B[17/34] | | 1,50 | -- | -- |
| B.96_A | B[18/34] | | 1,50 | -- | -- |
| B.96_A | B[19/34] | | 1,50 | -- | -- |
| B.96_A | B[2/34] | | 1,50 | -- | -- |
| B.96_A | B[20/34] | | 1,50 | -- | -- |
| B.96_A | B[21/34] | | 1,50 | -- | -- |
| B.96_A | B[22/34] | | 1,50 | -- | -- |
| B.96_A | B[23/34] | | 1,50 | -- | -- |
| B.96_A | B[3/34] | | 1,50 | -- | -- |
| B.96_A | B[4/34] | | 1,50 | -- | -- |
| B.96_A | B[5/34] | | 1,50 | -- | -- |
| B.96_A | B[6/34] | | 1,50 | -- | -- |
| B.96_A | B[7/34] | | 1,50 | -- | -- |
| B.96_A | B[8/34] | | 1,50 | -- | -- |
| B.96_A | B[9/34] | | 1,50 | -- | -- |
| B.96_B | B[11/34] | | 4,50 | -- | -- |
| B.96_B | B[10/34] | | 4,50 | -- | -- |
| B.96_B | B[12/34] | | 4,50 | -- | -- |
| B.96_B | B[13/34] | | 4,50 | -- | -- |
| B.96_B | B[14/34] | | 4,50 | -- | -- |
| B.96_B | B[15/34] | | 4,50 | -- | -- |
| B.96_B | B[16/34] | | 4,50 | -- | -- |
| B.96_B | B[17/34] | | 4,50 | -- | -- |
| B.96_B | B[18/34] | | 4,50 | -- | -- |
| B.96_B | B[19/34] | | 4,50 | -- | -- |
| B.96_B | B[20/34] | | 4,50 | -- | -- |
| B.96_B | B[21/34] | | 4,50 | -- | -- |
| B.96_B | B[22/34] | | 4,50 | -- | -- |
| B.96_B | B[23/34] | | 4,50 | -- | -- |
| B.96_B | B[24/34] | | 4,50 | -- | -- |
| B.96_C | B[1/34] | | 7,50 | -- | -- |
| B.96_C | B[10/34] | | 7,50 | -- | -- |
| B.96_C | B[11/34] | | 7,50 | -- | -- |
| B.96_C | B[12/34] | | 7,50 | -- | -- |
| B.96_C | B[13/34] | | 7,50 | -- | -- |
| B.96_C | B[14/34] | | 7,50 | -- | -- |
| B.96_C | B[15/34] | | 7,50 | -- | -- |
| B.96_C | B[16/34] | | 7,50 | -- | -- |
| B.96_C | B[17/34] | | 7,50 | -- | -- |
| B.96_C | B[18/34] | | 7,50 | -- | -- |
| B.96_C | B[19/34] | | 7,50 | -- | -- |
| B.96_C | B[20/34] | | 7,50 | -- | -- |
| B.96_C | B[21/34] | | 7,50 | -- | -- |
| B.96_C | B[22/34] | | 7,50 | -- | -- |
| B.96_C | B[23/34] | | 7,50 | -- | -- |
| B.96_C | B[24/34] | | 7,50 | -- | -- |

All shown dB values are A-weighted
Predictor V2019.02 16/04/2019 10:55:16

Progetto: leq in facciata ai recettori HYDEA S.p.A. Report: Table of Results Model: progetto_post_B LAeq: total results for receivers Group: (main group) Group Reduction: No

| Name | Receiver | Description | Height | Day | Night |
|--------|----------|-------------|--------|-----|-------|
| B.96_C | B[2/34] | | 7,50 | -- | -- |
| B.96_C | B[3/34] | | 7,50 | -- | -- |
| B.96_C | B[4/34] | | 7,50 | -- | -- |
| B.96_C | B[5/34] | | 7,50 | -- | -- |
| B.96_C | B[6/34] | | 7,50 | -- | -- |
| B.96_C | B[7/34] | | 7,50 | -- | -- |
| B.96_C | B[8/34] | | 7,50 | -- | -- |
| B.96_C | B[9/34] | | 7,50 | -- | -- |
| B.96_D | B[1/34] | | 10,50 | -- | -- |
| B.96_D | B[10/34] | | 10,50 | -- | -- |
| B.96_D | B[11/34] | | 10,50 | -- | -- |
| B.96_D | B[12/34] | | 10,50 | -- | -- |
| B.96_D | B[13/34] | | 10,50 | -- | -- |
| B.96_D | B[14/34] | | 10,50 | -- | -- |
| B.96_D | B[15/34] | | 10,50 | -- | -- |
| B.96_D | B[16/34] | | 10,50 | -- | -- |
| B.96_D | B[17/34] | | 10,50 | -- | -- |
| B.96_D | B[18/34] | | 10,50 | -- | -- |
| B.96_D | B[19/34] | | 10,50 | -- | -- |
| B.96_D | B[20/34] | | 10,50 | -- | -- |
| B.96_D | B[21/34] | | 10,50 | -- | -- |
| B.96_D | B[22/34] | | 10,50 | -- | -- |
| B.96_D | B[23/34] | | 10,50 | -- | -- |
| B.96_D | B[24/34] | | 10,50 | -- | -- |
| B.96_D | B[4/34] | | 10,50 | -- | -- |
| B.96_D | B[5/34] | | 10,50 | -- | -- |
| B.96_D | B[6/34] | | 10,50 | -- | -- |
| B.96_D | B[7/34] | | 10,50 | -- | -- |
| B.96_D | B[8/34] | | 10,50 | -- | -- |
| B.96_D | B[9/34] | | 10,50 | -- | -- |
| B.97_A | B[1/26] | | 1,50 | -- | -- |
| B.97_A | B[10/26] | | 1,50 | -- | -- |
| B.97_A | B[11/26] | | 1,50 | -- | -- |
| B.97_A | B[12/26] | | 1,50 | -- | -- |
| B.97_A | B[13/26] | | 1,50 | -- | -- |
| B.97_A | B[14/26] | | 1,50 | -- | -- |
| B.97_A | B[15/26] | | 1,50 | -- | -- |
| B.97_A | B[16/26] | | 1,50 | -- | -- |
| B.97_A | B[17/26] | | 1,50 | -- | -- |
| B.97_A | B[18/26] | | 1,50 | -- | -- |
| B.97_A | B[19/26] | | 1,50 | -- | -- |
| B.97 | | | | | |

